

Vysoká škola strojní a textilní v Liberci
nositelka Řádu práce
Fakulta textilní

Ing.Jaroslav Hanzl

Matematický model odvalového uložení spřádacího rotoru bezvřetenového dopřádacího stroje s otáčkami do $120\ 000\ \text{min}^{-1}$

2,3 - technické vědy a nauky (obor 23-03-9)

Kandidátská disertační práce

Školitel : Prof.Ing.Vladimír Prášil DrSc.

Ústí nad Orlicí 1985

OBSAH

1. ÚVOD

2. PŘEHLED O SOUČASNÉM STAVU PROBLEMATIKY

2.1 Hodnocení stavu techniky

2.1.1 Uložení spřádacího rotoru na vysokootáčkovém valivém ložisku (tzv."přímé" uložení)

2.1.2 Uložení spřádacího rotoru na podpěrných kotoučích s pohonem rotoru tangenciálním řemenem (tzv."nepřímé"-odvalové uložení)

2.1.3 Uložení spřádacího rotoru na vzduchovém ložisku

2.1.4 Uložení spřádacího rotoru na magnetickém ložisku

2.1.5 Elektrický jednotkový pohon - EJP

2.2 Zahraniční patentová literatura týkající se odvalového uložení spřádacího rotoru

2.3 Řešení odvalového uložení provedená ve VÚVL Brno a k.p. Elitex, VVZ Hnátnice

3. CÍL DISERTACE

4. ZVOLENÉ METODY ZPRACOVÁNÍ

5. VÝSLEDKY PRÁCE

5.1 Matematický model odvalového uložení

5.1.1 Obecné prostorové řešení

5.1.2 Rovinné řešení

5.1.3 Dynamické poměry rovinného modelu odvalového uložení

5.1.4 Ovalita kotoučů

5.1.5 Nelineárni tuhosti nákružků opěrných kotoučů a řemene

5.1.6 Analytické řešení jednoosého dvouhmotového matematického modelu

5.2 Výpočet kmitání rotoru na samočinném počítači

5.2.1 Výpočty provedené na dvouhmotovém modelu - ověření různých tuhostí a tlumení opěrných kotoučů a řemene

5.2.2 Výpočty provedené na dvouhmotovém modelu - rozběhy spřádacího rotoru

5.2.3 Výpočty provedené na dvouhmotovém modelu - návrh nevývažku ve spřádaci komoře

- 5.2.4 Výpočty provedené na dvouhmotovém modelu - nelineární tuhosti nákružků opěrných kotoučů a řemene
 - 5.2.5 Výpočty provedené na dvouhmotovém modelu - ovalita nákružků opěrných kotoučů
 - 5.2.6 Výpočty provedené na dvouosém tříhmotovém modelu - rozbeh a doběh rotoru v lineárním tvaru
 - 5.2.7 Výpočty provedené na dvouosém tříhmotovém modelu - s uvažováním ovality nákružků opěrných kotoučů
- 5.3 Experimentální část - měření provedená na odvalovém uložení
- 5.3.1 Použitá aparatura
 - 5.3.2 Výsledky měření

6. SHRNUVÁNÍ A ROZBOR ZÍSKANÝCH VÝSLEDKŮ

7. ZÁVĚR

8. UPLATNĚNÍ VÝSLEDKŮ V PRAXI

Seznam použité literatury

Přílohy

SEZNAM POUŽITÝCH SYMBOLŮ A ZKRATEK

Použité symboly

m_n	hmota nevývažku
m_4	hmota rotoru
m_5	hmota adekvátní části řemene
m_6	hmota přitlačné kladky
$c_{2,3}$	tuhost nákružků opěrných kotoučů
$k_{2,3}$	tlumení nákružků opěrných kotoučů
c_{54}	tuhost řemene v příčném směru ve styku s rotem
k_{54}	tlumení řemene v příčném směru ve styku s rotem
c_5	tuhost řemene v podélném směru
k_5	tlumení řemene v podélném směru
c_6	tuhost řemene v podélném směru - přitlačná kladka
k_6	tlumení řemene v podélném směru - přitlačná kladka
c_{56}	tuhost řemene v příčném směru - přitlačná kladka
k_{56}	tlumení řemene v příčném směru - přitlačná kladka
O_4	budící síla
F_5	přitlačná síla řemene
F_6	podíl přitlačné síly řemene od přitlačné kladky
w	úhlová rychlosť
ω^*	vlastní frekvence kmitání rotoru
α	úhel styku dříku rotoru s nákružkem
β	úhel působení přitlačné kladky
L	energie kinetická
U	energie potenciální
R	energie disipovaná v jednotce času
Q	zobecněná síla
g	gravitační zrychlení
σ	ovalita nákružku opěrného kotouče
n	otáčky spřádacího rotoru
t	čas, doba
r_N	poloměr sběrného povrchu
v	obvodová rychlosť
r	poloměr dříku rotoru
R_o	poloměr opěrného kotouče
ϕ, ψ	obecný úhel

N_p	měrný nevývažek
R_a	drsnost povrchu
d	logaritmický dekrement
I	elektrický proud
q	elektrický náboj
N	normálná síla
T	třecí síla
M_v	moment valivého odporu
M_c	moment čepového tření

Použité zkratky

VVZ	Výzkumně vývojová základna
VÚB	Výzkumný ústav bavlnářský
HLP	hromadná likvidace přetřhů
EJP	elektrický jednotkový pohon
ITMA	světová výstava textil.strojů konaná v Evropě
ATME	světová výstava textil.strojů konaná v USA

Předmluva

Od první poloviny tohoto století prodělalo modelování fyzikálních dějů značné změny, které umožnil především rozvoj matematické a výpočetní techniky. Praktické ověřování se stává stále nákladnější a ekonomicky i společensky neúnosné, naproti tomu modelování vlastnosti systému čistě matematickým způsobem umožňuje v předstihu, před zhotovením kompletního modelu poznávat výsledky a zrychlit tak prováděné inovace. V současné době se dostává do popředí poznávání nestacionárních a přechodových jevů, dynamických procesů v konkrétních podmírkách. Proto se přechází k numerickému experimentu, k matematickému modelování, vedle analytických úvah sestavujeme úlohu pro řešení pomocí samočinného počítače. Provedený analytický rozbor přináší kvalitativní pochopení problému, numerická řešení poskytuji potřebné kvantitativní výsledky konkrétních případů.

Předkládaná disertační práce přináší metody pro sestavení a řešení matematického modelu odvalového uložení spřádacího rotoru, dále obsahuje podklady pro jeho experimentální ověření, pro měření vibrací rotorů spřádacích jednotek bezvřetenových dopřádacích strojů. V závěru práce jsou uvedeny požadavky na konstrukční řešení odvalového uložení, kdy zvýšení jeho výkonových parametrů přinese v praxi růst produkce i produktivity práce.

Chtěl bych zde poděkovat pracovníkům VVZ Hnátnice, především dělníkům prototypové dílny, za jejich zájem a pomoc při výrobě zkušebního stendu s přípravky pro měření, pracovníkům zkušebny za možnost provádět měření a zapůjčení aparatury. Dále pracovníkům VŠST Liberec ing. Mrázkovi CSc, ing. Mevaldovi CSc za poskytnuté konzultace, ing. Tůmovi za pomoc při řešení modelů na samočinném počítači a RNDr. ing. Sodomkovi CSc za zapůjčení měřící aparatury a instrukce o její obsluze.

1. ÚVOD

Během posledních třiceti let proběhla v textilním průmyslu řada převratných změn. Jednou z nejprogresivnějších bylo zařazení bezvřetenových dopřádacích strojů do výrobního procesu. Potvrzuje to ostatně i zájem ostatních světových výrobců textilních strojů o tuto technologii výroby přízí, neboť od ověřovací série vyrobené v roce 1967 v n.p. Kovostav Ústí nad Orlicí (nyní k.p. Elitex) byly ve světě instalovány do roku 1979 více jak 3 miliony spřádacích míst. V současné době překračuje počet vyrobených kusů již pět milionů jen v samotném k.p. Elitex.

Jestliže některá dřívější zlepšení přinášela zvýšení produktivity práce o procenta nebo desítky procent, potom tato změna v technologii výroby přízí přinesla v první fázi zvýšení produktivity o dvoj až trojnásobek. Průměrná odtahová rychlosť stoupla z původních $16 \text{ m} \cdot \text{min}^{-1}$ u klasického předení na současných cea $200 \text{ m} \cdot \text{min}^{-1}$ u bezvřetenového předení, což znamená zvýšení produkce výroby přízí více jak na dvanáctinásobek. Produktivita práce však nerostla jen se zvyšováním odtahové rychlosti, ve druhé fázi vývoje došlo k mechanizaci a posléze i k automatizaci obsluhy strojů.

V současné době nastupuje třetí generace bezvřetenových dopřádacích strojů s otáčkami spřádacích rotorů do $80\,000 \text{ min}^{-1}$, s automatickým čištěním spřádacích komor a automatickým zapřádáním příze. Také přívod prázdných dutinek, smek a odvod navinutých cívek je automatizován. Některé stroje jsou vybaveny automatickým spouštěním a zastavením stroje (HLP), sledováním provozních parametrů a sběrem dat z jeho provozu. Klesá počet obsluhujícího personálu, zkvalitňuje se vlastní výrobní proces, odstraňuje se namáhavá fyzická práce.

Bezvřetenové dopřádací stroje zajišťují jak úsporu pracovních sil a času, tak úsporu počtu strojů ve výrobním procesu - úsporu plochy. Tím, že vyrábějí přízí přímo z pramene, nahradí ve výrobním procesu až tři přádelnické operace. Bezvřetenové dopřádací stroje se tedy stávají stále větším přínosem pro národní hospodářství jak v zabezpečení materiální základny společnosti v oblasti výroby přízí a výrobků

textilního průmyslu, tak i v úspoře energie a pracovních sil.

V dokumentu "Hlavní směry hospodářského a sociálního rozvoje v ČSSR na léta 1981-85" jsou uvedeny tyto závěry : "Výsledky VTR a jejich uplatnění však ještě neodpovídají potřebám národního hospodářství, dosud se nepodařilo dosáhnout podstatného zrychlení cyklu výzkum-vývoj-výroba-užití. Značné možnosti zůstávají ve zvyšování technické úrovně. Záleží tedy na tom, jak rychle budou výsledky uvedeny do praxe." V části dokumentu věnované strojírenství se říká : "V textilním strojírenství je nutné zabezpečit výrobu nové generace strojů pro bezvřetenové předení s vyšší odtahovou rychlostí."

Růst odtahové rychlosti zaručuje vyšší produkci stroje, je však podmíněn zvýšenými otáčkami sprádacích rotorů. Požadavek dalšího zvyšování odtahové rychlosti klade tedy nároky na komplexní rozvoj celého bezvřetenového doprásadacího stroje, zejména ale na sprádaci jednotku, na zvýšení parametrů uložení sprádacího rotoru. Předkládaná kandidátská práce je přispěvkem k řešení tohoto úkolu pomocí odvalového uložení, které dovoluje podstatné zvýšení otáček sprádacího rotoru bez vyšších nároků na valivá ložiska opěrných kotoučů. Přednosti i zápory odvalového uložení jsou uvedeny v další kapitole této práce a jsou porovnány se současnými technickými možnostmi oboru, s ostatními vyvijenými způsoby uložení.

Použití odvalového uložení je řešením z hlediska strojního zabezpečení, zůstává však otevřená otázka technologická, zda se podaří při těchto vysokých parametrech vyrábět kvalitní příze. Ani tato část vývoje nezůstává bez povšimnutí a na zajištění požadované úrovně mechanicko-fyzikálních vlastností příze při zvýšených otáčkách sprádacích rotorů se usilovně pracuje.

Cílem disertační práce je jednak prověření možnosti použití odvalového uložení pro uvedené zvýšené parametry (pro otáčky sprádacího rotoru do $120\ 000\ min^{-1}$), dále jsou zkoumány vlivy jednotlivých konstrukčních parametrů odvalového uložení na stabilitu chodu rotoru (uložení považujeme za stabilní, pokud nedojde k odskoku rotoru od opěrných ko-

toučů).

Protože se jedná o přípravnou etapu, která předchází vlastnímu konstrukčnímu zpracování, o etapu, která řeší poměrně složitý a náročný problém s mnoha konstrukčními, materiálovými a provozními vlivy, jsou pro zjednodušení těchto předběžných prací sestaveny matematické modely odvalového uložení spřádacího rotoru. Tyto modely mají matematicky simulovat provozní podmínky chodu spřádacího rotoru na bezvřetkovém dopřádacím stroji, ať se jedná o rozbeh stroje, či vlastní chod během výrobního procesu při různých parametrech nastavení stroje. Rovněž zanášení spřádací komory nečistotami během předení, modelované matematicky, dává přehled o chování a stabilitě spřádacího rotoru při růstu budící sily. Matematický popis modelů je proveden soustavou diferenciálních rovnic prvního řádu s lineárními koeficienty. Kandidátská práce má stanovit metody pro vyhodnocení navržených modelů, v první řadě však vypracovat řešení soustav diferenciálních rovnic. Řešení jsou prováděna numericky na samočinném počítači, pro který byly sestaveny programy umožňující sledovat výše uvedené alternativy provozního chodu rotoru. Do těchto výpočtů mohou být zahrnutý i různé konstrukční úpravy týkající se rozměrů i použitých materiálů uložení, s ohledem na jejich tuhost a tlumení. Do programu je rovněž zavedena možnost sledovat tuhosti podpor a řemene jako konstantní nebo nelineární.

Důležitým cílem disertace jsou i měření provedená na odvalovém uložení, která mají jednak porovnat vytvořené matematické modely s praxí, zjistit do jaké míry se shodují teoretické vypočtené hodnoty se skutečnými naměřenými hodnotami během provozu. Dále má měření poskytnout obraz o stabilitě odvalového uložení v různých provozních režimech, stanovit amplitudy a kritické frekvence kmitání rotoru. Měření jsou prováděna dvěma metodami: laser ve spojení s kmitočtovým analyzátorem s velkou rozlišovací schopností a piezoelektrické snímače s týmž analyzátem.

V poslední části kandidátské práce jsou ze závěrů jednotlivých kapitol určeny směry pro vlastní konstrukční ře-

šení a vysloveny požadavky kladené na provedení odvalového uložení co se týče rozměrů, přesnosti výroby jednotlivých dílců i druhů použitých materiálů.

Na výstavě ITMA 1983 v Miláně se sice naše stroje zařadily mezi světovou špičku, mezi stroje 3. generace bezvřetenového předení, jak otáčkami spřádacích rotorů, tak komplexní automatizací; ve vývoji však nelze ustrnout a je nutné v ostré zahraniční konkurenci pokračovat v dalším zlepšování našich strojů. Toto ostatně požaduje i výše uvedený dokument o hospodářském rozvoji ČSSR a z něho plynoucí státní úkol P 19 124 262, týkající se nové generace bezvřetenového předení s vyššími provozními parametry.

Základem pro vývoj bylo využití výsledků vývoje členem bezvřetenového předení po zařízení otáček spřádacích rotorů. V současné době se některé základní materiály již provozně upřádají při otáčkách 3000 min⁻¹, jsou snahy o uvedení nových charakteristik výkonu a snazí se, aby tyto dovolily ještě delší zvýšení povrchového. Snahy zahraničních výrobčů o vývoj vlastních strojů byly značně ovlivněny československými patenty, což se projektovalo po výměně akciovické v čele stroje, ale i v oblasti energetického podniku – ve výšených příkonech strojů, aby využívali své nedostatky, vznikly se třídy výrobci s zvýšenou otáčkou rotorek a vzdálovou rychlostí. Prvotní výrobci na strojích jejich firmy objevila odvalová uložení firmy Škoda, připadlé firmy OKB, využívající podstatné zvýšení otáček spřádacích rotorů až na prospektované 100 000 min⁻¹.

V aktuální kapitole přibližuje jednotlivé typy uložení, které jsou využívány v současné době českou a světovou výrobcí strojů nezávisle na konkrétních výrobcích, a nazývá výhody a nevýhody jednotlivých řešení a porovnává je s odvalovými řešeníma.

V tréninku mohou být použity také informace o zkušenostech s provedením uložení v průběhu vývoje strojů výrobců ITMA, které byly využity v současné době v rámci výroby strojů kandidujících k soutěži o titul "Mistrovství světa v výrobě strojů".

2. PŘEHLED O SOUČASNÉM STAVU PROBLEMATIKY

Československé stroje dosud předčily zahraniční výrobky nízkou cenou, vyšší výrobností na 1 m² zastavěné plochy, nižší spotřebou elektrické energie v kWh na 1 kg vyrobené příze i malou materiálovou náročností vyráběných strojů. Jak již bylo uvedeno v předchozím textu, ve vývoji bezvřetenových dopřádacích strojů je nutné pokračovat a hledat nové cesty vedoucí jak ke zvýšení výrobnosti, tak k zavádění automatizace, je nutné sledovat možnosti zvyšování otáček spřádacích rotorů s ohledem na zahraniční konkurenci. Prospektové materiály firmy Süssen uvádějí závažné tvrzení, že uložení spřádacího rotoru nesmí být limitujícím členem bezvřetenového předení co se týče otáček spřádacích rotorů. V současné době se některé textilní materiály již provozně spřádají při otáčkách 90 000 min⁻¹ a jsou snahy o zavedení nových chemických vláken a směsí, které by dovolily ještě další zvýšení parametrů. Snahy zahraničních výrobců o vývoj vlastních strojů byly ztiženy obcházením československých patentů, což se projevilo po stránce ekonomické v ceně stroje, ale i v oblasti energetické náročnosti - ve zvýšených příkonech strojů. Aby vyrovnavali tyto nedostatky, snažili se tito výrobci o zvýšení otáček rotorů a odtahové rychlosti. Proto se na strojích jejich firem objevila odvalová uložení firmy Süssen, případně firmy SKF, dovolující podstatné zvýšení otáček spřádacích rotorů až na prospektových 100 000 min⁻¹.

Následující kapitola přibližuje jednotlivé typy uložení, zkoumané a vyvijené v současné době špičkovými světovými výrobci bezvřetenových dopřádacích strojů, ukazuje výhody i nevýhody jednotlivých uložení a porovnává je s odvalovým uložením.

Srovnání našich strojů se zahraničními co se týče parametrů i provedení v historickém přehledu výstav ITMA poskytuje přílohy č. 4, 5, 6, uvedené v "Pisemné práci kandidátského minima" - lit. [50]. Rovněž podrobnější informace o vzniku a vývoji bezvřetenového předení s popisem tvorby příze jsou uvedeny v lit. [1, 50].

2.1 Hodnocení stavu techniky

Pokud srovnáváme otáčky spřádacích rotorů na výstavě ITMA 1967 v Basileji (kde pracoval první bezvřetenový stroj BD 200 s otáčkami $30\ 000\ \text{min}^{-1}$) se stroji na výstavě ITMA 1983 v Miláně (dosahujícími v provozu až $80\ 000\ \text{min}^{-1}$), zjišťujeme obrovský pokrok - nárůst otáček bezvřetenového předení téměř na trojnásobek. Ani zde však nemůžeme mluvit o konečné hranici, neboť ve Výzkumném ústavu bavlnářském v Ústí nad Orlicí již pracují vícemístné modely stroje BDA-B1 s provozními otáčkami spřádacích rotorů do $90\ 000\ \text{min}^{-1}$. Spřádací rotory jsou v tomto případě uloženy na vzduchových ložiskách.

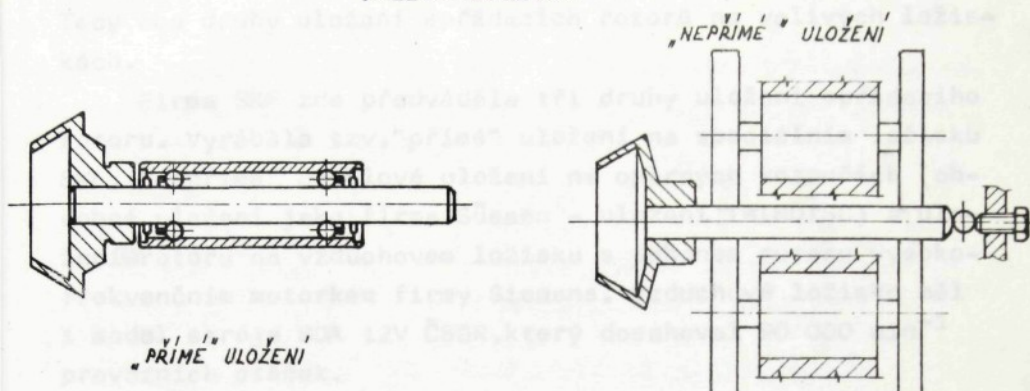
Jestliže budeme zkoumat možnosti strojního zabezpečení těchto vysokých otáček, je možné řešit v současné době uložení rotoru spřádací jednotky pěti způsoby, jak je většinou uvedeno v literatuře [2,3,4]. Jsou to uložení spřádacího rotoru buď na valivém ložisku (viz obr.1) nebo "kluzném" ložisku (viz obr.2) v provedení :

- a/ uložení spřádací komory na vysokootáčkovém valivém ložisku (tzv."přímé" uložení)
- b/ uložení spřádacího rotoru na podpěrných kotoučích s valivými ložisky a pohonem spřádacího rotoru tangenciálním řemenem (tzv."nepřímé" - odvalové uložení)
- c/ uložení spřádacího rotoru na vzduchovém ložisku
- d/ uložení spřádacího rotoru na magnetickém ložisku
- e/ jenotkový elektrický pohon - elektrovřeteno (je kombinací předchozích typů uložení)

Následující obrázky (obr.1 a 2) schematicky zobrazují předchozí rozdělení podle druhu uložení. Podrobnější popis a hodnocení jednotlivých typů uložení jsou provedeny v dalších částech této kapitoly.

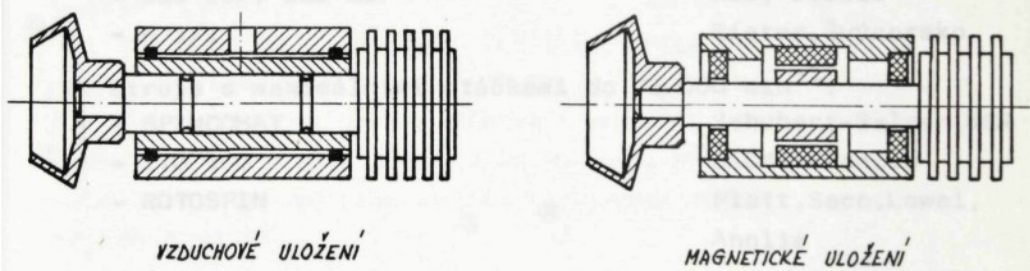
Když se vrátíme zpět k prvnímu uložení spřádacího rotoru na stroji BD 200, předváděnému na ITMA 1967, můžeme

VALIVÁ LOŽISKA



Obr.1

KLUZNÁ LOŽISKA



Obr.2

toto uložení charakterisovat jako "přímé", na vysokootáčkovém valivém ložisku, s otáčkami do $30\ 000\ \text{min}^{-1}$.

Na výstavě ITMA 1971 se již projevil obrovský pokrok ve strojním zajištění otáček spřádacích rotorů (viz lit. [5,6,7,8]).

U "přímého" uložení vzrostly otáčky spřádacích rotorů na $60\ 000\ \text{min}^{-1}$ na stroji HS-260 firmy Toyoda. Firma Spindelfabrik Süssen svým "nepřímým" odvalovým uložením TWINDISC zaručovala prospektové otáčky spřádacích rotorů až $100\ 000\ \text{min}^{-1}$.

Na výstavě ITMA 1975 byla zastoupena jak "přímá" uložení spřádacích rotorů s pracovními otáčkami do $60\ 000\ \text{min}^{-1}$,

tak "nepřímá" uložení s pracovními otáčkami do $80\ 000\ \text{min}^{-1}$. Tedy oba druhy uložení spřádacích rotorů na valivých ložiskách.

Firma SKF zde předváděla tři druhy uložení spřádacího rotoru. Vyráběla tzv."přímé" uložení na speciálním ložisku SKF, "nepřímé" odvalové uložení na opěrných kotoučích (obdobné uložení jako firma Süssen - uložení TWINDISC) a uložení rotoru na vzduchovém ložisku s pohonem rotoru vysokofrekvenčním motorkem firmy Siemens. Vzduchové ložisko měl i model stroje BDA 12V ČSSR, který dosahoval $90\ 000\ \text{min}^{-1}$ provozních otáček.

Vyráběné stroje zde byly rozděleny do tří skupin podle provozních otáček :

1. Stroje s maximálními otáčkami do $60\ 000\ \text{min}^{-1}$:

- | | |
|------------------------------|-------------------|
| - BD 200 S-120, BD 200 S-160 | Elitex, ČSSR |
| - HSL 6T, HS 6T | Toyoda, Japonsko |
| - OEG 16P, OEG 26P | NSG, Itálie |
| - H 1/1 | Rieter, Švýcarsko |

2. Stroje s maximálními otáčkami do $75\ 000\ \text{min}^{-1}$:

- | | |
|-------------|--------------------------------|
| - SPINCOMAT | Schubert-Salzer, NSR |
| - ITG 100 | SACM, Francie |
| - ROTOSPIN | Platt, Saco, Lowell,
Anglie |

3. Stroje s maximálními otáčkami do $80\ 000\ \text{min}^{-1}$:

- | | |
|-------------|---------------------|
| - AUTOCORO | Schlafhorst, NSR |
| - SPIN-FLEX | Barber, Colman, USA |

Na výstavě ITMA 1979 již bylo použito odvalové uložení spřádacích rotorů firmy Süssen na bezvřetenových dopřádacích strojích s provozními otáčkami do $80\ 000\ \text{min}^{-1}$ u těchto vystavovatelů :

- | | |
|-----------------|-----------------------------|
| - AUTOCORO | Schlafhorst, NSR |
| - RU 11/1 | Schubert-Salzer, NSR |
| - ITG 100 | SACM, Francie |
| - SPIN-FLEX | Barber-Colman, USA |
| - PW 2 | Wifama-Polmatek, Polsko |
| - ROTOSPIN 887 | Platt, Saco, Lowell, Anglie |
| - ROTOSTAR RS-1 | Star Group, Indie |

"Přímá" uložení byla použita do maximálních otáček 70 000 min⁻¹.

Na výstavě ITMA 1983 byly z vystavených strojů osazeny odvalovým uložením spřádacího rotoru s provozními otáčkami rotorů do 80 000 min⁻¹ tyto stroje :

- AUTOCORO	Schlafhorst, NSR
- RU 11	Schubert - Salzer, NSR
- ROTOSPIN 887	Platt, Saco, Lowell, Anglie
- PPM-160	Techmašexport, SSSR

"Přímá" uložení zde dosahovala až 80 000 min⁻¹, s garantovanou životností ložisek spřádacího rotoru 12 000 hod.

Výše uvedená porovnání signalizují zájem o zvyšování parametrů strojů všech známých výrobců bezvřetenových dopřádacích strojů, ale také jejich důvěru v odvalové uložení spřádacího rotoru.

Uložení na "kluzných" ložiskách (viz obr.2) se zatím příliš nerozšířila, což se přisuzuje negativní ekonomické stránce tohoto pohonu, tak zřejmě i náročné výrobě. Podrobnější rozbor jednotlivých druhů uložení je uveden v další části této kapitoly, kde jsou rovněž porovnány výhody i nevýhody jejich použití.

2.1.1 Uložení spřádacího rotoru na vysokootáčkovém valivém ložisku (tzv."přímé" uložení)

"Přímé" uložení je tvořeno vysokootáčkovým valivým ložiskem s nalisovanou spřádací komorou. Vlastní konstrukce uložení je zřejmá z obr.3 a obr.4, které nám ukazují tuhé a pružné uložení ložisek v rámu.

Vysokootáčkové ložisko je složeno ze dvouřadého kuličkového ložiska s jednostrannými klecemi z polyamidu, případně z texgumoidu, s oběžnými drahami vytvořenými v pláštích a rotoru ložiska. Utěsnění proti vnikání nečistot do ložiska je provedeno pomocí nalisovaných nákružek. Ložiska mají

otvory pro domazávání.

Pružné uložení vysokootáčkového ložiska má navíc dva prstence s navulkanizovanými kovovými nákružky, což ukazuje obr.4.

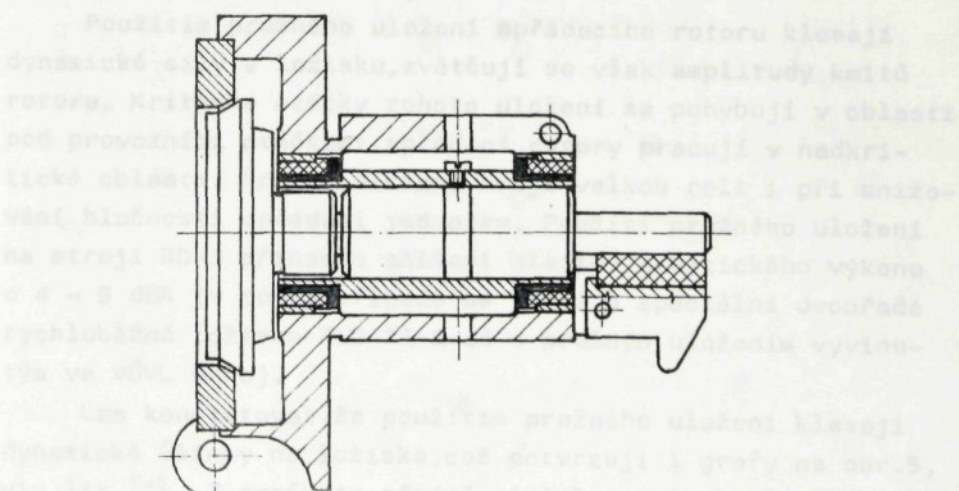
Tuhé uložení spřádacího rotoru

ne kvůli trvanlivému záblesku vysokého rychlosti jeho ložisek, takže mohou být využity tříprstencového doprívadloho stroje, neboť zde dochází k vlivu na vysokou rychlosť rotace. Tuhé uložení spřádacího rotoru je zajištěno vložením do ložiskového hřídele, nejedná se o uchycení ložiskového hřídele, ale o provádění buď vložením do ložiskového hřídele, neboť bylo uvedeno výše (viz obr. 3 a obr. 4).

Vzhledem k tomu, že vložení vedených v liz. [2], pohybuje se pravostranná stráňka u tuhého uložení spřádacího rotoru pod křížkovými stráňkami, mohou se vložit i v podkřížkové oblasti. Nejdříve zvyšuje se tlak vložených stránek, aby způsobilo značné přesunu vložených stránek, což zvýší bezpečnost a znemožnilo by energetické ztráty.

Obr.3

Pružné uložení spřádacího rotoru



Obr.4

U všech vysokootáčkových zařízení vznikají značné dynamické sily a v mistě uložení rotujících částí vyvolávají nejnepříznivější účinky odstředivé sily způsobené zbytkovou nevyváženosťí rotoru. V našem případě to je nevyváženosť spřádacího rotoru, kde s rostoucimi otáčkami rostou i nároky na kvalitní vyvážení pro zabezpečení vysoké životnosti jeho ložisek. Tento požadavek však nelze úplně zajistit během výrobního procesu bezvřetenového dopřádacího stroje, neboť zde dochází k nekontrolovatelnému rozvážení spřádacího rotoru vlivem usazených nečistot a prachu uvnitř spřádací komory.

Vznikající dynamické sily během provozu ložiska nejsou ovlivňovány jen nevývahou, ale také provedením uchycení ložiska na rámu stroje. Toto uchycení může být provedeno buď jako tuhé nebo jako pružné, což bylo uvedeno výše (viz obr. 3 a obr. 4).

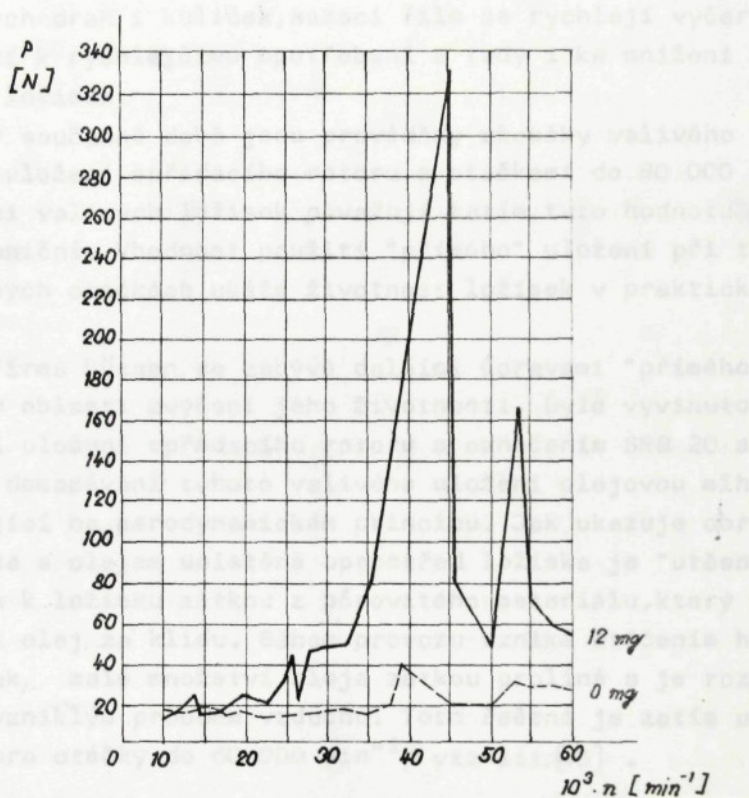
Jak vyplýnulo z měření uvedených v lit. [2], pohybuji se provozní otáčky u tuhého uložení spřádacího rotoru pod kritickými otáčkami, rotor tedy pracuje v podkritické oblasti. Další zvyšování do oblasti kritických otáček by způsobilo značné přetížení ložisek, snížení jejich životnosti a znásobilo by energetické ztráty.

Použitím pružného uložení spřádacího rotoru klesají dynamické sily v ložisku, zvětšují se však amplitudy kmitů rotoru. Kritické otáčky tohoto uložení se pohybují v oblasti pod provozními otáčkami, spřádací rotory pracují v nadkritické oblasti. Pružné uložení hraje velkou roli i při snižování hlučnosti spřádací jednotky. Použití pružného uložení na stroji BD-S přineslo snížení hladiny akustického výkonu o 4 - 5 dBA (v tomto případě se jedná o speciální dvouřadé rychloběžné ložisko PLC 73-1-14 s pružným uložením vyvinutým ve VÚVL Brno).

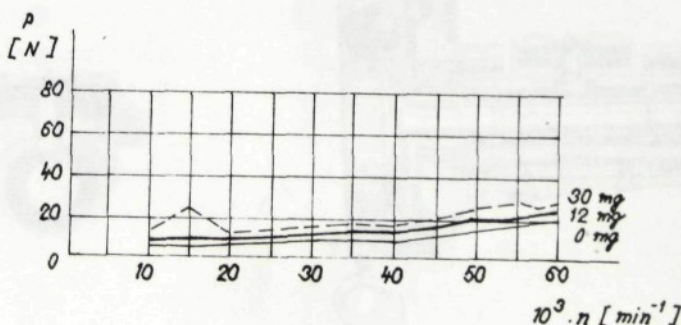
Lze konstatovat, že použitím pružného uložení klesají dynamické účinky na ložisko, což potvrzují i grafy na obr. 5, viz lit. [2]. Z grafu je zřejmá závislost působící sily na velikosti nevývážku a na otáčkách spřádacího rotoru. Grafy jsou provedeny pro tuhé a pružné uložení.

Dynamické zatížení ložiska vzniklé působením nevývažku
ve spřádací komoře v závislosti na otáčkách spř. rotoru.

Tuhé uložení



Pružné uložení

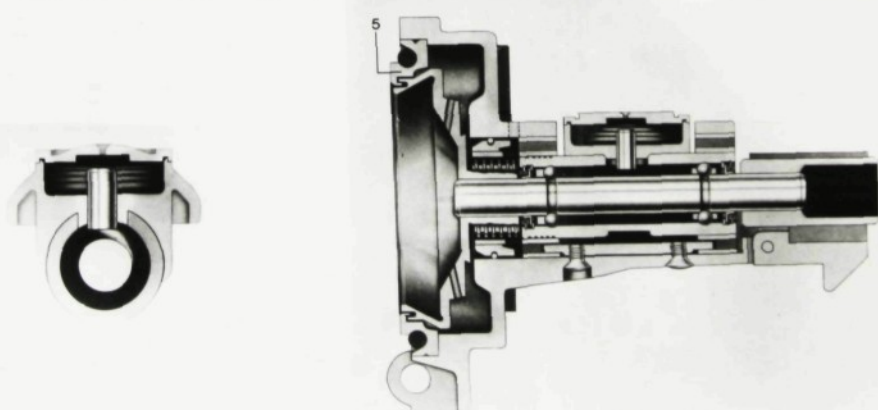


Obr.5

Shrneme-li předchozí úvahy, docházíme k závěru, že s rostoucími otáčkami rostou i dynamické účinky, které nepříznivě zatěžují ložiska. Dochází ke zvýšenému zatižení oběžných drah i kuliček, mazací film se rychleji vyčerpává, dochází k rychlejšímu opotřebení a tedy i ke snížení životnosti ložisek.

V současné době jsou prováděny zkoušky valivého "přímého" uložení spřádacího rotoru s otáčkami do $80\ 000\ min^{-1}$. Výrobci valivých ložisek považují zatím tuto hodnotu otáček za hraniční. Vhodnost použití "přímého" uložení při těchto zvýšených otáčkách ukáže životnost ložisek v praktickém provozu.

Firma Süssen se zabývá dalšími úpravami "přímého" uložení v oblasti zvýšení jeho životnosti. Bylo vyvinuto kompletní uložení spřádacího rotoru s označením SRB 20 s možností domazávání tohoto valivého uložení olejovou mlhou, pracující na aerodynamickém principu. Jak ukazuje obr. 6 nádobka s olejem umístěná uprostřed ložiska je "utěsněna" směrem k ložisku zátkou z půrovnitelného materiálu, který nepropouští olej za klidu. Během provozu vzniká otáčením hřídele podtlak, malé množství oleje zátkou proliná a je rozprašováno vzniklým proudem vzduchu. Toto řešení je zatím uvažováno pro otáčky do $60\ 000\ min^{-1}$, viz lit. [45].



Obr. 6

Obdobné řešení přímého uložení spřádacího rotoru s domazáváním ložiska olejovou mlhou ověřuje, zatím jen laboratorně, také VÚVL Brno pro otáčky do $80\ 000\ min^{-1}$.

Kdybychom měli shrnout klady i zápory "přímého" uložení spř. rotoru, potom za výhody můžeme považovat :

- relativně jednoduché provedení tohoto uložení a jeho začlenění do stroje, snadnou montáž i demontáž
- pohon spřádacích rotorů tangenciálním řemenem je jednoduchý, s rostoucími otáčkami rotorů však klesá životnost řemenů a roste hlučnost
- malá hmotnost uložení

Nevýhody "přímého" uložení :

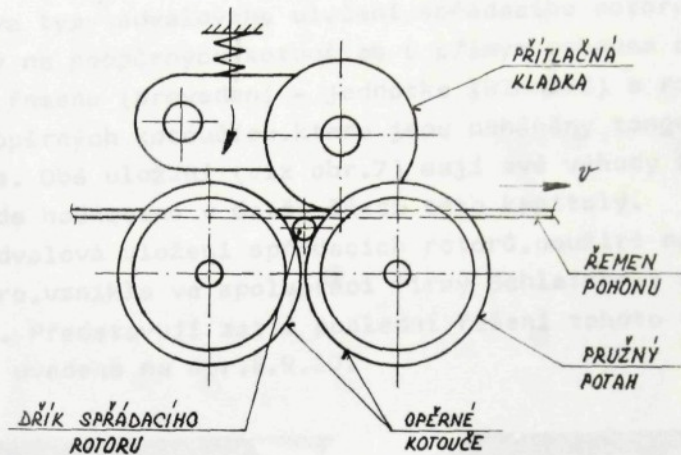
- nákladná výroba, nutnost výběru kuliček i kroužků
- náročná výroba ložisek co se týče použitých materiálů i přesnosti
- nutná výměna spřádacích rotorů při změně jejich otáček, případně při změně sprádaného materiálu (u "přímého" uložení to představuje tolik ložisek, kolik je druhů spřádacích komor, lišících se průměrem komory nebo tvarem sběrné drážky)
- nutné domazávání ložisek během provozu (zvláště u ložisek mazaných olejovou mlhou je nutné doplňování zásobníků olejem)

2.1.2 Uložení spřádacího rotoru na podpěrných kotoučích s pohonem rotoru tangenciálním řemenem (tzv. "nepřímé" - odvalové uložení)

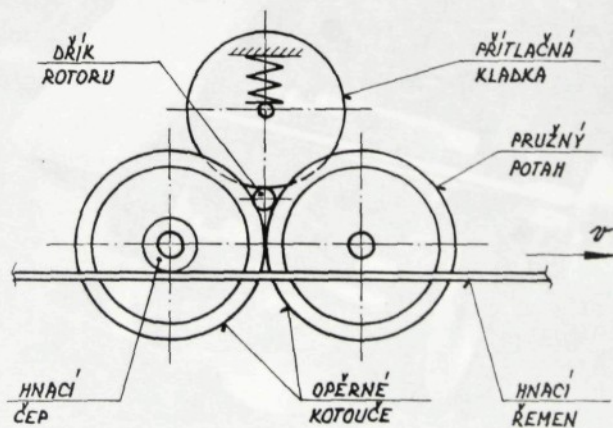
Uložení spřádacího rotoru na opěrných kotoučích je výhodné svou konstrukcí, neboť při vysokých otáčkách spřádacího rotoru mají ložiska opěrných kotoučů zmenšené otáčky v poměru průměru hřídele rotoru a opěrného kotouče (1:5 až 1:10). Tento poměr uvažujeme dále cca 1:8, což znamená, že při otáčkách 120 000 min^{-1} spřádacího rotoru jsou otáčky ložisek opěrných kotoučů pouze cca $15\ 000\ min^{-1}$. Není tedy nutné speciální vysokootáčkové ložisko jako pro spřádací rotor

se $60\ 000\ \text{min}^{-1}$, případně s $80\ 000\ \text{min}^{-1}$ a životnost použitých ložisek je vyšší, než v případě "přímého" uložení.

PRINCIP ULOŽENÍ TWINDISC



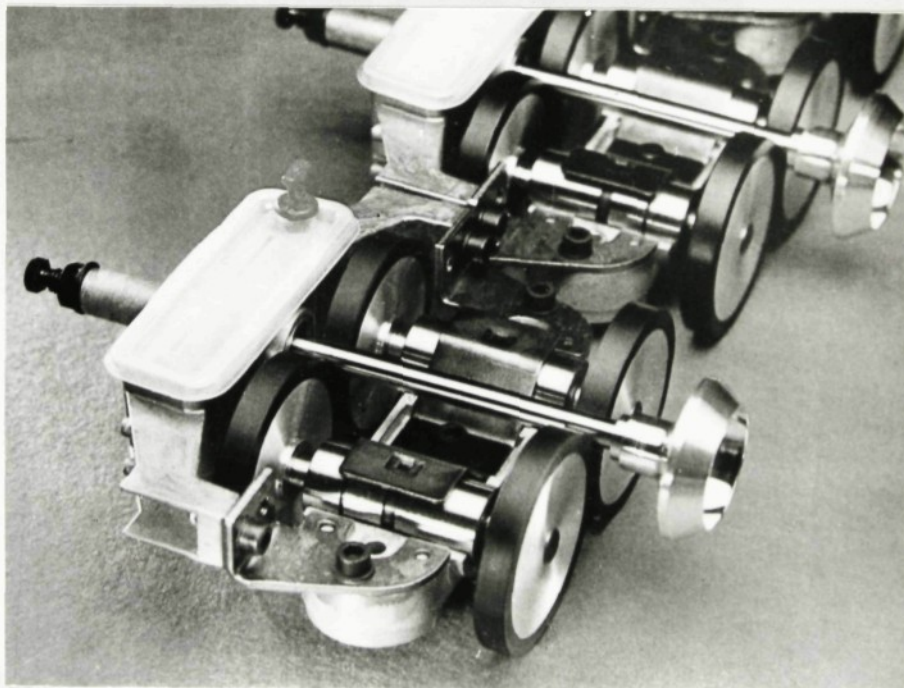
PRINCIP POHONU PŘES OPĚRNOU KLAĐKU



Obr.7

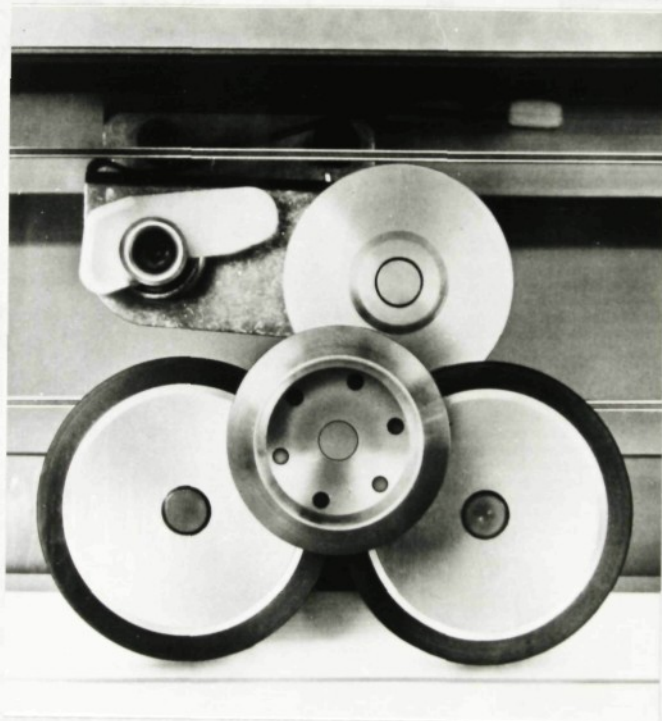
V patentové literatuře je uvedena řada řešení odvalového uložení. Právě řešení firmy Süssen se jeví jako nejzajímavější a nejpropracovanější. Nasvědčuje tomu i použití odvalového uložení firmy Süssen u řady strojů zahraničních firem (viz předchozí část této kapitoly). Firma Süssen zkoumala dva typy odvalového uložení spřádacího rotoru - rotor uložený na podpěrných kotoučích s přímým pohonem od tangenciálního řemenu (provedení - jednotka TWINDISC) a rotor uložený na opěrných kotoučích, které jsou poháněny tangenciálním řemenem. Obě uložení (viz obr.7) mají své výhody i nevýhody, což bude hodnoceno v další části této kapitoly.

Odvalová uložení spřádacích rotorů, použitá na strojích Autocoro, vznikla ve spolupráci firmy Schlaufhorst s firmou Süssen. Představují zatím poslední řešení tohoto uložení a jsou uvedena na obr.8,9,10.



Obr.8

Podívejme se nyní podrobněji na upravené odvalové uložení firmy Süssen-WST, ROTOR BOX-RX 202. Toto provedení se skládá z profilu ve tvaru U - KANAL BOX, ve kterém je umístěno 12 jednotek odvalového uložení - TWINDISC. Kanál je proveden jako polouzavřený tuhý nosník, který může být přímo vložen do stroje a tvoří součást kostry stroje. Vlastní jednotka TWINDISC se skládá ze spřádacího rotoru, dvou páry podpěrných kotoučů, přitlačné kladky, axiálního ložiska, brzdy a nosného bloku, ve kterém jsou tyto dílce uloženy (viz obr. 9, 10).

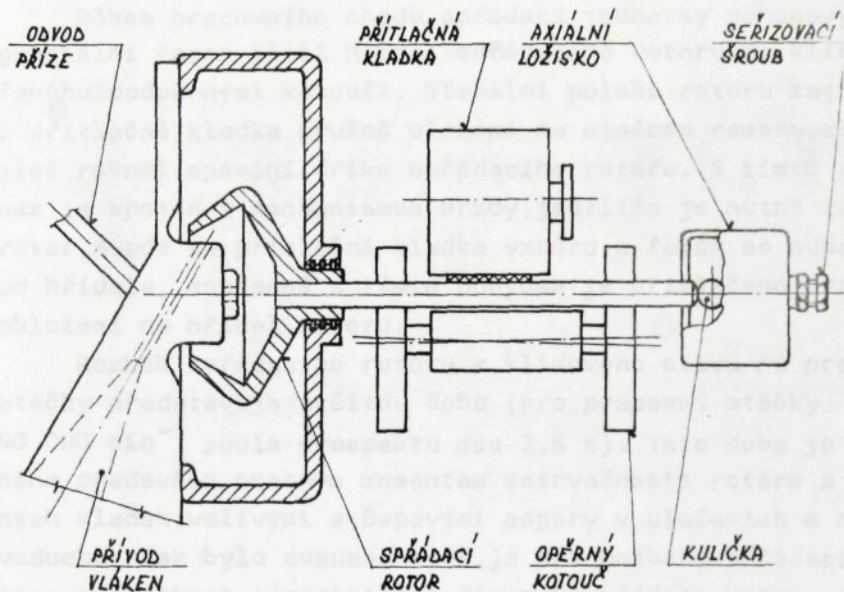


Obr.9

Spřádací komora je nalisována na hladkém válcovém hřídele o průměru 9 mm. Spřádací rotor je podepřen dvěma páry volně otočných opěrných kotoučů. Tyto opěrné kotouče jsou opatřeny pružným potahem a jsou uloženy na vřetenu s valivými kuličkovými ložisky. Ložiska jsou prachotěsně uzavřena

a naplněna mazivem na dobu životnosti.

Osy vřeten jsou mírně mimoběžné a tlačí spřádací rotor do axiálního patního ložiska, uloženého v olejové lázni (viz obr.10).



Obr.10

Axiální ložisko sloužící k zajištění pracovní polohy spřádacího rotoru je tvořeno na jedné straně vydutím na hřídeli spřádacího rotoru, ve kterém je vsazena kulička ponořená v olejové lázni, na druhé straně opírá kuličku seřizovací šroub (viz obr.10). Pomoci tohoto šroubu je možné přesné nastavení polohy spřádacího rotoru, takové polohy, která zajišťuje proces výroby příze pro použitý spřádací rotor.

Toto jednoduché axiální zajištění poskytuje řadu výhod :

- po stránci technologické snadnou výměnu potřebného spřádacího rotoru při změně otáček rotoru i při změně druhu zpracovávaného materiálu

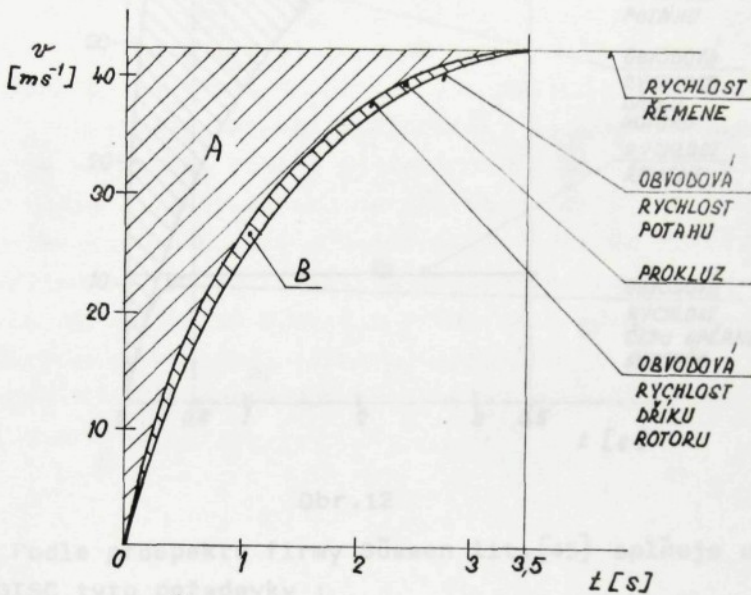
- po stránce výrobní - snadnou výrobu přesného hřidele spřádacího rotoru a jeho axiálního zajištění
- po stránce ekonomické - vyměňované rotory jsou laciné (není zároveň měněno vysokootáčkové ložisko).

Během pracovního chodu spřádací jednotky pohonový tangenciální řemen tlačí hřídel spřádacího rotoru do klínu tvořeného podpěrnými kotouči. Stabilní polohu rotoru zajišťuje přitlačná kladka pružně uložená na otočném ramenu, zvětšující rovněž opásání dříku spřádacího rotoru. S tímto rameňem je spojen i mechanismus brzdy, jestliže je nutné zabrzdit rotor, zvedá se přitlačná kladka vzhůru a řemen se oddaluje od hřidele, současně s tímto pohybem je přitlačeno brzdové obložení na hřidele rotoru.

Rozběh spřádacího rotoru z klidového stavu na pracovní otáčky představuje určitou dobu (pro pracovní otáčky $90\ 000\ min^{-1}$ podle prospektu cca 3,5 s). Tato doba je ovlivněna především hmotným momentem setrvačnosti rotoru a opěrných kladek, valivými a čepovými odpory v uloženích a odporem vzduchu. Jak bylo uvedeno výše, je při rozběhu spřádacího rotoru přitisknut tangenciální řemen ke hřídeli rotoru, spřádací rotor se nerozbihá ihned na pracovní otáčky a dochází k prokluzu. Část energie dodávané řemensem se při prokluzech přeměňuje na teplo. Většinu tohoto vzniklého tepla odvádí ihned tangenciální řemen, neboť díky své vysoké rychlosti má i velkou stykovou plochu. Hřídel rotoru tedy není příliš tepelně zatížen a proto není ani velký přestup tepla na podpěrné kladky, na jejich potahy. Prokluzem řemene na hřídeli rotoru se tedy rozbíhá hřídel vůči podpěrným kotoučům téměř bez prokluzu. Tato okolnost je výhodná, neboť nedochází k poškození pružného potahu podpěrných kotoučů. Také provedená měření (viz lit. [45]) potvrzuje tuto skutečnost, šrafováná plocha A na obr. 11 odpovídá prokluzu mezi řemensem a dříkem rotoru a plocha B prokluzu mezi dříkem rotoru a podpěrnými kotouči.

Firma Süßen zaručuje poměrně vysokou životnost uložení, přebroušení potahů podpěrných kotoučů je doporučeno až po 4-5 letech provozu. Tím, že je spřádací rotor přímo

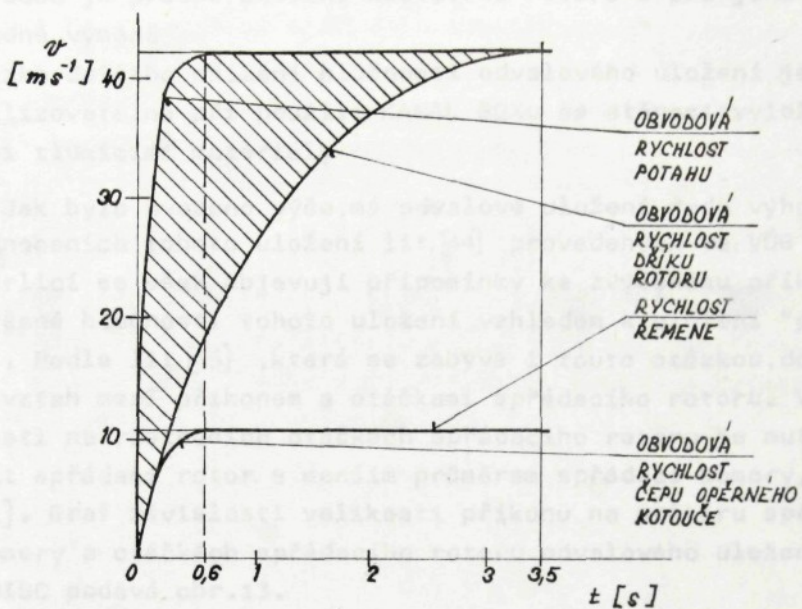
poháněn tangenciálním řemenem, nemá změna průměru podpěrných kotoučů po přebroušení vliv na počet otáček rotoru.



Obr.11

Nyní se podivejme na druhý způsob provedení odvalového uložení podle obr.7. Je zde patrný rozdíl obou konstrukcí, v tomto případě tangenciální řemen pohání čep podpěrného kotouče a kotouč teprve hřidel spřádacího rotoru. Velikost prokluzu můžeme odečíst z obr.12, kde šrafovovaná plocha odpovídá velikosti prokluzu mezi potahem a hřidelem rotoru. Z velikosti této plochy můžeme usuzovat na větší zatižení i opotřebení potahů opěrných kotoučů proti předchozímu případu.

Opotřebení opěrných kotoučů v tomto případě již ovlivňuje otáčky spřádacího rotoru, průměry kotoučů musí být pečlivě sledovány a opěrné kotouče často měněny. Toto je velká nevýhoda oproti uložení TWINDISC.



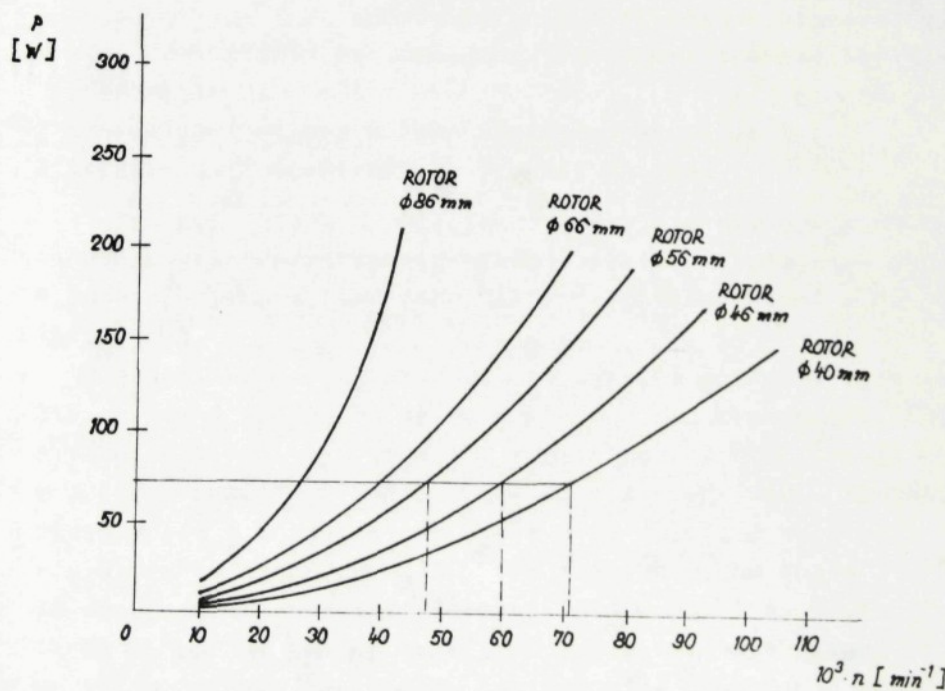
Obr.12

Podle prospektu firmy Süssen lit.[45] splňuje uložení TWINDISC tyto požadavky :

- otáčky dosahují $100\ 000\ \text{min}^{-1}$
- trvanlivost kuličkového ložiska opěrných kotoučů činí 5 let v třísměnném provozu, během této doby není nutné ložiska domazávat
- pro vypřádání různých druhů materiálů s různými délками staplu je vhodné z ekonomické stránky spřádacího procesu vybrat optimální spřádací rotor . Rotor je snadno vyměnitelný bez demontáže. Existuje řada rotorů podle druhů spřádaných materiálů a velikostí použitých otáček.
- jednoduchost provedení spřádacího rotoru, spřádací komora není nalisována na drahém vysokootáčkovém ložisku, ale na hladkém dříku a tím i cena rotoru není vysoká (cca 5 dolarů)
- rotor může být rychle zabrzděn pomocí třecí brzdy a ponechán neomezenou dobu v klidu
- podtlak ve spřádací komoře nepůsobí nepříznivě na ložisko rotoru, u tohoto uložení nemůže být vysáváno mazivo z lo-

- žisek jako v některých případech u "přímého" uložení
- výhodou je přesné axiální nastavení rotoru i při jeho snadné výměně
- otázka dalšího snížení hlučnosti odvalového uložení je realizovatelná při použití KANAL BOXu se stěnami vyloženými tlumícími materiály

Jak bylo uvedeno výše, má odvalové uložení řadu výhod. V hodnoceních tohoto uložení lit.[44] provedených ve VÚB Ústí nad Orlicí se však objevují připomínky ke zvýšenému příkonu a zvýšené hlučnosti tohoto uložení vzhledem k uložení "přímému". Podle lit.[45], která se zabývá i touto otázkou, dostáváme vztah mezi příkonem a otáčkami spřádacího rotoru. V závislosti na rostoucích otáčkách spřádacího rotoru je nutné použít spřádací rotor s menším průměrem spřádací komory, viz lit.[1]. Graf závislosti velikosti příkonu na průměru spřádací komory a otáčkách spřádacího rotoru odvalového uložení TWINDISC podává obr.13.



Obr.13

Z uvedeného grafu vyplývá závislost, kde s rostoucími otáčkami spřádacích rotorů roste i velikost příkonu pro jejich pohon. S rostoucími otáčkami spřádacího rotoru ale také podstatně stoupá produkce stroje a zmenšuje se množství dodané energie na jeden kilogram vypřádané příze.

Např.u rotoru \varnothing 46 mm s otáčkami $60\ 000\ min^{-1}$ a rotoru \varnothing 40 mm s otáčkami $70\ 000\ min^{-1}$ je snížení energetické náročnosti na jeden kg vypředené příze cca 8% (viz obr.13).

Stabilitu odvalového uložení spřádacího rotoru při zvýšených parametrech,dále příkony a hluk uložení bude nutné ověřit dlouhodobou zkouškou na zkušebním stendu a zejména nasazením uložení do praktického provozu.

Odvalové uložení je vhodné pro vysokých kružních rychlostech (až 100000 min⁻¹) a když je použito s klasickými ložiskami, neumožňuje využití vysokých rychlostech (až 10000 min⁻¹).
- ježíška mohou pracovat v maximálních prostorách při extrémních teplotách
- ježíška jsou jednoduše,spolehlivá,trvanlivá,neznačíšují okolí umírajícími mazivem,jesou vhodná pro provozy textilní a laboratorní
- v nevelkém rozsahu mohou sňít tuhosti vložení
- ježíška mají menší přenos vibrací do rámu

Odešlo bylo uvedeno výše, že nejvhodnější slynnou mazivem vodou, který tvoří nejjednodušší vložky v prostoru ložiskové vložky. Týkavá ložiska mohou dle dřívějšího uvedeného mazadynamické a na konzistenci.

U ložisek aerodynamických se vytváří potřebný tlak maziva v místě vstupu, relativního pohybu kruhových ploch, když se rychlouji a zlepší v podmínkách možnost tření, v místě rozšíření a zlepší dojde k případné třyku kruhových ploch a tím i k lejších zdrojů. Je tedy důležité volit mazadlo všechny styčné plochy. Při rozšíření potom roste se aerodynamickou rychlosťí čerpací úřízenek zvyšuje tlak, takže se zlepší vstupy odráží zlepšenou možností vložky, zlepšího zdroje vložení je spotřeba o mnoho méně maziva vložkách ploch. Ložiskové vlastnosti

2.1.3 Uložení sprádacího rotoru na vzduchovém ložisku

Do druhé skupiny uložení dle obr.2 patří "kluzná" ložiska. Ta můžeme podle mazacího media rozdělit na plynná a kapalinová. U kapalinových ložisek hrozí možnost styku mazacího media s vypřádaným materiélem, proto se zatím používají u bezvřetenových doprádacích strojů pouze vzduchová ložiska, přestože mají v porovnání s kapalinovými nižší únosnost.

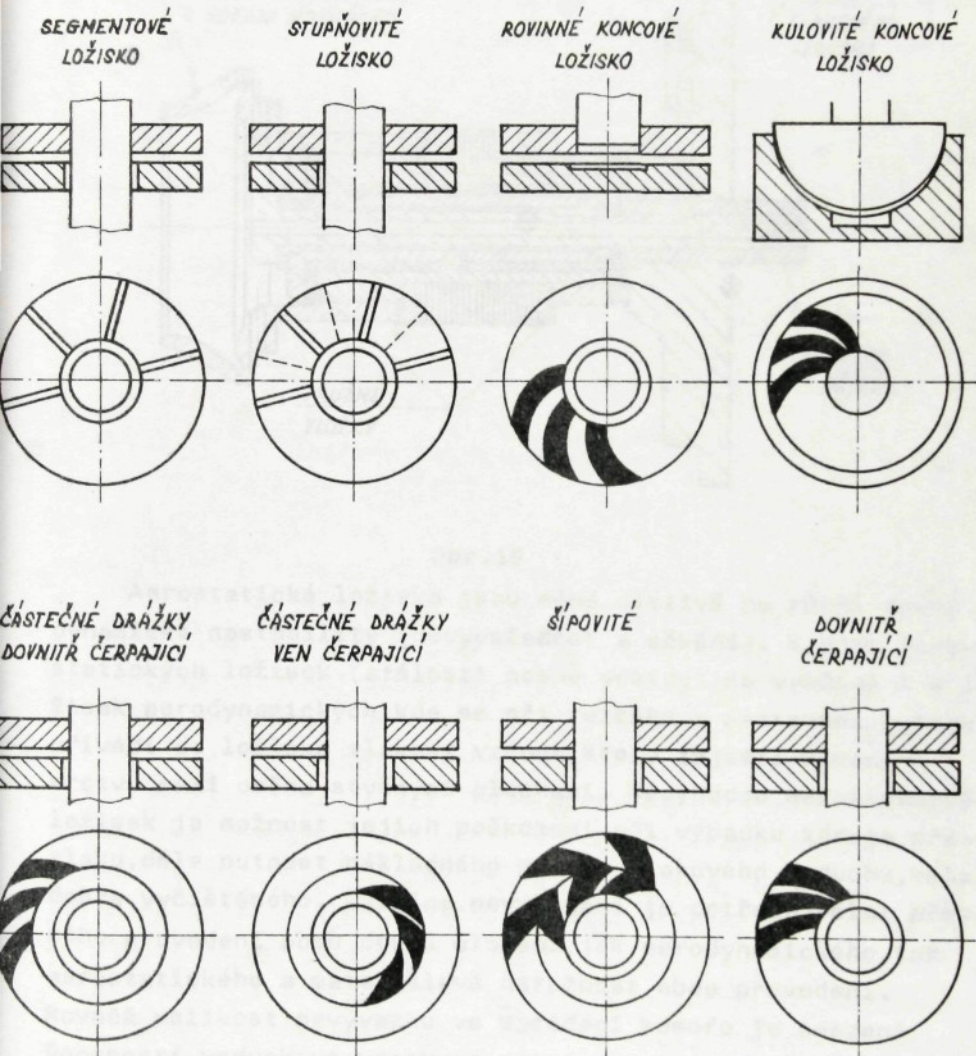
Plynem mazané ložiska jsou v poslední době stále více využívána výrobci speciálních rychloběžných strojů a přístrojů. Mají některé vlastnosti, které jsou důležité v oblasti jejich použití - v oblasti vysokých otáček :

- malá viskozita média, měnící se nepatrně s tlakem a teplotou, dovoluje běh při vysokých kluzných rychlostech tam, kde již nemáme vhodná maziva
- ložiska mohou pracovat v uzavřených prostorách při extrémních teplotách
- ložiska jsou jednoduchá, spolehlivá, trvanlivá, neznečišťují okoli unikajícím mazivem, jsou vhodná pro provozy textilní a laboratorní
- v nevelkém rozsahu můžeme měnit tuhost uložení
- ložiska mají menší přenos vibrací do rámu

Jak bylo uvedeno výše, je nejčastějším plynným mazivem vzduch, který tvoří nosnou vrstvu v prostoru ložiskové vůle. Plynová ložiska můžeme dále dělit na aerodynamická a na aerostatická.

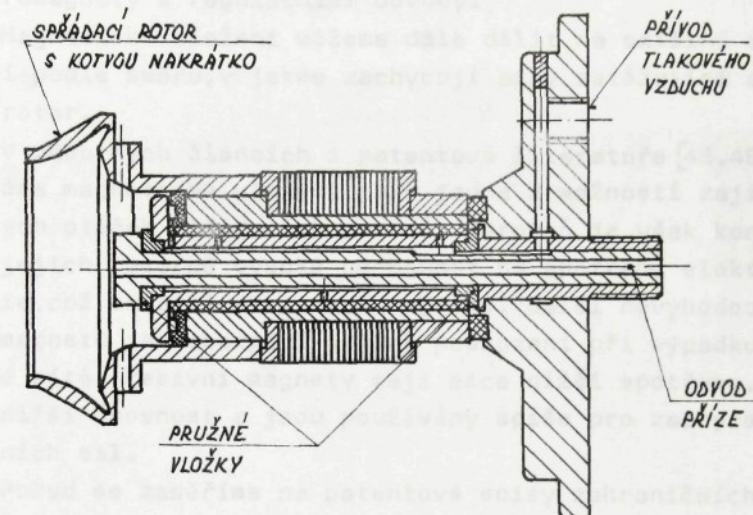
U ložisek aerodynamických se vytváří potřebný tlak maziva v nosné vrstvě relativním pohybem kluzných ploch. Ložiska se rozbíhají a dobíhají v podmínkách mezního tření, v oblasti rozběhu a doběhu dochází k přímému styku kluzných ploch a tím i k jejich oděru. Je tedy důležitá výbava materiálů těchto styčných ploch. Při rozběhu potom roste se stoupajícími otáčkami čerpaci účinek rotující části, takže se kluzné plochy oddělí souvislou nosnou vrstvou. Nevhodou tohoto uložení je opotřebení a snadná možnost poškození stykových ploch. Ložiska jsou v tomto případě

používána spíše jako axiální, s nosnými elementy v provedení jako segmentová, stupňovitá nebo se spirálnimi drážkami (viz obr. 14).



Obr. 14

Nevýhoda přímého styku kluzných ploch je odstraněna u ložisek aerostatických, kde je plyn vháněn pod tlakem do nosné vrstvy z vnějšího zdroje. Vrstva je udržována stále i za klidu a zastavení stroje (viz obr.15).



Obr.15

Aerostatická ložiska jsou méně citlivá na různé druhy dynamické nestability (nevýváženosť a chvění). Výhody aerostatických ložisek (stálosti nosné vrstvy) se využívá i u ložisek aerodynamických, kde se při rozběhu a zastavení rotoru přivádí do ložiska tlakový vzduch, který zajistí kluznou vrstvu mezi oběma styčnými plochami. Nevýhodou aerostatických ložisek je možnost jejich poškození při výpadku zdroje přetlaku, dále nutnost nákladného zdroje tlakového vzduchu, velmi dobře vyčištěného. Dalšími nevýhodami je potřeba velmi přesného provedení obou druhů uložení, jak aerodynamického, tak aerostatického a materiálová náročnost obou provedení. Rovněž velikost nevývažku ve spřádací komoře je omezená únosnosti vzduchové vrstvy a proti ostatním druhům uložení je podstatně nižší. V případě modelu stroje BDA-B1 (VÚB) se velikost přípustného nevývažku ve spřádací komoře pohybovala do 10 mg, viz lit [47].

2.1.4 Uložení spřádacího rotoru na magnetickém ložisku

Magnetické uložení spřádacího rotoru může být dvojího druhu - pasivní a aktivní. Pasivní uložení jsou provedena s použitím permanentních magnetů, aktivní uložení tvoří elektromagnety s regulačními obvody.

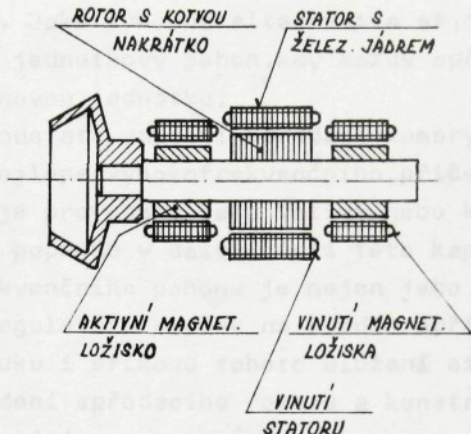
Magnetické uložení můžeme dále dělit na axiální a radiální podle směru, v jakém zachycují síly zatěžující spřadaci rotor.

V odborných článcích i patentové literatuře [46,48] jsou citována magnetická uložení jako jedna z možností zajištění vysokých otáček spřádacích rotorů. Zároveň je však konstatována jejich poměrně vysoká náročnost na spotřebu elektrické energie, což se týká aktivních magnetů. Další nevýhodou aktivních magnetů je nebezpečí jejich poškození při výpadku elektrické sítě. Pasivní magnety mají sice nižší spotřebu, ale také nižší únosnost a jsou používány spíše pro zachycení axiálních sil.

Pokud se zaměříme na patentové spisy zahraničních firem, týkají se provedení radiálního uložení spřádacího rotoru. Magnetická axiální zajištění rotoru se většinou objevuje v kombinaci s odvalovým nebo pneumatickým uložením spřádacího rotoru. Magnetická uložení pracují zatím v laboratorním provedení, ve vývojových dílnách, do praktického provozu ještě nepronikla z důvodů ekonomických (jeví se zatím jako nákladná) a výrobních (výroba je zatím pracná a náročná na přesnost).

K velmi zajímavým řešením patří uložení podle firmy Scheffer, patentované roku 1972. Rotor se v tomto případě vznáší v magnetickém ložisku (viz obr.16). Rotor má pět stupňů volnosti (tři translace a dvě rotace), které musí být průběžně snímány a regulovány. Kvality uložení se sníženou hlučností se dosahuje bez dalších technických prostředků. Tato výhoda je však podmíněna pěti regulačními okruhy se snímači polohy spřádacího rotoru, jedním elektronickým zesilovačem a elektromagnetickými akčními členy.

Použití tohoto řešení v praktickém provozu je zatím neúnosné z hlediska vysokých nákladů a energetické náročnosti.



Obr.16

Magnetická uložení stejně jako vzduchová ložiska využívají použití tangenciálního řemene pro pohon spřádacích rotorů, nastupuje řešení pohonu jednotlivě pro každé spřádní místo. Pohon vzduchem, vzduchové turbínky roztáčené proudem vzduchu, byly pro značnou hlučnost vyloučeny, výhodněji se je vily v tomto směru regulační elektromotory. Tento druh pohoru si však vyžádal určité požadavky na řešení vlastního uložení rotoru i celého stroje. Vznikla uložení EJP, která jsou kombinací předchozích uvedených typů valivých i "kluzných" ložisek s určitými specifickými nároky na provedení. Podrobnější popis zkoumaných druhů EJP i s jejich zvláštnostmi a požadavky je předmětem další části této kapitoly. V závěru kapitoly jsou zhodnoceny všechny uvedené typy uložení a porovnány jejich provozní možnosti s ekonomickými nároky na výrobu i provoz, viz tab.1.

2.1.5 Elektrický jednotkový pohon - EJP

Se stoupajícími otáčkami spřádacích rotorů roste i hluk a spotřeba energie. Vzrůst hluku je ovlivňován u "přímého" i "nepřímého" uložení pohonem pomocí tangenciálního řemenu. Jako výhodná alternativa se dle lit. [48] jeví elektrický jednotkový pohon, kdy každý spřádací rotor má vlastní pohonovou jednotku.

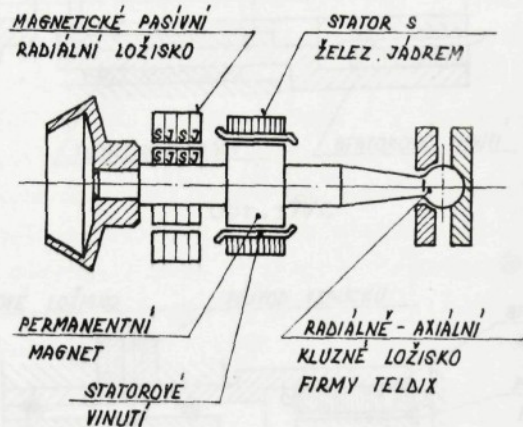
EJP je v podstatě spojení spřádací komory s rotorem elektromotoru, nejlépe vysokofrekvenčního, přičemž vlastní uložení rotoru je provedeno jako valivé nebo kluzné, což bude podrobněji popsáno v další části této kapitoly. Nevýhodou vysokofrekvenčního pohonu je nejen jeho vysoká cena, ale i nutnost regulátoru otáček na každém spřádacím místě.

Snižení hluku i příkonu tohoto uložení si klade určité nároky na provedení spřádacího rotoru a konstrukci jeho uložení. Jedná se zejména o tyto úpravy :

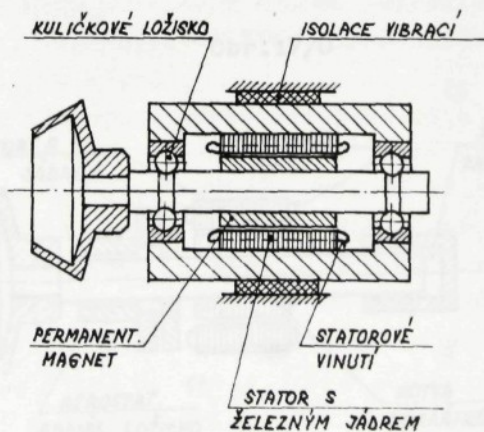
- co nejhladší povrchy spřádací komory
- co nejmenší povrch spřádací komory, což je možné splnit, neboť s rostoucími otáčkami se zmenšuje i průměr spřádací komory
- co nejpřesnější vyvážení spřádacího rotoru
- použití "kluzného" uložení hřídele rotoru, buď vzduchového nebo magnetického, připadně kombinovaného uložení
- potlačení přenosu vibrací ze spřádací jednotky do kostry stroje
- možnost uložení celého agregátu do utěsněného izolovaného prostoru
- zmenšení prostoru mezi rotorem a jeho krytem na co nejmenší míru
- zmenšení ztrát v mědi a železe úpravou statoru i rotoru

Uvedená řešení uložení spřádacích rotorů zatím představují budoucnost, v 70. letech však bylo patentováno několik způsobů provedení těchto uložení, která by měla splňovat výše uvedené požadavky. Některá řešení již byla ověřována laboratorně, ne však s větším úspěchem, neboť jsou zatím velmi složitá a náročná jak po stránce výrobní, tak

energetické. Přesto jsou zde v krátkosti uvedena některá charakteristická uložení spřádacích rotorů - EJP (viz obr.17).

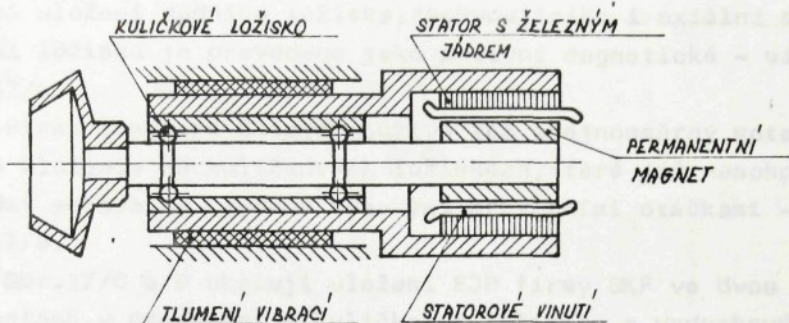


Obr.17/A

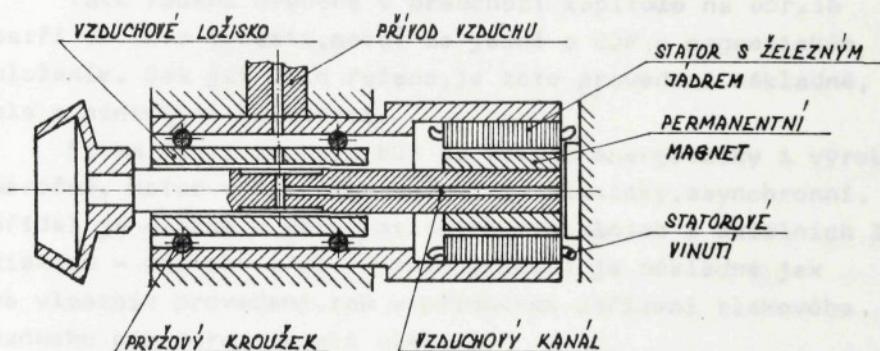


Obr.17/B

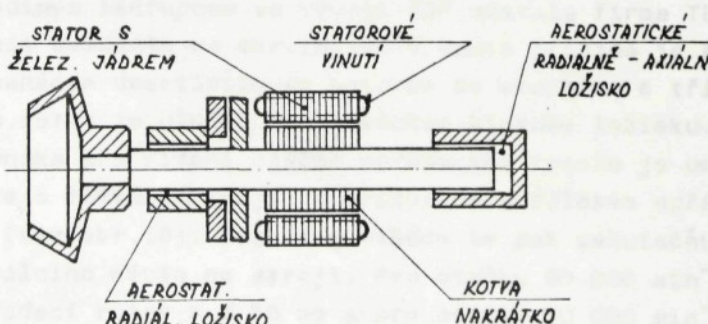
Výkon výrobního motoru se může sítovým regulátorem
změnit podle požadovaného výkonu je totiž klasický



Obr.17/C



Obr.17/D



Obr.17/E

Firma Siemens má ve svém EJP elektronicky regulovaný stejnosměrný motor. Velkou nevýhodou je zatím klasické kluzné uložení zadního ložiska, zachycujícího i axiální sily, přední ložisko je provedeno jako pasivní magnetické - viz obr.17/A.

Firma Schubert-Salzer používá též stejnosměrný motor, ale s uložením na kuličkových ložiskách, které již nemohou zaručit požadavky kladené vysokými provozními otáčkami - viz obr.17/B.

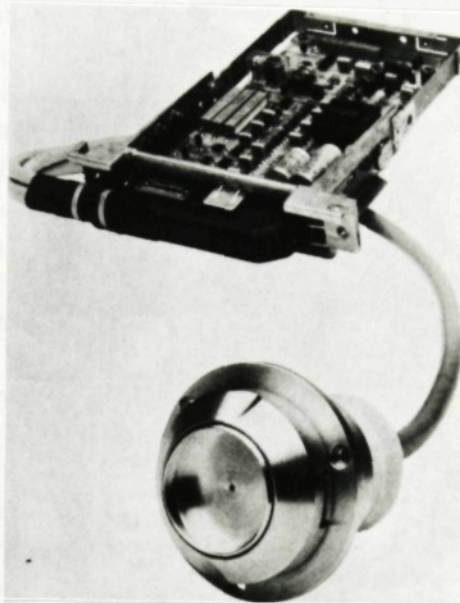
Obr.17/C a D ukazují uložení EJP firmy SKF ve dvou variantách, v provedení s kuličkovým ložiskem a vzduchovým ložiskem aerostatickým, které má axiální polohu spřádacího rotoru rovněž vymezovánu tlakovým vzduchem.

Také řešení uvedené v předchozí kapitole na obr.16 patří do této oblasti, neboť se jedná o EJP s magnetickým uložením. Jak již bylo řečeno, je toto provedení nákladné, ale s minimální hlučností.

Firma Platt se svým EJP je rovněž energeticky i výrobně náročná. Motor v tomto provedení je klasický, asynchronní, hřidel je uložen v aerostatických radiálních i axiálních ložiskách - viz obr.17/E. I toto uložení je nákladné jak ve vlastním provedení, tak v přídavném zařízení tlakového vzduchu pro aerostatické uložení.

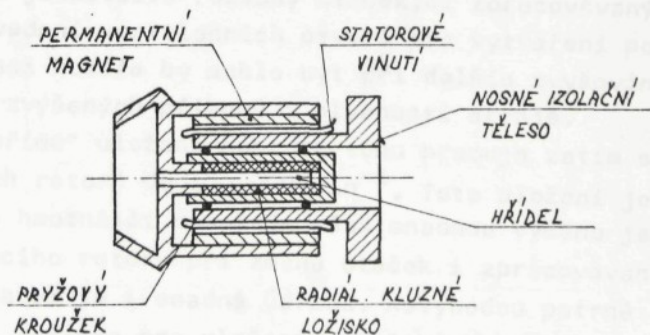
Žádný z výše uvedených návrhů nepřekročil stadium funkčního modelu, další vývoj byl většinou zastaven z finančních nebo technických důvodů.

Jediným zástupcem ve vývoji EJP zůstala firma TELDIX s řešením uvedeným na obr.18,19. V tomto případě je spřádací rotor poháněn desetipólovým motorem se statorem s třífázovým vinutím, rotor je uložen na klasickém kluzném ložisku. Veškerá elektronika pro řízení otáček spřádacího rotoru je umístěna na desce s tištěnými spoji a propojena s tělesem spřádacího rotoru (viz obr.18). Regulace otáček se pak uskutečňuje z centrálního místa na stroji. Pro otáčky $60\ 000\ min^{-1}$ je použit spřádací rotor s $\varnothing\ 56\ mm$ a pro otáčky $70\ 000\ min^{-1}$ spřádací rotor s $\varnothing\ 48\ mm$. Při otáčkách $70\ 000\ min^{-1}$ je příkon cca 80 W. Výměna spřádacího rotoru trvá asi 1 - 2 minuty.



Obr.18

Schematické zobrazení řezu uložení firmy TELDIX podává obr.19. Spřadací jednotky firmy TELDIX byly zkušebně namontovaly na stroji RU 11 se 24 spřadacími místy firmy Schubert - Salzer. Použitím tohoto uložení byl podstatně snížen hluk zkušebního stroje a maxima činila při 500 Hz cca 83 dB ve spektru hluku (měřeno dle ISO).



Obr.19

Z provedených srovnání jednotlivých druhů uložení spřádacích rotorů vyplynuly výhody i nevýhody při jejich praktickém použití. Zatím nebyly porovnány energetické náročnosti těchto pohonů, to je provedeno nyní v závěru této kapitoly. Z literatury [44,45] a měření zkušebny VVZ ELITEX Hnátnice a VÚB Ústí nad Orlicí byly shromážděny podklady pro následující tabulku (viz tab.1).

V ní jsou vyčísleny energetické nároky uložení "přímých", "nepřímých" a EJP, t.j. aerostatického vzduchového uložení rotoru s pohonem v.f.elektromotorkem. V tabulce jsou příkony přepočteny na jedno spřádací místo s přihlédnutím k přírůstkům příkonu během předení, zvýšeným příkonům pro pohon tangenciálním řemenem s přitlačnými kladkami u "přímého" a "nepřímého" uložení. U pohonu EJP jsou uvažovány ztráty v měniči kmitočtu, dále příkon potřebný pro výrobu tlakového vzduchu aerostatického uložení a zvýšení příkonu potřebného pro chlazení spřádacích jednotek.

Zajímavé je srovnání příkonů z lit. [3,4], kde pro $80\ 000\ \text{min}^{-1}$ a průměr rotorů 46 mm mají shodně "přímé" i "nepřímé" uložení uveden příkon 210 W, vzduchové uložení 500 W a magnetické uložení 275 W.

Shrneme-li výhody i nevýhody jednotlivých uložení, potom u "přímého" uložení je zatím hlavní otázkou životnost ložisek při otáčkách $80\ 000\ \text{min}^{-1}$. Výhodou uložení je jednoduchost jeho provedení, nevýhodou je řada rotorů s ložisky, nutná pro jednotlivé rozsahy otáček, či zpracovávaný materiál. Také provedení ventilačních otvorů pro vytváření podtlaku ve spřádací komoře by mohlo být při dalším zvyšování otáček příčinou zvýšených příkonů i hlučnosti stroje.

"Nepřímé" uložení naproti tomu pracuje zatím s otáčkami spřádacích rotorů do $100\ 000\ \text{min}^{-1}$. Toto uložení je sice složitější a hmotnější, dovoluje však snadnou výměnu jednoduchého spřádacího rotoru při změně otáček i zpracovávaného materiálu. Kladem je i snadná údržba. Nevýhodou patrně ani nebudou dvě ložiska pro uložení podpěrných kotoučů, která pracují při podstatně nižších otáčkách (cca do $15\ 000\ \text{min}^{-1}$), což se zřejmě projeví v příkonu i hlučnosti uložení.

Tabulka č.1

ULOŽENÍ OTÁČKY ROTORU min ⁻¹	"PRÍMÉ" VALIVÉ ULOŽENÍ							"NEPRÍMÉ" VALIVÉ ULOŽENÍ							VZDUCHOVÉ AEROSTAT. ULOŽENÍ														
	1	2	3	4	5	6	7	1	2	3	4	5	6	7	1	2	3	4	5	6	7	W	W	W	W	W	W	W	
65 000	43	101	5	15	-	-	121	-	-	-	-	-	-	-	-	-	-	-	-	-	-	-	-	-	-	-	-	-	
70 000	43	108	5	18	-	-	131	42	77	5	18	-	-	100	-	-	-	-	-	-	-	-	-	-	-	-	-	-	
75 000	43	115	5	21	-	-	141	42	95	5	21	-	-	121	42	70	5	-	36	19	130	-	-	-	-	-	-	-	
80 000	43	122	5	24	-	-	151	42	106	5	24	-	-	135	42	81	5	-	31	22	139	-	-	-	-	-	-	-	
85 000	-	-	-	-	-	-	-	40	106	5	27	-	-	138	37	72	5	-	36	20	133	-	-	-	-	-	-	-	-
90 000	-	-	-	-	-	-	-	40	118	5	30	-	-	153	37	83	5	-	31	22	141	-	-	-	-	-	-	-	-
95 000	-	-	-	-	-	-	-	40	128	5	33	-	-	166	37	95	5	-	26	25	151	-	-	-	-	-	-	-	-
100 000	-	-	-	-	-	-	-	40	137	5	36	-	-	178	37	100	5	-	21	29	159	-	-	-	-	-	-	-	-

- 1 - PRØMÈR SPØRADACÍHO ROTORU
- 2 - PRÍKON SAMOTNÉHO ULOŽENÍ
- 3 - NÁROÈST ENERGIE PŘI PŘEDENÍ
- 4 - ÈEMENOVÝ POHON V CÍTNE ÓCINNOSTI EL.MOTORU

- 5 - ENERGIE NA VÝROBU PŘETLAK.VZDUCHU
NA ODVOUD TECHNOL.A CHLAĐICÍHO VZDUCHU
- 6 - ZTRÁTY V MĚNIČI
- 7 - PŘEDPOKLÁDANÁ CELLOVÁ SPOTŘEBA ÈENERGIE
NA POHON JEDNOHO ULOŽENÍ

Praktická srovnání budou provedena v dalším souboru zkoušek, neboť zůstává otevřená i otázka životnosti potahů opěrných kotoučů.

Otáčky vzduchových ložisek dosahují zatím $90\ 000\ min^{-1}$. Výhodou tohoto uložení je tichý provoz, nevýhodami jsou - poměrně velká citlivost na rozvážení spřádacího rotoru během procesu předení a ekonomicky náročné zajištění jeho pohonu i výroby. Nevýhodou je i nutnost zdroje dobře vyčištěného tlakového vzduchu, kdy při jeho výpadku hrozí nebezpečí havárie uložení. Otázkou zůstává zabezpečení vlastního pohonu spřádacího rotoru, individuální pohon vf elektromotorkem každého spřádacího místa znamená velkou ekonomickou náročnost pro stroj, dále je nutné počítat s příkonem na pohon tohoto elektromotorku, s příkonem pro napájení vf zdrojů i s příkonem pro zabezpečení vzduchového hospodářství.

Vhodným uložením se jeví magnetické uložení svou jednoduchostí provedení, tichostí a stabilitou chodu. Dosud nebyly ukončeny jeho zkoušky a ekonomické nároky na elektroniku pro toto uložení jsou zatím příliš vysoké. Jak bylo uvedeno, jedná se o snímače polohy pro každý směr os a regulátory pro jednotlivé aktivní magnety.

Pohony EJP jsou většinou kombinací dříve uvedených uložení vzduchových a magnetických ("přímá" uložení již nevyhovuje požadavkům zvýšených otáček). Vyjimkou je uložení Teldix, které využívá klasické kluzné ložisko, i to je však ve stadiu zkoušek a ověřování.

Z provedených srovnání jednotlivých druhů uložení i z jednotlivých výstav ITMA se jeví jako zatím nejvhodnější způsob uložení "nepřímé" uložení spřádacího rotoru. Je však nutné ověřit stabilitu jeho chodu i při dalším zvyšování otáček a zjistit jeho nejvhodnější konstrukci. Proto budou v další části této práce zkoumány jeho provozní možnosti při otáčkách do $120\ 000\ min^{-1}$.

2.2 Zahraniční patentová literatura týkající se odvalového uložení spřádacího rotoru

V této části kandidátské práce je jen krátce zhodnocen stav udělených patentů, které se týkají odvalového uložení spřádacího rotoru u bezvřetenových dopřádacích strojů. Není zde proveden patentový průzkum, který by byl poměrně zdlouhavý a ani není předmětem této práce.

V hlavních rysech jsou přibliženy ty části odvalového uložení, u kterých již byly patenty uděleny, a uvedeny firmy, které se v současné době zabývají odvalovým uložením.

Nejvíce poznatků a zkušenosti získaly pravděpodobně firmy Süssen a SKF, které toto uložení vyvíjejí již řadu let a jejichž odvalová uložení dnes pracují na řadě bezvřetenových dopřádacích strojů. Jak již bylo řečeno na začátku této kapitoly, jsou to uložení KANAL-BOX, WST-TWINDISC firmy Süssen a uložení ROTOMAT firmy SKF.

V patentových spisech kromě těchto dvou firem z NSR najdeme ještě další, které se zabývají odvalovým uložením spřádacího rotoru, a to firmy Siemens - NSR, Schubert-Salzer - NSR, FAG - NSR, Krupp - NSR, Casablanca Limited - Velká Británie, Platt-Saco Lowell Limited - Velká Británie, Toyoda - Japonsko, Elitex - ČSSR.

Patentové spisy firmy Süssen, které jsou zastoupeny nejpočetněji, se týkají především vlastního uložení spřádacího rotoru na opěrných kotoučích, mírného zkřížení os těchto kotoučů pro vyvození axiální sily potřebné pro trvalé přitlačení spřádacího rotoru do axiálního ložiska. Dalšími patentovanými částmi odvalového uložení jsou různá provedení axiálního ložiska pro správné ustavení polohy spřádacího rotoru, radiální zabezpečení polohy spřádacího rotoru přitlačnou kladkou spojenou s brzdicím zařízením rotoru, brzdící zařízení, KANAL-BOX s osazením jednotek TWINDISC, úprava přívaděcího a ojednocovacího ústrojí pro odvalové uložení spřádacího rotoru.

Ostatní uvedené firmy již mají podstatně menší množství udělených patentů. Ty se týkají opěrných kladek odvalového

uložení,zajištění axiální polohy spřádacího rotoru,konstrukce axiálního ložiska,různých druhů provedení odvalového uložení i způsobů pohonů a brzdění spřádacího rotoru.

Z patentové rešerše odvalového uložení,která byla provedena ve VÚB Ústí nad Orlicí,vyplývá šedesát patentových přihlášek,týkajících se výše uvedených konstrukčních řešení,viz lit [46].

2.3 Řešení odvalového uložení,provedená ve VÚVL Brno a k.p.ELITEX,VVZ Hnátnice

Také v Československu se řešila odvalová uložení spřádacích rotorů. V roce 1978 bylo VÚVL Brno pověřeno vývojem odvalového uložení se svislou osou rotace. Vážnými problémy tohoto řešení se jevilo jednak zajištění souosnosti dutého dříku rotoru s průchozí trubkou pro odtah příze,jednak zajištění axiální polohy spřádacího rotoru. Pro ověření axiálního zajištění byla použita aerodynamická a magnetická uložení,byla odzkoušena řada aerodynamických ložisek různých provedení (segmentových,stupňovitých se spirálnimi drážkami) a provedla se srovnání únosnosti. Jako nejvýhodnější se jevilo ložisko s částečnými spirálovými drážkami (dovnitř čerpajícími),nepříznivým úkazem však bylo zanášení drážek ložiska nečistotami ze vzduchu. Jako další možnost zajištění axiální polohy rotoru byla ověřována magnetická uložení,zkoušky však nebyly dokončeny a výzkum byl přerušen.

Dále bylo ve VÚVL Brno ověřováno odvalové uložení s vodorovnou osou rotace,v provedení obdobném uložení TWINDISC. Jednotka se odzkoušela a pracovala spolehlivě do otáček $60\ 000\ min^{-1}$,s dalším růstem otáček rotoru však narůstala i amplituda jeho kmitání a docházelo k odskokům rotoru od opěrných kotoučů,k poruše stability uložení.

Stejný nedostatek mělo i odvalové uložení k.p.ELITEX,VVZ Hnátnice - s.Rajnohy,s uložením rotoru obdobným způsobem jako uložení TWINDISC.

3. CÍL DISERTACE

Jak bylo řečeno v úvodu této práce, stojí před výzkumnými a vývojovými pracovníky úkol - další zvyšování odtahové rychlosti bezvřetenových dopřádacích strojů. Ze závěrů předchozí kapitoly a provedených posouzení vyplynulo jako nejzajímavější řešení - odvalové uložení spřádacího rotoru.

Cílem disertační práce je prověření možnosti použití odvalového uložení pro zvýšené parametry, pro otáčky spřádacího rotoru do $120\ 000\ \text{min}^{-1}$, dále zjištění stability chodu rotoru při provozních parametrech, při rozběhu a zastavení stroje. Rovněž stabilita při zanášení spřádacího rotoru nečistotami během předání dává obraz o vhodnosti použití tohoto uložení v praktickém provozu.

Aby mohlo být posouzeno odvalové uložení ještě před vlastním konstrukčním zpracováním, jsou sestaveny matematické modely, které dovolují simulovat jak provozní podmínky uložení, tak rozběhy i zanášení spřádacího rotoru. Cílem disertace je sestavení těchto modelů a stanovení metod pro jejich využití. To představuje řešení soustav diferenciálních rovnic, které je provedeno numerickou metodou na samočinném počítači. Do sestavených programů pro počítač jsou zavedeny výše uvedené simulované provozní podmínky s cílem stanovit vhodné tuhosti a tlumení nákrusáků a řemene s ohledem na stabilitu rotoru. Znamená to, že na základě provedených výpočtů bude možné provést vlastní konstrukční návrh a volbu materiálů použitých v konstrukci uložení. Výpočty mají rovněž stanovit kritické otáčky uložení a porovnat jejich hodnoty s provozními otáčkami rotoru. Snahou je vyloučit jejich shodu vhodným naladěním systému.

Důležitým cílem disertace jsou i měření provedená na odvalovém uložení, která mají jednak porovnat vytvořené matematické modely s praxí, zjistit, do jaké míry se shodují teoretické vypočtené hodnoty se skutečnými naměřenými hodnotami během provozu. Dále má měření poskytnout obraz o stabilitě odvalového uložení v různých provozních režimech. Cílem měření je i získání amplitud a kritických frekvencí kmitání

rotoru. Pro jejich stanovení jsou použity dvě metody, optická - laser ve spojení s kmitočtovým analyzátorem s velkou rozlišovací schopností a piezoelektrické snímače s týmž analyzátorem. Cílem měření je i posouzení vhodnosti použití piezoelektrických snímačů s možností nahradit náročná měření prováděná laserem.

V poslední části disertační práce jsou ze závěrů jednotlivých kapitol vyvozeny směry pro vlastní konstrukční řešení s cílem stanovit rozměry uložení, přesnost výroby jednotlivých dílců i volbu použitých materiálů.

Při vývoji prvního prototypu bylo nutné využít vlastnosti provozu pro použití rotačního snímače s určenou frekvencí, splňující požadavky na výkon a výdrž v daných výrobnych podmínkách. Budoucí vývoj plánuje se rotoční snímač v následujících případech konstruovat výpočtem je nutné upřesnit dobu zavírání na čase, neboť budoucí cílem je nový vývoj snímačového rotora, který se má s výškou předního podla vzdálostí nadefinovat použitými výrobními technikami.

Pracovní vývoj v kmitační rotorech, klasických otáček, stabilitu chodu a podle je možné provést i měření na skutečném uložení. Tento základ je výsledek výsledků jak počítačového počítání v různých variantách, tedy uložení ověřit, získané výsledky z uložení výhoditelné, nevrhnout a optimizovat parametry, provést přijatou řešení a opět ověřovat výsledky.

Při vývoji nového uložení vývoje, o prototyp je důležité zjistit všechny vlivy, které mají vliv na klesání i zlepšení přístupu na stabilitu rotace, výsledků nevrhnout matematicky model, proto zlepšení a podrobit ho rozboru. Původní navrh modelu uvedený v kapitole 3.3.1. vymíl jako velmi složitý a náročný pro matematické počítání, naznačil, že ani přesné vstupy dat, které byly zadané přesného určení výrobcům dokumentu,že jen v takové formu, aby počítání nevykazovalo základní vadu, se skutečností srovnávaly s výsledky výsledků modelu, co je jednoduchý. Pokud zde výsledek je nevýhodný, je potřeba výsledkového záhlaví počítání, když jsou však záhlaví

4. ZVOLENÉ METODY ZPRACOVÁNÍ

Již v návrhu řešení odvalového uložení sprádacího rotoru, před vlastním konstrukčním zpracováním, je proveden statický, kinematický a dynamický rozbor tohoto uložení a jsou určeny vlivy, které by mohly nepříznivě působit na jeho chod. Jak bylo řečeno v úvodu této práce, je nutné zajistit stabilitu chodu sprádacího rotoru jak v pracovní oblasti otáček, tak i při rozběhu a zastavení stroje, přičemž jako stabilní označujeme chod, kdy nedochází k odskokům dříku rotoru od opěrných kotoučů. Jedná se tedy o stanovení hodnoty kritických otáček pro toto uložení, zjištění oblasti stability provozu pro použité materiály uložení a určení velikostí amplitud kmitání rotoru ve všech pracovních režimech stroje. Budící síla působící na rotor není v našem případě konstantní, ve výpočtech je nutné uvažovat její závislost na čase, neboť budící silou je nevývažek sprádacího rotoru, který se mění s délkou předení podle množství nečistot usazených ve spřádací komoře.

Stanovení amplitud kmitání rotoru, kritických otáček, stability chodu a pod. je možné provádět i měřením na skutečném uložení. Tento způsob je však velmi náročný jak po časové, tak po ekonomické stránce. V tomto případě je nutné vyrobit potřebná uložení v různých variantách, tato uložení ověřit, získané výsledky z měření vyhodnotit, navrhnout a optimalizovat úpravy, provést přijaté úpravy a opět ověřovat a zkoušet.

Pro zkrácení etapy vývoje, a protože je důležité zjistit všechny vlivy, které mohou kladně i záporně působit na stabilitu rotoru, je výhodné navrhnout matematický model tohoto uložení a podrobit ho rozboru. Původní návrh modelu, uvedený v kapitole 5.1.1, se jevil jako velmi složitý a náročný pro matematické zpracování, neznali jsme ani přesná vstupní data. Proto bylo nutné přijmout určitá zjednodušení, ale jen v takovém rozsahu, aby podstatně neovlivnila souhlas modelu se skutečností. Je otázkou, zda navržený model má být složitý či jednoduchý. Pokud zvolíme cestu podstatného zjednodušení, dostáváme sice jednoduchý model, ten však málo souhlasí

se skutečnosti. Není vhodné sestavovat ani přiliš složitý model, který představuje náročná a obtížná řešení, obyčejně neznáme přesná vstupní data a byly by tedy prováděny složité a přesné výpočty s nepřesnými hodnotami. Sestavení dalších modelů, uvedených v kapitole 5.1.3 vychází z provedených měření na odvalovém uložení. Protože však zatím neexistuje naše odvalové uložení (provedení dle kapitoly 2.3 nevyhovuje požadavkům kladeným provozními podmínkami), bylo použito pro uvedená měření odvalové uložení TWINDISC firmy Süssen. Jedná se o starší typ uložení, popsaný v textu kapitoly 2.1.2, který byl zapůjčen z katedry textilních a oděvních strojů VŠST Liberec. Nové odvalové uložení, které vzniklo ve spolupráci firmy Süssen s firmou Schlafhorst, se nám bohužel nepodařilo získat.

Provedená měření potvrdila představu o charakteru kmitání a dále jsou zkoumány dva druhy modelů, jednoosý dvouhmotový model a dvojosý tříhmotový model. Po sestavení soustav diferenciálních rovnic pro oba modely máme stanoveny i metody pro simulování "pracovních podmínek" odvalového uložení sprádacího rotoru na bezvřetenovém dopřádacím stroji, odvozeny vztahy pro rozběh a doběh rotoru, pro práci rotoru v různých režimech nastavení stroje i pro růst nevývažku ve spřádací komoře.

Řešení soustav diferenciálních rovnic je prováděno numerickou metodou Runge-Kutta na samočinném počítači, pro který jsou sestaveny programy zahrnující všechny uvedené alternativy. V případě jednoosého dvouhmotového modelu jsou ověřeny rozběhy rotoru v přímkovém, parabolickém a exponenciálním nárůstu otáček s různými tuhostmi a tlumením opor a řemene. Při vyšetřování chodu rotoru při různých parametrech nastavení stroje mohou být rovněž měněny tuhosti a tlumení opor a řemene. V případě tuhosti opěrných kotoučů a řemene jsou tyto tuhosti uvažovány konstantní i nelineární. Rovněž nárůst nevývažku ve spřádací komoře je sledován při různých tuhostech a tlumení opor a řemene. V poslední části ověření tohoto modelu je do výpočtů zavedena i ovalita opěrných kotoučů a zjišťována stabilita rotoru při určité budici síle a ovalitě opor. U dvouosého modelu jsou vyšetřovány přecho-

dové stavy rotoru při různých tuhostech a tlumení opor a řemene, dále rozběhy a doběhy rotoru v lineárním tvaru, s uvažováním ovalit opěrných kotoučů.

Vyhodnocení provedených výpočtů poskytuje určení amplitud kmitání rotoru v závislosti na jeho otáčkách, oblasti kritických otáček, oblasti stability rotoru pro oba matematické modely. Vlastní vyhodnocování získaných výpočtů je zjednodušeno tiskem výsledků v grafické formě na široké tiskárně počítače současně s numerickými výsledky. V případě rozběhu rotoru jednoosého modelu jsou nejprve sledovány přechodové stavy a z nich je vyhodnocována stabilita rotoru vzhledem k rušivému účinku. V počátečních podmínkách totiž zavádíme určitou výchylku sledované hmoty a vyhodnocujeme reakci modelu na tento rušivý vliv, sledujeme rychlosť tlumení kmitání a přechod do ustáleného stavu. Dále můžeme v případě rozběhu a doběhu rotoru sledovat vzrůst amplitudy jeho kmitání v oblasti kritických otáček v lineárním i nelineárním tvaru, jak na výstupu široké tiskárny počítače, tak na kreslicím stole DIGIGRAFU 1003, pracujícím ve spojení s počítačem. Uvedené výpočty jsou provedeny při konstantní budici síle, naproti tomu nárůst nevývaze ve spřadaci komoře je řešen při konstantních otáčkách rotoru a sleduje se amplituda kmitání rotoru v závislosti na budici síle. Chování dvojosého modelu je rovněž vyhodnocováno jak z výstupu počítače, tak grafického výstupu DIGIGRAFU, se sledováním přechodových stavů, rozběhů a doběhů rotoru. V tomto případě dostáváme záznamy kmitání sledované hmoty m_4 v osách x,y (v rovině kolmé na osu rotoru), případně hmoty m_5 .

Měření prováděná na skutečném odvalovém uložení mají porovnat vypočtené hodnoty kritických otáček a amplitud se skutečnými naměřenými hodnotami a tím potvrdit správnost sestavených modelů a způsob jejich vyšetřování. Dalším úkolem měření je i zjištění stability skutečného odvalového uložení v různých režimech provozu (při různých otáčkách rotoru, různé nevývaze ve spřadaci komoře, tj. různé budici síle, při různém přitlaku řemene ap.).

Protože se jedná o velmi malé amplitudy kmitání rotoru a poměrně velké frekvence, bylo nutné zvolit i odpovídající metody měření. První měření na odvalovém uložení byla provedena kapacitními snímači, ty však při vyšších otáčkách rotoru neposkytovaly přesné, reproducovatelné výsledky. Pro další měření byla zvolena jednak optická metoda s použitím laseru, jednak metoda s použitím piezoelektrických snímačů, obě ve spojení s kmitočtovým analyzátem s velkou rozlišovací schopností, typ 2033 firmy Brüel a Kjaer. Tento způsob spojení přístrojů se jevil jako výhodný, neboť na obrazovce analyzátoru je možné sledovat průběhy vyšetřovaných kmitavých dějů, v digitální části obrazovky můžeme odečítat hodnoty zobrazených veličin - amplitud a frekvencí. Zaznamenané průběhy na obrazovce lze ihned zapsat na přiložené formuláře na souřadnicovém zapisovači též firmy.

Provedená měření měla nejprve zjistit vhodnost použití piezoelektrických snímačů pro náš případ a sice porovnáním získaných výsledků s měřenými, která byla uskutečněna laserem. Protože výsledky byly uspokojivé a srovnatelné, byla pomocí piezoelektrických snímačů dále provedena měření kmitání rotoru ve dvou osách x a y kolmo k dříku rotoru, v jeho přední i zadní části, s různými hodnotami nevývažku ve spřádací komoře. Výsledná kmitání byla jednak postupně zapsána pro osy x a y pomocí analyzátoru a zapisovače, jednak byla vyfotografována z obrazovky paměťového osciloskopu Hewlett Packard 1741 A. Na obrazovce osciloskopu byly zobrazeny průběhy kmitání rotoru v ose x a y současně ve dvou stopách a bylo možné sledovat fázové posunutí obou průběhů.

Poznatky z matematických modelů i provedených měření je možné použít v konstrukčním řešení odvalového uložení. Postupným měněním rozměrů odvalového uložení a postupným měněním tuhostí i tlumení můžeme určit oblasti stability i kritické otáčky pro jednotlivé varianty. Přínosem výpočtu je tedy naladění uložení spřádacího rotoru takovým způsobem, aby hodnota vlastní frekvence uložení nepadla do oblasti pracovních otáček. Pracovní otáčky musí být položeny pod nebo nad kritickými otáčkami, jen tak se vyhneme nepříznivým

následkům, které nastávají při shodě vlastní frekvence uložení s frekvencí pracovní oblasti stroje, zvýšenému namáhání součásti uložení, jejich nadměrnému opotřebení a v některých případech i úplné havarii.

V tomto odborném jazyku v další části kapitoly popsané diferenciálním využitím ještě nejsou uvedeny matematické modely dle kterých bylo možno určit faktor v pravdě. Rovněž těchto modelů je používáno na základě mnoha počítačů pro jednotky s dvěma až deseti výpočetními jednotkami pro jednotky s dvěma až deseti výpočetními jednotkami. Výpočetní jednotky kapitoly jsou však pouze provozovány jednotkami jednotek výpočetních paralelně a výpočetní jednotky jsou využívány výhradně.

3.2.3. Uložení v podkovovém rámu

Při používání základního modelu odvalového uložení je uvedována správnost jednotky s vodorovnou správou rotace, který je podložen dvou páry opěrnych kroužků a poháněn hydraulickou řízenou, viz obrázek.

Pokud vycházíme z tohoto uspořádání, můžeme si odvalové uložení zadávacího rotora představit jako součásti různých základních dílů, kdy jež je všechna, neboť pohyb všechny je jednorůzný určen, vše až, jde o i³ volnosti.

Předníkem základního dílu je odvalové uložení spravedlivého rotora jež má zajistení radiálního styku dílem rotora, opěrným koncem a dole existujícího styku konec drážky a zadním výlukou, a snímcem seřízení polohy spravedlivého rotora v zadním výluku. Tato existující zajistení výluk poskytuje i všechny volny radiálních výkypiek (poloha výluky ve výkypku seřizovacího troupu) k udržení správného rotoru.

Druhým dílem je správnost kružnic základna nebo základního výluky, do kterého ještě rozvolňen zvětšuje se nepravidelný roste jednotek základních dílů. Vývalový díl je využíván k zajištění spravedlivého rotora na správnou polohu. Nejprve však musí být vlastní drážka drážky rotora v jedné základních dílů spravedlivého rotora založena v druhé základní dílce, neboť v druhé základní dílce vlastní drážka rotora ještě nemá žádoucí polohu. Tento výkon ještě musí být vlastní drážce rotora v jedné základní dílce, neboť v druhé základní dílce vlastní drážka rotora ještě nemá žádoucí polohu.

5. VÝSLEDKY PRÁCE

5.1 Matematický model odvalového uložení

V úvodní části této kapitoly jsou přijata zjednodušení, která dovolí převést prostorový případ odvalového uložení spřádacího rotoru na případ rovinný. Vytvořená náhradní roviná schemata jsou v další části kapitoly popsána diferenciálními rovnicemi a jsou sestaveny matematické modely simulujičí chování rotoru v provozu. Řešení těchto modelů je provedeno na samočinném počítači pro jednoosý a dvouosý model s ohledem na stabilitu rotoru. Ve třetí části kapitoly jsou popsána provedená měření a jejich výsledky porovnány s teoretickými výpočty.

5.1.1 Obecné prostorové řešení

Při sestavení matematického modelu odvalového uložení je uvažována spřádací jednotka s vodorovným spřádacím rotorem, který je podepřen dvěma páry opěrných kotoučů a poháněn nekonečným tangenciálním řemenem, viz obr.10.

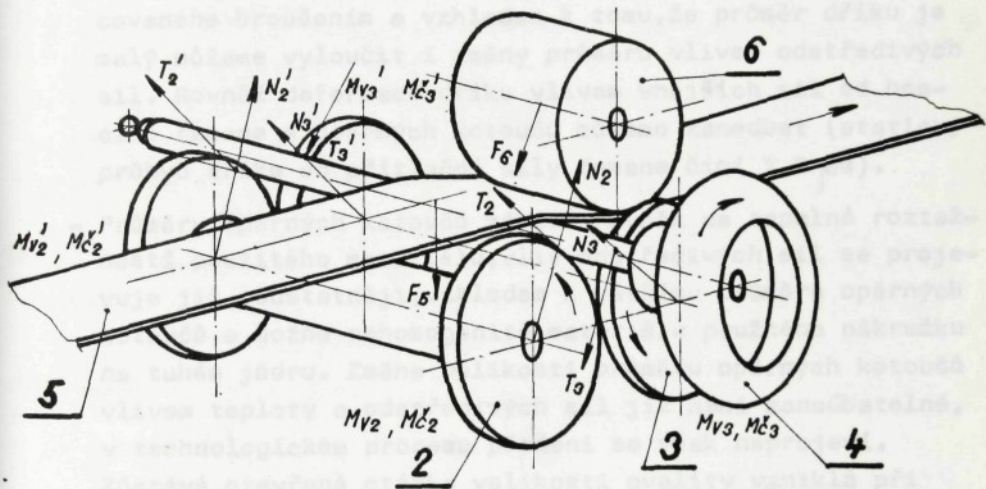
Pokud vycházíme z tohoto uspořádání, můžeme si odvalové uložení spřádacího rotoru představit jako spojení rotačních a valivých dvojic, tedy jako mechanismus, neboť pohyb všech členů je jednoznačně určen, viz lit. [55], má 1° volnosti.

Podmínkou stabilního chodu odvalového uložení spřádacího rotoru je jednak zajištění radiálního styku dříku rotoru s opěrnými kotouči a dále axiálního styku konce dříku s opěrnou kuličkou, s možností seřízení polohy spřádacího rotoru v axiálním směru. Toto axiální zajištění však poskytuje i možnost malých radiálních výchylek (pohyb kuličky ve vybrání seřizovacího šroubu) a otáčení spřádacího rotoru.

Během procesu předení je spřádací komora zanášena nečistotami a prachem, dochází k jejímu rozvážení zvětšujícím se nevývažkem, roste budící odstředivá síla, vyvolávající zvýšené kmitání spřádacího rotoru na opěrných kotoučích. Rotující vektor budící síly tlačí dřík rotoru v jedné polovině otáčky do pružného potahu kotoučů, ve druhé polovině otáčky je spřádací rotor zvedán proti tangenciálnímu řemenu. Tangenciální řemen jednak pohání spřádací rotory, jednak při-

držuje dřík spřádacího rotoru v klinu opěrných kotoučů během rotace. Stabilizující účinek řemene podporuje přitlačná kladka, která navíc zvětšuje opásání dříku rotoru.

Pokud bychom chtěli sestavit matematický model odvalového uložení s uvažováním výše uvedených stavů, znamenalo by to vytvoření prostorového modelu s nelineárními tukostmi opěrných kotoučů a řemene, jehož řešení by bylo velmi složité, viz obr. 20. Při sestavení matematických modelů je tedy nutné přijmout určitá zjednodušení, neboť není možné postihnout všechny vlivy konstrukční, materiálové i provozní a přesně je zavést do sestavených diferenciálních rovnic.



Obr. 20

Přijatá zjednodušení se týkají především tuhého dříku spřádacího rotoru, který je uložen na pružných podporách, na pružných nákrúžcích opěrných kotoučů. Dále je nutné zjednodušit otázky působících sil, vlivu teploty, vlivu vysokých otáček. Tyto otázky budou podrobněji probrány v další části této kapitoly.

- Průměr dříku rotoru je závislý vlivem tepelné roztažnosti na teplotě, přičemž jeho oteplení je závislé na velikosti

otáček a prokluzu dříku ve styku s hnacím řemenem a opěrnými kotouči. Změna jeho průměru může ovlivnit velikost otáček a způsobit změnu převodu. Nepatrne se mění i úhel α , úhel styku dříku s opěrnými kotouči. Pokud uvažujeme zvýšení teploty z 20°C na 60°C , znamená to zvětšení průměru dříku o $0,004\text{ mm}$ a zmenšení jeho otáček o 53 min^{-1} . Tato změna je vzhledem k technologii bezvřetenového předení a vzhledem k pohonu tangenciálním řemenem zanedbatelná. Rovněž změnu natočení působících sil (vlivem změny úhlu α) můžeme zanedbat. Protože se jedná o ocelový dřík vyrobený z homogenního taženého tyčového materiálu opracovaného broušením a vzhledem k tomu, že průměr dříku je malý, můžeme vyloučit i změny průměru vlivem odstředivých sil. Rovněž deformace dříku vlivem vnějších sil od hnacího řemene a opěrných kotoučů můžeme zanedbat (statický průhyb dříku od přitlačné sily řemene činí $1,2\text{ }\mu\text{m}$).

- Průměry opěrných kotoučů závisí rovněž na tepelné roztažnosti použitého materiálu, vliv odstředivých sil se projevuje již podstatněji, vzhledem k většímu průměru opěrných kotoučů a možné nehomogenitě materiálu pružného nákružku na tuhém jádru. Změna velikosti průměru opěrných kotoučů vlivem teploty a odstředivých sil již není zanedbatelná, v technologickém procesu předení se však neprojeví.
- Zůstává otevřená otázka velikosti ovality vzniklé při obrábění potahu, dále vlivem nehomogenity materiálu a oteplení nákružků. Ovalita nákružků může totiž podpořit vynucené kmitání spřádacího rotoru, buzené nevývážkem ve spřadaci komoře. Zatím byly předběžně měřeny tři druhy potahů co se týče tuhosti a tlumení, výsledky měření jsou použity v následujících výpočtech, kap. 5.2. Změna úhlu α vlivem deformací opěrných kotoučů dříkem rotoru je malá, proto i natočení působících sil je zanedbatelné.
- Změny úhlu α vlivem tolerancí uložení opěrných kotoučů jsou zanedbatelné.
- Různé druhy použitých materiálů opěrných kotoučů ovlivní

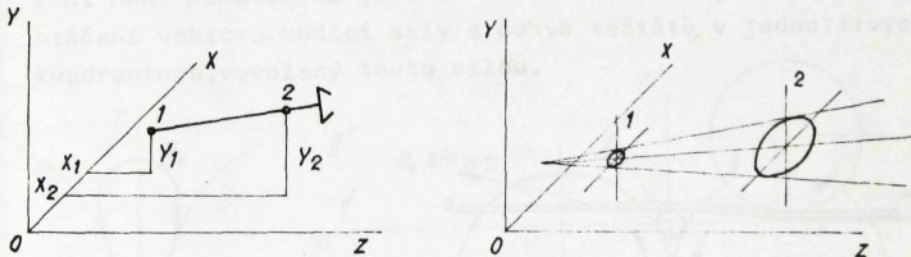
součinitele valivého odporu, který bude záviset na druhu materiálu potahu, na velikosti sil ve styku dříku rotoru s opěrnými kotouči, na počtu otáček rotoru, na drsnosti povrchu a teplotě nákružku.

- Součinitel smykového tření je rovněž závislý na druhu potahu, na jeho teplotě, drsnosti povrchu a obvodové rychlosti nákružku.

Pro sestavení matematického modelu dále uvažujeme :

- shodnou tuhost a tlumení všech nákružek, které jsou redukovány vždy do jedné přední a jedné zadní podpory
- zanedbáváme aerodynamické odpory
- zanedbáváme nehomogenitu i ovalitu opěrných kotoučů i dříku rotoru
- uvažujeme konstantní tuhosti opěrných kotoučů a řemene
- zanedbáváme vliv gyroskopického momentu spřádacího rotoru
- zanedbáváme vliv samobuzených kmitů

Při vyšetřování pohybu osy spřádacího rotoru odvalového uložení můžeme vycházet ze soustavy diferenciálních rovnic odvozených v lit.[52]. Po jejich úpravě dostáváme výslednou rovnici pohybu rotoru pro uložení dle obr.21.



Obr.21

$$\frac{x^2}{(M + Nz)^2} + \frac{y^2}{(P + Rz)^2} = 0 \quad (5,1,1)$$

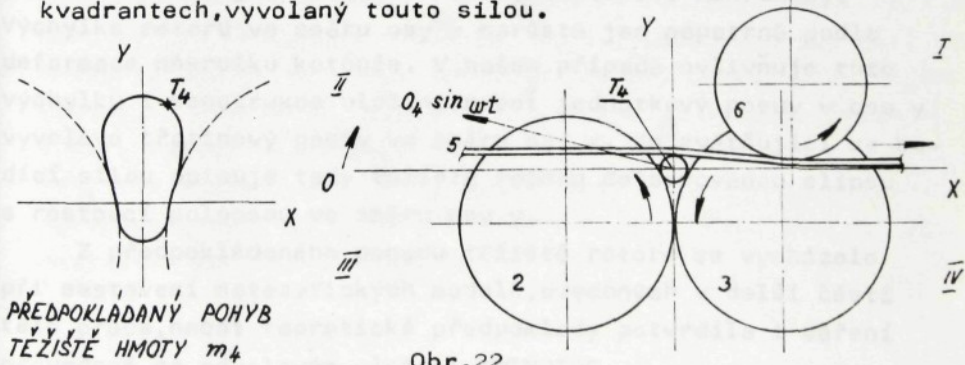
Výsledný pohyb jednotlivých bodů osy spřádacího rotoru se děje po elipsách, viz rov.(5,1,1), kde M,N,P,R jsou konstanty, lit.[52], z je zvolená souřadnice osy rotoru.

Z tohoto poznatku vycházíme, chceme-li provést následující zjednodušení. Pokud bychom totiž chtěli řešit matematický model prostorového případu odvalového uložení, známe nalo by to uvažovat složité soustavy diferenciálních rovnic, pro které je třeba získat velké množství vstupních dat. Ta obyčejně přesně neznáme a prováděli bychom rozsáhlé výpočty s nepřesnými hodnotami. Tento nedostatek se snažíme odstranit zjednodušením prostorového modelu na model roviný, pro který snáze stanovíme potřebná vstupní data.

Jak bylo uvedeno v rovnici (5,1,1), opisuje i těžiště spřádacího rotoru elipsy. Protože se těžiště nalézá nad předním párem opěrných kotoučů, uvažujeme dále všechny vnější silové účinky v tomto bodě a budeme vyšetřovat pohyb těžiště rotoru v rovině kolmé k ose rotoru, procházející předním párem opěrných kotoučů. Přijatá zjednodušení pro sestavení rovinného modelu potvrzuji jak teoretické úvahy, tak měření provedená na odvalovém uložení.

5.1.2 Rovinné řešení

Předpokládaný pohyb těžiště spřádacího rotoru dává obr. 22, v našem případě jsou elipsy deformovány, neboť tuhost uložení není konstantní (opěrné kotouče a řemen). Sledujme nyní otáčení vektoru budící síly a pohyb těžiště v jednotlivých kvadrantech, vyvolaný touto silou.



Obr.22

Ve druhém kvadrantu (tj. pro úhel $0 - \frac{\pi}{2}$) je rotor z dolní polohy vynášen vlivem budící síly a otáčením opěrné kladky směrem vzhůru v kladném směru osy y a dochází k "napružení" řemene. Pohyb vzhůru podporuje také "odpuzení" rotoru

z potahu opěrného kotouče, které může způsobit i odskok rotoru, pokud součet uvedených složek přesáhne součet hmotnosti rotoru a přítlačné sily řemene. Pohyb rotoru v záporném směru osy x zamezuje částečně opěrný kotouč, jednak je rotor unášen pohybem řemene.

Během dalšího pootočení budící síly v prvním kvadrantu (tj. pro úhel $\frac{\pi}{2} - \varphi$) je rotor tlačen směrem dolů pohonovým řemem. Pohyb rotoru v kladném směru osy x podporuje řemen, tento pohyb je však omezen přítlačnou kladkou a během dalšího pootočení i opěrným kotoučem, který se otáčí v opačném směru.

Pohyb vektoru budící síly ve čtvrtém kvadrantu (tj. pro úhel $\pi - \frac{3\pi}{2}$) tlačí rotor v záporném smyslu osy y. Tento pohyb podporuje i směr otáčení opěrného kotouče a uvolnění napružení řemene, dochází k stlačení nákrusku opěrného kotouče.

Přechod rotoru z jednoho kotouče na druhý můžeme povážovat za spojitý, neboť tuhosti a tlumení obou kotoučů předpokládáme shodné. Pohybem vektoru budící síly ve třetím kvadrantu (tj. pro úhel $\frac{3\pi}{2} - 2\varphi$) dochází ke stlačení druhého opěrného kotouče a rotor je vynášen jeho pohybem vzhůru.

S rostoucí budící silou (ať z důvodu růstu otáček nebo nevývahy ve spřádací komoře, případně z obou důvodů) bude narůstat amplituda pohybu rotoru směrem vzhůru, ve směru osy y (tuhost řemene je podstatně nižší, než tuhost nákrusku). Výchylka rotoru ve směru osy x narůstá jen nepatrně podle deformace nákrusku kotouče. V našem případě ovlivňuje tuto výchylku i konstrukce uložení, neboť jednotkový posuv v ose y vyvolává třetinový posuv ve směru osy x. Se zvětšující se budící silou opisuje tedy těžiště rotoru deformovanou elipsu s rostoucí poloosou ve směru osy y.

Z předpokládaného pohybu těžiště rotoru se vycházelo při sestavení matematických modelů, uvedených v další části této práce, neboť teoretické předpoklady potvrdila i měření provedená na odvalovém uložení TWINDISC.

Před vlastním sestavením matematických modelů byly provedeny rozborové geometrických, silových, kinematických a dynamických poměrů na roviném modelu odvalového uložení, viz lit. [55].

5.1.3 Dynamické poměry rovinného modelu odvalového uložení

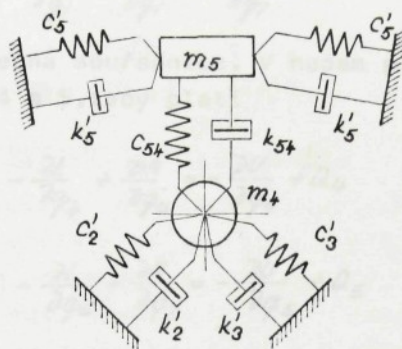
Zatím bylo odvalové uložení posuzováno z hlediska statického a kinematického, byly vyšetřeny poměry za klidu a při rovnomořném setrvalém stavu rotace. Byly odvozeny rovnice popisující geometrické poměry uložení, silové poměry na rotoru i kotoučích, z kinematického hlediska určeny převodové poměry a velikosti otáček s uvažováním prokluzu, viz lit. [55]. Jestliže vyšetřujeme odvalové uložení po stránci dynamické a určujeme pohyb spřádacího rotoru v závislosti na působících silách, zajímá nás jak amplituda, tak frekvence kmitání rotoru v závislosti na velikosti budící sily, tuhostech a tlumení opor a řemene, na přitlačné sile řemene.

Na základě přijatých zjednodušení byly vytvořeny dva modely pro zjištění chování spřádacího rotoru za rotace. Jednak jednoosý (dvouhmotový) dynamický model se dvěma stupni volnosti, jednak dvouosý (tříhmotový) dynamický model se čtyřmi stupni volnosti.

Jednoosý dvouhmotový dynamický model

Zabývejme se nyní odvozením jednoosého dvouhmotového dynamického modelu se soustředěnými hmotami m_4 a m_5 , které jsou spolu navzájem a k rámu svázány Kelvinovými tělesy (tj. paralelním řazením Hookova a Newtonova tělesa). Hmotu spřádacího rotoru nahrazuje v modelu hmota m_4 , odpovídající část řemene nahrazuje hmota m_5 . Tuhost a tlumení nákružků opěrných kotoučů představují c'_2, c'_3 a k'_2, k'_3 . Tuhost a tlumení pružné vrstvy řemene ve styku s dříkem rotoru představují c_{54}, k_{54} . Tuhost a tlumení vlastního řemene jsou označeny c_5 a k_5' . Předpětí řemene je vyjádřeno silou F_5 , amplituda budící sily nevývažku je označena O_4 .

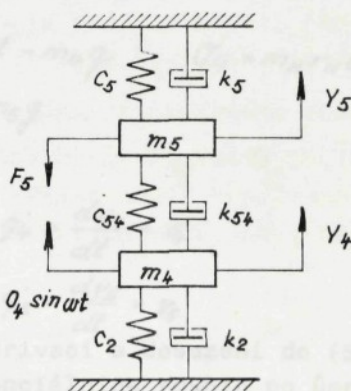
Sestavení jednoosého dvouhmotového modelu - náhradní schema:



Obr.23

Pro paralelní řazení členů c_2' , c_3' , k_2' , k_3' , c_5' , k_5' byly určeny výsledné tuhosti a tlumení c_2 , k_2 , c_5 , k_5 měřením. Hodnoty měření jsou obsaženy v kapitole 5.3.

Po úpravě dostaváme náhradní schema soustavy ve tvaru :



Obr.24

Popis modelu diferenciálními rovnicemi :

Při odvození diferenciálních rovnic, popisujících kmotání spřadacího rotoru, vycházíme z Lagrangeovy rovnice druhého druhu (5,1,2).

$$\frac{d}{dt} \left(\frac{\partial L}{\partial q_i} \right) - \frac{\partial L}{\partial q_i} + \frac{\partial R}{\partial q_i} = - \frac{\partial U}{\partial q_i} + Q_i \quad (5.1.2)$$

kde q_i je obecná souřadnice. V našem případě vyšetřujeme pohyb těles 4 a 5, tedy platí

$$\frac{d}{dt} \left(\frac{\partial L}{\partial q_4} \right) - \frac{\partial L}{\partial q_4} + \frac{\partial R}{\partial q_4} = - \frac{\partial U}{\partial q_4} + Q_4 \quad (5.1.3)$$

$$\frac{d}{dt} \left(\frac{\partial L}{\partial q_5} \right) - \frac{\partial L}{\partial q_5} + \frac{\partial R}{\partial q_5} = - \frac{\partial U}{\partial q_5} + Q_5 \quad (5.1.3)$$

jednotlivé výrazy pro L, R, U, Q pišeme ve tvaru

$$L = \frac{1}{2} m_4 \dot{q}_4^2 + \frac{1}{2} m_5 \dot{q}_5^2 \quad (5.1.4)$$

$$U = \frac{1}{2} c_2 q_4^2 + \frac{1}{2} c_{54} (q_5 - q_4)^2 + \frac{1}{2} c_5 q_5^2$$

$$R = \frac{1}{2} k_2 \dot{q}_4^2 + \frac{1}{2} k_{54} (q_5 - q_4)^2 + \frac{1}{2} k_5 \dot{q}_5^2$$

$$Q_4 = O_4 \sin \omega t - m_4 g \quad O_4 = m_N r_N \omega^2$$

$$Q_5 = -F_5 - m_5 g$$

kde

$$(5.1.5)$$

$$q_4 = y_4 \quad \dot{q}_4 = \frac{dy_4}{dt} = v_4$$

$$q_5 = y_5 \quad \dot{q}_5 = \frac{dy_5}{dt} = v_5$$

Po provedení derivací a dosazení do (5.1.3), dostáváme soustavu diferenciálních rovnic po úpravě ve tvaru :

$$m_4 \frac{dv_4}{dt} = -k_2 v_4 + k_{54} (v_5 - v_4) - c_2 y_4 + c_{54} (y_5 - y_4) + O_4 \sin \omega t - m_4 g$$

$$\frac{dy_4}{dt} = v_4 \quad (5.1.6)$$

$$m_5 \frac{dv_5}{dt} = -k_{54} (v_5 - v_4) - k_5 v_5 - c_{54} (y_5 - y_4) - c_5 y_5 - F_5 - m_5 g$$

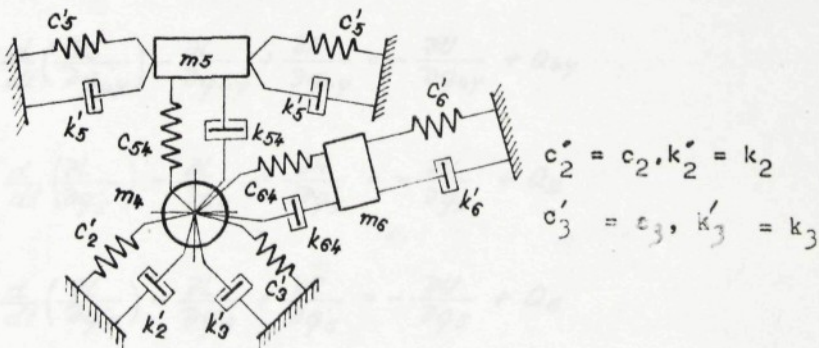
$$\frac{dy_5}{dt} = v_5$$

Lineární diferenciální rovnice druhého řádu (5.1.3) jsme nahradili systémem lineárních diferenciálních rovnic prvního řádu (5.1.6), který je vhodný pro další výpočty prováděné na samočinném počítači (viz kapitola 5.2 - numerické řešení prováděné metodou Runge Kutta).

Dvouosý tříhmotový dynamický model

Druhý model - dynamický dvouosý tříhmotový má obdobně soustředěné hmoty m_4, m_5, m_6 jako v předchozím případě, hmota m_4 nahrazuje hmotu spřádacího rotoru, hmota m_5 nahrazuje odpovídající část řemene a hmota m_6 nahrazuje přítlačnou kladku. Hmoty jsou spolu navzájem a k rámu vázány Kelvinovými tělesy. Tuhost a tlumení nákružků opěrných kotoučů představují c'_2, c'_3 a k'_2, k'_3 . Tuhost a tlumení pružné vrstvy řemene ve styku s dříkem rotoru jsou označeny c_{54}, k_{54} , tuhost a tlumení vlastního řemene c'_5, k'_5 . Vliv přítlačné kladky se projeví jednak tuhostí a tlumením řemene mezi kladkou a dříkem spřádacího rotoru c_{64}, k_{64} a tuhostí a tlumením vlastního řemene c'_6, k'_6 . Předpětí řemene je vyjádřeno jednak silou F_5 , síla F_6 postihuje podíl předpětí řemene od přítlačné kladky. Amplituda budící síly nevývažku je označena O_4 .

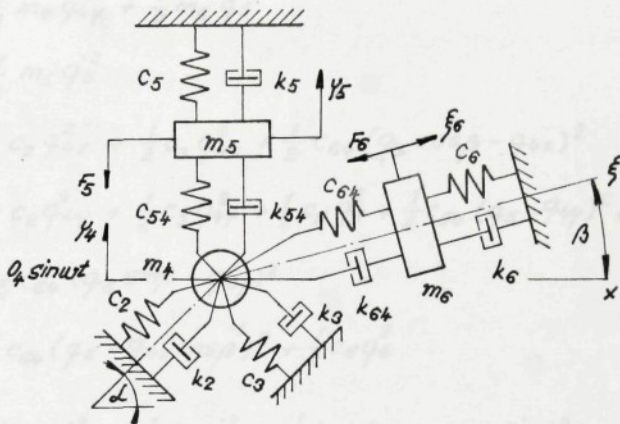
Sestavení dvouosého tříhmotového modelu - náhradní schema :
V dalších výpočtech uvažujeme výchylku přítlačné kladky pod úhlem β po přímce, neboť vypočtené zdvihy kladky jsou velmi malé. Dále předpokládáme, že posuv hmot nemění směr působicích sil.



Obr.25

Pro paralelní řazení členů c_5' , k_5' , c_6' , k_6' byly určeny výsledné tuhosti a tlumení c_5 , k_5 , c_6 , k_6 měřením, viz kapitola 5.3.

Po úpravě dostáváme náhradní schéma soustavy ve tvaru :



Obr.26

Popis modelu diferenciálními rovnicemi :

Při odvození diferenciálních rovnic pro tuto soustavu postupujeme obdobně jako v případě předchozího modelu, vycházíme z Lagrangeovy rovnice druhého druhu (5.1.2).

Vyšetřujeme pohyb těles 4,5 a 6, v případě obecné souřadnice q_i je nutné upravit rovnice na tvar

$$\frac{d}{dt} \left(\frac{\partial L}{\partial \dot{q}_{4x}} \right) - \frac{\partial L}{\partial q_{4x}} + \frac{\partial R}{\partial q_{4x}} = - \frac{\partial U}{\partial q_{4x}} + Q_{4x} \quad (5.1.7)$$

$$\frac{d}{dt} \left(\frac{\partial L}{\partial \dot{q}_{4y}} \right) - \frac{\partial L}{\partial q_{4y}} + \frac{\partial R}{\partial q_{4y}} = - \frac{\partial U}{\partial q_{4y}} + Q_{4y}$$

$$\frac{d}{dt} \left(\frac{\partial L}{\partial \dot{q}_5} \right) - \frac{\partial L}{\partial q_5} + \frac{\partial R}{\partial q_5} = - \frac{\partial U}{\partial q_5} + Q_5$$

$$\frac{d}{dt} \left(\frac{\partial L}{\partial \dot{q}_6} \right) - \frac{\partial L}{\partial q_6} + \frac{\partial R}{\partial q_6} = - \frac{\partial U}{\partial q_6} + Q_6$$

Výrazy pro L,R,U,Q pišeme ve tvaru

$$L_x = \frac{1}{2} m_4 \dot{q}_{4x}^2 \quad (5.1.8)$$

$$L_y = \frac{1}{2} m_4 \dot{q}_{4y}^2 + \frac{1}{2} m_5 \dot{q}_5^2$$

$$L_\xi = \frac{1}{2} m_6 \dot{q}_6^2$$

$$U_x = \frac{1}{2} c_2 \dot{q}_{4x}^2 + \frac{1}{2} c_3 \dot{q}_{4x}^2 + \frac{1}{2} c_{64} (\dot{q}_6 \cos \beta - \dot{q}_{4x})^2$$

$$U_y = \frac{1}{2} c_2 \dot{q}_{4y}^2 + \frac{1}{2} c_3 \dot{q}_{4y}^2 + \frac{1}{2} c_5 \dot{q}_5^2 + \frac{1}{2} c_{54} (\dot{q}_5 - \dot{q}_{4y})^2 + \frac{1}{2} c_{64} (\dot{q}_6 \sin \beta - \dot{q}_{4y})^2$$

$$U_\xi = \frac{1}{2} c_{64} (\dot{q}_6 - \dot{q}_{4x} \cos \beta)^2 + \frac{1}{2} c_6 \dot{q}_6^2$$

$$R_x = \frac{1}{2} k_2 \dot{q}_{4x}^2 + \frac{1}{2} k_3 \dot{q}_{4x}^2 + \frac{1}{2} k_{64} (\dot{q}_6 \cos \beta - \dot{q}_{4x})^2$$

$$R_y = \frac{1}{2} k_2 \dot{q}_{4y}^2 + \frac{1}{2} k_3 \dot{q}_{4y}^2 + \frac{1}{2} k_5 \dot{q}_5^2 + \frac{1}{2} k_{54} (\dot{q}_5 - \dot{q}_{4y})^2 + \frac{1}{2} k_{64} (\dot{q}_6 \sin \beta - \dot{q}_{4y})^2$$

$$R_\xi = \frac{1}{2} k_{64} (\dot{q}_6 - \dot{q}_{4x} \cos \beta)^2 + \frac{1}{2} k_6 \dot{q}_6^2$$

$$Q_{4x} = \sigma_4 \cos \omega t$$

$$Q_{4y} = \sigma_4 \sin \omega t - m_4 q$$

$$Q_5 = -F_5 - m_5 q$$

$$Q_6 = -F_6 - m_6 q \sin \beta$$

kde $\dot{q}_{4x} = x_4 \cos \alpha \quad \dot{q}_{4x} = \frac{d q_{4x}}{dt} = v_{4x} \cos \alpha \quad (5.1.9)$

$$\dot{q}_{4y} = y_4 \sin \alpha \quad \dot{q}_{4y} = \frac{d q_{4y}}{dt} = v_{4y} \sin \alpha$$

$$\dot{q}_5 = y_5 \quad \dot{q}_5 = \frac{d y_5}{dt} = v_5$$

$$\dot{q}_6 = \xi_6 \quad \dot{q}_6 = \frac{d \xi_6}{dt} = v_{\xi_6}$$

Po provedení derivací a dosazení do rovnic (5,1,7) dostáváme po úpravě soustavu diferenciálních rovnic ve tvaru :

$$m_4 \frac{d v_{4x}}{dt} = -c_2 x_4 \cos \alpha - k_2 v_{4x} \cos \alpha - c_3 x_4 \cos \alpha - k_3 v_{4x} \cos \alpha + \\ + c_{64} (\xi_6 \cos \beta - x_4) + k_{64} (v_{6\xi} \cos \beta - v_{4x}) + O_4 \cos w t$$

$$\frac{d x_4}{dt} = v_{4x}$$

$$m_4 \frac{d v_{4y}}{dt} = -c_2 y_4 \sin \alpha - k_2 v_{4y} \sin \alpha - c_3 y_4 \sin \alpha - k_3 v_{4y} \sin \alpha + \\ + c_{64} (\xi_6 \sin \beta - y_4) + k_{64} (v_{6\xi} \sin \beta - v_{4y}) + c_{54} (y_5 - y_4) + \\ + k_{54} (v_5 - v_{4y}) + O_4 \sin w t - m_4 g$$

$$\frac{d y_4}{dt} = v_{4y}$$

$$m_5 \frac{d v_5}{dt} = -c_5 y_5 - c_{54} (y_5 - y_4) - k_5 v_5 - k_{54} (v_5 - v_{4y}) - F_5 - m_5 g$$

$$\frac{d y_5}{dt} = v_5$$

$$m_6 \frac{d v_{6\xi}}{dt} = -c_{64} (\xi_6 - x_4 / \cos \beta) - c_6 \xi_6 - k_{64} (v_{6\xi} - v_{4x} / \cos \beta) - \\ - k_6 v_{6\xi} - F_6 - m_6 g \sin \beta$$

$$\frac{d \xi_6}{dt} = v_{6\xi}$$

(5,1,10)

Lineární diferenciální rovnice druhého řádu (5,1,7) jsme opět nahradili systémem lineárních diferenciálních rovnic prvního řádu (5,1,10), který je vhodný pro další výpočty prováděné na samočinném počítači.

5.1.4 Ovalita kotoučů

Zavedení ovalit opěrných kotoučů do diferenciálních rovnic je přiblížením matematického modelu odvalového uložení skutečnosti. Ovalita kotouče vnáší do kmitajícího systému výchylku závislou na frekvenci otáčení kotouče, jak to popisují následující soustavy rovnic (5.1.11), (5.1.12) u členu tuhosti nákrúžku c_2 , případně c_3 . Ovalita je označena symbolem σ .

Jednoosý dvouhmotový model

$$m_4 \frac{d\gamma_4}{dt} = -k_2 \gamma_4 + k_{54}(\gamma_5 - \gamma_4) - c_2 [\gamma_4 + \sigma \sin(\frac{2r}{R_0} \omega t + \varphi)] + \\ + c_{54}(\gamma_5 - \gamma_4) + \sigma \sin \omega t - m_4 g$$

$$\frac{d\gamma_4}{dt} = \dot{\gamma}_4$$

$$m_5 \frac{d\gamma_5}{dt} = -k_{54}(\gamma_5 - \gamma_4) - k_5 \gamma_5 - c_{54}(\gamma_5 - \gamma_4) - c_5 \gamma_5 - f_5 - m_5 g$$

$$\frac{d\gamma_5}{dt} = \dot{\gamma}_5$$

(5.1.11)

Dvouosý tříhmotový model

$$m_4 \frac{dx_4}{dt} = -c_2 [x_4 + \sigma_2 \sin(\frac{2r}{R_0} \omega t + \varphi)] \cos \alpha - k_2 v_{4x} \cos \alpha - \\ - c_3 [x_4 + \sigma_3 \sin(\frac{2r}{R_0} \omega t + \varphi)] \cos \alpha - k_3 v_{4x} \cos \alpha + \\ + k_{64}(v_{6x} \cos \beta - v_{4x}) + c_{64}(\xi_6 \cos \beta - x_4) + \sigma_4 \cos \omega t$$

$$\frac{dx_4}{dt} = \dot{x}_4$$

$$m_4 \frac{d\gamma_4}{dt} = -c_2 [\gamma_4 + \sigma_2 \sin(\frac{2r}{R_0} \omega t + \varphi)] \sin \alpha - k_2 v_{4y} \sin \alpha - \\ - c_3 [\gamma_4 + \sigma_3 \sin(\frac{2r}{R_0} \omega t + \varphi)] \sin \alpha - k_3 v_{4y} \sin \alpha + \\ + c_{64}(\xi_6 \sin \beta - \gamma_4) + k_{64}(v_{6y} \sin \beta - v_{4y}) + \\ + c_{54}(\gamma_5 - \gamma_4) + k_{54}(v_5 - v_{4y}) + \sigma_4 \sin \omega t - m_4 g$$

$$\frac{d\gamma_4}{dt} = \dot{\gamma}_4$$

$$m_5 \frac{d\gamma_5}{dt} = -c_5 y_5 - c_{54}(y_5 - y_4) - k_5 v_5 - k_{54}(v_5 - v_4) - f_5 - m_5 g$$

$$\frac{dy_5}{dt} = v_5$$

$$m_6 \frac{dv_6}{dt} = -c_{64}(\xi_6 - x_4/\cos\beta) - c_6 \xi_6 - k_{64}(v_{6\xi} - v_4/\cos\beta) - k_6 \tau_{6\xi} - f_6 - m_6 g \sin\beta$$

$$\frac{d\xi_6}{dt} = v_{6\xi}$$

(5.1.12)

5.1.5 Nelineární tuhosti nákružků opěrných kotoučů a řemene

Náhrada sejmutých tuhostí řemene (v příčném směru) a nákružků opěrných kotoučů byla provedena pomocí regresní funkce. Dostáváme polynom druhého stupně, který dosadíme do soustav diferenciálních rovnic (5.1.6), (5.1.10) ke členům tuhostí c_2, c_3, c_{54}, c_{64} . Po úpravě dostáváme rovnice ve tvaru :

Jednoosý dvouhmotový model

$$m_4 \frac{d\gamma_4}{dt} = -k_2 \tau_4 + k_{54}(v_5 - v_4) - (190,91 \cdot 10^3 y_4 + 2117,8 \cdot 10^6 y_4^2) + \\ + 127,29 \cdot 10^3 (y_5 - y_4) + 3142,95 \cdot 10^6 (y_5 - y_4)^2 + O_4 \sin \omega t - m_4 g$$

$$\frac{dy_4}{dt} = v_4$$

$$m_5 \frac{d\gamma_5}{dt} = -k_{54}(v_5 - v_4) - k_5 \tau_5 - 127,29 \cdot 10^3 (y_5 - y_4) - 3142,95 \cdot 10^6 (y_5 - y_4)^2 - \\ - c_5 y_5 - f_5 - m_5 g$$

$$\frac{dy_5}{dt} = v_5$$

(5.1.13)

Dvoousý tříhmotový model

$$m_4 \frac{d\gamma_4}{dt} = -(120,57 \cdot 10^3 y_4 + 1164,17 \cdot 10^6 y_4^2) \sin \alpha - k_2 v_{4y} \sin \alpha - \\ - (120,57 \cdot 10^3 y_4 + 1164,17 \cdot 10^6 y_4^2) \sin \alpha - k_3 \tau_{4y} \sin \alpha + \\ + 127,29 \cdot 10^3 (y_5 - y_4) + 3142,95 \cdot 10^6 (y_5 - y_4)^2 + \\ + k_{54}(v_5 - v_{4y}) + 127,29 \cdot 10^3 (\xi_6 \sin \beta - y_4) + 3142,95 \cdot 10^6 (\xi_6 \sin \beta - y_4)^2 + \\ + k_{64}(v_{6\xi} \sin \beta - v_{4y}) + O_4 \sin \omega t - m_4 g$$

(5.1.14)

$$\frac{dy_4}{dt} = v_{4y}$$

$$m_4 \frac{d^2v_{4x}}{dt^2} = - (120,57 \cdot 10^3 x_4 + 1164,17 \cdot 10^6 x_4^2) \cos \alpha - k_2 v_{4x} \cos \alpha - \\ - (120,57 \cdot 10^3 x_4 + 1164,17 \cdot 10^6 x_4^2) \cos \alpha - k_3 v_{4x} \cos \alpha + \\ + [127,29 (\xi_6 \cos \beta - x_4) + 3142,95 \cdot 10^6 (\xi_6 \cos \beta - x_4)^2] + \\ + k_{64} (v_{6f} \cos \beta - v_{4x}) + O_4 \cos \omega t$$

$$\frac{dx_4}{dt} = v_{4x}$$

$$m_5 \frac{d^2v_5}{dt^2} = - c_5 y_5 - 127,29 (\xi_5 - y_5) - 3142,95 \cdot 10^6 (y_5 - y_4)^2 - \\ - k_{54} (v_5 - v_{4y}) - k_5 v_5 - f_5 - m_5 g$$

$$\frac{dy_5}{dt} = v_5$$

$$m_6 \frac{d^2\xi}{dt^2} = - 127,29 \cdot 10^3 (\xi_6 - x_6 \cos \beta) - 3142,95 \cdot 10^6 (\xi_6 - x_6 \cos \beta)^2 - c_6 \xi_6 - \\ - k_{64} (v_{6f} - v_{4x} \cos \beta) - k_6 v_{6f} - f_6 - m_6 g \sin \beta$$

$$\frac{d\xi_6}{dt} = v_{6f}$$

Podmínky pro zajištění stability výpočtu na samočinném počítači jsou uvedeny v dodatku závěru práce.

5.1.6 Analytické řešení jednoosého dvouhmotového matematického modelu

Pro analytické řešení dvouhmotového dynamického modelu byly pohybové rovnice (5.1.6) upraveny na tvar

$$m_4 \ddot{y}_4 + k_2 y_4 - k_{54} (y_5 - y_4) + c_2 y_4 - c_{54} (y_5 - y_4) = O_4 e^{i\omega t} \quad (5.1.15)$$

$$m_5 \ddot{y}_5 + k_{54} (y_5 - y_4) + k_5 y_5 + c_{54} (y_5 - y_4) + c_5 y_5 = 0$$

Budíci silu uvažujeme ve tvaru

$$O = O_4 e^{i\omega t}$$

Pro snadnější určení vlastní frekvence soustavy (5.1.15) (rezonanční frekvence této soustavy) zanedbáme tlumení a položíme $k_2 = k_{54} = k_5 = 0$

Soustava (5.1.15) bude mít po úpravě tvar

$$m_4 \ddot{y}_4 + c_2 y_4 - c_{54} (y_5 - y_4) = O e^{i\omega t} \quad (5.1.16)$$

$$m_5 \ddot{y}_5 + c_5 y_5 + c_{54} (y_5 - y_4) = 0$$

Partikulární řešení předpokládáme ve tvaru

$$y_4 = Y_4 e^{i\omega t} \quad y_5 = Y_5 e^{i\omega t} \quad (5.1.17)$$

kde Y_4, Y_5 jsou komplexní čísla

Dosazením (5.1.17) do (5.1.16) a úpravě dostaváme

$$\begin{aligned} Y_4 (c_2 + c_{54} - m_4 \omega^2) & - Y_5 c_{54} = O_4 \\ - Y_4 c_{54} & \quad Y_5 (c_5 + c_{54} - m_5 \omega^2) = 0 \end{aligned} \quad (5.1.18)$$

Řešením soustavy (5.1.18) podle Y_4 , resp. Y_5 dostaváme amplitudy

$$Y_4 = \frac{O_4 (c_5 + c_{54} - m_5 \omega^2)}{(c_2 + c_{54} - m_4 \omega^2) \cdot (c_5 + c_{54} - m_5 \omega^2) - c_{54}^2} \quad (5.1.19)$$

$$Y_5 = \frac{O_4 c_{54}}{(c_2 + c_{54} - m_4 \omega^2) \cdot (c_5 + c_{54} - m_5 \omega^2) - c_{54}^2}$$

Vzájemná poloha hmot je dána rozdílem Y_4 a Y_5

$$Y = Y_4 - Y_5 = \frac{O_4 (c_5 - m_5 \omega^2)}{(c_2 + c_{54} - m_4 \omega^2) \cdot (c_5 + c_{54} - m_5 \omega^2) - c_{54}^2} \quad (5.1.20)$$

Ze vztahů pro výpočet amplitud kmitání hmot m_4 a m_5 je zřejmé, že amplitudy budou vznikat nadef všechny meze, pokud jmenovatel zlomků bude roven nule. V tomto případě nastane rezonance systému. Hodnoty vlastních frekvencí soustavy určíme, když položíme jmenovatele vztahů (5.1.19) a (5.1.20) rovné nule. Dále pro označení vlastní frekvence soustavy píšeme $\omega = \Omega^*$. Po dosazení dostaváme jmenovatele ve tvaru

$$(c_2 + c_{54} - m_4 \Omega^{*2}) \cdot (c_5 + c_{54} - m_5 \Omega^{*2}) - c_{54}^2 = 0 \quad (5.1.21)$$

Kořeny rovnice (5,1,21) určují vlastní kruhové frekvence systému : (5,1,22)

$$\omega_{1,2k}^* = \sqrt{\frac{1}{2} \left(\frac{c_5 + c_{54}}{m_5} + \frac{c_2 + c_{54}}{m_4} \right) \pm \sqrt{\frac{1}{4} \left(\frac{c_5 + c_{54}}{m_5} + \frac{c_2 + c_{54}}{m_4} \right)^2 - \frac{c_5 c_5 + c_{54} c_5 + c_2 c_{54}}{m_4 m_5}}}$$

Po dosazení do vztahu (5,1,22) dostáváme pro hodnoty

$$c_5 = 1250 \text{ N/m} \quad c_2 = 200000 \text{ N/m} \quad m_5 = 0,01 \text{ kg}$$

$$c_{54} = 200000 \text{ N/m} \quad m_4 = 0,09 \text{ kg}$$

velikosti vlastních frekvencí a otáček sprádacích rotorů

$$\omega_{1k}^* = 1410 \text{ l/s} \quad \text{tj. } n_{1kr} = 13464 \text{ min}^{-1} \quad \text{tj. } 224,5 \text{ Hz}$$

$$\omega_{2k}^* = 4750 \text{ l/s} \quad \text{tj. } n_{2kr} = 45359 \text{ min}^{-1} \quad \text{tj. } 756,4 \text{ Hz}$$

Amplituda Y bude nulová, pokud

$$c_5 - m_5 \omega^2 = 0 \quad (5,1,23)$$

Po dosazení a položime-li $\omega = \omega_1$ dostáváme

$$\omega_1 = \sqrt{\frac{c_5}{m_5}} = \sqrt{\frac{1250}{0,01}} = 353 \text{ l/s tj. } 56,2 \text{ Hz} \quad (5,1,24)$$

což je vlastní frekvence řemene, měřením byla zjištěna hodnota 52 Hz.

Amplituda Y_4 bude nulová pro frekvenci, kterou dostaneme úpravou čitatele vztahu (5,1,19). Položime-li $\omega = \omega_2$, dostáváme

$$c_5 + c_{54} - m_5 \omega^2 = 0 \quad (5,1,25)$$

$$\omega_2 = \sqrt{\frac{c_5 + c_{54}}{m_5}} = \sqrt{\frac{1250 + 200000}{0,01}} = 4486 \text{ l/s tj. } 714 \text{ Hz}$$

Rovnici (5,1,21) lze upravit na tvar

$$\frac{c_{54}^2}{c_5 + c_{54} - m_5 \omega^{*2}} = c_2 + c_{54} - m_4 \omega^{*2} \quad (5,1,26)$$

Volbou m_4, c_{54}, c_2 lze ovlivnit hodnoty vlastních frekvencí při zachování m_5 a c_5 .

Zatím bylo vyloučeno tlumení kmitání soustavy a hledaly se rezonanční oblasti v závislosti na velikosti hmot a tuhosti. Zavedeme-li opět soustavu (5,1,15) s tlumením, budou se průběhy velikosti amplitud Y_4, Y_5 v závislosti na ω lišit zejména v rezonančních oblastech, kde vlivem tlumení nebudou tyto růst nad všechny meze. Ani amplitudy ve vztazích (5,1,23) a (5,1,25) nebudou rovny nule a dosáhnou určité hodnoty.

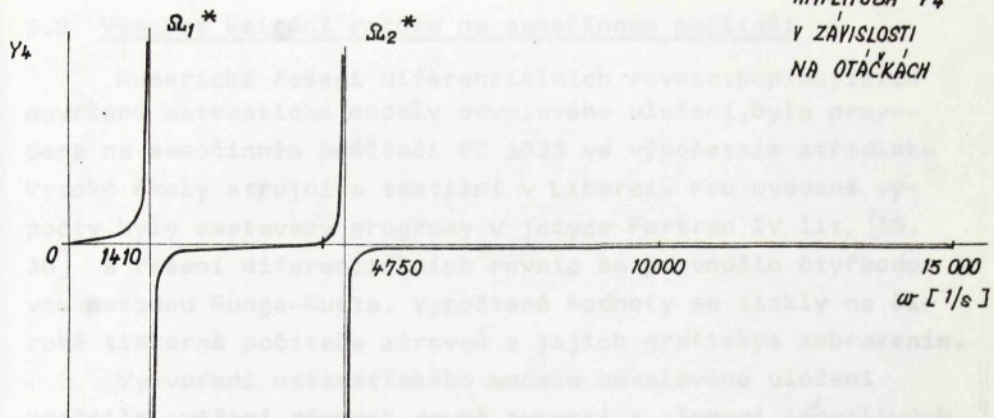
AMPLITUDA VE
V ZÁVISLOSTI
NA OBLASTECH

10000 20000 30000 40000
10000 20000 30000 40000
10000 20000 30000 40000

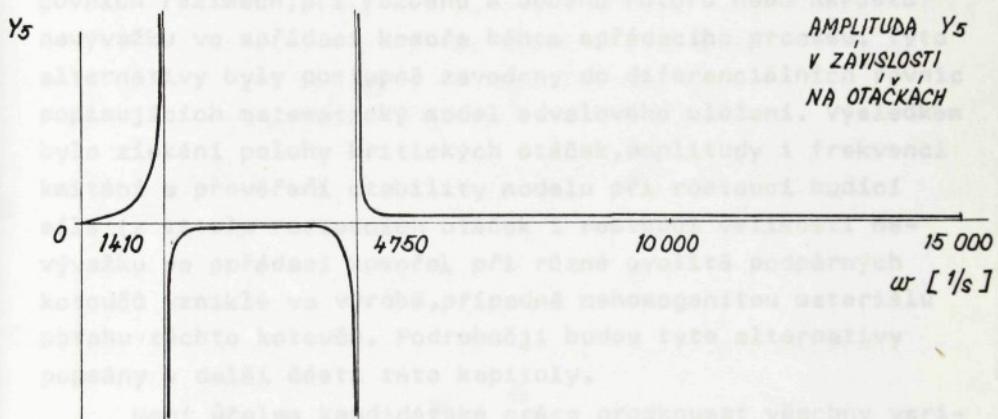
ROZDÍL AMPLITUD
V ZÁVISLOSTI
NA OBLASTECH

10000 20000 30000 40000
10000 20000 30000 40000
10000 20000 30000 40000

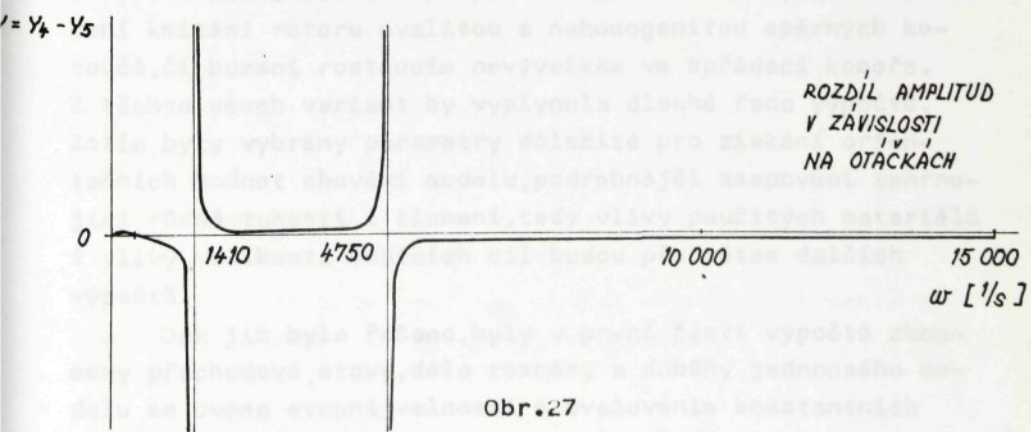
AMPLITUDA Y_4
V ZÁVISLOSTI
NA OTÁČKACH



AMPLITUDA Y_5
V ZÁVISLOSTI
NA OTÁČKACH



ROZDÍL AMPLITUD
V ZÁVISLOSTI
NA OTÁČKACH



Obr.27

5.2 Výpočet kmitání rotoru na samočinném počítači

Numerická řešení diferenciálních rovnic, popisujících navržené matematické modely odvalového uložení, byla provedena na samočinném počítači EC 1033 ve výpočetním středisku Vysoké školy strojní a textilní v Liberci. Pro uvedené výpočty byly sestaveny programy v jazyce Fortran IV, lit. [35, 36] a řešení diferenciálních rovnic se provádělo čtyřbodovou metodou Runge-Kutta. Vypočtené hodnoty se tiskly na široké tiskárně počítače zároveň s jejich grafickým zobrazením.

Vytvoření matematického modelu odvalového uložení umožnilo ověření různých druhů tuhostí a tlumení jednotlivých členů modelu a prověření chování tohoto modelu v různých pracovních režimech, při rozběhu a doběhu rotoru nebo nárůstu nevývažku ve spřádací komoře během spřádacího procesu. Tyto alternativy byly postupně zavedeny do diferenciálních rovnic popisujících matematický model odvalového uložení. Výsledkem bylo získání polohy kritických otáček, amplitudy i frekvencí kmitání a prověření stability modelu při rostoucí budici síle (z titulu rostoucích otáček i rostoucí velikosti nevývažku ve spřádací komoře), při různé ovalitě podpěrných kotoučů vzniklé ve výrobě, případně nehomogenitou materiálu potahu těchto kotoučů. Podrobněji budou tyto alternativy popsány v další části této kapitoly.

Není účelem kandidátské práce prozkoumat všechny varianty tuhostí a tlumení podpor a hnacích řemenů, varianty buzení kmitání rotoru ovalitou a nehomogenitou opěrných kotoučů, či buzení rostoucím nevývažkem ve spřádací komoře. Z těchto všech variant by vyplynula dlouhá řada výpočtů. Zatím byly vybrány parametry důležité pro získání orientačních hodnot chování modelu, podrobnější zmapování zahrnující různé tuhosti i tlumení, tedy vlivy použitých materiálů i vlivy velikostí budicích sil budou předmětem dalších výpočtů.

Jak již bylo řečeno, byly v první části výpočtů zkoumány přechodové stavy, dále rozběhy a doběhy jednoosého modelu se dvěma stupni volnosti, s uvažováním konstantních

tuhostí, ve druhé části výpočtu byly u tohoto modelu zavedeny nelineární tuhosti opěrných kotoučů c_2 a nelineární tuhost řemene c_{54} .

Třetí část této kapitoly obsahuje výpočet chování dvousého modelu se třemi stupni volnosti. U tohoto modelu byla zkoumána schopnost a rychlosť vracení rotoru do setrvalého stavu vynuceného kmitání; po předchozím vybuzení a skončení přechodového stavu následoval rozběh rotoru, pracovní chod a doběh rotoru.

Členění programu pro samočinný počítač

V první části programu jsou načtena počáteční vstupní data, viz blokové schema. V druhé části je proveden výpočet diferenciálních rovnic čtyřbodovou metodou Runge Kutta s krokem h . Při sestavení programu vycházíme ze vztahu lit. [31, 32], řešící diferenciální rovnice prvního řádu.

$$y_{n+1} = y_n + \frac{h}{6}(k_1 + 2k_2 + 2k_3 + k_4) \quad h = x_i - x_0$$

$$k_1 = f(x_n; y_n) \quad k_3 = f(x_n + \frac{1}{2}h; y_n + \frac{1}{2}k_2)$$

$$k_2 = f(x_n + \frac{1}{2}h; y_n + \frac{1}{2}k_1) \quad k_4 = f(x_n + h; y_n + k_3)$$

Chyba metody je dána vztahem

$$\varphi_4(h) = \frac{1}{5!} \varphi_4^{(5)}(\xi) h^5$$

Metodu lze použít i v případě řešení soustavy n diferenciálních rovnic prvního řádu

$$y'_i = f_i(x, y_1, y_2, \dots, y_n) \text{ pro } i=1, 2, \dots, n$$

s počátečními podmínkami

$$y_i(x_0) = y_{i0} \text{ pro } i=1, 2, \dots, n$$

Rovnice vyšších řádů ve tvaru

$$y^{(n)} = f(x, y, y', \dots, y^{(n-1)})$$

s počátečními podmínkami

$$y^{(i)}(x_0) = y_{i0} \text{ pro } i=0, 1, 2, \dots, n-1$$

lze zapsat opět jako jedinou rovnici, zavedeme-li vektorové funkce a převedeme na rovnici prvního řádu

$$y = (y_1, y_2, \dots, y_n)$$

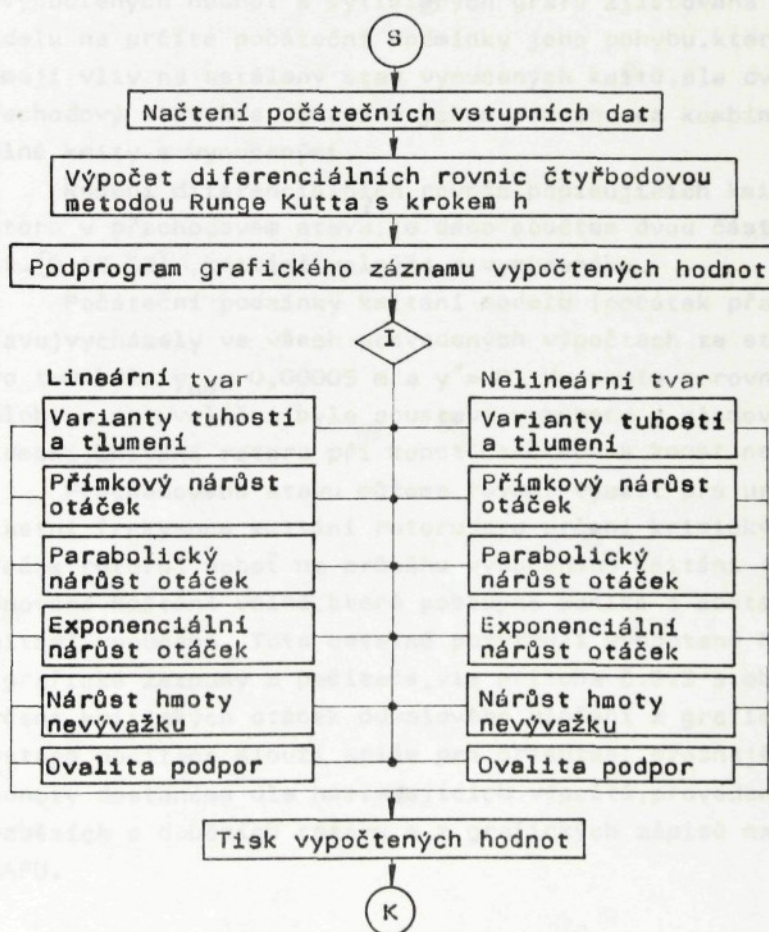
$$f(x, y) = (f_1(x, y), f_2(x, y), \dots, f_n(x, y))$$

Ve třetí části programu je sestaven podprogram pro dvě možnosti grafického zobrazení vypočtených hodnot :

1. Jsou vytisknutý výsledky všech etap řešení
2. Tisknou se výsledky 1. etapy a etap, kde velikost rozdílu amplitud přesahuje zvolenou hodnotu. Dále je možné tisknout další vybrané etapy.

Čtvrtou část programu tvoří podprogram simulování provozu rotoru. Výpisy programů pro samočinný počítač jsou uvedeny v příloze č.5.1,5.2.

Blokové schema programu



5.2.1 Výpočty provedené na dvouhmotovém modelu - ověření různých tuhostí a tlumení opěrných kotoučů a řemene

Aby byl získán přehled o chování navrženého matematického modelu a zjištěna jeho citlivost na vlivy vnitřní (týkající se použitých materiálů opěrných kotoučů a řemene - jejich tuhostí a tlumení) i na vlivy vnější (působení budící sily a sily přitlačné), byla provedena řada výpočtů na samočinném počítači, kde byly postupně měněny výše uvedené faktory. Přehled o zadávaných hodnotách pro výpočty dává tab. č.2, na str.70.

U jednotlivých variant uspořádání dle tab.2 byla potom z vypočtených hodnot a vytištěných grafů zjištěována reakce modelu na určité počáteční podmínky jeho pohybu, které sice nemají vliv na ustálený stav vynucených kmitů, ale ovlivňují přechodový stav, kde určuje v jakém rozsahu se kombinují volné kmity s vynucenými.

Řešení diferenciálních rovnic, popisujících kmitání rotoru v přechodovém stavu, je dáno součtem dvou částí, viz lit. [9, 13, 52], kmitání volného a vynuceného.

Počáteční podmínky kmitání modelu (počátek přechodového stavu) vycházely ve všech provedených výpočtech ze stavu: pro $t=0$ bylo $y_{04} = 0,00005$ m a $\dot{y} = 0$. Vyosením z rovnovážné polohy a po uvolnění byla soustava vybuzena a sledovalo se tlumení kmitání rotoru při konst. otáčkách a konst. nevývažku.

Přechodového stavu můžeme rovněž využít pro určení vlastní frekvence kmitání rotoru (pro určení kritických otáček rotoru), neboť na průběhu vynuceného kmitání je superponováno kmitání volné, které postupně zaniká a zůstává pouze kmitání vynucené. Toto ostatně potvrzuje vypočtené hodnoty i grafické záznamy z počítače, viz příloha č.5.3 a obr.28. Určení kritických otáček odvalového uložení z grafických výstupů počítače slouží spíše pro orientaci, přesnější hodnoty dostaneme dle následujících výpočtů, provedených při rozbežzích a dobězích rotoru a z grafických zápisů na DIGI-GRAFU.

Tabulka č.2

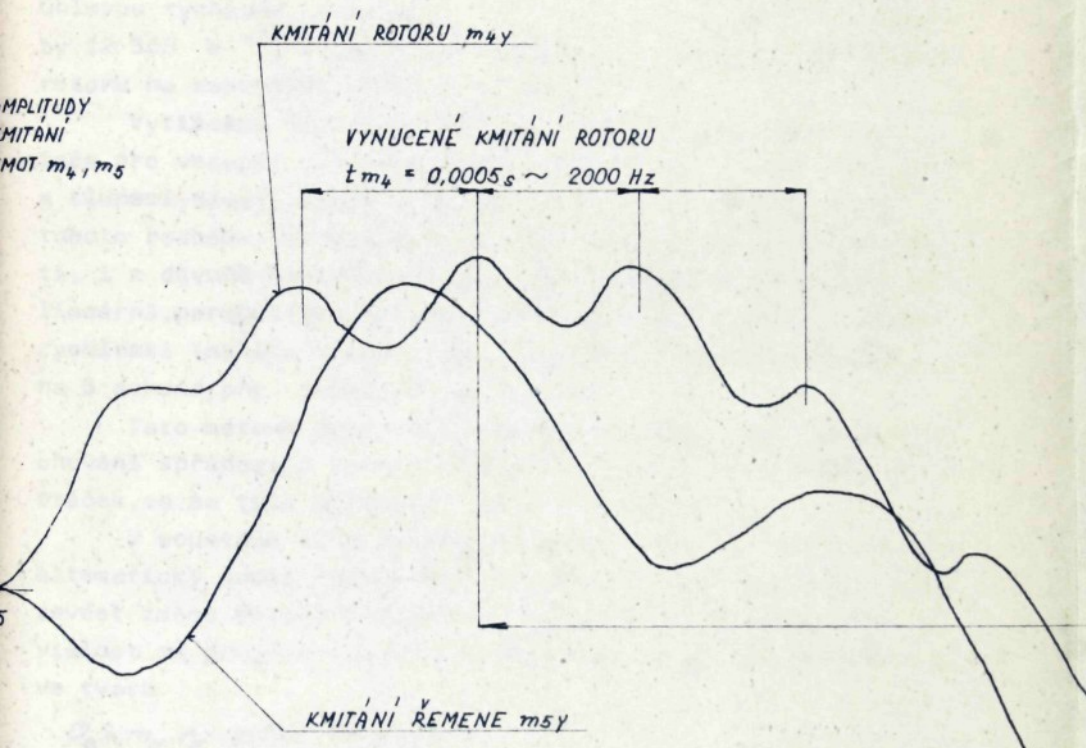
p o ř. č.	c_2 $\cdot 10^3$ N/m	k_2 kg/s	c_{54} $\cdot 10^3$ N/m	k_{54} kg/s	c_5 N/m	k_5 kg/s	F_5 N	m_4 kg	m_5 kg	m_N kg	otáčky rotoru \min^{-1}
1	200	6,7	200	15	1250	0,347	10	0,09	0,01	$1 \cdot 10^{-5}$	120 000
2	200	6,7	300	15	1250	0,347	10	0,09	0,01	$5 \cdot 10^{-6}$	120 000
3	200	6,7	400	15	1250	0,347	10	0,09	0,01	$1 \cdot 10^{-5}$	120 000
4	300	6,7	200	15	1250	0,347	10	0,09	0,01	$1 \cdot 10^{-5}$	120 000
5	300	6,7	300	15	1250	0,347	10	0,09	0,01	$1 \cdot 10^{-5}$	120 000
6	300	6,7	400	15	1250	0,347	10	0,09	0,01	$1 \cdot 10^{-5}$	120 000
7	400	6,7	400	15	1250	0,347	10	0,09	0,01	$1 \cdot 10^{-5}$	120 000
8	100	6,7	100	15	1250	0,347	10	0,09	0,01	$1 \cdot 10^{-5}$	120 000
9	200	6,7	200	15	1250	0,347	5	0,09	0,01	$5 \cdot 10^{-6}$	120 000
10	200	6,7	200	15	1250	0,347	5	0,09	0,01	$5 \cdot 10^{-6}$	120 000
11	200	6,7	200	15	1250	0,347	5	0,09	0,01	$5 \cdot 10^{-6}$	120 000
12	200	6,7	200	15	1250	0,347	5	0,09	0,01	$1 \cdot 10^{-5}$	120 000
13	200	3,2	200	2,35	1250	1,5	10	0,09	0,01	$5 \cdot 10^{-5}$	120 000
14	300	3,2	200	2,35	1250	1,5	10	0,09	0,01	$5 \cdot 10^{-5}$	120 000
15	300	3,2	300	2,35	1250	1,5	10	0,09	0,01	$5 \cdot 10^{-5}$	120 000
16	400	3,2	300	2,35	1250	1,5	10	0,09	0,01	$5 \cdot 10^{-5}$	120 000
17	400	3,2	400	2,35	1250	1,5	10	0,09	0,01	$5 \cdot 10^{-5}$	120 000

Z variant tuhostí a tlumení dle tabulky č.2 budou dále využívány v provozu varianty s pořadovým číslem 13 - 17, které odpovídají ověřovaným materiálům. Ty varianty, které ve výpočtech vykazovaly nestabilní stavy byly z dalšího sledování vyloučeny a zápis y z počítače byly založeny.

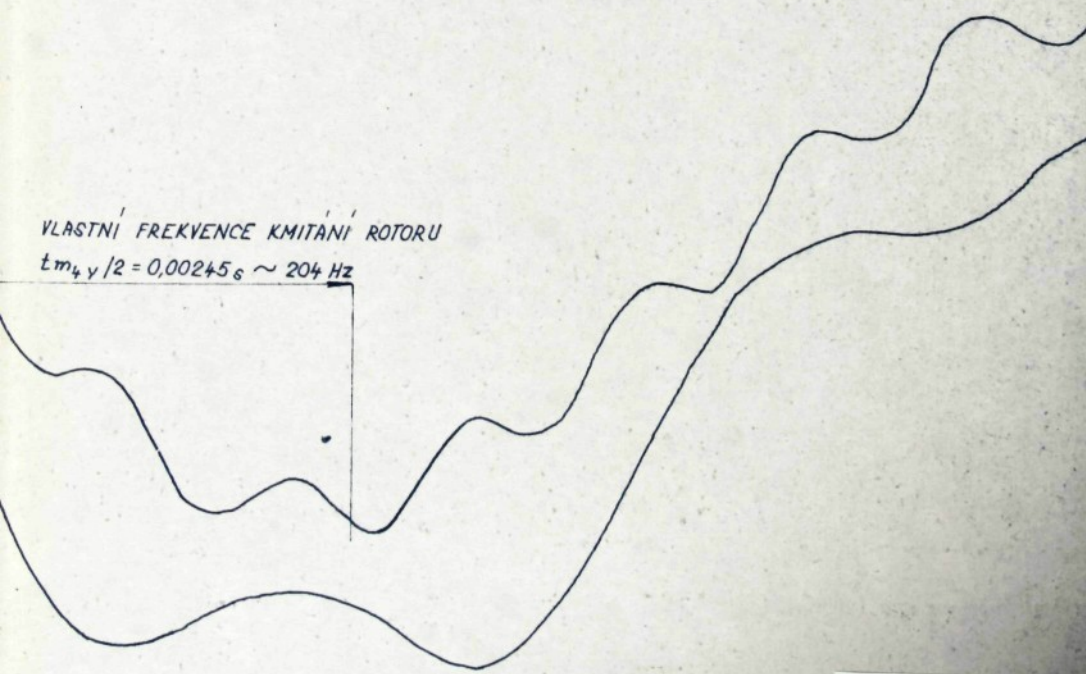
Vyhodnocení výpočtů se provádělo z rozdílů počáteční a konečné amplitudy kmitání hmoty m_4 , odečtené z určitého časového úseku výpisu počítače (ten byl určen vždy pro skupinu variant). Poměrem rozdílu amplitud a časového úseku dostáváme hodnotu tlumení kmitání v čase, viz příloha č.5.3.

JEDNOOSÝ MATEMATICKÝ MODEL

PŘECHODOVÉ STAVY KMITÁNÍ SPŘADACÍHO ROTORU ($n = 120\ 000 \text{ min}^{-1}$)
HODNOTY PRO VÝPOČTY DLE TAB. Č. 2, POČ. PODMÍNKY $y_0 = -0,05$



min^{-1})
05 mm



5.2.2 Výpočty provedené na dvouhmotovém modelu - "rozběhy" spřádacího rotoru

Druhou metodou pro stanovení kritických otáček a posouzení chování odvalového uložení, při uvažování různých variant tuhostí a tlumení opěrných kotoučů a řemenů, bylo zavedení tzv. "rozběhu". Pro tuto metodu byly do programu výpočtu soustavy diferenciálních rovnic (5,1,6) na samočinném počítači vloženy podprogramy, které dovolují měnit úhlovou rychlosť spřádacího rotoru od 0 do maximální hodnoty $12\ 566\ s^{-1}$. Vlastně tedy provádime "rozběh" spřádacího rotoru na maximální otáčky $120\ 000\ min^{-1}$.

Vytisklé výsledné hodnoty i grafický záznam z počítače pro vstupní data dle tabulky č.3, s variantami tuhostí a tlumení, dávají obraz o amplitudách i frekvencích během tohoto rozběhu. Ve snaze se co nejvíce přiblížit skutečnosti, i z důvodů kontrolních, byly úhlové rychlosti měněny buď lineárně, parabolicky či exponenciálně. Doba nárůstu úhlové rychlosti (náběhu otáček) byla ve všech případech omezena na 5 sekund, při dosažení max. otáček.

Tato metoda dává velmi přesné podklady pro vyšetření chování spřádacího rotoru, zejména v oblasti kritických otáček, co se týče amplitudy kmitů a frekvencí.

V soustavě diferenciálních rovnic (5,1,6), popisujících matematický model spřádacího rotoru, je v tomto případě nutné zavést změnu úhlové rychlosti v závislosti na čase. Tato závislost se projeví v popisu budící síly, která je definována ve tvaru

$$\sigma_4 = m_N \cdot r_N \cdot \omega^2(t) \cdot \sin[\omega(t) \cdot t] \quad (5,2,1)$$

V další části této kapitoly jsou odvozeny vztahy pro jednotlivé nárůsty úhlových rychlostí (lineárních, parabolických a exponenciálních) s ohledem na vztah (5,2,1).

Přímkový nárůst úhlové rychlosti

V případě přímkového nárůstu úhlové rychlosti využíváme pro odvození vztah

$$\omega = b \cdot t \quad (5,2,2)$$

kde b je směrnice nárůstu úhlové rychlosti, úhlové zrychlení ε , kdy za 5s vzroste úhlová rychlosť z 0 na 12 566 1/s, tj. $\varepsilon = b = 2 112 \text{ 1/s}^2$. Dále

$$d\varphi = w \cdot dt$$

(5,2,3)

Po integraci vztahu (5,2,3) dostáváme

$$\varphi = \int w \cdot dt = \int b \cdot t \cdot dt = \frac{1}{2} bt^2 + c \quad (5,2,4)$$

Konstantu c položíme rovnu nule, což platí pro $t=0$ a $\varphi=0$.

Po dosazení vztahu (5,2,4) do (5,2,1) dostáváme

$$O_4 = m_N \cdot r_N \cdot (bt)^2 \cdot \sin\left(\frac{4\varphi}{2}\right) \quad (5,2,5)$$

V tomto tvaru dosadíme O_4 do soustavy rovnic (5,1,6) a zavedeme do programu pro samočinný počítač.

Parabolický nárůst úhlové rychlosti

Průběh parabolického nárůstu úhlové rychlosti spřádacího rotoru byl vyšetřován metodou kvadratické regrese, z rozbehů dle literatury [45]. Na základě těchto výpočtů byl odvozen vztah pro obvodovou rychlosť dříku spřádacího rotoru v závislosti na čase (5,2,6).

$$r = -2,26t^2 + 22,6t \quad (5,2,6)$$

Úhlová rychlosť byla vyjádřena vztahem

$$w = \frac{r}{r}$$

Dále $d\varphi = w \cdot dt$

Po integraci dostáváme

$$\varphi = \int w \cdot dt = \frac{1}{r} \int (-2,26t^2 + 22,6t) dt = -\frac{1}{r} (0,753t^3 - 11,3t^2) + c$$

Pro $t=0$ a $\varphi=0$ je c rovno nule. Po dosazení vztahu (5,2,7) do (5,2,1) dostáváme

$$O_4 = m_N \cdot r_N \cdot \left[\frac{1}{r} (-2,26t^2 + 22,6t) \right]^2 \cdot \sin \left[\frac{1}{r} (-0,753t^3 + 11,3t^2) \right]$$

V tomto tvaru dosadíme O_4 do soustavy diferenciálních rovnic (5,1,6) a zavedeme do programu pro samočinný počítač.

Exponenciální nárůst úhlové rychlosti

Při vyšetřování exponenciálního nárůstu otáček spřádacího rotoru vycházíme ze vztahu $v = A (1 - e^{-at})$, který

odpovídá praktickým rozbehům rotoru dle lit. [45]. Pro obvodovou rychlosť dříku spřadacího rotoru v závislosti na čase byl odvozen vztah

$$\varphi = 58,42(1 - e^{-0,621t}) \quad (5,2,9)$$

Úhlová rychlosť byla vyjádřena tvarem

$$\omega = \frac{\varphi}{r}$$

$$\text{Dále } d\varphi = \omega \cdot dt \quad (5,2,10)$$

Po integraci dostaváme

$$\varphi = \frac{1}{r} \int 58,42(1 - e^{-0,621t}) dt = \frac{1}{r} (58,42t + 94,074 e^{-0,621t}) + c$$

Pro $t=0$ a $\varphi=0$ dostaváme c rovno nule. Po dosazení vztahů (5,2,10) do (5,2,1) dostaváme

$$(5,2,11)$$

$$O_4 = m_N r_N \left[\frac{58,42}{r} (1 - e^{-0,621t}) \right]^2 \sin \frac{1}{r} (58,42t + 94,074 e^{-0,621t})$$

V tomto tvaru dosadíme O_4 do soustavy rovnic (5,1,6) a zavedeme do programu pro samočinný počítač.

Vstupní hodnoty pro výpočet uvádí tabulka č.3

Tabulka č.3

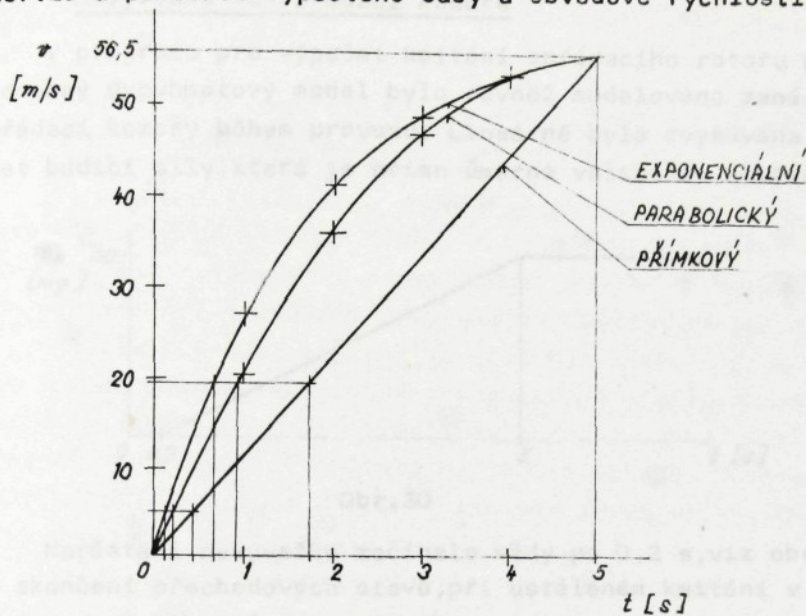
c_2	k_2	c_{54}	k_{54}	c_5	k_5	F_5	m_4	m_5	m_N
$\cdot 10^3$ N/m	kg/s	$\cdot 10^3$ N/m	kg/s	N/m	kg/s	N	kg	kg	kg
200	3,2	200	2,35	1250	1,5	10	0,09	0,01	$1 \cdot 10^{-5}$
400	3,2	300	2,35	1250	1,5	10	0,09	0,01	$1 \cdot 10^{-5}$

Průběhy nárůstu otáček spřadacího rotoru jsou zobrazeny v grafech obr.29 a ukazují závislost obvodové rychlosti dříku rotoru na čase. Z výpočtů provedených na samočinném počítači byly určeny časy, kdy došlo k maximálním výchylkám rotoru a řemenu. Tato výrazná maxima odpovídají poloze kritických otáček a jejich velikosti jsou po přepočtu uvedeny v tabulce č.4.

Ve všech třech sledovaných případech došlo ke dvěma prudkým nárůstům amplitud, a to v těchto časech :

Přímkový rozbeh :	$t_{1př} = 0,52$ s	$t_{2př} = 1,72$ s
Parabol. rozbeh :	$t_{1pa} = 0,28$ s	$t_{2pa} = 0,96$ s
Exponenc. rozbeh :	$t_{1ex} = 0,18$ s	$t_{2ex} = 0,65$ s

Vypočtené hodnoty můžeme přibližně ověřit v grafu obr.29 a porovnat vypočtené časy a obvodové rychlosti.



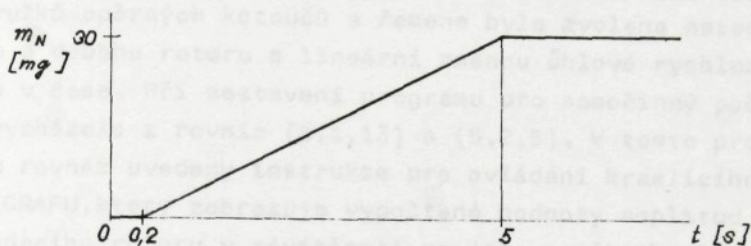
Obr.29

Tabulka č.4

Nářost otáček	Přímkový	Parabolický	Exponenciální
Kritické otáčky I. Hz min^{-1}	204 12 480	210,6 12 634	211 12 691
Kritické otáčky II. Hz min^{-1}	688 41 280	655 39 911	664 39 854
Amplituda I. Hmota m_4 mm	0,268	0,164	0,181
Hmota m_5 mm	0,285	0,177	0,244
Amplituda II. Hmota m_4 mm	0,0404	0,043	0,048
Hmota m_5 mm	0,1867	0,161	0,196

5.2.3 Výpočty provedené na dvouhmotovém modelu - nárust nevývažku ve spřádací komoře

V programu pro výpočet kmitání sprádacího rotoru pro jednoosý dvouhmotový model bylo rovněž modelováno zanášení nevývažku během provozu. Lineárně byla zvyšována velikost budící sily, která je přímo úměrná velikosti nevývažku.



Obr.30

Narůstání nevývažku začínalo vždy po 0,2 s, viz obr.30, po skončení přechodových stavů, při ustáleném kmitání v oblasti vynucených kmitů.

Při sestavení programu se vycházelo ze vztahu

$$O_4 = m_N r_N \omega^2 \sin \omega t \quad (5.2.12)$$

kde $m_N = a \cdot (t - 0,2) \quad m_N \in <0; 30> [mg]$

Po dosazení do vztahu (5.2.12) dostáváme

$$O_4 = a \cdot (t - 0,2) r_N \omega^2 \sin \omega t \quad (5.2.13)$$

V provedených výpočtech byly měněny tuhosti nákružků opěrných kotoučů a byla sledována stabilita chodu rotoru při konstantních otáčkách rotoru $120\ 000\ min^{-1}$ a rostoucím nevývažku - rostoucí budící síle. Zadané hodnoty pro výpočet udává tabulka č.3.

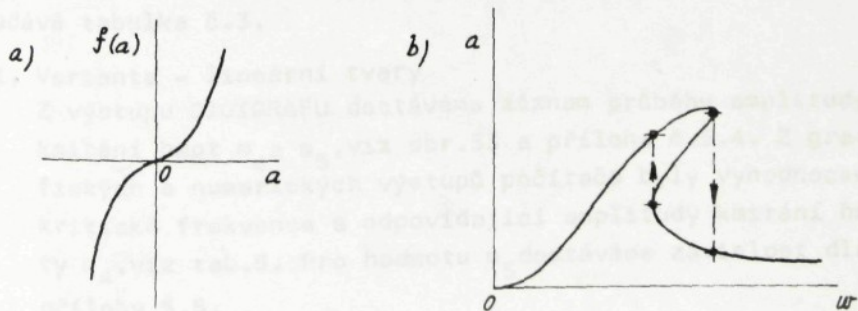
Vypočtené hodnoty amplitud kmitání hmot m_4 a m_5 ukazují dobrou stabilitu odvalového uložení rotoru vzhledem k růstu nevývažku ve spřádací komoře. Amplitudy kmitání rotoru vznášejí jen málo, pro otáčky rotoru $40\ 000\ min^{-1}$ z 0 na 0,035 mm, pro otáčky $120\ 000\ min^{-1}$ z 0 na 0,011 mm (změna tuhosti na dvojnásobek způsobí v tomto případě růst amplitudy na 0,013 mm). Tyto teoretické poznatky bude nutné ověřit měřením na skutečném odvalovém uložení, je však možné předpoklá-

dat, že při vysokých otáčkách a z toho plynoucí vysoké frekvenci kmitání rotoru, nevzrůstá amplituda tak výrazně.

5.2.4 Výpočty provedené na dvouhmotovém modelu - nelineární tuhosti nákrúžků opěrných kotoučů a řemene

Pro ověření jednoosého modelu s nelineárními tuhostmi nákrúžků opěrných kotoučů a řemene byla zvolena metoda rozběhu a doběhu rotoru s lineární změnou úhlové rychlosti rotoru v čase. Při sestavení programu pro samočinný počítač se vycházelo z rovnic (5.1.13) a (5.2.5). V tomto programu jsou rovněž uvedeny instrukce pro ovládání kreslicího stolu DIGIGRAFU, který zobrazuje vypočtené hodnoty amplitud kmitání spřádacího rotoru v závislosti na jeho otáčkách. Přechodové stavy, včetně rozběhu a doběhu, dostáváme z výstupu široké tiskárny počítače v grafické a numerické formě.

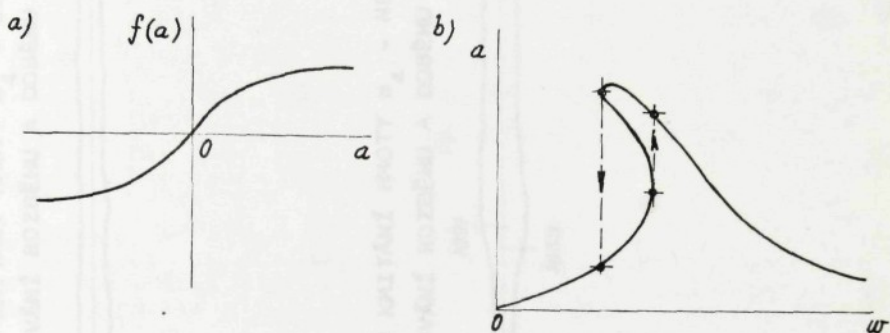
Pokud budeme sledovat rozběhy a doběhy rotoru odvalového uložení s uvažováním konstantních tuhostí opor a řemene, budou velikosti amplitud a kritických frekvencí souhlasit jak při rozběhu, tak i doběhu rotoru. Zavedeme-li ale nelineární tuhosti uložení, budou se lišit jak velikosti amplitud kmitání rotoru, tak hodnoty kritických frekvencí dle lit. [9, 13, 52]. Posuv amplitudy kmitání rotoru v závislosti na jeho otáčkové frekvenci souvisí s charakterem nonlinearity. Tvrdá nelinearity (dle obr. 31 a, který zobrazuje charakteristiku vratné síly v závislosti na výchylce) způsobí změnu v průběhu amplitudy kmitání rotoru při jeho rozběhu i doběhu a rezonanční



Obr. 31

křivka je v tomto případě skloněna směrem k vyšším frekvencím, jak ukazuje obr. 31 b. Při růstu i poklesu otáček potom dochází ke skokovému přechodu z jedné větve na druhou, ke skokovým změnám velikosti amplitudy.

Měkká nelinearity (dle obr. 32 a) způsobí obdobnou změnu v průběhu amplitudy, s tím rozdílem, že je rezonanční křivka skloněna směrem k nižším frekvencím. I zde může docházet ke skokovým přechodům z jedné větve na druhou, viz obr. 32 b.



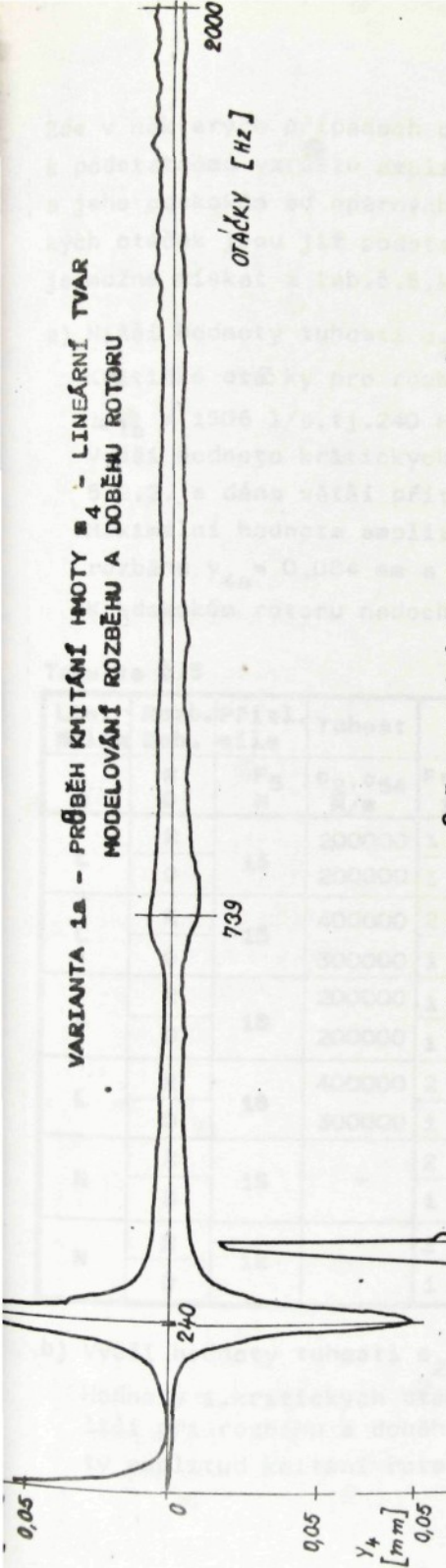
Obr. 32

Při modelování rozběhů na odvalovém uložení se projevuje vliv tvrdé nelinearity, vyplývá to i z provedených výpočtů s uvažováním tuhostí nákrúžků a řemene v lineárním a nelineárním tvaru. Přímkový rozběh a doběh rotoru, vypočtený dle rovnic (5,1,6), má shodné průběhy amplitud kmitání rotoru při shodných hodnotách kritických frekvencí. U nelineárního tvaru dle rovnic (5,1,13) jsou oblasti kritických otáček při rozběhu a doběhu rotoru vůči sobě posunuty. Hodnoty pro výpočty udává tabulka č. 3.

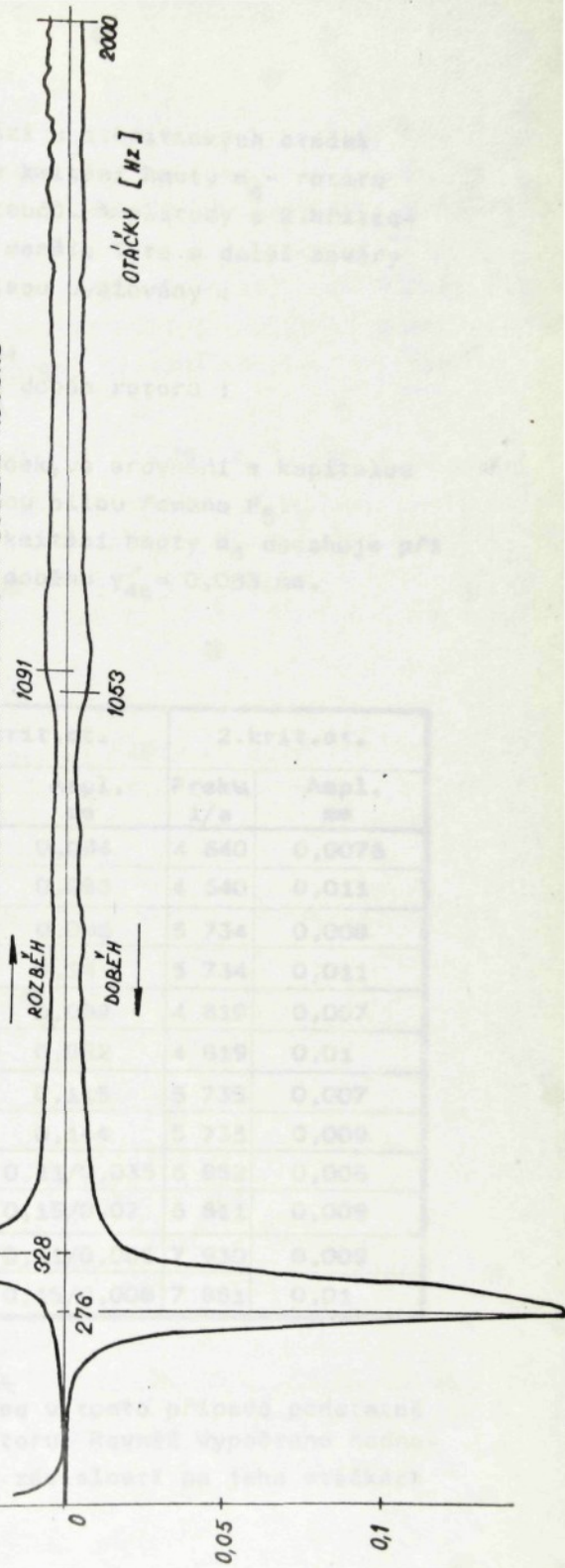
1. Varianta - lineární tvary

Z výstupu DIGIGRAFU dostáváme záznam průběhu amplitudy kmitání hmot m_4 a m_5 , viz obr. 33 a příloha č. 5.4. Z grafických a numerických výstupů počítače byly vyhodnoceny kritické frekvence a odpovídající amplitudy kmitání hmoty m_4 , viz tab. 5. Pro hodnotu m_5 dostáváme závislost dle přílohy 5.5.

VARIANTA 1a - PROBĚH KMITÁNÍ HMOTY m_4 - LINEÁRNÍ TVAR
MODELOVÁNÍ ROZBĚHU A DOBĚHU ROTORU



VARIANTA 2a - PROBĚH KMITÁNÍ HMOTY m_4 - NELINEÁRNÍ TVAR
MODELOVÁNÍ ROZBĚHU A DOBĚHU ROTORU



Zde v některých případech dochází u 1.kritických otáček k podstatnému vzrůstu amplitudy kmitání hmoty m_4 - rotoru a jeho odskokům od opěrných kotoučů. Amplitudy u 2.kritických otáček jsou již podstatně menší. Tyto a další závěry je možné získat z tab.č.5, kde jsou uvažovány :

a) Nižší hodnoty tuhostí c_2, c_{54}

Kritické otáčky pro rozbeh a doběh rotoru :

$$\omega_{la} = 1506 \text{ 1/s, tj. } 240 \text{ Hz.}$$

Vyšší hodnota kritických otáček, ve srovnání s kapitolou 5.2.2, je dána větší přitlačnou silou řemene F_5 .

Maximální hodnota amplitudy kmitání hmoty m_4 dosahuje při rozbehu $y_{4a} = 0,084 \text{ mm}$ a při doběhu $y'_{4a} = 0,083 \text{ mm}$.

K odskokům rotoru nedochází.

Tabulka č.5

Lin. Melin	Rozb. Dob.	Přitl.- sila F_5 N	Tuhost c_2, c_{54} N/m	1.krit.ot.		2.krit.ot.	
				Freku 1/s	Ampl. mm	Freku 1/s	Ampl. mm
L	R	15	200000	1 506	0,084	4 640	0,0076
	D		200000	1 506	0,083	4 640	0,011
L	R	15	400000	2 033	0,096	5 734	0,008
	D		300000	1 732	0,14	5 734	0,011
L	R	18	200000	1 506	0,082	4 819	0,007
	D		200000	1 506	0,082	4 819	0,01
L	R	18	400000	2 048	0,115	5 735	0,007
	D		300000	1 833	0,144	5 735	0,009
N	R	15	—	2 058	0,11/0,035	6 852	0,006
	D		—	1 732	0,15/0,07	6 611	0,009
N	R	18	—	2 158	0,11/0,006	7 930	0,009
	D		—	1 880	0,15/0,008	7 851	0,01

b) Vyšší hodnoty tuhostí c_2, c_{54}

Hodnoty 1.kritických otáček se v tomto případě podstatně liší při rozbehu a doběhu rotoru. Rovněž vypočtené hodnoty amplitud kmitání rotoru v závislosti na jeho otáčkách

s uvažováním lineárního tvaru diferenciálních rovnic se přibližují výpočtům provedeným v nelineárním tvaru, viz tab.č.5. U těchto hodnot tuhostí dochází k odskokům rotoru, které dosahují max.hodnot při rozběhu 0,009 mm a doběhu 0,036 mm. Vyšší hodnoty tuhostí zvyšují amplitudy kmitání rotoru u 1.kritických otáček, u 2.kritických otáček se neprojeví. Vyšší hodnoty přitlačné sily F_5 snižují amplitudy kmitání rotoru jen velmi málo.

2. Varianta - nelineární tvary

Z výstupu DIGIGRAFU dostáváme záznam průběhu amplitudy kmitání hmot m_4 a m_5 , viz obr.33 a příloha č.5.4. Stejně jako v předchozim případě byly vyhodnoceny amplitudy a kritické frekvence kmitání hmoty m_4 , viz obr.34 a tab.č.5, hmoty m_5 př.č.5.5.

Kritické otáčky - pro rozběh rotoru :

$$\omega_2 = 2058 \text{ l/s, tj. } 327 \text{ Hz}$$

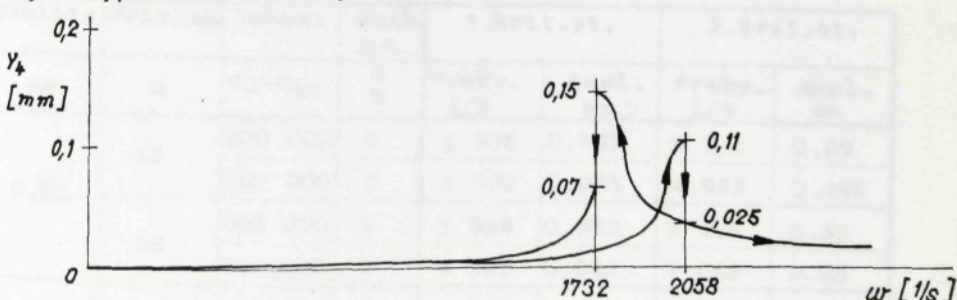
Maximální hodnota amplitudy kmitání hmoty m_4 dosahuje hodnoty $y_4 = 0,11 \text{ mm}$ a skokem přechází na $y_4 = 0,035 \text{ mm}$.

Kritické otáčky pro doběh rotoru :

$$\omega_2' = 1732 \text{ l/s, tj. } 276 \text{ Hz}$$

Maximální hodnota amplitudy kmitání hmoty m_4 dosahuje hodnoty $y_4' = 0,15 \text{ mm}$ a skokem přechází na $y_4'' = 0,07 \text{ mm}$.

Tyto vypočtené hodnoty ukazuje obr.34.



Obr.34

Proti teoretickým předpokladům na obr.31 má vypočtený průběh amplitudy kmitání rotoru jednoosého modelu nižší první kritické otáčky při doběhu a větší amplitudy kmitání než při

rozběhu,viz obr.34. Podíl na těchto odchylkách bude mít zřejmě i vliv spojení hmoty m_4 s hmotou m_5 . Skokové změny amplitudy kmitání rotoru při rozběhu a doběhu jsou dobře zřetelné i z grafických záznamů DIGIGRAFU na obr.33.

Také v případech nelineárních tuhostí dochází k odskokům rotoru od opěrných kotoučů a jejich max.hodnoty čini při rozběhu 0,009 mm a doběhu rotoru 0,03 mm.

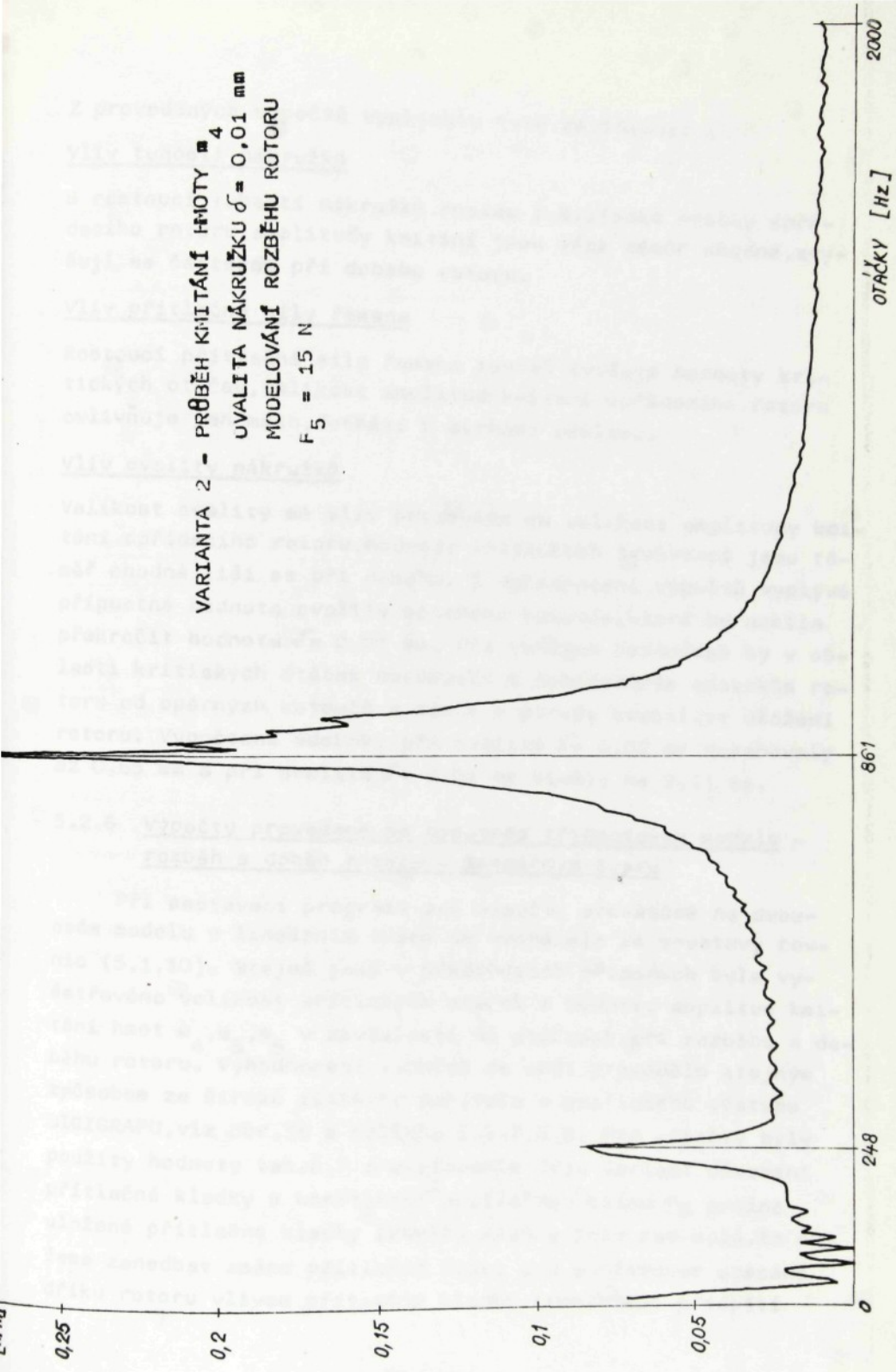
5.2.5 Výpočty provedené na dvouhmotovém modelu - ovalita nákružků opěrných kotoučů

Při ověřování vlivu ovality nákružků na kmitání spřádacího rotoru byla použita stejná metoda rozběhu a doběhu jako v kap.5.2.4,při sestavování programu výpočtu se však vycházel ze soustavy rovnic (5,1,11) v lineárním tvaru. Rovněž vyhodnocování výpočtů bylo obdobné,z výstupu široké tiskárny a z grafického výstupu DIGIGRAFU jsme dostali záznamy průběhu amplitud kmitání hmot m_4 a m_5 v závislosti na frekvenci (otáčkách rotoru),viz obr.35 a příloha č.5.6. Dále byly zkoumány vlivy různé tuhosti nákružků,různé velikosti přitlačné síly řemene a velikosti ovality nákružků,s hodnotami pro výpočty dle tab.č.3 a výsledky dle tab.č.6 pro rozběh a doběh rotoru. Max.hodnota ovality byla ve fázi s vektorem nevývažku.

Tabulka č.6

Ovalita mm	Přitlač N	Tuhost c_2, c_{54}	Rozb. Dob.	1.krit.ot.		2.krit.ot.	
				Frekv. 1/s	Ampl. mm	Frekv. 1/s	Ampl. mm
0,01	15	200 000	R	1 506	0,097	5 321	0,29
		200 000	D	1 380	0,083	4 933	0,299
	18	200 000	R	1 558	0,082	5 406	0,32
		200 000	D	1 365	0,082	4 066	0,55
0,02	15	200 000	R	1 536	0,1	5 070	0,426
		200 000	D	1 305	0,11	3 325	0,807
		400 000	R	2 100	0,102	6 570	0,312
		300 000	D	1 807	0,148	3 313	0,937
	18	200 000	R	1 958	0,088	5 180	0,46
		200 000	D	1 360	0,088	3 478	0,844

VARIANTA 2 - PRØBÈH KMITÁNÍ Hmoty m_4
 UVALITA NÁKRUŽKU $\delta = 0,01$ mm
 MODELOVÁNÍ ROZBÈHU ROTORU
 $F_5 = 15$ N



Z provedených výpočtů vyplynuly tyto závislosti :

Vliv tuhosti nákružků

S rostoucí tuhostí nákružků rostou i kritické otáčky spřádacího rotoru, amplitudy kmitání jsou však téměř shodné, zvyšují se částečně při doběhu rotoru.

Vliv přitlačné sily řemene

Rostoucí přitlačná síla řemene rovněž zvyšuje hodnoty kritických otáček, velikost amplitud kmitání spřádacího rotoru ovlivňuje jen málo, dochází k mírnému poklesu.

Vliv ovality nákružků

Velikost ovality má vliv především na velikost amplitudy kmitání spřádacího rotoru, hodnoty kritických frekvencí jsou téměř shodné, liší se při doběhu. Z vyhodnocení výpočtů vyplývá přípustná hodnota ovality opěrného kotouče, která by neměla překročit hodnotu $\delta = 0,01$ mm. Při vyšších hodnotách by v oblasti kritických otáček docházelo k nebezpečným odskokům rotoru od opěrných kotoučů a tím i k poruše stability uložení rotoru. Vypočtené odskoky při ovalitě $\delta = 0,02$ mm dosahovaly až 0,65 mm a při ovalitě $\delta = 0,01$ mm klesly na 0,21 mm.

5.2.6 Výpočty provedené na dvouosém tříhmotovém modelu - rozběh a doběh rotoru v lineárním tvaru

Při sestavení programu pro výpočty prováděné na dvouosém modelu v lineárním tvaru se vycházelo ze soustavy rovnic (5.1,10). Stejně jako v předchozích případech byla vyšetřována velikost kritických otáček a hodnoty amplitud kmitání hmot m_4, m_5, m_6 v závislosti na otáčkách při rozběhu a doběhu rotoru. Vyhodnocení výpočtů se opět provádělo stejným způsobem ze široké tiskárny počítače a grafického výstupu DIGIGRAFU, viz obr.36 a příloha č.5.7,5.8. Pro výpočty byly použity hodnoty tab.č.7 s uvažováním dvou variant působení přitlačné kladky s konstantní přitlačnou silou F_6 pružně uložené přitlačné kladky (zdvihy kladky jsou tak malé, že můžeme zanedbat změnu přitlačné sily) a s uvažováním opásání dříku rotoru vlivem přitlačné kladky (rozložení předpětí

v řemenu na síly F_5 a F_6 bylo provedeno graficky). Aby byl zjištěn vliv přitlačné kladky v mezní situaci, bylo dále uvažováno $c_6 = 0$, $k_6 = 0$, viz varianta 2,3 tabulky č.7. Pevnou přitlačnou kladku uvažuje varianta 4 v tabulce č.7.

Tabulka č.7

V a r.	c_2	k_2	c_{54}	k_{54}	c_5	k_5	c_{64}	k_{64}	c_6	k_6
	$\cdot 10^3$ N/m	$\cdot 10^3$ kg/s	$\cdot 10^3$ N/m	kg/s	N/m	kg/s	$\cdot 10^3$ N/m	kg/s	N/m	kg/s
1	100	3,45	200	15	1250	0,34	200	15	1250	0,34
2	162,5	3,2	200	2,35	1250	1,5	200	2,35	0	0
3	350	3,2	300	2,35	1250	1,5	300	2,35	0	0
4	162,5	3,2	200	2,35	1250	1,5	1250	1,5	0	0

V a r.	m_4	m_5	m_6	F_5	F_6	m_n	w	α	β
	kg	kg	kg	N	N	kg	1/s		
1	0,09	0,01	0,4	15	15	$10 \cdot 10^{-6}$	12 566	$27^\circ 30'$	36°
2	0,09	0,01	0,4	15	5	$10 \cdot 10^{-6}$	12 566	$27^\circ 30'$	36°
3	0,09	0,01	0,4	15	5	$10 \cdot 10^{-6}$	12 566	$27^\circ 30'$	36°
4	0,09	0,01	0,4	15	5	$10 \cdot 10^{-6}$	12 566	$27^\circ 30'$	36°

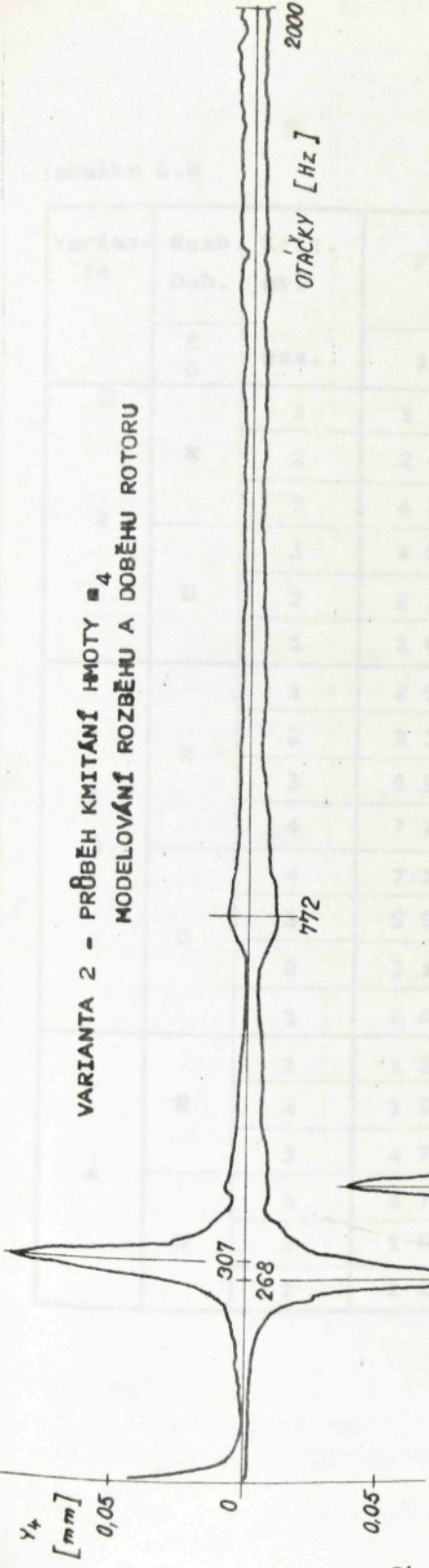
Varianta 1

V tomto orientačním výpočtu bylo ověřeno chování spřadacího rotoru (s mezními tuhostmi, tlumením a přitlačnou silou F_6) pouze během přechodových stavů, výsledky výpočtů jsou uvedeny v příloze č.5.7. Při srovnání přechodových stavů u variant 1,2,3 mají varianty 2 a 3 podstatně kratší přechodové stavy s malými amplitudami kmitání rotoru, tzn., že stabilita rotoru je vyhovující.

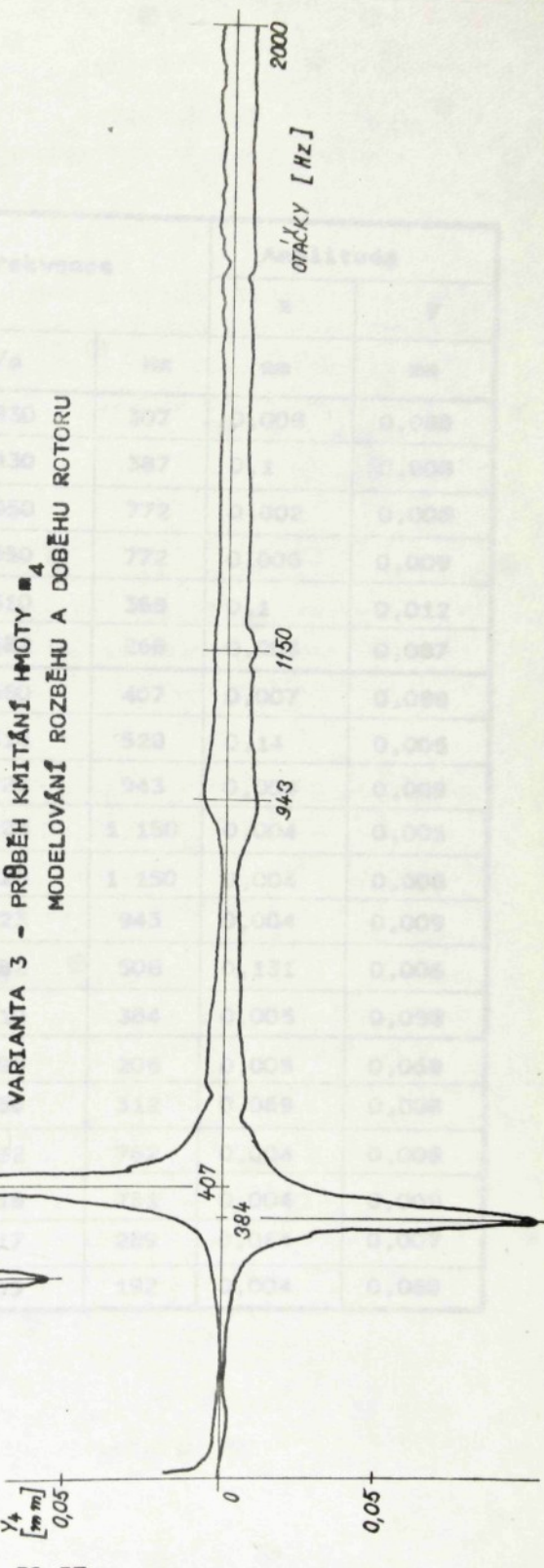
Varianta 2

V tomto případě byly zkoumány rozběhy a doběhy rotoru, výsledky podává obr.36 a tabulka č.8. První kritické otáčky jsou položeny výše než u jednoosého modelu až kritické frek-

VARIANTA 2 - PRŮBĚH KMITÁNÍ HMOTY $\#_4$
MODELOVÁNÍ ROZBĚHU A DOBĚHU ROTORU



VARIANTA 3 - PRŮBĚH KMITÁNÍ HMOTY $\#_4$
MODELOVÁNÍ ROZBĚHU A DOBĚHU ROTORU



Tabulka č.8

Varian- ta	Rozb. Dob.	Krit. st.	Frekvence		Amplituda		
			R D	max.	1/s	Hz	x
2	R	1	1 930		307	0,008	0,088
		2	2 430		387	0,1	0,008
		3	4 850		772	0,002	0,008
	D	3	4 850		772	0,006	0,009
		2	2 310		368	0,1	0,012
		1	1 682		268	0,006	0,087
3	R	1	2 560		407	0,007	0,098
		2	3 314		528	0,14	0,005
		3	5 923		943	0,004	0,009
		4	7 228		1 150	0,004	0,005
	D	4	7 228		1 150	0,004	0,008
		3	5 923		943	0,004	0,009
		2	3 182		506	0,131	0,006
		1	2 410		384	0,005	0,098
4	R	1	1 295		206	0,005	0,068
		2	1 958		312	0,069	0,008
		3	4 782		762	0,004	0,008
	D	3	4 718		751	0,004	0,009
		2	1 817		289	0,064	0,007
		1	1 205		192	0,004	0,068

vence nejsou výrazné u hmoty m_4 , objevují se u hmoty m_5 . Maximální odskoky rotoru od opěrných kotoučů dosahují 0,03 mm.

Varianta 3

S uvažováním vyšších tuhostí stoupá hodnota kritických otáček, amplituda kmitání hmoty m_4 je téměř shodná. Druhé kritické otáčky jsou již zřetelnější, viz obr. 37, tabulka č. 8 a příloha č. 5.8. Max. odskoky rotoru od opěrných kotoučů činí 0,062 mm.

Varianta 4

Tato varianta se nejvíce přibližuje skutečnosti i provedeným měřením, v tomto případě je uvažována pevná přitlačná kladka, zvětšující opásání rotoru. Vypočtené frekvence i amplitudy poměrně přesně souhlasí se změřenými, viz tab. č. 8. Maximální hodnoty odskoků rotoru od opěrných kotoučů jsou 0,035 mm, viz příloha č. 5.8.

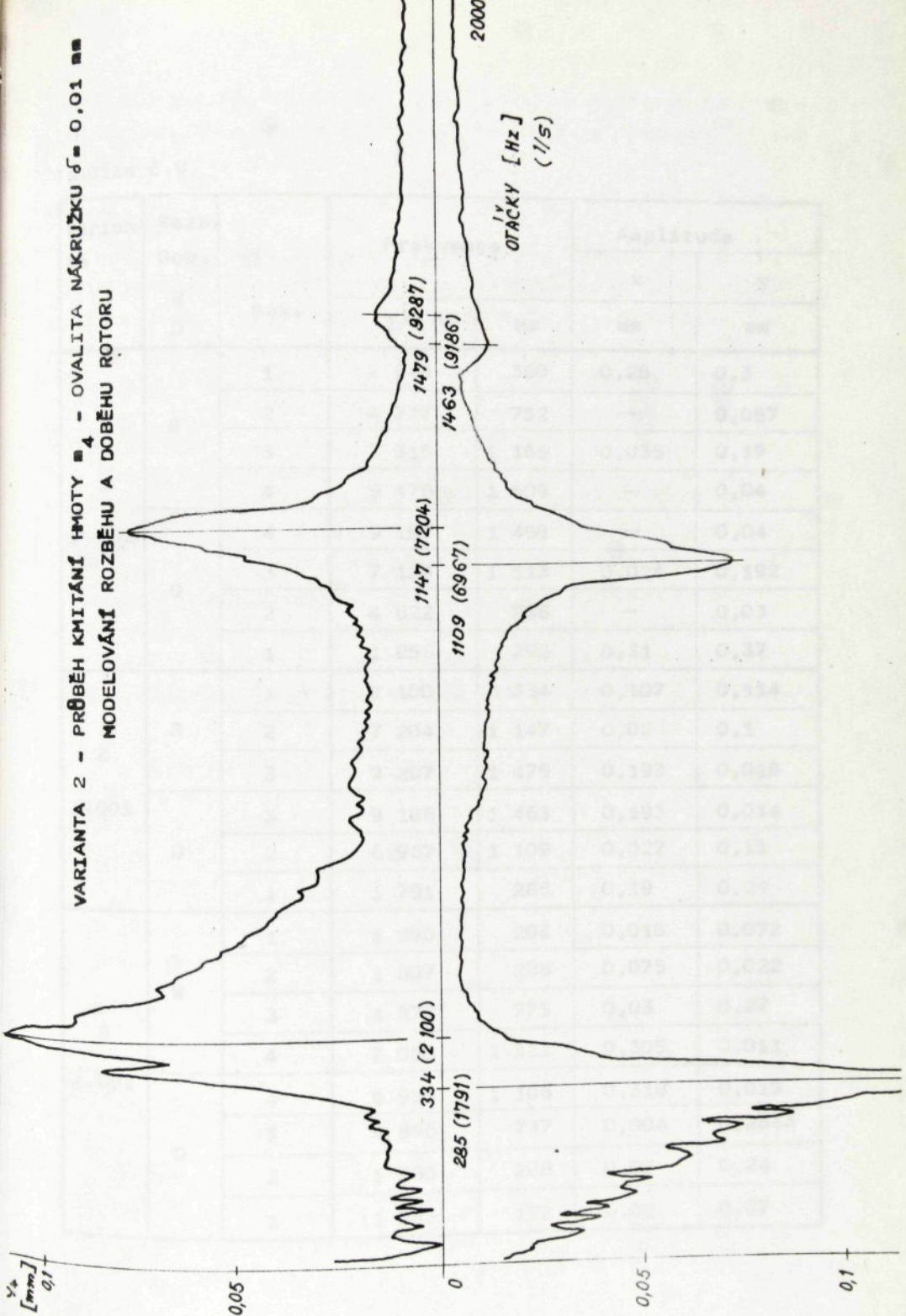
5.2.7 Výpočty provedené na dvouosém tříhmotovém modelu - s uvažováním ovality nákružků opěrných kotoučů

Chování dvouosého modelu s uvažováním ovality nákružků bylo ověřeno při rozběhu a doběhu spřádacího rotoru v lineárním tvaru obdobným způsobem jako v kap. 5.2.6. Při sestavení programu pro samočinný počítač se vycházelo ze soustavy rovnic (5.1, 12). Z vypočtených hodnot byla vyšetřena velikost kritických otáček a hodnota amplitud kmitání hmot m_4 , m_5 , m_6 v závislosti na otáčkách rotoru. Vyhodnocení výpočtů se provádělo ze široké tiskárny počítače a grafického výstupu DIGIGRAFU, viz obr. 38 a příloha č. 5.9. Pro výpočty byly použity hodnoty tab. č. 7 s uvažováním dvou variant působení přitlačné kladky jako v předchozím případě, s pružnou a pevnou přitlačnou kladkou, s ovalitou nákružků $\delta = 0,02$ a $\delta = 0,01 \text{ mm}$. Výsledky výpočtů jsou uvedeny v tabulce č. 9.

Varianta 1

Pro uvedené výpočty byly použity hodnoty z tabulky č. 7, varianta 2. I zde se ve výsledcích projevila nevýhoda

VARIANTA 2 - PRŮBĚH KMITÁNÍ HMOTY m_4 - OVALITA NÁKRUŽKU $\delta = 0,01 \text{ mm}$
MODELOVÁNÍ ROZBĚHU A DOBĚHU ROTORU



Obr. 38

Tabulka č. 9

Varian- ta	Rozb. Dob.	R D	max.	Frekvence		Amplituda	
				1/s	Hz	x	y
						mm	mm
$\delta = 0,02$	R	1	2 244	360	0,28	0,3	
		2	4 727	752	—	0,057	
		3	7 315	1 165	0,035	0,19	
		4	9 476	1 509	—	0,04	
	D	4	9 157	1 458	—	0,04	
		3	7 128	1 113	0,024	0,192	
		2	4 622	736	—	0,03	
		1	1 856	295	0,31	0,37	
$\delta = 0,01$	R	1	2 100	334	0,107	0,114	
		2	7 204	1 147	0,02	0,1	
		3	9 287	1 479	0,193	0,018	
	D	3	9 186	1 463	0,193	0,014	
		2	6 957	1 109	0,027	0,11	
		1	1 791	285	0,19	0,24	
$\delta = 0,01$	R	1	1 280	204	0,018	0,072	
		2	1 807	288	0,075	0,022	
		3	4 870	775	0,03	0,27	
		4	7 050	1 122	0,305	0,011	
	D	4	6 950	1 106	0,318	0,015	
		3	4 696	747	0,004	0,2644	
		2	1 660	288	0,07	0,24	
		1	1 083	172	0,01	0,07	

pružně uložené opěrné kladky, která vede ke zvýšeným hodnotám amplitud kmitání, stejně jako ovalita 0,02 mm. Odskoky rotoru od nákružků dosahovaly 0,15 mm.

Varianta 2

Rovněž v tomto případě byly použity hodnoty z tabulky č.7, varianta 2. Zmenšení ovality nákružků se projevilo především menšími amplitudami kmitání hmoty m_4 , jednotlivé frekvence se snížily jen málo. Odskoky rotoru od nákružků dosahovaly 0,085 mm.

Varianta 3

Hodnoty pro výpočty vycházely z tabulky č.7, varianty 4. Vypočtené kritické frekvence se přiblížily naměřeným hodnotám na odvalovém uložení, rovněž maximální amplituda 1.kritických otáček odpovídá naměřené, u 2.kritických otáček se liší maximální amplituda vypočtená pro osu x, odskoky rotoru od nákružků dosahovaly v tomto případě 0,16 mm. Omezení tohoto kmitání může být dosaženo změnou opásání rotoru (změnou polohy přitlačné kladky se zvětší přitlačná síla F_6).

Umožnění možnosti řešení

Obrubnými způsobem byly získány i hodnoty tuhosti jednotlivých typů řezaného kruhu používaný na našich strojích. Byly zkoumány řezany řízky dosahující ~ 100, Rabestec ~ 150 až 200 a Ritter ~ 180 až 200 mm. Některé se tuhostí řezané v podstatě liší vzhledem řezu (tj. ve směru jeho tloušťky), viz příloha.

Získaných grafů, viz příloha 5.10.3.11, byly nejprve hodnoty konstantních tuhostí C_{11}, C_{22} . Pro druhou dílnu byly uvedeny tuhosti C_{33}, C_{44} . Sledovány byly i závislosti křivkové tuhosti byly prokázány, že všechny výzkumy vedouce k využití kvadratického regresního modelu významně poskytly výhodu.

Na základě výzkumu byly soubory využity pro výpočet výkonu řízky v kruhu typu 200x3, analyzovatelné signály byly využity k výpočtu tuhosti, kde je jeho výsledek byl sledován

5.3 Experimentální část - měření provedená na odvalovém uložení

Měření provedená v této práci můžeme rozdělit na měření, která byla uskutečněna pro získání podkladů pro matematický model odvalového uložení a výpočty s tím spojené a na měření, která byla provedena na vlastním odvalovém uložení.

V první části této kapitoly jsou vyhodnocena měření tuhostí a tlumení jednotlivých členů mechanismu odvalového uložení spřádacího rotoru, která jsou potřebná pro sestavení matematického modelu.

Měření tuhostí opěrných kotoučů

Tato měření byla provedena za klidu "zatlačením" dříku spřádacího rotoru jak do jednotlivých kotoučů, tak do klinu tvořeného opěrnými kotouči. Takto byly prověřeny dostupné materiály kotoučů, použité na odvalovém uložení firmy Süssen, Elitex i na odvalovém uložení vyrobeném v SSSR. Hodnoty získané z provedených měření jsou uvedeny v grafech přílohy této práce (příloha č.5.10).

Měření tuhostí hnacího řemene

Obdobným způsobem byly získány i hodnoty tuhostí jednotlivých typů řemenů, které jsou používány na našich strojích. Byly zkoumány řemeny firem Siegling - NSR, Habasit - Švýcarsko a Nitta - Japonsko. Měřila se tuhost řemenů v podélném i příčném směru (tj. ve směru jeho tloušťky), viz příloha č.5.11.

Ze získaných grafů, viz příloha 5.10,5.11, byly nejprve určeny hodnoty konstantních tuhostí c_2, c_{54} . Pro druhou část výpočtu matematického modelu byly zavedeny nelineární tuhosti c_2, c_{54} tak, že získanými křivkami tuhosti byly proloženy kvadratické paraboly metodou kvadratické regrese.

Měření tlumení opěrných kotoučů

Pro měření tlumení opěrných kotoučů bylo použito aparatury firmy Brüel a Kjaer typu 2033, analyzátoru signálu s vysokou rozlišovací schopností. Na jeho obrazovce bylo sledo-

váno tlumení volného kmitání pružného nákružku opěrného kotouče. Zobrazený kmitavý pohyb snímače byl zapsán na spřeženém zapisovači též firmy, typu 2308. Grafy z provedených měření jsou uvedeny v příloze č.5.12.

Měření tlumení hnacího řemene

Toto měření bylo provedeno obdobným způsobem jako měření tlumení opěrných kotoučů. I zde byl připevněn snímač na řemen a měřeno tlumení délky řemene odpovídající rozteči spřádacích rotorů. Rovněž bylo sledováno tlumení řemene v příčném směru, tj. ve směru jeho tloušťky. Naměřené veličiny jsou obsaženy v příloze č.5.13.

Z výše uvedených grafů, viz příloha 5.12, 5.13, byly získány součinitele tlumení s pomocí logaritmického dekrementu d , lit. [34], u kterého je logaritmus poměru dvou po sobě jdoucích amplitud y_n a y_{n+tp} konstantní (pro exponenciální pokles amplitudy volného kmitání).

$$d = \lg \frac{y_n}{y_{n+tp}} \quad (5.3.1)$$

Dále platí

$$\lg \frac{y_n}{y_{n+tp}} = N \cdot tp \quad k = 2Nm \quad (5.3.2)$$

Vyloučením k ze vztahů (5.3.2) dostáváme

$$k = \frac{2m}{tp} \cdot \lg \frac{y_n}{y_{n+tp}} \quad (5.3.3)$$

kde k je součinitel tlumení pro jednotlivé případy nákružků a řemenů, vyrobených z různých druhů materiálů, tp udává periodu po sobě jdoucích amplitud, m je velikost hmoty a N koeficient tlumení.

Ve druhé části této kapitoly jsou popsána dynamická měření provedená na odvalovém uložení, jsou to měření amplitudy a frekvencí kmitání dříku spřádacího rotoru v závislosti na otáčkách rotoru a měničím se nevývažku ve spřádací komoře, tedy při parametrech, které mění velikost budící sily. Na hodnotu amplitud kmitů budou mít dále vliv i různé typy

použitých hnacích řemenů, velikost jejich předpěti, různé druhy obložení opěrných kotoučů a ovělita těchto kotoučů.

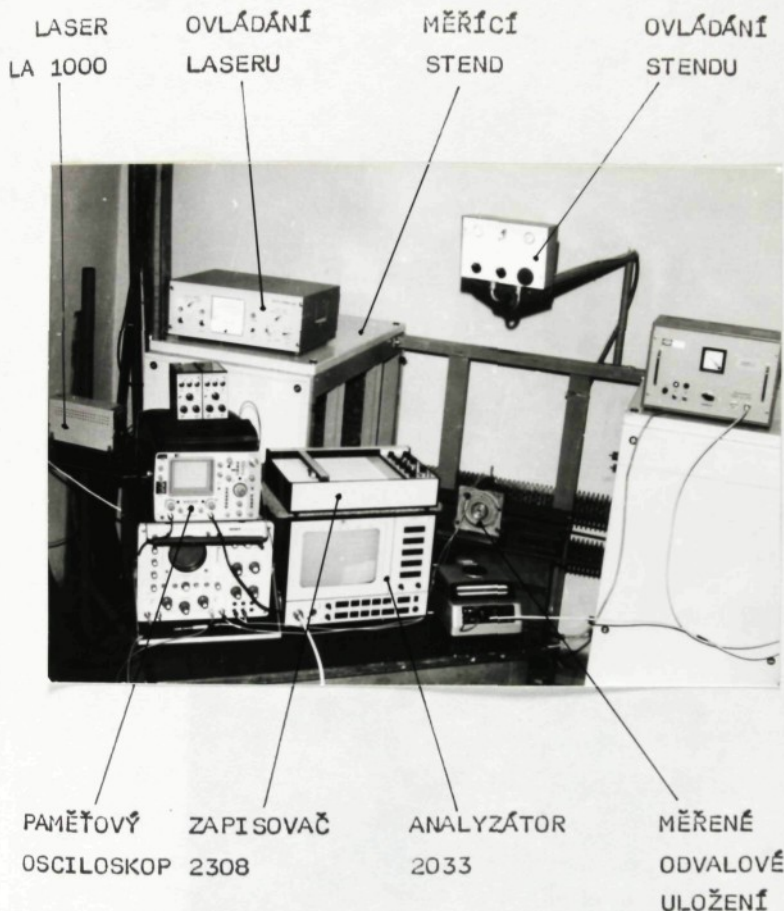
Popis zkušebních stendů

První měření odvalového uložení byla předběžně provedena na zkušebních stendech určených pro zkoumání předení při otáčkách do $100\ 000\ \text{min}^{-1}$. Tyto stendy byly provedeny jako jednosekrové stroje s upravenými pohony, a sice s plynule regulovatelnými otáčkami spřádacích rotorů, podávacích a odtaiových hřídelů, vše pomocí variátorů. Měření frekvencí a amplitud vibrací spřádacích rotorů odvalového uložení byla provedena pomocí kapacitních snímačů. Po dosažení určitých otáček (cca $65\ 000 - 70\ 000\ \text{min}^{-1}$) bylo měření pomocí těchto snímačů nespolehlivé a docházelo k "rozmazávání" zápisů, patrně změnou kapacity vlivem vzduchového klinu, který byl těmito vysokými otáčkami vytvořen mezi destičkou kapacitního snímače a dříkem spřádacího rotoru. Také možnost instalace snímačů nebyla dobrá.

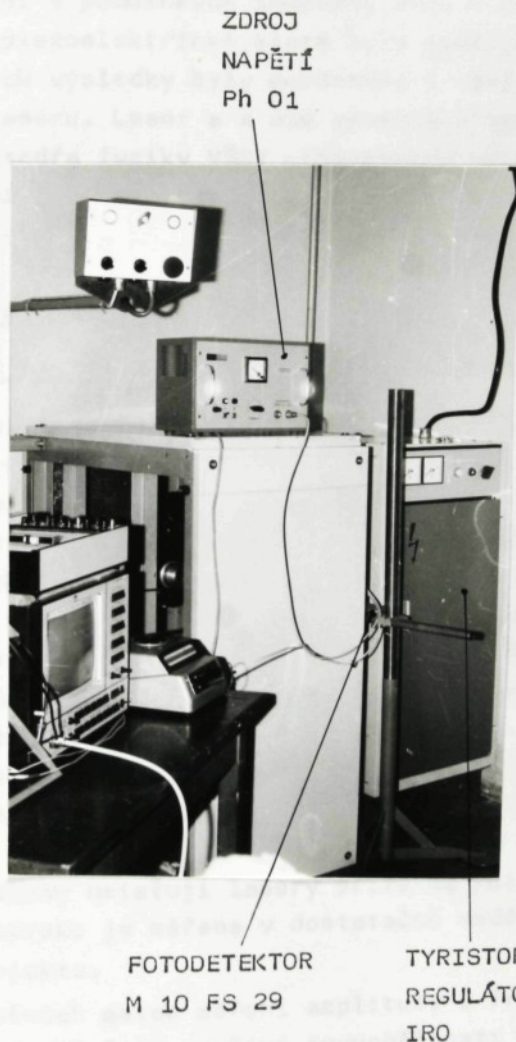
Z těchto důvodů se přistoupilo k novým měřením. Jako hlavní a kontrolní metoda měření byla zvolena optická metoda pomocí laseru. Dále se počítalo s ověřením kapacitních, indukčních a piezoelektrických snímačů a zvážením vhodnosti jejich použití pro další praktická měření, co se týče přesnosti a nákladů (laserová technika je stále ještě dosti složitá a drahá).

Pro účely měření vibraci, příkonů i hlučnosti spřádacích jednotek (ale i dalších částí našich strojů, např. ventilátorů) byl vytvořen speciální zkušební stend s označením ZS-1, viz obr. 39, 40 a příloha č. 5, s dvěma plynule regulovatelnými stejnosměrnými motory pro pohon spřádacích rotorů a vyčesávacích válečků. Na masívni litinové kostce (upínací stůl stojanové vrtačky), od základu tlumené pryžovými deskami, je připevněn držák pro usazení dvou spřádacích jednotek. Rovněž obě skříně s pohonovými a napínacími agregáty tangenciálních řemenů jsou pružně uloženy a propojeny tak, že obkročují upínací kostku. Zvolený pohon stejnosměrnými motory s tyristorovou regulací umožňuje plynulé nastavení

USPOŘÁDÁNÍ MĚŘICÍHO STENDU



USPOŘÁDÁNÍ MĚŘICÍHO STENDU



Obr.40

otáček spřádacích rotorů do $120\ 000\ \text{min}^{-1}$. Tím, že je stend osazen kryty s tlumící vrstvou izomatu a uložení jednotlivých částí stendu je provedeno užitím pryžových desek a pryžových pružin, je možné provádět také měření hluku spřádacích jednotek.

Jak již bylo řečeno, mimo laserové metody byly zvažovány další možnosti měření vibrací, ne tak náročné na vybavení, dovolující měření v podminkách zkušebny VVZ. V úvahu přicházely snímače piezoelektrické, které byly použity pro další měření a jejich výsledky byly porovnány s výsledky ziskanými pomocí laseru. Laser a s ním spojené přístroje byly zapojeny na katedře fyziky VŠST Liberec, pro vyhodnocení a zápis měření byla použita aparatura zkušebny VVZ k.p. Elitex Ústí nad Orlicí.

5.3.1 Použitá aparatura

Měření pomocí laseru

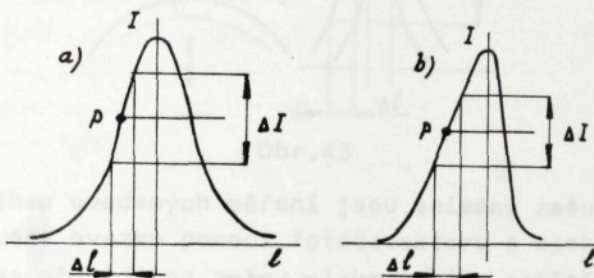
Měření vibrací pomocí laseru patří do oblasti optických metod měření, využívajících modulace laserového záření. Možnost měření vibrací pomocí laseru je omezena frekvenční omezou fotodetektorů, které pracují do $10^5\ \text{Hz}$, což je v našem případě splněno. Optická soustava dovoluje měření amplitudy do $300\ \mu\text{m}$, je však možné rozšířit působnost na $0,8\ \text{mm}$ až $1\ \text{mm}$. Přesnost této optické metody není zdaleka využita (pracuje s chybou do $2\ \mu\text{m}$), v případě našeho měření bylo cejchování provedeno s přesností $3\ \mu\text{m}$.

Metody měření kmitání pomocí laseru je možné rozdělit na dvě skupiny - na přímé a modulační, viz lit. [39, 40, 41, 42, 43].

Přímé metody umisťují lasery přímo na kmitající předmět a výchylka paprsku je měřena v dostatečné vzdálenosti od zkoumaného objektu.

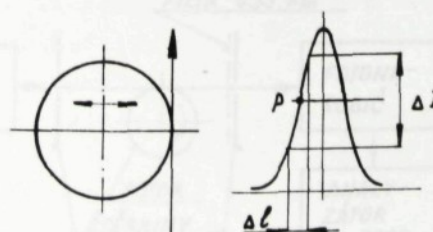
U modulačních metod měření amplitudy a frekvence kmitajících předmětů se využívá rovnoběžnosti paprsků ve svazku laserového záření a jeho směrové amplitudy. Intenzita průřezu stopy může být vyjádřena symetrickou funkcí

gaussovského typu (pro mody TEM_{00}). viz obr.41 a, a pro vyšší mody funkcií nesymetrickou, viz obr.41 b. Pracovní bod P se pro uvedené metody měření volí uprostřed lineární části intenzity, viz obr.41 a jeho posouváním v této lineární části (cloněním nebo odrazem) se dosáhne modulace laserového svazku. Protože modulace světla lze rovněž dosáhnout cloněním a odrazem paprsku na kmitajícím systému, můžeme modulační laserové metody dělit na metody tangenciální a reflexní.



Obr.41

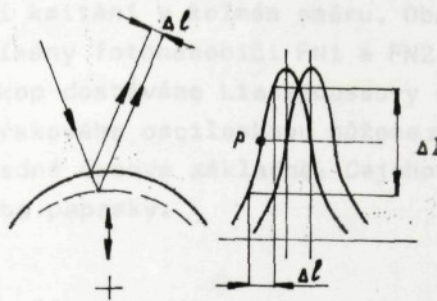
U tangenciální metody měření je paprsek laseru nastaven tak, že se v bodě P dotýká obrysu měřené součásti při nulové amplitudě jejího výkmitu. Vibraci součásti dochází k periodickému clonění paprsku a ke změně záření dopadajícího na fotodetektor, viz obr.42 a obr.44. Posuv měřené součásti vyvolává změnu v poloze na profilu laserového svazku Δl a změny intenzity ΔI .



Obr.42

U reflexní metody, dle obr.43, je paprsek laseru směrován na měřenou součást pod takovým úhlem, aby docházelo

k jeho odrazu. Při nulové amplitudě výkmitu součásti je fotodetektor ustaven tak, že snímá intenzitu paprsku v pracovním bodě P. Vibraci součásti se odražený paprsek posouvá a na štěrbinu fotodetektora dopadá záření proměnné intenzity.

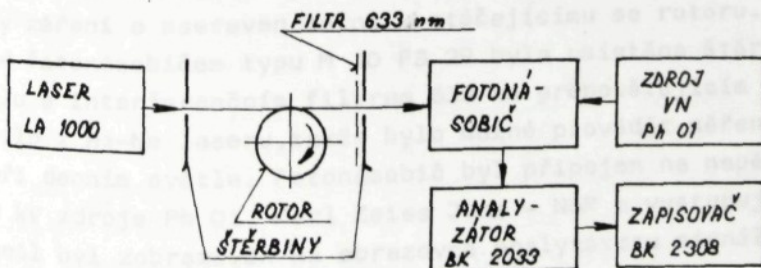


Obr.43

Během uvedených měření jsou snímány změny intenzity laserového svazku pomocí fotodetektoru a elektronickým zařízením se převádí na změny elektrického napětí či proudu. Tyto změny je možné dále zobrazit např. na obrazovce osciloskopu nebo analyzátoru a vyhodnotit.

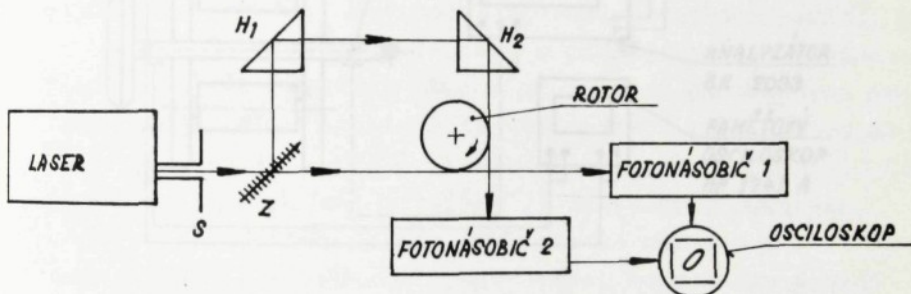
Vhodným uspořádáním laseru, měřeného objektu, fotonásoviče a odrážecích členů můžeme provádět jednosměrné nebo dvousměrné měření kmitů.

Měření jednosměrných kmitů se uskutečňuje v jednom tečném směru ke sledovanému rotoru. Blokové schema uspořádání tohoto měření ukazuje obr.44.



Obr.44

Měření dvousměrných kmitů je prováděno obdobným způsobem, pro jejich určení lze použít měření jednosměrného kmitání a rozšířit ho o další tečný směr, kolmý k původnímu. Schema zapojení a průchod svazků je zobrazen na obr.45. Polopropustným zrcadlem Z a hranoly H₁,H₂ je odkloněn paprsek pro měření kmitání v kolmém směru. Oba paprsky jsou modulovány a snímány fotonásobiči FN₁ a FN₂. Zavedením signálů na osciloskop dostáváme Lissajoussovy obrazce, nebo použitím dvoupaprskového osciloskopu můžeme zaznamenat oba kmity současně na jedné časové základně. Cejchování se provádí nezávisle pro oba paprsky.

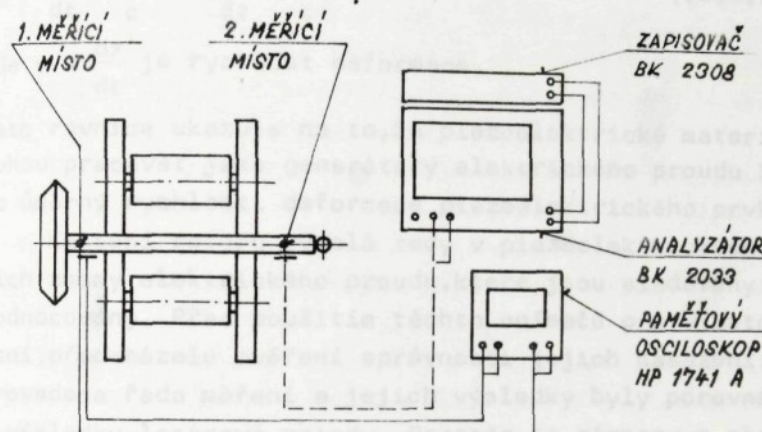


Obr.45

Měření kmitání spřádacího rotoru odvalového uložení se uskutečnilo tangenciální metodou, viz obr.44, s použitím jednofrekvenčního laseru He-Ne typu LA 1000, výrobku Metry Blansko. Štěrbinou S byl vytvořen pracovní interval intenzity záření a nastaven tečně k otáčejícímu se rotoru. Před fotonásobičem typu M 10 FS 29 byla umístěna štěrbina spolu s interferenčním filtrem 633 nm propouštějícím právě světlo z He-Ne laseru, takže bylo možné provádět měření i při denním světle. Fotonásobič byl připojen na napětí 0,8 kV zdroje Ph O1, Karl Zeiss Jena - NDR a vystupující signál byl zobrazován na obrazovce analyzátoru signálu typu 2033 firmy Brüel a Kjaer - Dánsko a zapisován zapisovačem typu 2308 též firmy, viz obr.44.

Měření pomocí piezoelektrických snímačů

Pro měření kmitání spřádacího rotoru v ose x a y, viz lit. [51], byly použity piezoelektrické snímače (přenosky Tesla Litovel, typ VK 4204 LGR), ve spojení s analyzátorem 2033 firmy Brüel a Kjaer a zapisovačem 2308 téžé firmy. Jejich uspořádání je uvedeno na obr. 46 a obr. 50.



Obr. 46

Použití piezoelektrických snímačů je založeno na vlastnostech určitých materiálů, viz lit. [37], které působením mechanické sily dívají elektrickou odezvu. Ta se projeví aktivně vznikem elektrického náboje q na polepech snímače podle Courieova zákona

$$q = k_p \cdot F \quad (5,3,4)$$

kde k_p je materiálová konstanta, závislá též na tvaru prvku, a F deformační síla působící na prvek.

Výběr z piezoelektrického materiálu může být pokládán za kondensátor s dielektrikem z piezoelektrického materiálu. Pokud předpokládáme deformaci tohoto materiálu v oblasti platnosti Hookova zákona, bude

$$F = \frac{X}{c} \quad (5,3,5)$$

kde x je velikost deformace, c je mechanická poddajnost piezoelektrického materiálu.

Dosazením (5,3,5) do (5,3,4) dostáváme

$$q = k_p \cdot \frac{x}{c} \quad (5,3,6)$$

Derivací podle času vztahu (5,3,6) bude

$$I = \frac{dq}{dt} = \frac{k_p}{c} \cdot \frac{dx}{dt} = \frac{k_p}{c} \cdot v \quad (5,3,7)$$

kde $v = \frac{dx}{dt}$ je rychlosť deformacie.

Tato rovnice ukazuje na to, že piezoelektrické materiály mohou pracovat jako generátory elektrického proudu I , který je úměrný rychlosti deformacie piezoelektrického prvku.

Kmitání rotoru vyvolá tedy v piezoelektrických snímačích změny elektrického proudu, které jsou sledovány a vyhodnocovány. Před použitím těchto snímačů pro vlastní měření, předcházelo ověření správnosti jejich nasazení. Byla provedena řada měření a jejich výsledky byly porovnány s výsledky laserové metody. Protože se záznamy z obou měření shodovaly, sledované frekvence si odpovídaly přesně a amplitudy se lišily max.o 5%, viz přílohy č.5.15, bylo možné tuto metodu použít i pro další měření. Zajištění přesnosti během celého měření zaručovala kontrola pomocí laseru.

Ostatní použité přístroje

Kromě přístrojů použitých k měření a uvedených v předchozím textu byly dále použity - fotografický přístroj zn. EXAKTA VAREX II a galvanoměr typ DG 20 pro nastavení pracovního bodu laseru. Dále budou popsány přístroje, na kterých se sledovaly a vyhodnocovaly měřené veličiny.

Osciloskop Hewlett Packard 1741 A

Pro zobrazení kmitání spřádacího rotoru v osách x a y byl použit dvoukanálový paměťový osciloskop 1741 A, zejména pro zobrazení signálů piezoelektrických snímačů. Paměťové vlastnosti obrazovky bylo využito při fotografování průběhu amplitud kmitání rotoru v osách x, y v závislosti na čase.

a různém nevývažku ve spřádaci komoře.

Analyzátor signálu typ 2033 firmy Brüel a Kjaer

Tento číslicový kmitočtový analyzátor s velkou rozlišovací schopností je založen na principu rychlé Fourierovy transformace. V reálném čase provádí úzkopásmovou kmitočtovou analýzu stacionárních, nestacionárních i krátkodobých procesů a na obrazovce jsou podle volby zobrazena buď okamžitá, integrovaná nebo rozdílová spektra, případně časové průběhy měřených procesů. Vybraný úsek pracovního rozsahu může být desateronásobně rozšířen, může být prováděna analýza vybraných intervalů zkoumaného procesu.

Analyzátem se uskutečňuje úzkopásmová analýza zvuku, tlaku, mechanického chvění atd. Analyzátor je vybaven pamětí s kapacitou 10 240 vzorků pro ukládání časového průběhu zkoumaných procesů. Pracovní kmitočtový rozsah je volitelný v rozsahu 1 - 10 Hz a 0 - 20 kHz s možností dělení těchto intervalů na jedenáct hodnot v posloupnosti 1 - 2 - 5. Kmitočtovou analýzu v reálném čase lze provádět do kmitočtu 2 kHz.

Obrazovka přístroje má úhlopříčku 280 mm a speciální elektronický ukazatel (kurzor) umožnuje zobrazení amplitudy a kmitočtu libovolného vzorku časové funkce v digitální formě v horní části obrazovky. Číslicové paměti dovolují ukládání zobrazených spekter, ukládání přivedeného spektra na vstup analyzátoru, porovnání uložených spekter s novými, jejich střídavé zobrazení, dále zobrazení rozdílů mezi uloženými a okamžitými, či integrovanými spektry. Analogový výstup umožnuje grafický záznam kmitočtových spekter a časových průběhů zkoumaných procesů na souřadnicovém zapisovači x,y typu 2308 firmy Brüel a Kjaer.

Souřadnicový zapisovač typ 2308 firmy Brüel a Kjaer

Zapisovač je určen pro laboratorní podmínky, má cejchované děliče a potenciometry pro nastavení citlivosti kanálů x,y a prvky pro plynulé nastavení polohy vozíku i pisátka. Maximální rychlosť posuvu vozíku i pisátka je $1\text{m}\cdot\text{s}^{-1}$, maximální zrychlení $100 \text{ m}\cdot\text{s}^{-2}$.

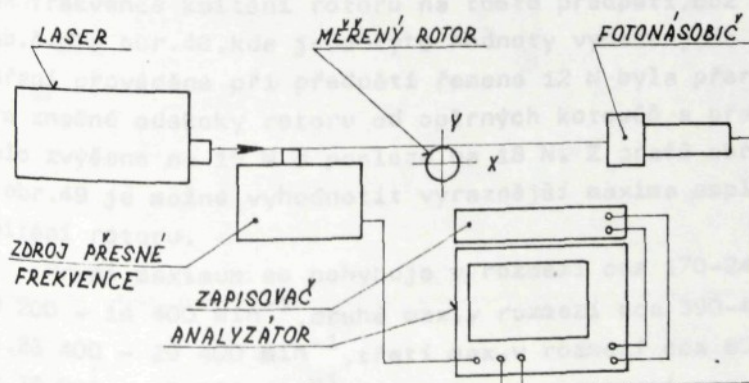
5.3.2 Výsledky měření

Jak již bylo řečeno, byla využita laserová modulační technika na bezdotykové měření amplitudy a frekvencí kmitání spřádacího rotoru odvalového uložení, pro měření jednostranných kmitů ve směru osy y. Pro měření kmitání rotoru v osách x a y byly použity piezoelektrické snímače. V první fázi měření bylo provedeno cejchování přístrojů a porovnání obou metod měření.

Cejchování přístrojů

Po seřízení paprsku laseru v tečném směru k dříku spřádacího rotoru, viz obr.47 a vyhledání pracovního bodu v monotónní části profilu laserového svazku pomocí galvanoměru DG 20, bylo provedeno cejchování.

Nejprve bylo zkontrolováno seřízení analyzátoru 2033 pomocí zdroje přesné frekvence 100 Hz, pak byl vyjmut spřádací rotor z odvalového uložení a do laserového svazku byl ustaven vibrátor zdroje přesné frekvence, viz obr.47. Na obrazovce analyzátoru byla zobrazena amplituda i frekvence kmitání vibrátoru snímaná laserem. Z hodnot odečtených na digitálním výstupu analyzátoru je možné stanovit měřítko zobrazeného průběhu amplitudy, frekvence je odečítána přímo. Zobrazený průběh byl zapsán na připojeném zapisovači a je obsažen v příloze této práce č.5.14.



Obr.47

Obdobným způsobem byl zapsán i průběh amplitudy a frekvence, měřený piezoelektrickými snímači. Porovnáním ocejchované stupnice analyzátoru s naměřenými hodnotami pomocí laseru a piezoelektrickými snímači, dostáváme potřebná měřítka.

Stanovení amplitud kmitání spřádacího rotoru v závislosti na jeho otáčkách - stanovení kritických otáček

Z provedených měření pomocí laseru, viz obr.48, je možné získat hodnoty amplitud kmitání rotoru při různých otáčkách, díky analyzátoru 2033 i spektra harmonických frekvencí vertikálního kmitání rotoru. Jestliže seřadíme záznamy z měření dle přílohy č.5.16 do grafu, dostáváme názorný diagram rozložení otáčkové frekvence, harmonických frekvencí i vlastní frekvence kmitání opěrných kotoučů a tělesa uložení, viz obr.49.

Z provedeného měření amplitud kmitání rotoru je možné stanovit i hodnoty kritických otáček. Během měření byly postupně zvyšovány otáčky spřádacího rotoru, na obrazovce analyzátoru byla kurzorem sledována čára otáčkové frekvence a na digitálním výstupu analyzátoru jsme odečítali přesné hodnoty amplitud a frekvencí. Hodnota nevývažku spřádacího rotoru činila 2 gmm.

Další měření amplitudy kmitání rotoru prováděná při různých předpětí řemene ukázala závislost jak amplitudy, tak frekvence kmitání rotoru na tomto předpětí, což ukazuje tab.č.10 a obr.48, kde jsou tyto hodnoty vyneseny do grafu. Měření prováděná při předpětí řemene 12 N byla přerušena pro značné odskoky rotoru od opěrných kotoučů a předpětí bylo zvýšeno na 15 N a posléze na 18 N. Z grafů obr.48 a obr.49 je možné vyhodnotit výraznější maxima amplitud kmitání rotoru.

První maximum se pohybuje v rozmezí cca 170-240 Hz, tj. $10\ 200 - 14\ 400\ \text{min}^{-1}$, druhé max. v rozmezí cca 390-490 Hz, tj. $23\ 400 - 29\ 400\ \text{min}^{-1}$, třetí max. v rozmezí cca 650-750 Hz, tj. $39\ 000 - 45\ 000\ \text{min}^{-1}$ a čtvrté max. v rozmezí cca $1\ 030 - 1\ 070\ \text{Hz}$, tj. $61\ 800 - 64\ 200\ \text{min}^{-1}$. Poslední dvě maxima nejsou již tak výrazná co se týče amplitud, jsou však

zřetelná z obr.49.

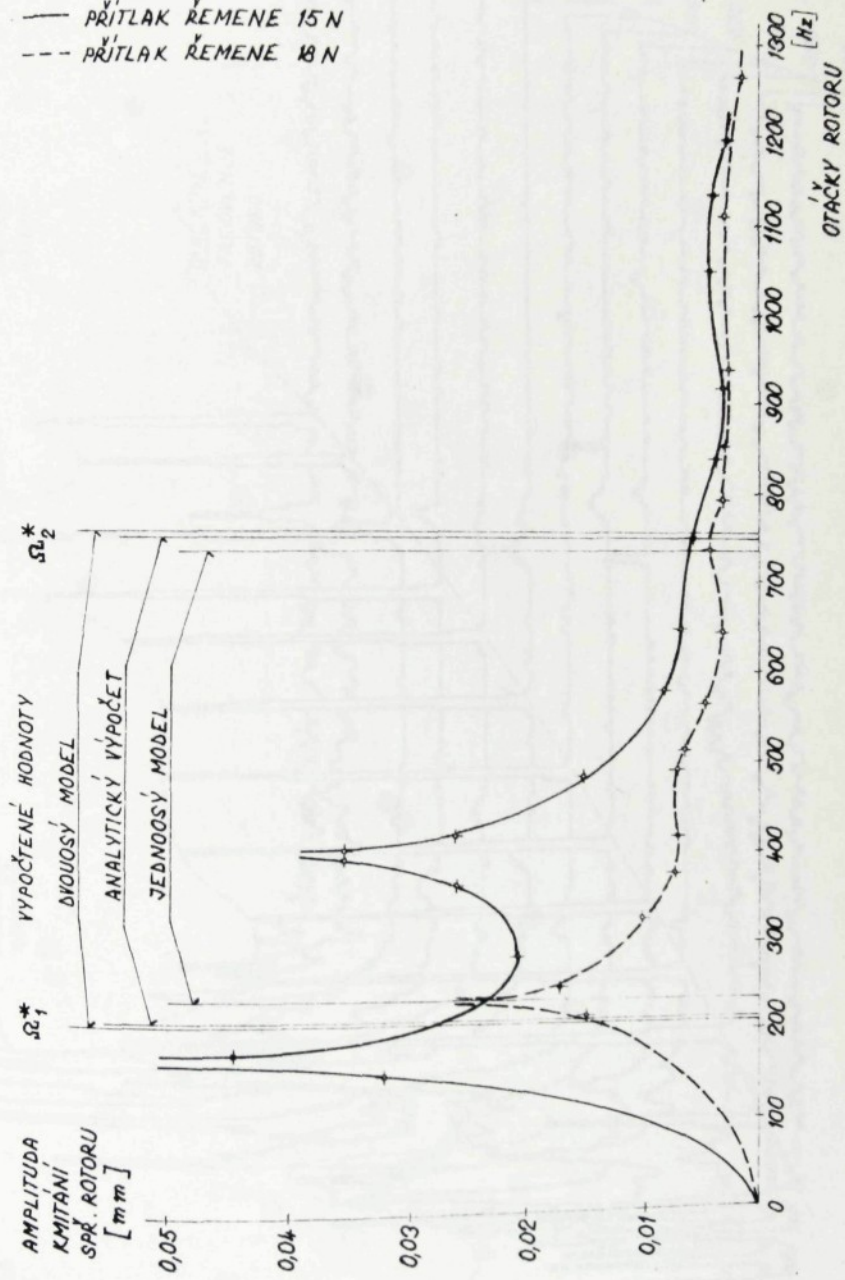
Uvedená měření se prováděla v první řadě pomocí laseru, piezoelektrické snímače se ověřovaly. Výsledky obou metod měření, získané při stejných parametrech nastavení se porovnávaly a jejich zápisy jsou uvedeny v příloze č.5.15.

Tabulka č.10

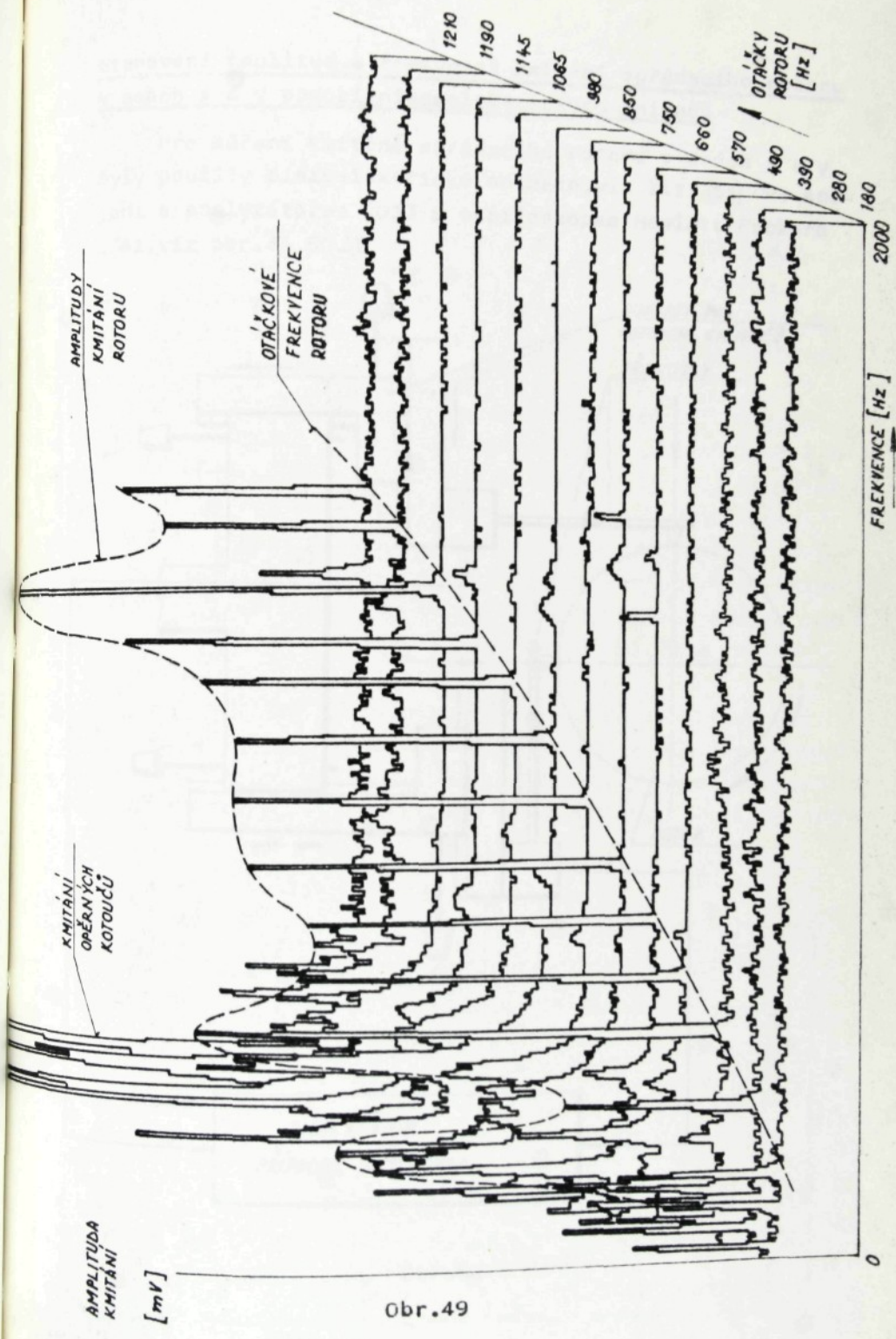
V e l i k o s t a m p l i t u d y / m m /					
Ot.roto-ru /Hz/	Přitl.řem. 12 /N/	Ot.roto-ru /Hz/	Přitl.řem. 15 /N/	Ot.roto-ru /Hz/	Přitl.řem. 18 /N/
160,5	0,8	160,5	0,032	220	0,015
220	1	181,75	0,045	255	0,017
380	0,18	281,5	0,02	330	0,01
475	0,1	371	0,026	390	0,009
570	0,07	391	0,035	430	0,007
755	0,05	407,5	0,035	490	0,007
		415	0,025	520	0,0065
		427,5	0,024	580	0,0045
		490	0,015	655	0,003
		575	0,008	735	0,004
		660	0,007	795	0,003
		755	0,0055	865	0,0028
		860	0,004	940	0,0028
		925	0,003	1 035	0,0028
		980	0,0035	1 115	0,0025
		1 065	0,004	1 280	0,0015
		1 145	0,004		

ZÁVISLOST AMPLITUDY KMITÁNÍ SPŘÁDACÍHO ROTORU
NA OTÁČKÁCH

— PRÍTLAK ŘEMENE 15 N
--- PRÍTLAK ŘEMENE 18 N



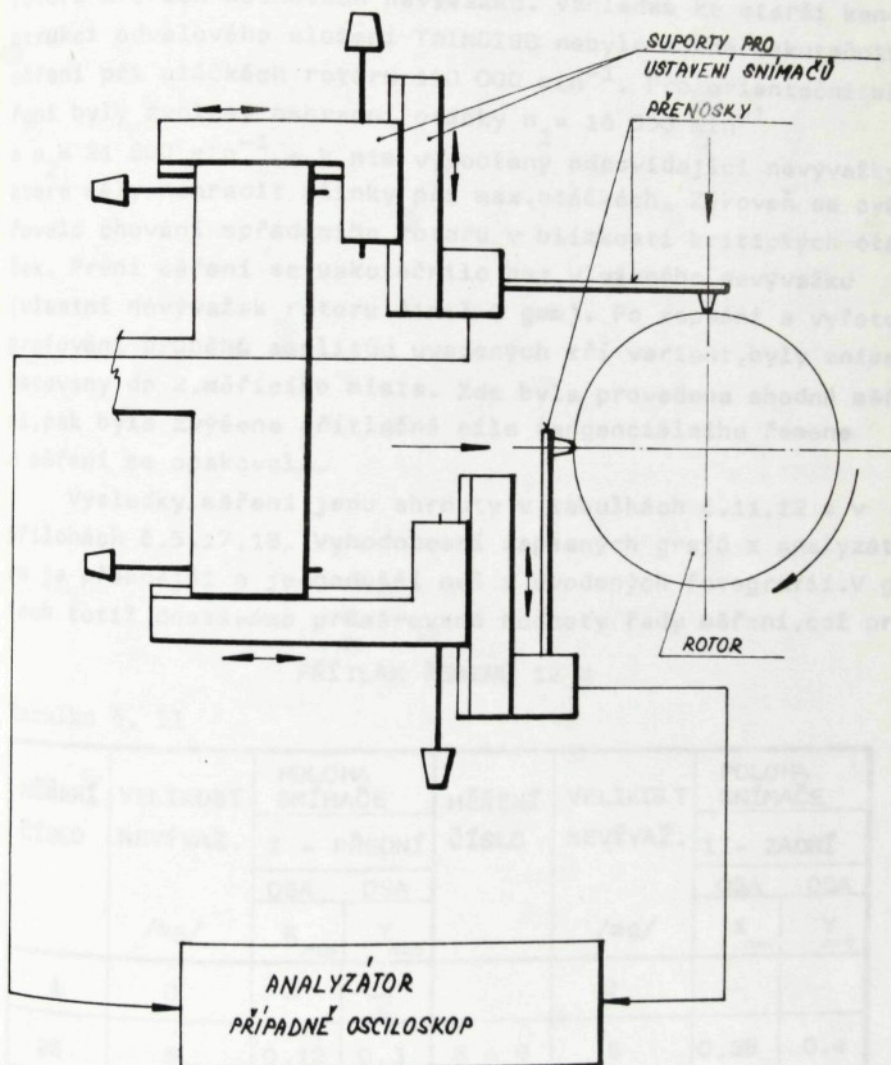
Obr. 48



Obr. 49

Stanovení amplitud a frekvencí kmitání spřádacího rotoru v osách x a y pomocí piezoelektrických snímačů

Pro měření kmitání spřádacího rotoru v osách x a y byly použity piezoelektrické snímače, viz lit. [51] ve spojení s analyzátem 2033 a osciloskopem Hewlett Packard 1741, viz obr. 46, 50.



Obr. 50

V první části měření byly snímače ustaveny na dřík rotoru v blízkosti spřádací komory, na 1. měřicí místo, viz obr. 46. Snímané hodnoty amplitud a frekvencí byly jednak vyhodnocovány analyzátorem a zapsány na připojeném zapisovači, jednak byly zobrazeny na paměťové obrazovce osciloskopu a vyfotografovány. Měření se prováděla při konstantních otáčkách rotoru a třech hodnotách nevývažku. Vzhledem ke starší konstrukci odvalového uložení TWINDISC nebylo možné uskutečnit měření při otáčkách rotoru $120\ 000\ \text{min}^{-1}$. Pro orientační měření byly zvoleny náhradní otáčky $n_1 = 16\ 050\ \text{min}^{-1}$ a $n_2 = 21\ 600\ \text{min}^{-1}$ a k nim vypočteny odpovídající nevývažky, které měly nahradit účinky při max. otáčkách. Zároveň se ověřovalo chování spřádacího rotoru v blízkosti kritických otáček. První měření se uskutečnilo bez vloženého nevývažku (vlastní nevývažek rotoru činil 2 gmm). Po zapsání a vyfotografování průběhu amplitud uvedených tří variant, byly snímače ustaveny do 2. měřicího místa. Zde byla provedena shodná měření, pak byla zvýšena přitlačná síla tangenciálního řemene a měření se opakovala.

Výsledky měření jsou shrnutы v tabulkách č. 11, 12 a v přílohách č. 5, 17, 18. Vyhodnocení zapsaných grafů z analyzátoru je přesnější a jednodušší než z uvedených fotografií. V grafech totiž dostáváme průměrované hodnoty řady měření, což pro-

PŘÍTLAK ŘEMENU 12 N

Tabulka č. 11

MĚŘENÍ ČÍSLO	VELIKOST NEVÝVAŽ.	POLOHA SNÍMAČE		MĚŘENÍ ČÍSLO	VELIKOS T NEVÝVAŽ.	POLOHA SNÍMAČE			
		I - PŘEDNÍ				II - ZADNÍ			
		OSA	OSA			OSA	OSA		
		X mm	Y mm			X mm	Y mm		
1	0	—	—		0	—	—		
2E	5	0,12	0,3	8 - 9	5	0,28	0,4		
3E	10	—	—	10 - 11	8	0,3	0,4		
4G	11,8	ODSKOKY		12	11,8	ODSKOKY			

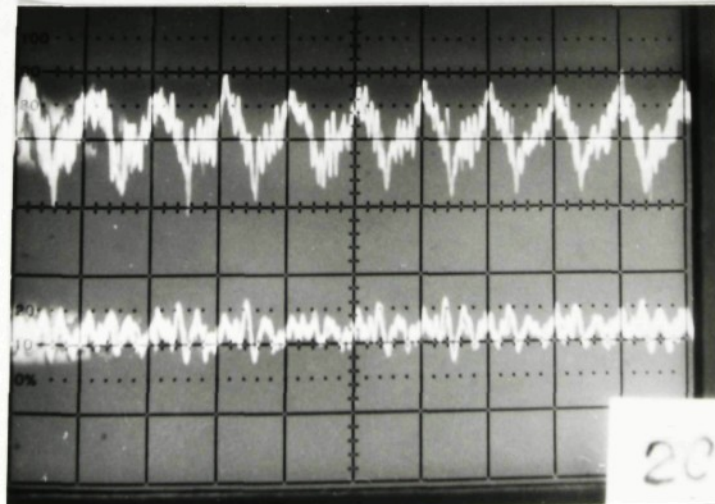
PŘÍTLAK ŘEMENU 15 N

Tabulka č.12

MĚŘENÍ ČÍSLO	VELIKOST NEVÝVAŽ. /mg/	VÝCHYLKA mm		MĚŘENÍ ČÍSLO	VELIKOST NEVÝVAŽ. /mg/	VÝCHYLKA mm			
		POLOHA SNÍMAČE				POLOHA SNÍMAČE			
		I - PŘEDNÍ				II - ZADNÍ			
		OSA X	OSA Y			OSA X	OSA Y		
1C	0	0,035	0,055	1F	0	0,09	0,25		
2C	5	0,1	0,13	2F	5	—	—		
3C	8	0,25	0,35	3F	10	—	—		
4C	11,8	ODSKOKY		4F	11,8	0,5	0,4		

vadí sám analyzátor. V případě osciloskopu je fotografován jeden z průběhů kmitání rotoru, zachycený v okamžiku stisknutí tlačítka paměti osciloskopu.

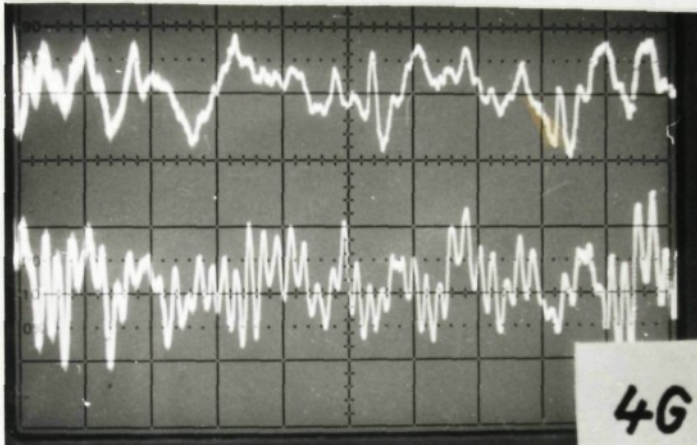
Průběh kmitání spřádacího rotoru zjištěný v prvním měřicím místě pomocí piezoelektrických snímačů při simulaci znečištění komory 5 mg s otáčkami $120\ 000\ \text{min}^{-1}$ a přitlačné síle řemene 15 N ukazuje obr.51. V horní části tohoto snímku je



Obr.51

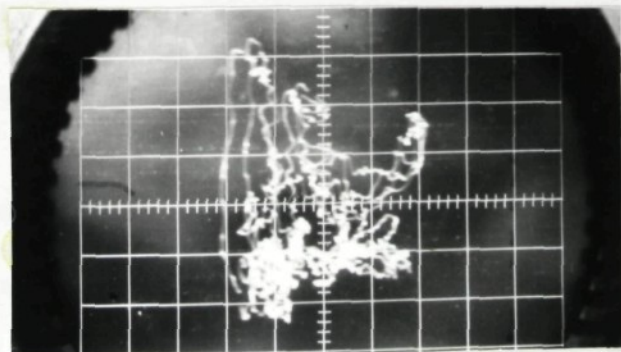
zobrazeno kmitání rotoru ve směru osy y, v dolní části kmitání ve směru osy x, oba průběhy v závislosti na čase. Tomuto obr. odpovídají zápisy z analyzátoru zařazené v příloze č.5.17.

Při měření prováděných s nevývažky ve spřádací komoře, které odpovídaly jejímu znečištění 11.8 mg (při $120\ 000 \text{ min}^{-1}$), již docházelo k odskokům dříku rotoru od opěrných kotoučů, k poruše stability uložení, což ukazuje i obr.52.



Obr.52

Jak již bylo uvedeno, je možné pomocí piezoelektrických snímačů sledovat amplitudy kmitání rotoru v ose x a y v závislosti na čase ve dvou stopách na stínítku osciloskopu, dále je možné přivést tyto signály na osy x a y stínítka osciloskopu, což ukazuje obr.53.

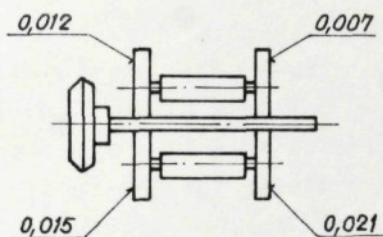


Obr.53

35

Na zkušebním stendu byly v tomto případě nastaveny hodnoty : otáčky rotoru $16\ 050\ \text{min}^{-1}$, přitlačná síla řemene $F_5 = 15\ \text{N}$, nevývažek spřádacího rotoru činil 2 gmm. Zvýšené kmitání rotoru ve směru osy x je zřejmě způsobeno opotřebením opěrných kotoučů a zvýšenou ložiskovou vůlí jejich uložení.

Pokud zjištujeme tvar opěrného kotouče, jeho odchylku od kruhového tvaru, dostaváme házivost kotouče. Ovalita, kterou jsme použili v předchozích výpočtech pro vyjádření buzení kmitání rotoru, byla poloviční hodnotou házivosti. Hodnoty změřených házivostí opěrných kotoučů ověřovaného uložení jsou uvedeny na obr.54.



Obr.54

Z těchto hodnot vyplývá možnost kmitání rotoru ve směru osy x spíše v blízkosti axiálního ložiska rotoru, což potvrzuje i tab.č.11 a 12.

Obdobné průběhy kmitání spřádacího rotoru jako na obr. 53 dostaváme při sledování přechodových stavů dvouosého matematického modelu na DIGIGRAFU, viz příloha č.5.19, při stejných vstupních hodnotách ve výpočtech.

Aby byl zjištěn vliv samotného rotoru na kmitání v oblasti kritických otáček, byla stanovena vlastní frekvence kmitání díky spřádacímu rotoru. Pomocí analyzátoru kmitů 2033 jsme zapsali vlastní frekvence kmitání rotoru po jeho vybuzení, viz příloha č.5.20. Maximum vlastního kmitání rotoru se nachází nad maximem pracovní otáčkové frekvence, první výrazné maximum činí 2450 Hz, další hodnoty jsou uvedeny v příloze.

Pro ověření správnosti měření byla sejmota chvění jak držáků přístrojů (laseru a fotonásobiče) i držáku měřeného odvalového uložení. Zápisy tohoto měření jsou uvedeny v pří-

loze č.5.21. Na držácích měřicích přístrojů byla zjištěna zanedbatelná chvění, rovněž chvění upínací desky neovlivnilo provedená měření.

Výsledky měření výkonu vedeného výpočtu výkonu vedeného výpočtu na jednotkovou výkonovou stupnici, na řešení konstrukce uložení, na zavedení jednotlivých sítí ovládání. Předpokládána byly výkony jednotlivých paralelních potenciálů provedené výpočty na korekovaných hodnotách uvedené v této práci. Uzavály je vibrace rotoru se kterými mohou vyloučit, že vlivy možné je počítat (případně eliminovat) ze řetězové sítě, aby nedocházelo k nelineárnímu napříkladu jednotlivých dílům přenosového můstku operativního kontroloře a zhoršení pracovního prostoru vlivem mohutného tlaku.

Z výpočtů provedených na samodělném počítací výpočtu byly zjištěny, které jsou možná využít při všechných konstrukcích strojů. Výpočty amplitud kmitání rotoru s ovládáním hmotnosti závěsti a činnosti materiálů používaných v průvodu potvrdily klasické chování rotoru s minimálními vibracemi až u vysokých otáček. Počas přechodů přes kritické otáčky docházelo ke zvýšení amplitud a v některých případech k výraznému zhoršení rotora od opěrných kotoučů. Výpočty vedené kritických otáček se shodovaly s numerickými výpočty i následující paragonní výsledků:

Rotory hodiny (s využíváním různé příslušné síly F_{cent})
Rotory 130 - 330 Hz (31,30 000 - 41 400 min⁻¹)
Rotory 720 a 760 Hz (3,43 000 - 45 600 min⁻¹)

Výpočty vedeny je prováděna různé příslušné síly F_{cent} , různé otáčky (přehled)

Jednotkové vedeny (s využíváním různé příslušné síly F_{cent})
Rotory 130 - 330 Hz (31,30 000 - 41 400 min⁻¹)
Rotory 720 a 760 Hz (3,43 000 - 45 600 min⁻¹)

Rotory vedeny (s využíváním různé příslušné síly F_{cent})
Rotory 130 - 330 Hz (31,30 000 - 41 400 min⁻¹)
Rotory 720 a 760 Hz (3,43 000 - 45 600 min⁻¹)

6. SHRNUTÍ A ROZBOR ZÍSKANÝCH VÝSLEDKŮ

Využití odvalového uložení spřádacího rotoru s otáčkami $120\ 000\ \text{min}^{-1}$ v praktickém provozu s sebou přináší vysoké nároky na připravnou etapu, na řešení konstrukce uložení, na zavedení jeho výroby a ověřování. Předpokládané zvýšení provozních parametrů potvrzují provedené výpočty na matematických modelech uvedené v této práci. Ukázaly, že vibrace rotoru nelze úplně vyloučit, je však možné je ponechat (případně eliminovat) do takové míry, aby nedocházelo k nadměrnému opotřebení jednotlivých dílců (především nákružků opěrných kotoučů) a zhoršení pracovního prostředí vlivem nadměrného hluku.

Z výpočtů provedených na samočinném počítači vyplynula řada poznatků, které bude možné využít při vlastních konstrukčních prácích. Výpočty amplitud kmitání rotoru s uvažováním hodnot tuhostí a tlumení materiálů použitych v provozu potvrdily klidné chování rotoru s minimálními vibracemi při vysokých otáčkách. Pouze při přechodech přes kritické otáčky docházelo ke zvýšení amplitud a v některých případech i k odskokům spřádacího rotoru od opěrných kotoučů. Vypočtené hodnoty kritických otáček se shodovaly s naměřenými, což potvrzuje i následující porovnání výsledků :

Naměřené hodnoty (s uvažováním různé přitlačné síly řemene)

1.kr.otáčky $180 - 260\ \text{Hz}$ (tj. $10\ 800 - 14\ 400\ \text{min}^{-1}$)

2.kr.otáčky $720 - 760\ \text{Hz}$ (tj. $43\ 200 - 45\ 600\ \text{min}^{-1}$)

Vypočtené hodnoty (s uvažováním různé přitlačné síly řemene, tuhostí nákružků a řemene)

jednoosý model

1.kr.otáčky $204 - 343\ \text{Hz}$ (tj. $12\ 240 - 20\ 618\ \text{min}^{-1}$)

2.kr.otáčky $688 - 913\ \text{Hz}$ (tj. $41\ 280 - 54\ 783\ \text{min}^{-1}$)

dvoousý model - pevná kladka

1.kr.otáčky $204 - 206\ \text{Hz}$ (tj. $12\ 240 - 12\ 360\ \text{min}^{-1}$)

2.kr.otáčky $762 - 775\ \text{Hz}$ (tj. $45\ 720 - 46\ 500\ \text{min}^{-1}$)

Vzhledem ke snahám o maximální využití tohoto uložení v provozu budou tendenze, aby pracovalo při nejvyšších otáčkách,

tedy v nadkritické oblasti. Při rozběhu rotoru přecházíme oblasti kritických otáček poměrně rychle, nejsou tedy stabilita ani životnost ohroženy, větší pozornost bude nutné věnovat doběhu a ověřit vypočtené průběhy, neboť především doběhy s uvažováním ovalit nákružků opěrných kotoučů se prodloužily a docházelo zde k odskokům rotoru.

Oblasti stability polohy spřádacího rotoru byly zpočátku ověřovány na jednoosém matematickém modelu, s využitím přechodových stavů. Z měření na odvalovém uložení byla určena hodnota amplitud kmitání rotoru při 1.krit.otáčkách, cca 0,05 mm, která byla dále použita jako výchozí hodnota při vybuzení přechodových stavů na matematickém modelu. Touto metodou bylo možné velmi přesně stanovit tendenci, s jakými probíhá tlumení vybuzeného kmitání, zda došlo k poruše stability soustavy nebo přešla do vynuceného kmitání. Výstupy z počítače v grafické i numerické formě poskytly potřebné informace.

Dále byly ověřeny i rozběhy rotoru v přímkovém, parabolickém a exponenciálním tvaru. Protože vypočtené frekvence i amplitudy byly srovnatelné, byly v dalších výpočtech použity lineární průběhy rozběhu a doběhu rotoru. Výpočty rozběhů rovněž umožní modelování procesu zapřádání na bezvřetenových dopřádacích strojích.

Při ověřování maximální hodnoty znečištění spřádací kometry bude nutné vycházet z provedených výpočtů rozběhů a doběhu rotoru v lineárním tvaru, s uvažováním vyšších tuhostí. Vypočtené průběhy se totiž téměř shodují ve frekvencích i amplitudách kritických otáček s výpočty provedenými v nelineárním tvaru. Použitím principu superposice můžeme dostat velikosti amplitud pro jednotlivé hodnoty nevývažku. Výpočty provedené v kapitole 5.2.3 ukazují stabilní chování rotoru při provozních otáčkách a rostoucím nevývažku.

V případě jednoosého modelu se shodovaly oblasti vypočtených a naměřených kritických otáček poměrně přesně, jak ukazuje i obr.48. Při uvažování vyšších hodnot tuhostí nákružků a řemene a s rostoucí přitlačnou silou se posouvají 1.a 2.kritické otáčky výše. Rovněž u nelineárního tvaru dif.rovnic

a při uvažování ovalit nákružků dostáváme vyšší hodnoty kritických otáček, jejichž hodnoty se navíc liší při rozběhu a doběhu rotoru, při doběhu narůstají i amplitudy kmitání a v případě ovalit se prodlužují i oblasti zvýšených amplitud při přechodu přes kritické otáčky. U matematického modelu zvýšení přitlačné sily tangenciálního řemene nesnižuje amplitudu kmitů tak výrazně jako v případě měření na odvalovém uložení. Hodnoty maximálních změrených amplitud 1.krit. otáček dosahovaly cca $0,05 - 0,07$ mm při $F_5 = 15$ N a cca $0,035$ mm při $F_5 = 18$ N, viz obr.48. Vypočtené hodnoty $y_4 = 0,084$ mm při $F_5 = 15$ N, $y_4 = 0,082$ mm při $F_5 = 18$ N.

Z výpočtů provedených na jednoosém matematickém modelu dále vyplývá :

- rostoucí tuhost nákružků způsobuje růst amplitudy kmitů rotoru, což potvrzuje i praxe
- v případě ovalit nákružků dostáváme výrazné maximum amplitud kmitání rotoru v oblasti 2.krit.otáček, což je v rozporu se skutečností (ve výpočtech však byly použity horní hraniční hodnoty ovality)
- výpočty provedené v lineárním tvaru s uvažováním vyšších hodnot tuhostí nákružků se poměrně přesně shodovaly s výpočty diferenciálních rovnic provedenými v nelineárním tvaru v poloze 1.krit.otáček, a to jak v oblasti frekvenci, tak amplitud kmitání hmoty m_4 , pouze 2.krit.otáčky byly položeny výše u nelin.tvaru

U dvouosého matematického modelu byly provedeny výpočty v lineárním tvaru diferenciálních rovnic a zavedeny ovality opěrných kotoučů. I v tomto případě se shodovaly oblasti kritických otáček poměrně přesně s naměřenými, viz obr.48. Rovněž vyšší hodnoty tuhostí nákružků a přitlačné sily posouvaly kritické otáčky výše. V případě uvažování ovalit docházelo také při doběhu k nárůstu amplitud kmitání rotoru, k posuvu krit.otáček k nižším hodnotám a značnému rozšíření pásma.

U tohoto modelu byla ověřována jednak pružná přitlačná kladka působící v první variantě silou 15 N, ve druhé a třetí

tí variantě 5 N. Dále byla uvažována tuhá přitlačná kladka, kde bylo její působení určeno graficky, rozkladem sil v ře- menu (rovněž 5 N).

Pružně uložená kladka může ovlivňovat systém svým vlastním kmitáním a může při určitých otáčkách a nastavení tohoto systému způsobit nadmerné kmitání rotoru, což se projevilo v kap. 5.2.6 u variant 2.a 3.

Naproti tomu pevně uložená přitlačná kladka zvyšuje opásání dříku rotoru a zabezpečuje tedy lepší pohon rotoru. Řemen sám v tomto případě tlumí kmitání hmoty m_4 . Uvažování pevné přitlačné kladky se přiblížilo nejvíce měřením na odvalovém uložení, jak v oblasti kritických otáček, tak amplitud.

U 1.krit.otáček byla amplituda 0,0068 mm, s uvažováním ovalit nákrúzků 0,072 mm a u 2.krit.otáček dochází v tomto případě ke vzrůstu na 0,22 mm. Přitlačné sily byly v tomto případě uvažovány poměrně malé a ovality nákrúzků velké (házivost 0,02 mm).

Měření provedená na odvalovém uložení spřádacího rotoru ověřila počáteční úvahy o stavbě matematických modelů a byla východiskem při konfrontaci teorie a skutečnosti. Během prováděných měření byly dále prověřeny metody, které budou využívány při ověřování kmitání rotorů spřádacích jednotek ve zkušebně VVZ. Piezoelektrická metoda navíc poskytuje možnost měřit jednoduchým způsobem kmitání rotoru ve dvou na sebe kolmých směrech.

V případě měření amplitud kmitání rotoru v závislosti na otáčkách s výsledky uvedenými na obr. 48, dostáváme vždy dvě po sobě jdoucí maxima amplitud, a to pro přitlak řemene 15 N při frekvencích 200 Hz a 400 Hz, pro přitlak řemene 18 N při frekvencích 240 Hz a 480 Hz. V těchto případech se zřejmě jedná o harmonické frekvence, které jsou násobky 1.kritických otáček rotoru.

Konstrukce odvalového uložení

Z úvodní kapitoly této práce vyplynulo odvalové uložení jako nejvhodnější způsob zajištění vysokých otáček spřádacích rotorů. Proto by měla všechna následující shrnutí

směřovat k jednomu cíli, k zajištění jeho kvalitní konstrukce. Vyvážené uložení by mělo splňovat tyto požadavky :

1. Rozsah otáček spřádacích rotorů $30\ 000 - 120\ 000 \text{ min}^{-1}$
2. Životnost ložisek opěrných kotoučů nejméně 5 let
3. Malá spotřeba energie
4. Minimální údržba
5. Hlučnost menší než 85 dBA
6. Použití různých průměrů spřádacích rotorů dle požadavků technologie předání
7. Lehká výměna rotorů
8. Synchronní běh rotorů ve stroji, počet až 240 spřádacích míst
9. Tolerance počtu otáček spřádacích rotorů nemá překročit $\pm 2\%$
10. Dobrá obsluhovost zařízení
11. Délka rozběhu a doběhu spřádacího rotoru cca 5 s
12. Zajistit stabilní chod spřádacího rotoru v celém rozsahu provozu stroje

Jak již bylo řečeno, pro zaručení stabilního chodu odvalového uložení je nutné zajistit jak radiální, tak axiální polohu spřádacího rotoru. Stabilita rotoru je v tomto případě ovlivněna vlastní konstrukcí odvalového uložení, přitlačnou silou řemene a velikostí nevývažku ve spřádací komoře.

V další části této kapitoly jsou řešeny otázky konstrukce odvalového uložení z hlediska stability rotoru, kde můžeme vycházet z provedených výpočtů v otázkách geometrického uspořádání, přesnosti výroby (ovality rotoru a opěrných kotoučů) i použitých materiálů, dále z výpočtů statických, kinematických a dynamických poměrů odvalového uložení uvedených v této práci. Nejdůležitější otázkou týkající se konstrukce odvalového uložení je provedení opěrných kotoučů, požadavky na jejich konstrukci se budeme zabývat nyní.

Opěrné kotouče

a) Ustavení podpor rotoru může být provedeno buď vedle sebe A nebo přesazeny - B, viz lit. [56].

V případě A leží rotor hlouběji v klinu tvořeném podpořami, jeho poloha je stabilnější s menší možností kmitání rotoru v horizontálním směru, příkon na jeho pohon bude zřejmě větší.

V případě B leží rotor výše na oporách a nároky na příkon budou pravděpodobně sníženy. Průměry podpor však budou větší a vzniká otázka nutnosti brzdění těchto kotoučů při zastavení rotoru, aby nedocházelo k poškození jejich potahu prokluzy. Rovněž kmitání hřídele rotoru v horizontálním směru je podstatně větší než v případě A.

Abychom mohli ověřit výše uvedené skutečnosti při otáčkách do $120\ 000\ min^{-1}$, především závislost příkonu na poloze rotoru v klinu opěrných kotoučů, bude nutné navrhnut a vyrobít odvalové uložení, kde bude možné měnit jak vertikální polohu rotoru, tak průměry opěrných kotoučů.

b) Průměr opěrných kotoučů byl zvolen $D = 70\ mm$ (tato hodnota byla použita ve výpočtech i prověденých měřeních).

c) Ovalita opěrných kotoučů bude ovlivňovat velikost kmitání rotoru ve vertikálním i horizontálním směru. Měření ovality opěrných kotoučů ověřovaného odvalového uložení TWINDISC nám poskytlo hodnoty uvedené na obr. 54. V našem případě neznáme počet provozních hodin tohoto uložení a stupeň jeho opotřebení. Doporučené hodnoty ovality, které uvádí lit. [56] jsou podstatně nižší $5 - 8\ \mu m$.

d) Kvalita povrchu nákrusáků opěrných kotoučů je zaručena broušením, případně soustružením na hodnotu $Ra = 0,4$.

e) Materiál opěrných kotoučů musí splňovat řadu požadavků: dobrou obrobitevnost, koeficient tření $f = 0,4 - 0,6$, odolnost vůči opotřebení, rozměrovou stálost při změně teploty (velikost teplotní roztažnosti není v tomto případě rozhodující, záleží spíše na zaručení shodné roztažnosti nákrusáku ve všech směrech, aby nedocházelo ke zvětšení ovality opěrného kotouče).

Při volbě materiálu opěrných kotoučů můžeme vycházet z poznatků z ověřování uložení krutného vřetene tvarovacího stroje TK 600, kde byla na nákrusky nejprve použita polyuretanová pryž. Vývojové práce však byly přerušeny, neboť docházelo k velkým změnám rozměrů s růstem teploty, rovněž opracování povrchu nákrusky bylo obtížné. Další vývoj byl zaměřen na opěrné kotouče s kovovým jádrem a funkční vrstvou z epoxydové pryskyřice. Přednostmi této potahové vrstvy byla dobrá obrobiteľnost (na požadovaný rozměr a kvalitu povrchu), dobrá adheze pryskyřice ke kovu (nutno provést úpravu povrchu kovu zdrsněním), modul pružnosti a vnitřní tlumení nejsou prakticky závislé na teplotě (do 100°C), dobrá odolnost vůči opotřebení, koeficient tření je sice menší než u polyuretanové pryže (příliš se nemění s obvodovou rychlosí ani s teplotou). Kovová vnitřní část snižuje teplotní roztažnost a dovolí lepší fixaci kotoučů na hřídeli nalisováním. Vyšší modul pružnosti a nižší vnitřní tlumení oproti polyuretanové pryži snižuje sklon k samoothrevu funkční vrstvy při otáčení rotoru. Pokud však bude axiální poloha rotoru zajištěna pomocí permanentního magnetu, může docházet vlivem působícího magnetického pole k indukčnímu ohřevu kovového jádra kotoučů.

Aby se zabránilo tomuto ohřevu je nutné vyrábět také tato jádra z plastu, nejlépe z termosetické hmoty.

Je však otázkou, do jaké míry bude epoxydová pryskyřice splňovat podmínky kladené výpočty na matematických modelech co do pružnosti a tlumení potahu. Tyto hodnoty bude nutné ověřit měřením na vyrobených vzorcích a stanovit výpočtem hodnoty kritických otáček a velikosti amplitud při modelovaném chodu rotoru. V provedených výpočtech byly dosud uvažovány tyto hodnoty :

- tuhost opěrných kotoučů $c_2 = 200\ 000 - 400\ 000 \text{ N/m}$
- tlumení opěrných kotoučů $k_2 = 3,2 - 6,7 \text{ kg/s}$
- ve druhé variantě výpočtů byly prověřeny nelineární tuhosti opěrných kotoučů

Spřádací rotor

Spřádací rotor je složen ze dvou částí, ze spřádací komory a dříku rotoru, které jsou spojeny nalisováním. Aby byl zaručen klidný chod spřádacího rotoru, je nutné zabezpečit jeho vyvážení. Otázkou je však velikost předepsaného nevývažku, neboť během předení dochází k rozvážení rotoru usazováním nečistot a prachu ve spřádací komoře. V případě ověřovaného rotoru s průměrem 43 mm byla hodnota nevývažku $N_p = 2 \text{ gmm}$. Rovněž hodnota vlastní frekvence kmitání rotoru má vliv na jeho klidný chod a musí proto ležet mimo pracovní oblast stroje.

- a) Spřádací komora má podle potřeb technologie předení více tvarů sběrného povrchu a v závislosti na provozních otáčkách stroje také jeho různé průměry. S rostoucími otáčkami spřádacího rotoru se totiž zmenšuje průměr sběrného povrchu s ohledem na omezující vliv osové sily v přízi, viz lit. [1]. Materiál použitý na výrobu spřádací komory musí být volen s ohledem na značné mechanické namáhání stěny komory při vysokých otáčkách rotoru, jak odstředivými silami, tak oděrem vláken při předení. Rovněž hmotnost spřádací komory bude důležitá, neboť bude ovlivňovat velikost hmotného momentu setrvačnosti a tím délku rozběhu rotoru, velikost prokluzů a opotřebení opěrných kotoučů. Zatím byly pro výrobu komory použity slitiny hliníku s povrchovou úpravou sběrného povrchu, v případě skládaných rotorů v kombinaci s ocelí.
- b) Dřík spřádacího rotoru se vyrábí z kvalitní oceli, v našem případě o průměru $d = 9 \text{ mm}$. Doporučená hodnota opracování jeho povrchu činí $R_a = 0,1 - 0,4$. Podle lit. [56], která udává závislost horizontálního a vertikálního kmitání rotoru na jeho ovalitě, by házivost dříku rotoru neměla překročit $0,01 \text{ mm}$. Skutečné naměřené hodnoty na dříku ověřovaného rotoru byly menší než $0,001 \text{ mm}$.

Ložiska opěrných kotoučů

Pro osazení opěrných kotoučů mohou být použita ložiska typu PLC 73-1 s maximálními otáčkami $40\ 000\ \text{min}^{-1}$, dynamickou únosností 2 270 N, tedy s dostatečnou rezervou pro náš případ. Způsoby jejich uchycení v nosném bloku odvalového uložení však ovlivňují amplitudu svislého kmitání spřádacího rotoru, viz lit. [56].

Uchycení ložiska ve výlisku z plechu, tedy s malou tuhostí, dovolí poměrně značné amplitudy vibrací rotoru. V případě, že je ložisko uloženo v tuhém rámu, nejlépe odlitku, jsou amplitudy kmitání podstatně menší a maxima dosahují třetinové hodnoty předchozího řešení.

Řemen pohonu spřádacích rotorů

Pro pohon odvalového uložení je použit tangenciální nekonečný řemen. S rostoucími otáčkami spřádacích rotorů stoupá i rychlosť řemene a zvyšuje se hluk způsobený řemensem, zvláště vlivem zesílení ve spoji (v místě jeho sbroušení a slepení). Otázkou kvalitních spojů pro vysoké rychlosti řemenu (pro otáčky rotorů nad $80\ 000\ \text{min}^{-1}$) se zabývají výrobci řemenů - firmy Habasit a Siegling, které se snaží vyrobit spoj bez změny tloušťky řemene. Ten nepřinese jen snížení hlučnosti, ale také snížení namáhání ložiska rotoru od vibrací a rázů. Nové typy řemenů budou předány ke zkouškám během roku 1985.

7. ZÁVĚR

V úvodu kandidátské práce jsou citovány dva výňatky z dokumentu "Hlavní směry hospodářského a sociálního rozvoje v ČSSR na léta 1981-85". Citace se zabývají vývojem strojírenství obecně a zejména vývojem bezvřetenových dopřadacích strojů v otázce zvýšené odtahové rychlosti. V citaci je vysloven i požadavek na zkrácení cyklu výzkum, vývoj, výroba, užití v průmyslové praxi. Předložená kandidátská práce je jednak příspěvkem pro rozhodovací proces o druhu použitého uložení na bezvřetenových dopřadacích strojích, v případě volby odvalového uložení by měla pomoci jeho rychlejšímu zavedení do výrobního procesu.

V úvodní kapitole této práce byl proveden přehled současného stavu vývoje uložení spřádacích rotorů ve světě. Z tohoto přehledu, z patentové rešerše lit. [46], z porovnání vývoje uložení spřádacích rotorů na strojích vystavovaných na jednotlivých výstavách ITMA lit. [50] a z typů uložení použitých na současně vyráběných strojích konkurenčních firem vyplynulo jako nejjednodušší řešení - odvalové uložení spřádacího rotoru.

Cílem disertační práce bylo prověření možnosti použití odvalového uložení pro zvýšené parametry, pro otáčky spřádacího rotoru do $120\ 000\ \text{min}^{-1}$. Toto uložení rotoru na opěrných kotoučích je totiž výhodné svou konstrukcí, neboť při vysokých otáčkách rotoru ($120\ 000\ \text{min}^{-1}$) mají ložiska opěrných kotoučů snížené otáčky v poměru průměrů hřídele rotoru a opěrných kotoučů ($15\ 000\ \text{min}^{-1}$). Výhodou je rovněž snadná výměna jednoduchého spřádacího rotoru při změně zpracovávaného materiálu a otáček rotoru i snadná údržba uložení.

Z důvodů ekonomických i časových byly pro posouzení stability polohy rotoru sestaveny matematické modely, popisující provozní stavu rotoru (rozběhy i doběhy, vlastní chod spřádacího rotoru při různých nastavených parametrech, vliv zanášení spřádací komory). Pro modelování uvedených stavů byly sestaveny diferenciální rovnice a programy pro numerické řešení na samočinném počítači. Výpočty dovolí pro-

věřit stabilitu rotoru i při různých variantách konstrukčního řešení odvalového uložení, co se týče rozměrů, přesnosti výroby (ovality rotoru a opěrných kotoučů), tuhostí a tlumení v lineárním i nelineárním tvaru. Rovněž velikost nevývažku ve spřádací komoře a velikost přitlačné sily řemene ovlivňují stabilitu polohy rotoru a byly ověřovány. Pro snadné vyhodnocení výsledků výpočtů byly provedeny výstupy počítače v numerické i grafické formě, případně na kreslicím stole DIGIGRAFU.

V uvedených výpočtech byly sledovány velikosti frekvencí i amplitud kmitání spřádacího rotoru, byla posuzována stabilita spřádacího rotoru při přechodu přes kritické otáčky. Stabilitu polohy spřádacího rotoru je nutné zajistit v radiálním i axiálním směru, neboť na ní závisí nejen kvalitní a kontinuální výroba příze, ale také životnost opěrných kotoučů a ložisek uložení.

Ověření teoretických výsledků bylo provedeno měřením kmitání rotoru v rovině kolmé na jeho osu a sice pomocí laseru a metodou piezoelektrickou (ve dvou na sebe kolmých směrech). Metoda piezoelektrická je podstatně jednodušší a operativnější než měření laserem a proto bude dále využívána ve zkušebně VVZ. Výhodou je rovněž použití vlastní aparatury analyzátoru a zapisovače firmy Brüel a Kjaer pro snímání signálů. K provedení důkladnějších měření chybělo vhodné odvalové uložení spřádacího rotoru (měřilo se na prvním typu uložení - TWINDISC firmy Süssen) a tak výsledky měření s otáčkami nad $80\ 000\ min^{-1}$ jsou spíše orientační.

V poslední části této práce jsou získané výsledky teoretických výpočtů a provedených měření aplikovány při konstrukci odvalového uložení. Výsledky jsou podkladem co se týče volby rozměrů a použitých materiálů, oblastí kritických otáček, velikosti předpěti řemenu a přípustného nevývažku ve spřádací komoře. Zatím nevyřešeným problémem zůstává potah opěrných kotoučů.

Provedené výpočty na samočinném počítači a měření na odvalovém uložení se poměrně shodují jak v oblasti kri-

tických otáček i amplitud kmitání rotoru. Stanovené hodnoty kritických otáček ukazují, že spřádací rotory pracují v nadkritické oblasti a vlastní frekvence spřádacího rotoru leží nad provozními otáčkami. Z měření dále vyplýnul stabilizující vliv pohonového řemene na kmitání rotoru, kde určité zvýšení přitlaku snižuje amplitudu kmitů rotoru, posouvá však jeho kritické frekvence k vyšším hodnotám.

Další vývojové práce, týkající se odvalového uložení spřádacího rotoru, by se měly zaměřit na tyto úkoly :

1. Zajištění vhodného materiálu nákružků opěrných kotoučů s ohledem na dříve uvedené požadavky
2. Ověření stability rotoru s uvažováním nových materiálů nákružků
3. Zjištění příkonů odvalového uložení bez a s přesazením opěrných kotoučů
4. Dále bude nutné porovnat odvalové uložení s uložením vzduchovým (aerostatickým uložením EJP, vyvíjeným v současné době ve VÚB Ústí nad Orlicí na modelu stroje BDA 2 s otáčkami do $100\ 000\ min^{-1}$) a s EJP s "přímým" uložením (vyvíjeným ve VÚVL Brno s otáčkami rovněž do $100\ 000\ min^{-1}$) v otázkách jejich začlenění do konstrukce stroje, obluhovosti, životnosti, příkonů, hluku atd.

Výsledky provedených výpočtů a závěry z měření, které jsou uvedeny v této disertační práci, bude možné použít pro další vývoj odvalového uložení, zejména pro modelování provozu spřádacího rotoru a zjištění jeho chování při zvýšených parametrech. Požadované zvýšení otáček spřádacích rotorů na $120\ 000\ min^{-1}$ je podstatným přínosem pro národní hospodářství jak v otázce produkce stroje, tak v otázce zvýšení produktivity práce.

8. UPPLATNĚNÍ VÝSLEDKŮ V PRAXI

Jedním z přínosů kandidátské práce pro praxi je shrnutí současného stavu techniky v oblasti uložení spřádacích rotorů a naznačení dalších směrů vývoje. Sestavení matematických modelů pro předběžné ověření chování odvalového uložení spřádacího rotoru do otáček $120\ 000\ \text{min}^{-1}$ se ukázalo jako výhodné, zejména pro stanovení oblasti kritických otáček a amplitud kmitání rotoru, pro ověření rozběhů a doběhu rotoru, pro zjištění maximální velikosti zaněšení spřádací komory, s určením maximální budící síly s ohledem na stabilitu polohy spřádacího rotoru. Výsledky tohoto matematického zpracování spolu s výsledky provedených měření podstatně zjednoduší rozhodovací proces, který se týká použití odvalového uložení.

Rovněž z ekonomického hlediska jsou matematické modely výhodné, neboť je podstatně levnější modelování výše uvedených stavů odvalového uložení na samočinném počítači, než výroba a ověřování různých variant provedení tohoto uložení ve skutečnosti.

Matematické modelování odvalového uložení přineslo řadu poznatků o chování pružně uložených rotorů, pracujících při poměrně vysokých otáčkách. Jednalo se o ověřování jednoosého modelu, kde byly simulovány rozběhy a zanášení spřádací komory, případně zavedeny nelineární tuhosti opor a řemene a ovalita opěrných kotoučů. U dvouosého modelu byly sledovány především přechodové stavy, na kreslicím stole ve spojení se samočinným počítačem rozběhy a doběhy rotoru, s uvažováním lineárního tvaru s konstantní tuhostí opor a řemene. Výše uvedené metody modelování sledují stabilitu odvalového uložení v provozu stroje, s uvažováním variant konstrukčního řešení odvalového uložení, týkající se rozměrů i použitých materiálů jednotlivých dílců.

Také měření prováděná na odvalovém uložení byla přinosem, neboť jsme pomocí laseru testovali jednodušší způsob měření vibrací rotoru - metodu piezoelektrickou. Zařízení pro tato měření, piezoelektrické snímače, jsou předmětem

podané patentové přihlášky a uvedenou metodou je možné zjišťovat jak ovalitu hřidelů, tak jejich kmitání ve dvou na sebe kolmých osách. V porovnání s optickým měřením pomocí laseru vychází piezoelektrická metoda méně náročná na vybavení a operativnější.

Jedním z hlavních přínosů pro praxi je využití analyzátoru 2033 při měřeních prováděných laserem a piezoelektrickými snímači. Během měření byly prověřeny funkce analyzátoru ve spojení se zapisovačem při stanovení amplitud a frekvencí kmitání sledovaných hmot.

Pro výše uvedená měření bylo navrženo a vyrobeno zkušební zařízení, které slouží pro měření vibrací, hlučnosti a příkonů spřadacích jednotek, dále je možné na něm ověřovat z těchto hledisek i ostatní rotující součásti a celky. Výhodou zkušebního stendu je možnost plynulé změny otáček pohonu, který zajišťuje tyristorové regulátory a regulační motory. Zařízení bude dále sloužit zkušebně a jednotlivým konstrukčním oddělením výzkumně vývojové základny, počítá se rovněž s jeho využitím při řešení diplomových prací vysokých škol, zejména katedry textilních strojů VŠST v Liberci, se kterou již řadu let spolupracujeme.

Provedené předběžné rozbory statických, kinematických a dynamických poměrů odvalového uložení budou podkladem pro vlastní konstrukci odvalového uložení co se týče rozměrů, přesnosti výroby i použitých materiálů.

/IV/ J.B. Panovko

Uvádění v teorii mechanických koločaní.
Nauka, Moskva 1973

/V/ W.Brigley

Theorie, projektování a konstrukce
pivnákov. Mir, Moskva 1974

/VI/ C.Höschl

Skripta VŠST Liberec
Mechanika tuhých těles v klasické

/VII/ P. Šimáček

Dynamika rotátorů.

Skripta, Praha 1980

SEZNAM POUŽITÉ LITERATURY

- /1/ V.Rohlena Bezvřetenové předení
SNTL, Praha 1974
- /2/ K.Wiedemann Lagerungsprobleme an OE Spinnaggregaten.
- /3/ C.Brandis Textil-praxis 1974,č.4,str.579-582
Entwicklungstendenzen ausgewählter Textilmaschinen der 80 er Jahre.
Melliand Textilberichte 1974,č.12,
str.995-1 000
- /4/ C.Brandis Rotorspinnen mit über 60 000 Umdrehungen pro Minute, Melliand Textilberichte, 1975,č.5,str.345-347
- /5/ N.Dostál ITMA 1975 - Miláno
- /6/ S.Kroulik ITMA 1979 - Hannover
- /7/ kolektiv Špičkové textilní stroje - ITMA 1979.
Sborník z konference ČSVTS, Elitex Liberec
- /8/ L.Bureš Vývojové tendenze strojů OE.
Konference o teorii strojů a mechanismů, VŠST Liberec 1980
- /9/ J.Kožešník Kmitání mechanických soustav.
Akademia, Praha 1979
- /10/ J.Korytysskij Kolebanija v textilnych mašinach.
Mašinostrojenie, Moskva 1973
- /11/ J.G.Panovko Uvedenie v teoriju mechanickich kolebanij.
Nauka, Moskva 1971
- /12/ W.Wrigley Teoria,projektirovanie a испитание
gyroskopov. Mir, Moskva 1972
- /13/ C.Höschl Nauka o kmitání.
Skripta VŠST Liberec
- /14/ I.Szabó Mechanika tuhých těles a kapalin.
SNTL, Praha 1970
- /15/ R.Gasch Dynamika rotorů.
SNTL, Praha 1980

- /16/ J.Lysczek Badania właściwości lozyskowań komór przedzacyjnych pneumomechanicznych przedzarek bezwzrzesionowych. Przegląd włókien 1980 č.8. str.447-450
- /17/ A.Tondl K analýze resonančních kmitů nelineárních systémů se dvěma stupni volnosti. Rozpravy Čs.akademie věd 1964/ sešit 8
- /18/ A.Tondl O rezonančních kmitech jednohmoto-vých nelineárních systémů se dvěma stupni volnosti, Rozpravy Čs.akademie věd 1967/sešit 4
- /19/ J.Kožešník Perodický stav v systému o stálých parametrech. Některé otázky kmitání a stability odpružených rotorů. Rozpravy Čs.akademie věd 1955/ sešit 5
- /20/ A.Tondl Experimental investigation of self-excited vibrations of rotors due to the aciton of lubricating oil film in journal bearings. Monographs and memoranda No 1, Praha 1961
- /21/ A.Tondl Domains of attraciton for non-linear systems. Monographs and memoranda No 8, VÚSS Běchovice 1970
- /22/ A.Tondl Some problems of self - excited vibration of rotors. Monographs and memoranda No 17, VÚSS Běchovice 1974
- /23/ A.Tondl On the interacion between self-excited and forced vibrations. Monographs and memoranda No 20, VÚSS Běchovice 1976

- /24/ A.Tondl Resonance vibrations of non-linear systems excited by a periodic non-harmonic force. Monographs and memoranda No 13, VÚSS Běchovice 1972
- /25/ A.Tondl Vibration of rigid rotors with vertical shafts mounted in aero-static bearings. Monographs and memoranda No 14, VÚSS Běchovice 1973
- /26/ A.Tondl Analysis of stability of steady-locally stable solutions for not fully determined disturbances. Monographs and memoranda No 15, VÚSS Běchovice 1973
- /27/ A.Tondl Tlumení samobuzených kmitů. Academia Praha 1980
- /28/ B.Koloušek Úvod do harmonického kmitání
- /29/ J.Hořejší Kmitání s jedním stupněm volnosti. Praha 1954 - SNTL
- /30/ J.Nagy Stabilita řešení obyčejných diferenciálních rovnic. Praha 1980 - SNTL
- /31/ M.Nekvinda Úvod do numerické matematiky. a kol. Skripta VŠST Liberec 1971
- /32/ M.Nekvinda Praktikum z numerické matematiky. a kol. Skripta VŠST Liberec 1973
- /33/ J.Charvát Vybrané statě z mechaniky. V.Křivohlávek Skripta SVÚT Liberec
- /34/ J.Šrejtr Technická mechanika I,II,III. SNTL, Praha 1958
- /35/ J.Vogel Programování v jazyce fortran. SNTL Praha 1976
- /36/ M.Olehla Použití fortranu v praxi. J.Tišer Skripta VŠST Liberec 1972
- /37/ M.Navrátil Měření mechanického kmitání - úvod do teorie snímačů. Praha 1981 - SNTL

- /38/ J.Plander
J.Tomáš
Dynamické vlastnosti viskoelastic-
kých materiálů a jejich měření.
Slovenská akademie věd, Bratislava
1964
- /39/ F.Hoff
Optické záznamové prostředí s expo-
nenční převodovou charakteristikou.
Studie ČSAV 1980/sešit 16
Lasers and holography.
- /40/ W.E.Kock
Mir, Moskva 1971
- /41/ M.Francon
Holographie.
Mir, Moskva 1972
- /42/ M.Miler
Holografie.
Praha 1974 - SNTL
- /43/ L.Sodomka
M.Govindaraj
Využití laserů k určování kmitů
v textilních zařízeních.
Strojírenství 1983,č.8,str.457-463
- /44/ Kolektiv
Měření výkonu, chvění a hluku odva-
lového uložení spřádacího rotoru
firmy Süssen. Zpráva VÚB Ústí n.O.
- /45/ Prospektová dokumentace našich a zahraničních bezvře-
tenových dopřádacích strojů
- /46/ Patentové spisy dle rešerše VÚB Ústí nad Orlicí,
týkající se odvalového uložení spřádacích rotorů
- /47/ M.Govindaraj
Vzduchové ložisko rotoru spřádací
jednotky stroje BD. Kandidátská
disertační práce, VŠST Liberec 1982
- /48/ Wehde
Pohon OE strojů, hluk a spotřeba
energie. Melland Textilberichte
1978,č.9,str.705-709
- /49/ V.Hosnédlo
Provozní vlastnosti krutného ústrojí
pro tvarování umělých vláken.
VÚVL Brno 1976
- /50/ J.Hanzl
Pisemná práce kandidátského minima.
Ústí n.O.1982
- /51/ Sodomka,Hanzl,
Pávek
Zařízení pro měření krouživého
nebo /a ohybového kmitání hřídele,
PV 06212-84

- /52/ Timošenko S. Kmitání ve strojníctví
SNTL, Praha 1960
- /53/ Thomson Vibration theory and applications
Anglie 1976
- /54/ Beards Structural vibration analysis
Anglie 1983
- /55/ Hanzl J. Příspěvek k řešení matematického
modelu odvalového uložení spřáda-
cího rotoru.
Interní zpráva 1983
- /56/ Schumann Konstruieren für eine neue Techno-
logiegezeigt am Beispiel der OE
Garnherzeugung.
Chemiefasern/textilindustrie,
Sept.1981

1.1 Výpočetní model

1.1.1 výpočet výpočtu kmitání jednoosého dvoumístkového
matematického modelu

1.1.2 výpočet výpočtu kmitání dvouosého dvoumístkového
matematického modelu

1.1.3 výpočet výpočtu přechodových stavů jednoosého matematického
modelu

1.2 Porovnání průběhu kmitání hmoty s jednoosého matematického
modelu v lineárním a nelineárním tvaru,při rozložení
z dobušu rotora,uvažování výšek tuhostí dle tab.č.3
a/lineární tvar,F_g=15 N,c=40000 N/m,c₂=30000 N/m
b/nelineární tvar,F_g=15 N

c/lineární tvar,F_g=15 N,c=40000 N/m,c₂=30000 N/m

1.3 Porovnání průběhu kmitání hmoty s jednoosého matematického
modelu v lineárním tvaru,při rozložení
z dobušu rotora

1.4 Průběh kmitání hmoty s uvažováním oválit opárných kotoučů
z jednoosého matematického modelu,při rozložení rotoru

1.5 Průběh kmitání hmoty s uvažováním dvouosého matematického modelu,
přechodové stavové pro varianty
a/otáčky rotora do 600 min⁻¹
b/otáčky rotora 100 000 min⁻¹

1.6 Průběh kmitání hmoty s uvažováním jednoosého matematického lineárního
rotoru při rozložení v doběnu rotoru

1.7 Kmitání hmoty s uvažováním uchycení příč.kladky
b/kmitání hmoty s uvažováním uchycení příč.kladky

1.8 Kmitání hmoty s uvažováním uchycení příč.kladky
1.9 Průběh kmitání hmoty s uvažováním dvouosého matematického lineárního
modelu z uvažováním oválit opárných kotoučů,při rozložení
rotoru

1.10 Pohled kmitajícího obřírujeho rotoru

1.11 Rychlosť otáčejícího zákrutku opárných kotoučů,uvažování tvaru
z dobušu

1.12 Vlivu zákrutku nekrutku opárného kotouče,uvažování tvaru
z dobušu

PŘÍLOHY

Seznam uvedených příloh

- 5.1 Výpis programu výpočtu kmitání jednoosého dvouhmotového matematického modelu
- 5.2 Výpis programu výpočtu kmitání dvouosého tříhmotového matematického modelu
- 5.3 Vyhodnocení přechodových stavů jednoosého matematického modelu
- 5.4 Porovnání průběhu kmitání hmoty m_4 jednoosého matematického modelu v lineárním a nelineárním tvaru, při rozběhu a doběhu rotoru, s uvažováním vyšších tuhostí dle tab. č. 3
 - a/ lineární tvar, $F_5 = 15 \text{ N}$, $c_2 = 400000 \text{ N/m}$, $c_{54} = 300000 \text{ N/m}$
 - b/ nelineární tvar, $F_5 = 15 \text{ N}$
 - c/ lineární tvar, $F_5 = 18 \text{ N}$, $c_2 = 400000 \text{ N/m}$, $c_{54} = 300000 \text{ N/m}$
- 5.5 Porovnání průběhu kmitání hmoty m_5 jednoosého matematického modelu v lineárním a nelineárním tvaru, při rozběhu a doběhu rotoru
- 5.6 Průběh kmitání hmoty m_4 , s uvažováním ovalit opěrných kotoučů u jednoosého matematického modelu, při rozběhu rotoru
- 5.7 Průběh kmitání hmot m_4, m_5, m_6 dvouosého matematického modelu, přechodové stavy pro varianty :
 - a/ otáčky rotorů $40\ 000 \text{ min}^{-1}$
 - b/ otáčky rotorů $120\ 000 \text{ min}^{-1}$
- 5.8 Průběh kmitání hmot m_4, m_5 dvouosého matematického lineárního rotoru při rozběhu a doběhu rotoru :
 - a/ kmitání hmoty m_4 v ose x, pružné uchycení přitl.kladky
 - b/ kmitání hmoty m_5 v ose y, pružné uchycení přitl.kladky
 - c/ kmitání hmot m_4, m_5 , pevné uchycení přitl.kladky
- 5.9 Průběh kmitání hmoty m_4 dvouosého matematického lineárního modelu s uvažováním ovalit opěrných kotoučů, při rozběhu rotoru
- 5.10 Měření tuhosti opěrných kotoučů
 - a/ tuhost dvojice nákrúžků opěrných kotoučů, uložení firmy Süssen - c_2
 - b/ tuhost jednoho nákrúžku opěrného kotouče, uložení firmy Süssen - c'_2

5.11 Měření tuhosti hnacího řemene

a/ tuhost řemene v podélném směru - c₅

b/ tuhost řemene v příčném směru - c₅₄

5.12 Měření tlumení nákružků opěrných kotoučů - k₂

5.13 Měření tlumení hnacího řemene

a/ tlumení řemene v podélném směru - k₅

b/ tlumení řemene v příčném směru - k₅₄

5.14 Cejchování analyzátoru,laseru (dB,lin)

5.15 Porovnávací měření kmitání rotoru pomocí laseru a piezoelektrických snímačů,výstup ze zapisovače analyzátoru

a/ měření laserem (16 050 min⁻¹)

b/ kontrolní měření laseru

c/ měření pomocí piezoelektrických snímačů

e/ měření laserem (21 600 min⁻¹)

f/ měření pomocí piezoelektrických snímačů

5.16 Měření pomocí laseru,výstup ze zapisovače analyzátoru

a/ -13/ měření při různých hodnotách otáček rotoru

5.17 Měření pomocí piezoelektrických snímačů,výstup ze zapisovače analyzátoru

a/ snímače v přední poloze,měněna velikost nevývažku

b/ snímače v zadní poloze,měněna velikost nevývažku

5.18 Fotografické snímky kmitání rotoru v ose x a y,měření pomocí piezoelektrických snímačů, 1.a 2. měřicí poloha

5.19 Řešení dvouosého matematického modelu,kmitání rotoru
v osách x a y, výstupy z DIGIGRAFU

5.20 Určení vlastní frekvence rotoru

5.21 Určení vibrací upevňovací desky,držáků měřicích přístrojů (laseru,fotonásobiče)

5.22 Snímky měřicího stendu

5.23 Výkres měřicího stendu

Příloha č.5.1/1

RESENI DIFERENCIALNICH ROVNIC - LINEARNI NARUST OTACEK
 PRO VYPOCET ROZBEHU. PROBLEMV A DOBEHU. VARIANTY PRO IC =
 1 KONST. TUHOSTI, = 2 NELIN. TUHOSTI, = 3 OVALITA

```

REAL      MAX,MIN,W(20),XP(4)
DIMENSION A(4),B(4),F(4),P(4),X(4),XK(4),Y(300),C(53),Z(300)
DATA      A(1),A(2),A(3),A(4)/0.0,0.5,0.5,1.0/
DATA      P(1),P(2),P(3),P(4)/1.0,2.0,2.0,1.0/
DATA      Q,R,S,U/" ",",","X","0"/

READ(5,70) IC,T0P,TKP,H,MP,(XP(I),I=1,4),(X(I),I=1,12)
FORMAT(12,1X,3(E8.4,1X),13,1X,12,4(1X,E8.4)/6(E9.4,1X))
READ(5,71) MK1,MK2
FORMAT(12,1X,12)
W(15)=0.
W(16)=W(11)
W(17)=T0P
W(18)=0.

N=4
T=T0P
TK=TKP
M2=1
M3=1
T1=0.
T1=6.0
M4=MK+2
DC 15 I=1,N
X(I)=XP(I)
WRITE(6,60) IC,T0,TK,H,(X(I),I=1,N)
FORMAT('1'//"' RESENI DIF. ROVNIC, UPRAVA -A-',3X,'ULOHA C.'//
'/I4//"' T0 =",F12.7,'TK =",F12.7,' H =",F12.7//'
//'" VEKTOR POCATECNIH PODMINEK ;'/(5F12.7)) 
WRITE(6,72) (W(I),I=1,11)
FORMAT(7//'" VEKTOR KONSTANT :',5X,'C2 =',E12.5,5X,'K2 =',E12.5/
/4X,'C3 =',E12.5,3X,'K3 =',E12.5,5X,'C5 =',E12.5/
/4X,'K5 =',E12.5,3X,'M4 =',E12.5,5X,'F5 =',E12.5/
/4X,'M4 =',E12.5,3X,'M5 =',E12.5,5X,'DM =',E12.5)
IF (IC.EQ.3) WRITE(6,75) W(12)
FORMAT(4X,'DEL =',E12.5)
A1=A*1E9
T2=TK-T0
Kab
KP=MP-1
MIN=1E9
MAX=-1E9
DC 5 I=1,N
B(I)=0.
DC 1 I=1,4
T*T0+A(I)*H
DC 2 J=1,N
XK(J)=X(J)*F(J)*A(1)
CALL FUNKCE(XK,T,F,N,W,IC)
DC 1 J=1,N
F(J)=F(J)*H

```

pfloha č.5.1/2

```
B(J)=B(J)+F(J)*P(I)
T=T+H
K=K+1
DO 9 I=1,N
X(I)=X(I)+B(I)/6.
IF (X(1).GT.MAX) MAX=X(1)
IF (X(1).LT.MIN) MIN=X(1)
IF (X(2).GT.MAX) MAX=X(2)
IF (X(2).LT.MIN) MIN=X(2)
IF (KP.LT.MP) GOTO 16
K=K+1
Y(K)=X(1)
Z(K)=X(2)
K=0
IF (T0.LE.TK) GOTO 4
DO 7 I=1,52
C(I)=0
E=(MAX-MIN)/50.
WRITE(6,61) MIN,MAX
FORMAT(1E15.5,2DX,E12.5,'      Y4',12X,'Y5',//',25('---'))
IF (MAX-MIN.GT.AMAX*4.E.QR.(T.GT.TI)) MY=MZ
IF (MZ.GT.MY) GOTO 17
IF (T.GT.TI) READ(5,74) TI
FORMAT(F5.2)
L=ABS(MIN)/E+1
IF (MIN+MAX.LT.0.0) C(L)=R
DO 8 I=1,K
L=(Y(I))-MIN)/E+1
M=(Z(I))-MIN)/E+1
RC=C(M)
QC=C(L)
C(M)=U
C(L)=S
WRITE(6,62) (C(J),J=1,51),Y(I),Z(I)
FORMAT(1X,51A1,1X,2E13.5)
C(M)=RC
C(L)=QC
OM=W(15)+W(16)*(T-W(17))
FI=W(18)+W(15)*(T-W(17))+.5*W(16)*(T-W(17))**2
BS=W(7)*OM**2*SIN(FI)
FORMAT(6,63) T0,OM,FI,BS
FORMAT(22X,'T0 =',E12.5//',OM =',E12.5,4X,'FI =',E12.5,4X,
/','4 =',E12.5)
IF (MZ.EQ.MK) GOTO 10
AMAX=MAX-MIN
MZ=MZ+1
TK=TK+TZ
IF (MK1.NE.MZ) GOTO 20
W(15)=W(11)*T0
W(16)=0.
W(17)=T0
W(18)=.5*W(11)*T0*T0
IF (MK2.NE.MZ) GOTO 11
W(18)=W(18)+W(15)*(T0-W(17))+.5*W(16)*(T0-W(17))**2
W(17)=T0
W(16)=W(11)
```

příloha č.5-1/3

```
GOTO 11
10 READ(5,73) 1K,W(1K)
11 FFORMAT(12.1X,E9.4)
12 IF (1K.EQ.30) GOTO 12
13 GOTO 14
14 STOP
15 END

SUBROUTINE FUNKCE(X,T,F,N,W,I)
DIMENSION X(N),F(N),W(20)
DM=W(15)+W(16)*(T-W(17))
F1=W(18)+W(15)*(T-W(17))+.5*W(16)*(T-W(17))**2
F(3)=W(7)*DM**2*SIN(F1)/W(9)-9.81
F(4)=(-W(6)*X(4)-W(5)*X(2)-W(8))/W(10)-9.81
F(2)=X(4)
F(1)=X(3)
GOTO 11,2,3,1
1 IF (X(1).LT.0.) F(3)=F(3)-(W(2)*X(3)+W(1)*X(1))/W(9)

IF (X(2).GT.X(1)) RETURN
F(3)=F(3)+(W(4)*(X(4)-X(3))+W(3)*(X(2)-X(1)))/W(9)
F(4)=F(4)-(W(4)*(X(4)-X(3))+W(3)*(X(2)-X(1)))/W(10)
RETURN
2 IF (X(1).LT.0.) F(3)=F(3)-(W(2)*X(3)+198.91E03*X(1)
/-2117.8E06*X(1)**2)/W(9)
IF (X(2).GT.X(1)) RETURN
F(3)=F(3)+(W(4)*(X(4)-X(3))+127.29E03*(X(2)-X(1))-3142.95E06*
/(X(2)-X(1))**2)/W(9)
F(4)=F(4)-(W(4)*(X(4)-X(3))+127.29E03*(X(2)-X(1))-3142.95E06*
/(X(2)-X(1))**2)/W(10)
RETURN
3 IF (X(1).LT.0.) F(3)=F(3)-(W(2)*X(3)+W(1)*(X(1)+W(12)
/*SIN(18./70.*F1)))/W(9)
IF (X(2).GT.X(1)) RETURN
F(3)=F(3)+(W(4)*(X(4)-X(3))+W(3)*(X(2)-X(1)))/W(9)
F(4)=F(4)-(W(4)*(X(4)-X(3))+W(3)*(X(2)-X(1)))/W(10)
RETURN
END
```

Příloha č.5.2/1

PROGRAM VÝPOČTU DVOUOSÉHO MATEMATICKÉHO MODELU

```

REAL      MAX,MIN,H(30),XP(8)
DIMENSION A(4),B(8),F(8),P(4),X(8),XK(8),C(90),
          G(160+4),IG(320),M(10),S(90),U(5)
/
DATA      A(1),A(2),A(3),A(4)/0.0,0.5,0.5,1.0/
DATA      P(1),P(2),P(3),P(4)/1.0,2.0,2.0,1.0/
DATA      Q,F,L//",",",","X","0","*","0","/"
READ(5,70) IC,T0,P,TK,H,MK,MP
FORMAT(12,1X,2(E8.4,1X),I2,1X,I2)
READ(5,71) N,(XF(I),I=1,N)
FORMAT(I2,5(1X,E8.4)/(2X,5(1X,E8.4)))
READ(5,71) NW,(W(I),I=1,NW)
NC=N/2
CALL INI(2)
CALL LMT(-30000,-35000,30000,35000)
CALL AXS(-24000,2,24000,2,-4000,1,-1,2,0,4,1,0)
CALL AXS(2,-30000,0,30000,-10000,1,-1,5,1,0,1,0)
H T0=T0P
TK=TKP
N2#1
M#1
TI#0,
TI#6,
HY=MK+2
DO 15 I=1,N
15 X(I)=XP(I)
WRITE(6,60) IC,T0,TK,H,MK,MP,(X(I),I=1,N)
FORMAT('1',//', RESENI DIFERENCIALNICH ROVNIC',10X,'0,',',16//
', T0 =',F12.7,', TK =',F12.7,', H =',F12.7,', MK =',I6,
', MP =',I6//', VEKTOR POCATECNICH PODMINEK :/(10F12.7))
WRITE(6,72) (I,W(I),I=1,NW)
FORMAT(//', VEKTOR KONSTANT :/5(5X,W(1,I2,',') =',E12.5))
AMAX=1E9
T2#TK-T0
K#0
KP#MP-1
MIN=1E9
MAX=-1E9
16 IG(1)=X(1)*2.0E09
16 IG(2)=X(2)*2.0E09

VYPOCET METODOU FUNKE-KUTHA
DO 5 I=1,N
B(I)=g,
DO 1 I=1,4
T#T0+A(I)*H
DO 2 J=1,N
XK(J)=X(J)+F(J)*A(I)
CALL FUNKCE(XK,T,F,N,W,IC)
DO 1 J=1,N
F(J)=F(J)+h

```

Příloha č.5.2/2

```

1      B(J)=C(J)*F(J)*F(I)
1      T0=TK+H
1      KP=KP+1
1      DC 9 I=1,N
1      X(I)=X(I)+B(I)/6.
1      DC 30 I=1,NG
1      IF (X(I),GT,MAX) MAX=X(I)
1      IF (X(I),LT,MIN) MIN=X(I)
1      IF (KP,LT,NP) GOTO 16
1      K=K+1
1      DC 31 I=1,NG
1      G(K,I)=X(I)
1      IG(2*K+1)=X(1)*2.0E08
1      IG(2*K+2)=X(2)*2.0E08
1      KP=0
1      IF (T0,LE,TK) GOTO 4
1      E=(MAX-MIN)/65.
1      WRITE(6,61) MIN,MAX,(I,U(I),I=1,NG)
1      FORMAT(1E15.5,4X,1E12.5,4X,4('X('),I1,''),1A1,6X))
1      WRITE(6,64)
1      FORMAT(' ',40('-----'))
1      IF (MAX-MIN,GT,4*MAX+4*E,OR,(T,GT,TK)) MY=MZ+1
1      IF (MZ,GT,MY) GOTO 17
1      IF (T,GT,TK) READ(5,74) TI
1      FORMAT(F5.1)
1      DC 7 I=1,70
1      C(I)=0
1      L=ABS(MIN)/E+1
1      IF (MIN*MAX,LT,0.0) C(L)=R
1      DC 33 I=1,70
1      S(I)=C(I)
1      DC 8 I=1,K
1      DC 32 J=1,NG
1      L=(G(I,J)-MIN)/E+1
1      C(L)=U(J)
1      M(J)=L
1      WRITE(6,62) ((C(J),J=1,66),(G(I,J),J=1,NG))
1      FORMAT(1X,66A1,1X,B(E13.5))
1      DC 8 J=1,NG
1      C(M(J))=S(M(J))
1      KG=K+1
1      CALL LIN(IG,KG)
1      WRITE(6,63) T0
1      FORMAT(22X,'T0 = ',E12.5)
1      IF (MZ,EQ,MK) GOTO 10
1      AMAX=MAX-MIN
1      MZ=MZ+1
1      TK=TK+TZ
1      GOTO 11
1      READ(5,73) IK,W(IK)
1      FORMAT(I2,E11.5)
1      IF (IK,EQ,30) GOTO 12
1      GOTO 14
1      CALL ECF
1      STOP
1      END

```

Příloha č.5.2/3

```

SUBROUTINE FLNKCE(X,T,F,N,W,I)
DIMENSION X(N),F(N),W(30)
F(5)=(W(12)*X(2)*0.0215*W(19)**2*COS(W(19)*T)-(W(1)+W(3))*X(1)-
/COS(W(20))-(W(2)+W(4))*X(5)*COS(W(20))+W(11)*(X(4)*
/W(SIN(W(21)))-X(1))+W(12)*(X(8)*COS(W(21))-X(5)))/W(13)
F(6)=(W(18)*X(2)*0.0215*W(19)**2*SIN(W(19)*T)-(W(1)+W(3))*X(2)-
/SIN(W(20))-(W(2)+W(4))*X(6)*SIN(W(20))+W(11)*(X(4)*
/SIN(W(21))-X(2))+W(12)*(X(8)*SIN(W(21))-X(6))+W(9)*
/(X(3)*X(2))+W(18)*(X(7)-X(6))/W(13)-9.81
F(7)=(-W(16)-W(5)*(X(3)-X(2))-W(10)*(X(7)-X(6))-W(5)*
/X(3)-W(6)*X(7))/W(14)-9.81
F(8)=(-W(17)-W(11)*(X(4)-X(1)/COS(W(21)))-W(12)*(X(8)-
/X(5)/COS(W(21)))-W(7)*X(4)-W(8)*X(8))/W(15)-9.81*SIN(W(21))
F(1)=X(5)
F(2)=X(6)
F(3)=X(7)
F(4)=X(8)
RETURN
END

```

	0,05	0,002	0,05	0,25
0,0385	0,0028	0,02	0,35	
-0,0372	0,0018	0,02	0,29	
0,0485	0,004	0,02	0,495	
0,22	0,02	0,18	1,12	
0,194	0,024	0,18	0,98	
0,204	0,027	0,18	1,02	
0,199	0,022	0,18	0,98	
0,212	0,02	0,18	1,02	

Výkres č. 3 - Srovnává zadané klínové polohy mostu s
výkresem výkresu případu nejdůležitějšího mostu. Zadané polohy dle
Výkresu č.3 a č.17 se výkresu výkresů výsledků vypočítaných s jevílem se
não významně.

Výkresy hodnoty λ grafy probíhají kmitání mostu č. 4 a č. 6.
Výkresy hodnoty λ grafy probíhají výkresům výsledků jeho výpočtu
výkresy ty, když ohromují největší příkon výkresu
výkresu a přinášejí k největší.

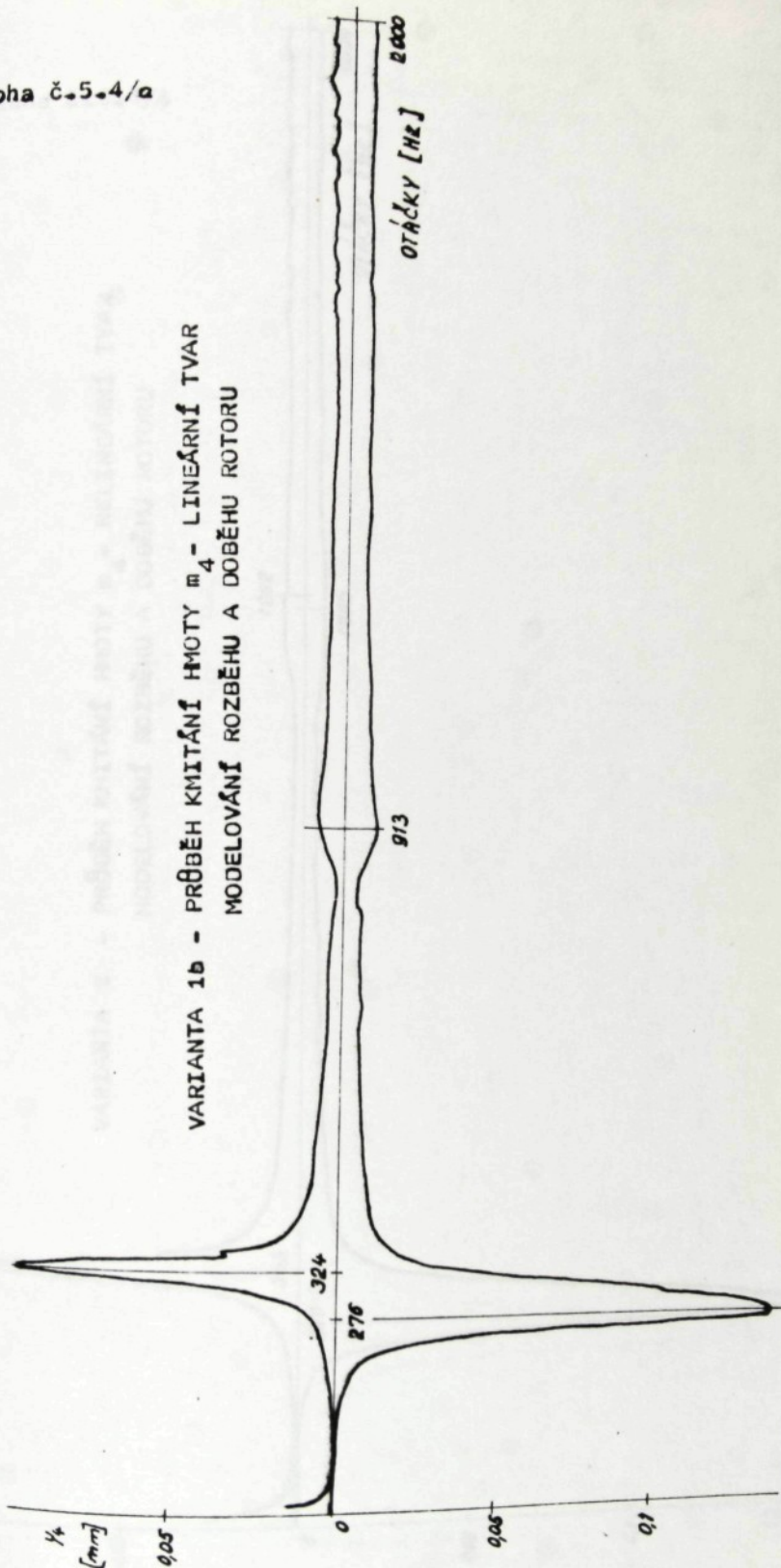
příloha č.5.3

p o ř. č.	počáteční hodnota amplitudy	konečná hodnota amplitudy	čas tlumení	utlumení pohybu
	mm	mm	s	
1	0,018	0,002	0,06	0,27
2	0,0156	0,0019	0,06	0,22
3	0,0138	0,0019	0,06	0,19
4	0,0147	0,002	0,06	0,21
5	0,0188	0,0026	0,06	0,27
6	0,0195	0,0029	0,06	0,28
7	0,03664	0,005	0,06	0,53
8	0,113	0,0007	0,06	1,87
9	0,03	0,002	0,09	0,3
10	0,0355	0,0028	0,09	0,36
11	0,0372	0,0019	0,09	0,39
12	0,0486	0,004	0,09	0,495
13	0,22	0,02	0,18	1,11
14	0,199	0,022	0,18	0,98
15	0,204	0,0217	0,18	1,01
16	0,199	0,022	0,18	0,98
17	0,202	0,02	0,18	1,01

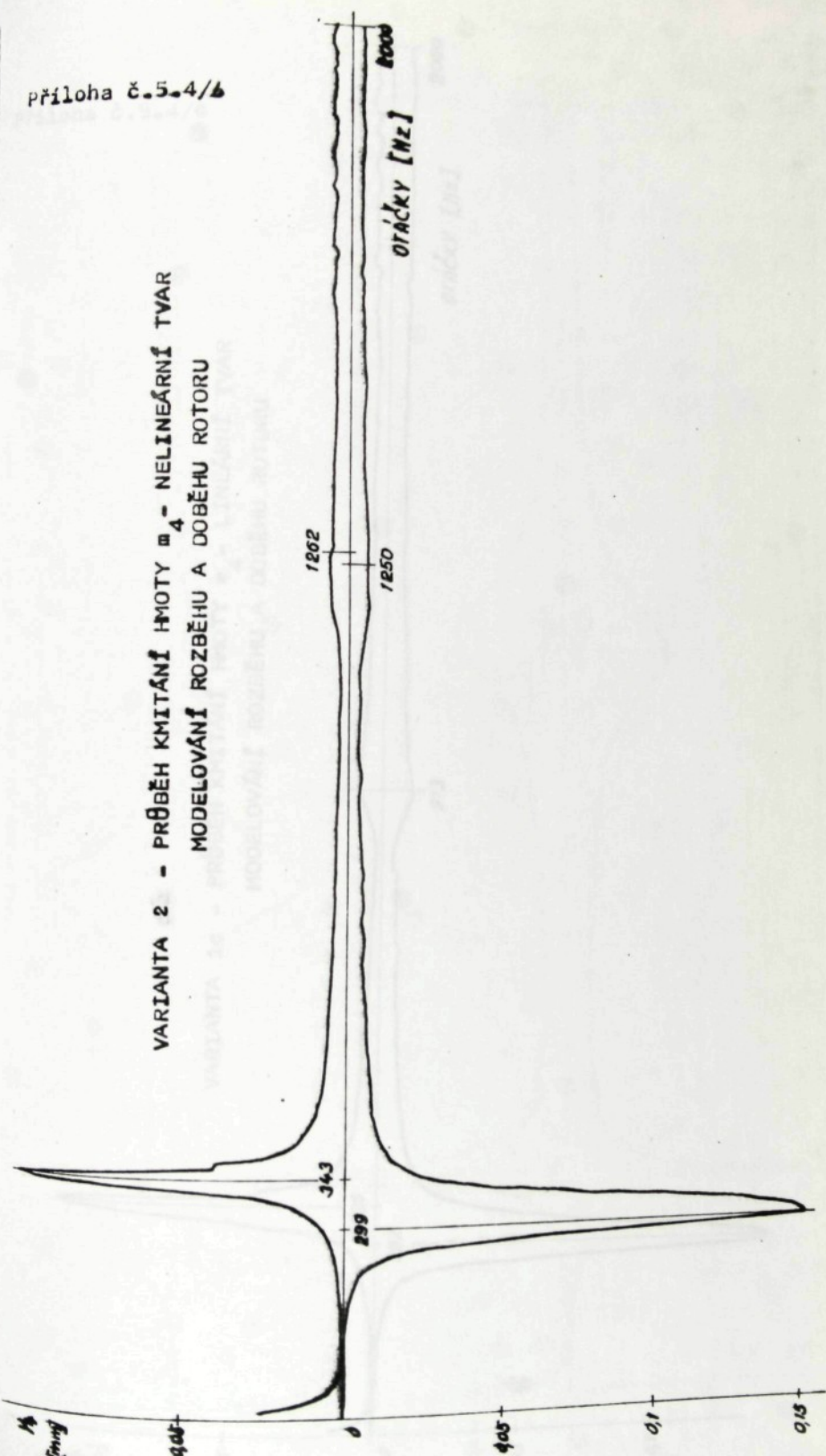
Z variant 1 - 6 vyplývá značné tlumení pohybu hmoty m_4 , které v našem případě nebude ani nutné. Tlumení pohybu dle variant 13 - 17 se ověřilo v dalších výpočtech a jevilo se jako vyhovující.

Vypočtené hodnoty i grafy průběhů kmitání hmot m_4, m_5 , případně m_6 během přechodových stavů, stejně jako ostatní další výpočty, jsou shromážděny ve zvláštní příloze výpisu z počítače a přístupny k nahlédnutí.

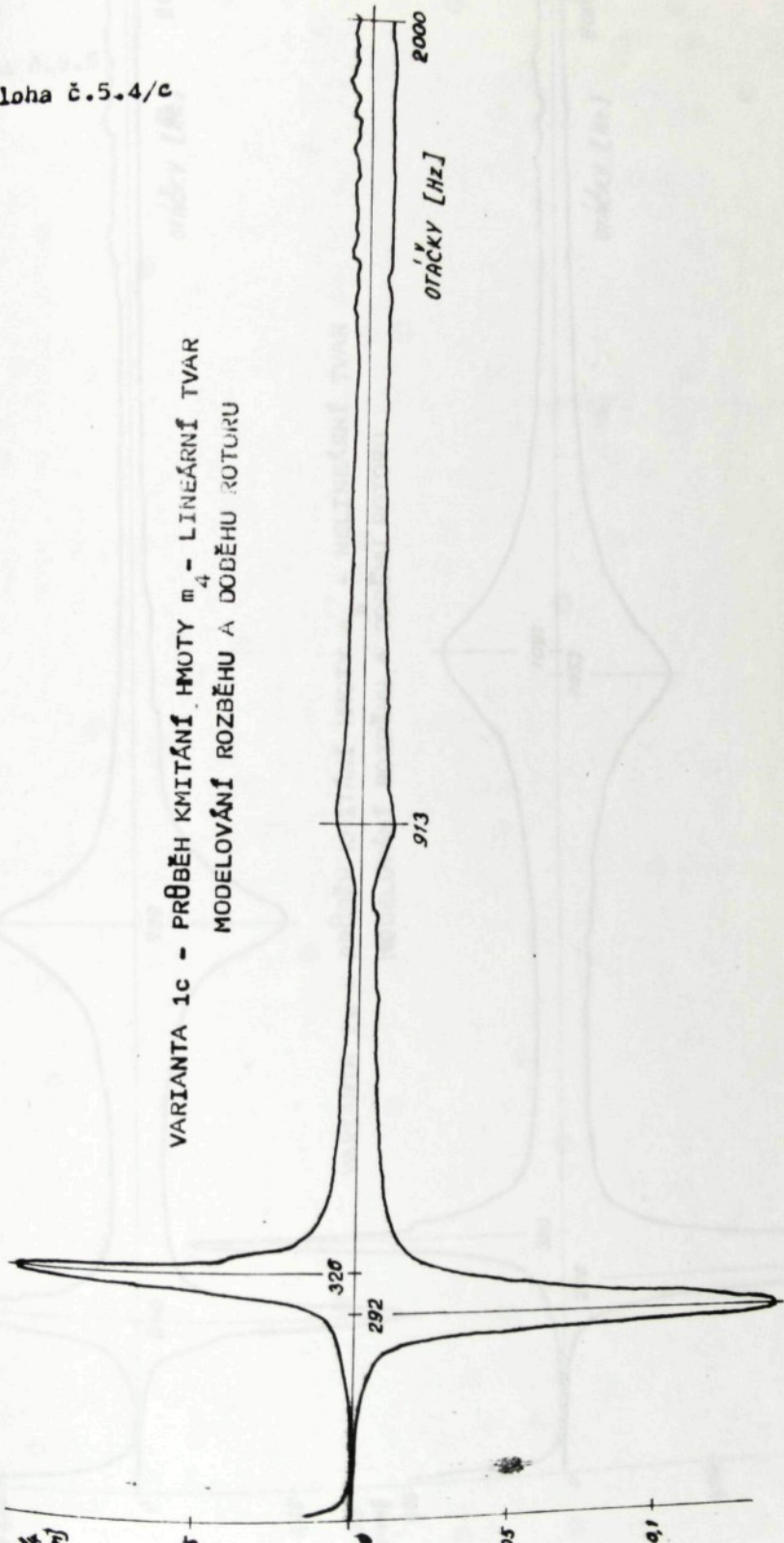
VARIANTA 1b - PRŮBĚH KMITÁNÍ Hmoty $\frac{m}{4}$ - LINEÁRNÍ TVAR
MODELOVÁNÍ ROZBĚHU A DOBĚHU ROTORU



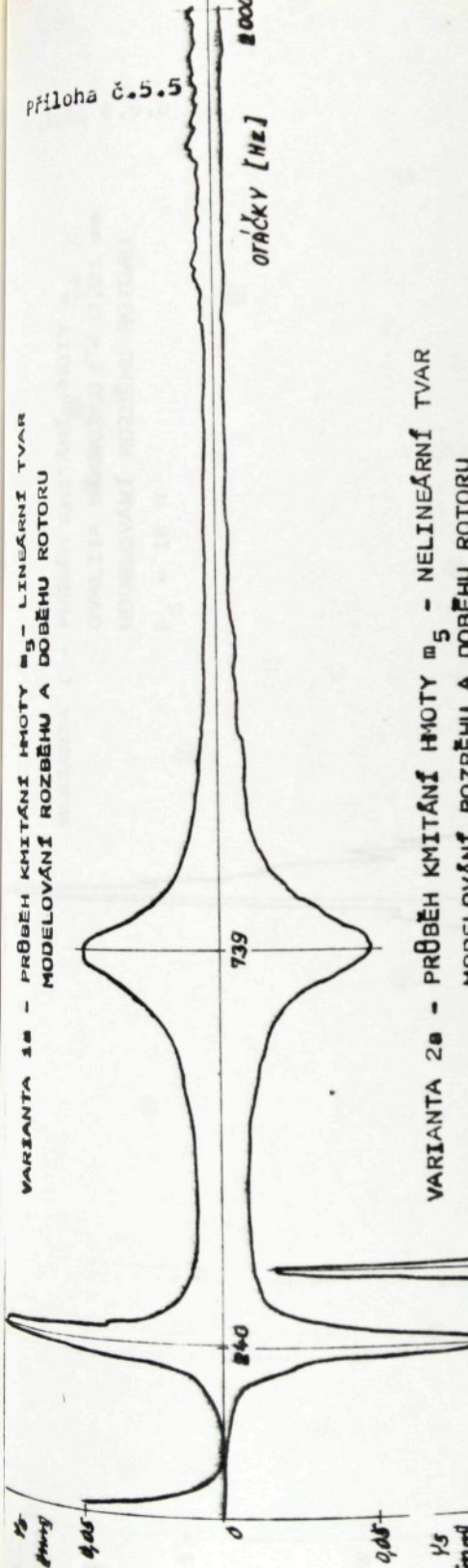
VARIANTA 2 - PRŮBĚH KMITÁNÍ Hmoty m_4 - NELINEÁRNÍ TVAR
MODELOVÁNÍ ROZBĚHU A DOBĚHU ROTORU



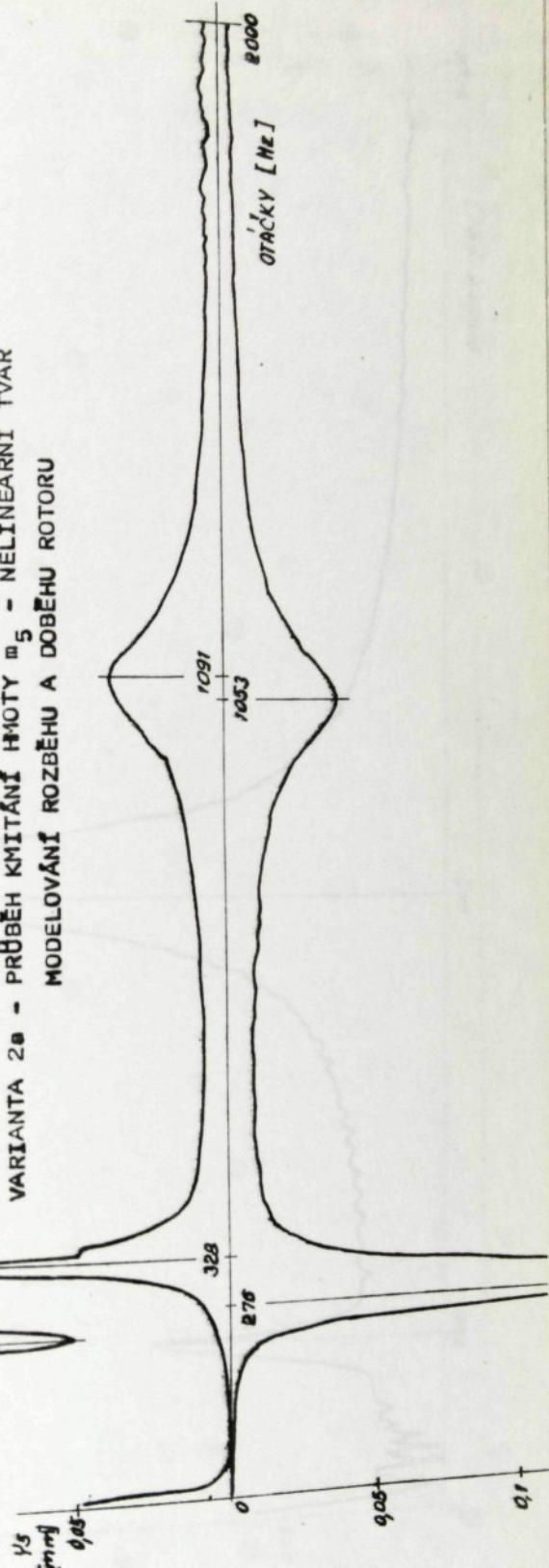
VARIANTA 1c - PRŮBĚH KMITÁNÍ HMOTY m_4 - LINEÁRNÍ TVAR
MODELOVÁNÍ ROZBĚHU A DODĚHU ROTURU



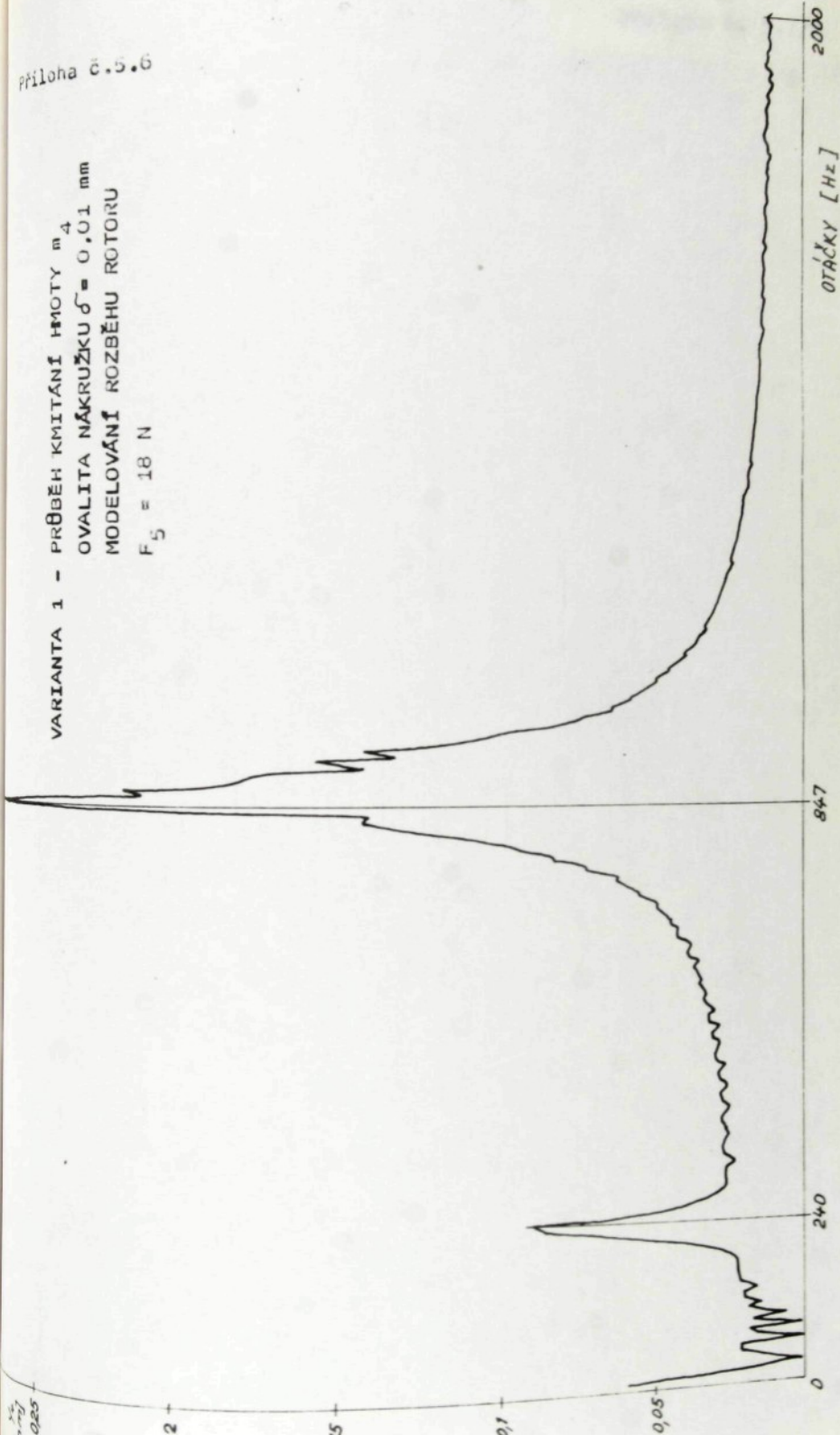
VARIANTA 1a - PRŮBĚH KMITÁNÍ HMOTY m_5 - LINIÁRNÍ TVAR
MODELOVÁNÍ ROZBĚHU A DOBĚHU ROTORU



VARIANTA 2a - PRŮBĚH KMITÁNÍ HMOTY m_5 - NELINIÁRNÍ TVAR
MODELOVÁNÍ ROZBĚHU A DOBĚHU ROTORU



VARIANTA 1 - PRŮBĚH KMITÁNÍ Hmoty m_4
OVALITA NÁKRUŽKU $\delta = 0,01$ mm
MODELOVÁNÍ ROZBĚHU ROTORU
 $F_S = 18$ N



DVOUDÝ MATEMATICKÝ MODEL

PŘECHODOVÉ STAVY KMITÁNÍ SPRÁDACÍHO ROTORU ($n = 4000$)

ŘEMENE A PŘITLAČNÉ KLADKY

HODNOTY PRO VÝPOČET DLE TAB. 8.7/1, POČ. PODMÍNKY $x_0 =$

VÝPLÍTUODY

KMITÁNÍ

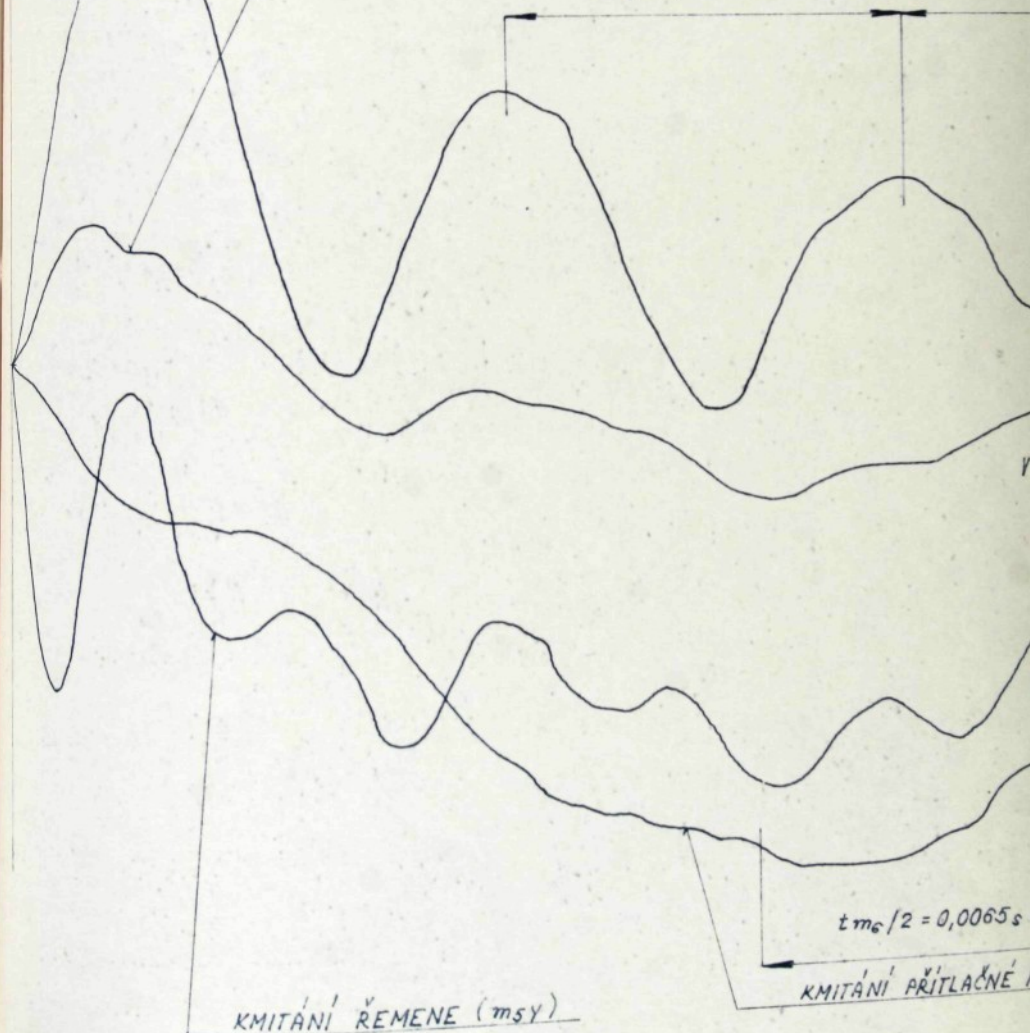
KNOT m_4, m_5, m_6

KMITÁNÍ ROTORU V OSĚ X (m_{4x})

KMITÁNÍ ROTORU V OSĚ Y (m_{4y})

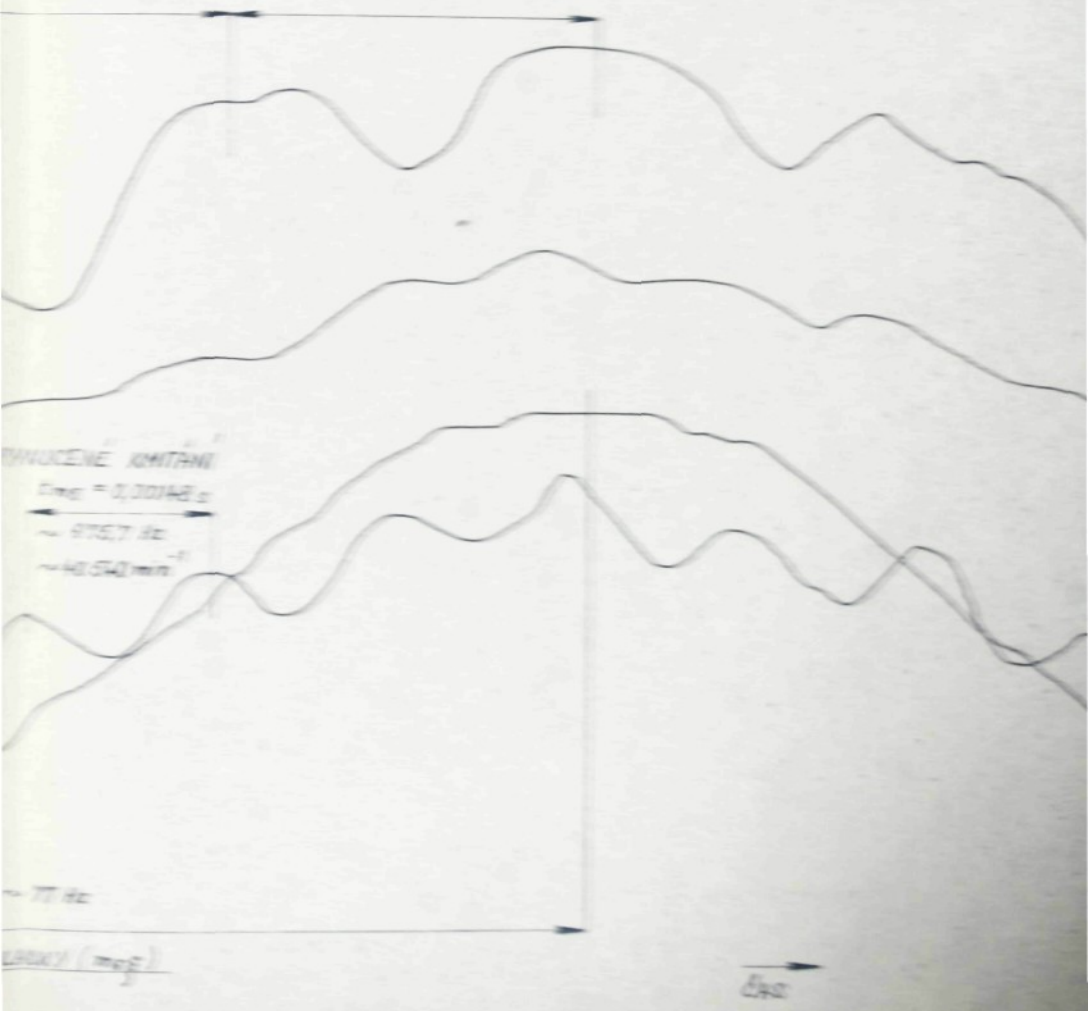
VLASTNÍ FREKVENCE KMITÁNÍ ROTORU

$$t_{m_4} = 0,0032 \text{ s} \sim 312 \text{ Hz}$$



cm^{-1}

$\nu_1 = 1,05 \text{ mm}^{-1}$, $\nu_2 = 2,05 \text{ mm}^{-1}$



DVOUOSÝ MATEMATICKÝ MODEL

PŘECHODOVÉ STAVY KMITÁNÍ SPRÁDACÍHO ROTORU ($n = 1200$)

ŘEMENE A PŘITLAČNÉ KLDKY

HODNOTY PRO VÝPOČET DLE TAB. Č. 7/1, POČ. PODMÍNKY

AMPLITUODY

KMITÁNÍ

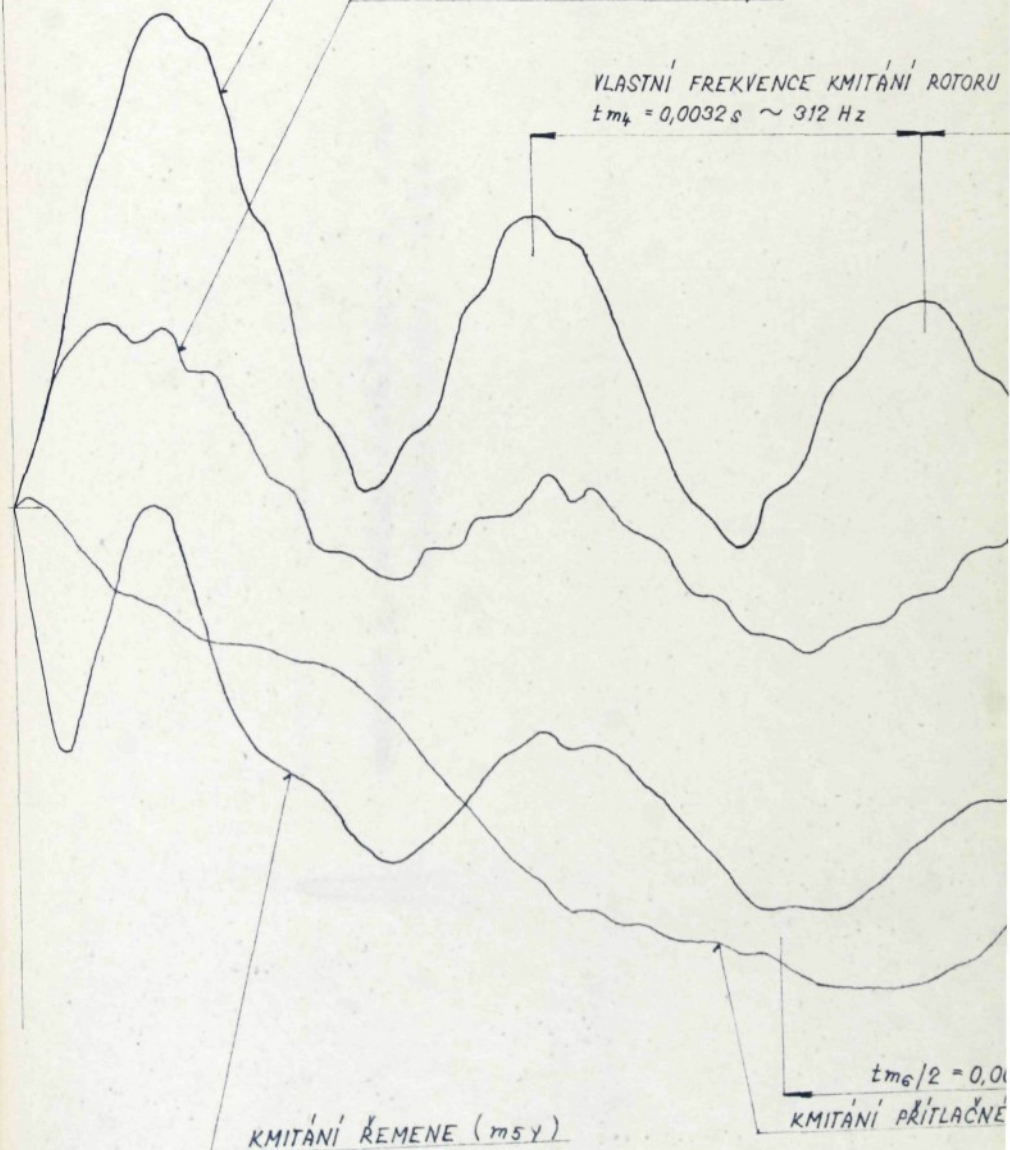
HMOT m_4, m_5, m_6

KMITÁNÍ ROTORU V OSĚ X (m_4x)

KMITÁNÍ ROTORU V OSĚ Y (m_4y)

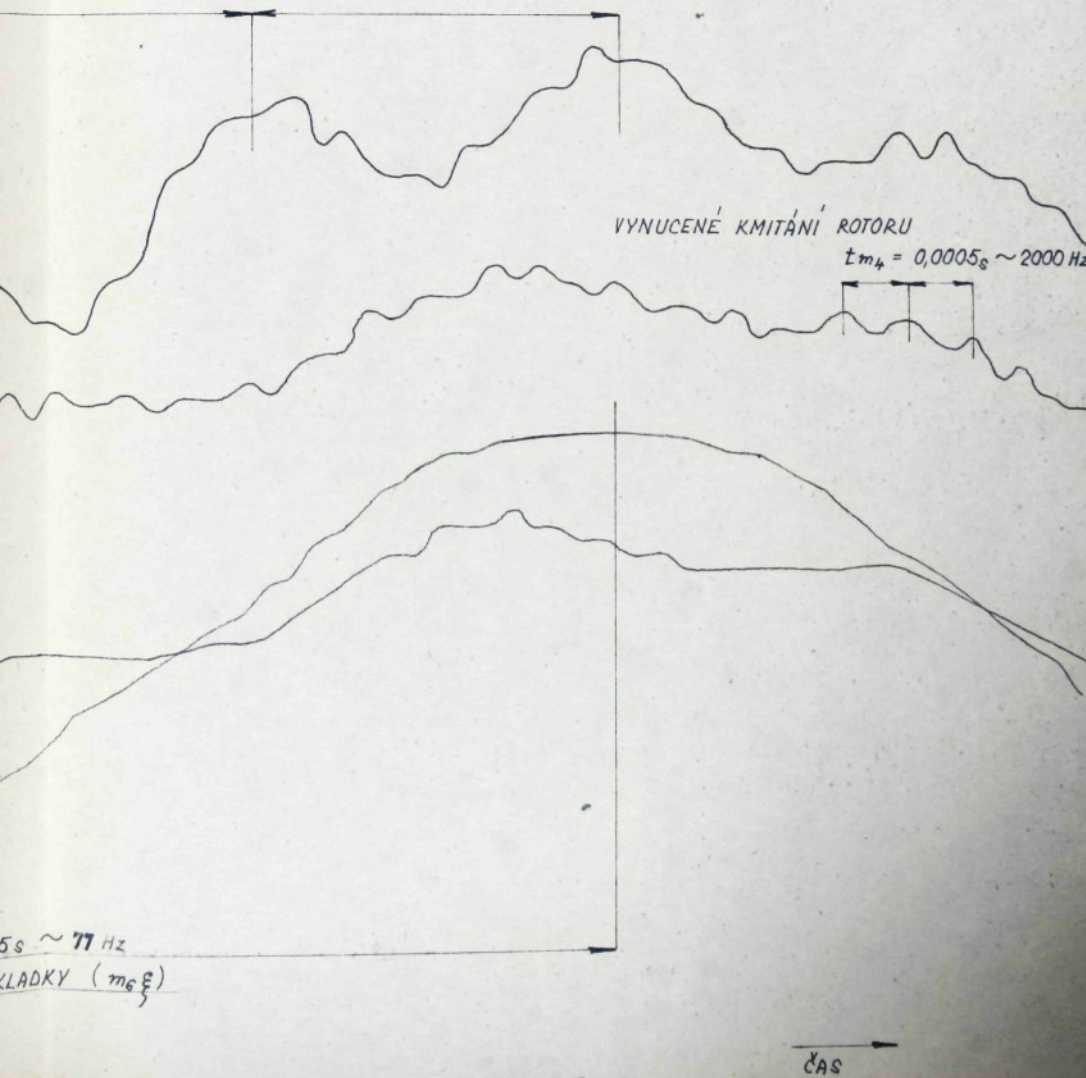
VLASTNÍ FREKVENCE KMITÁNÍ ROTORU

$$t_{m_4} = 0,0032 \text{ s} \sim 312 \text{ Hz}$$

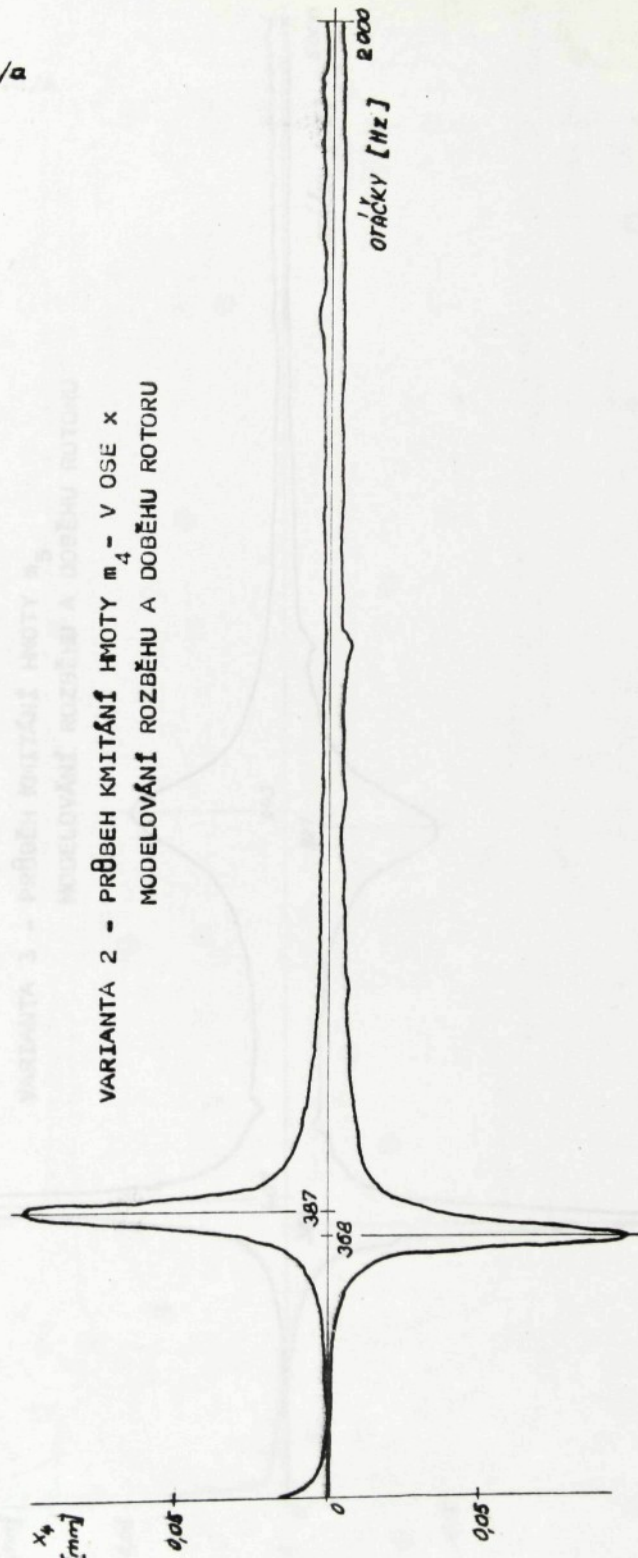


10 min^{-1}),

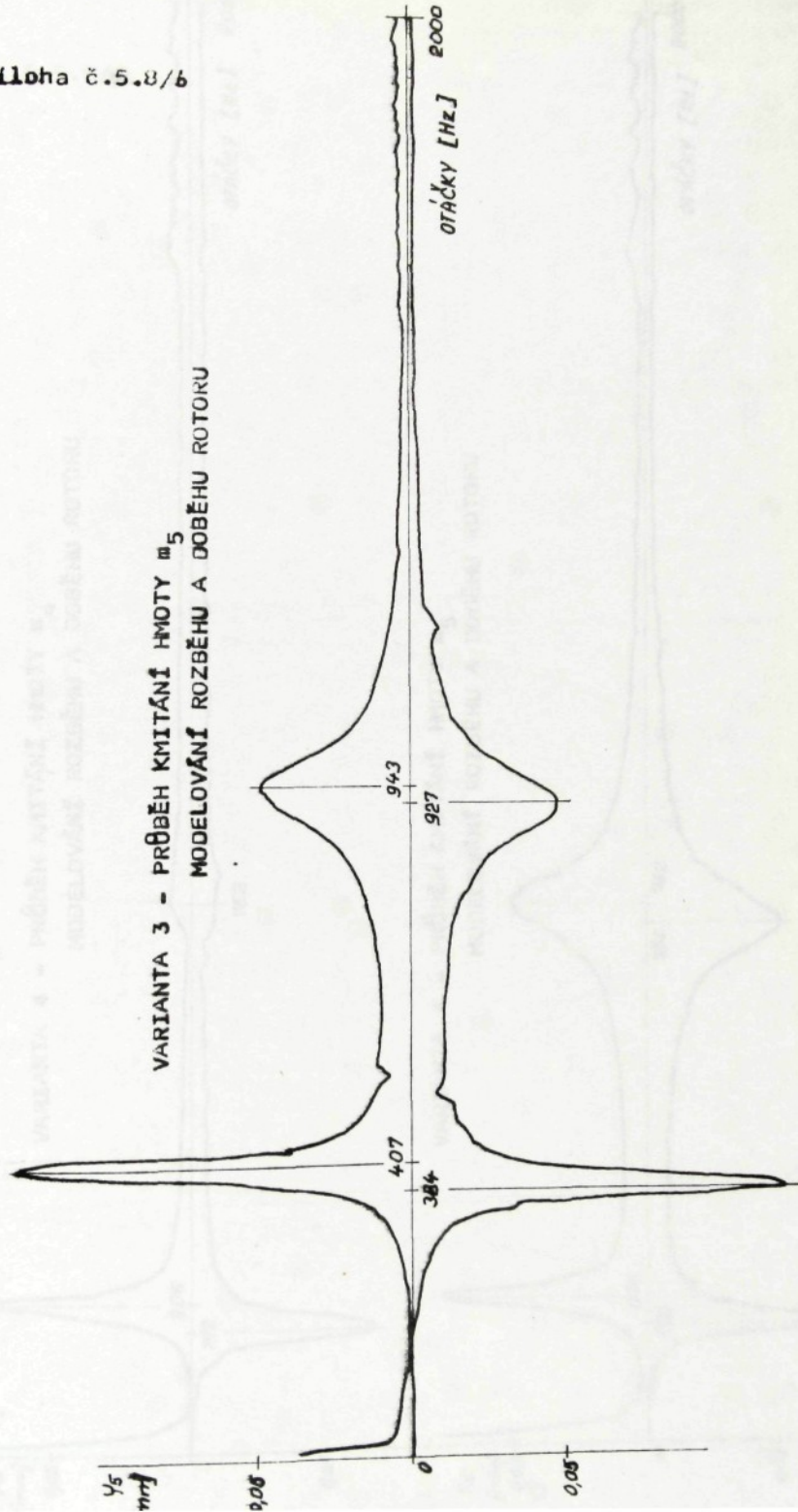
$X_0 = 0,05 \text{ mm}, Y_0 = 0,05 \text{ mm}$



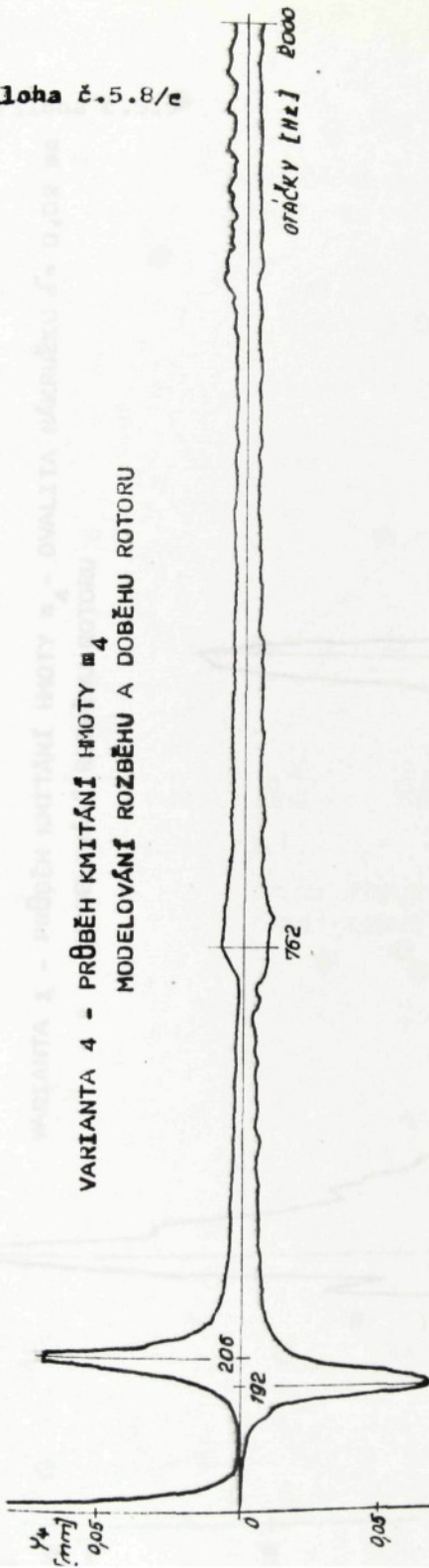
VARIANTA 2 - PROBĚH KMITÁNÍ HMOTY m_4 - V OSÉ X
MODELOVÁNÍ ROZBĚHU A DOBĚHU ROTORU



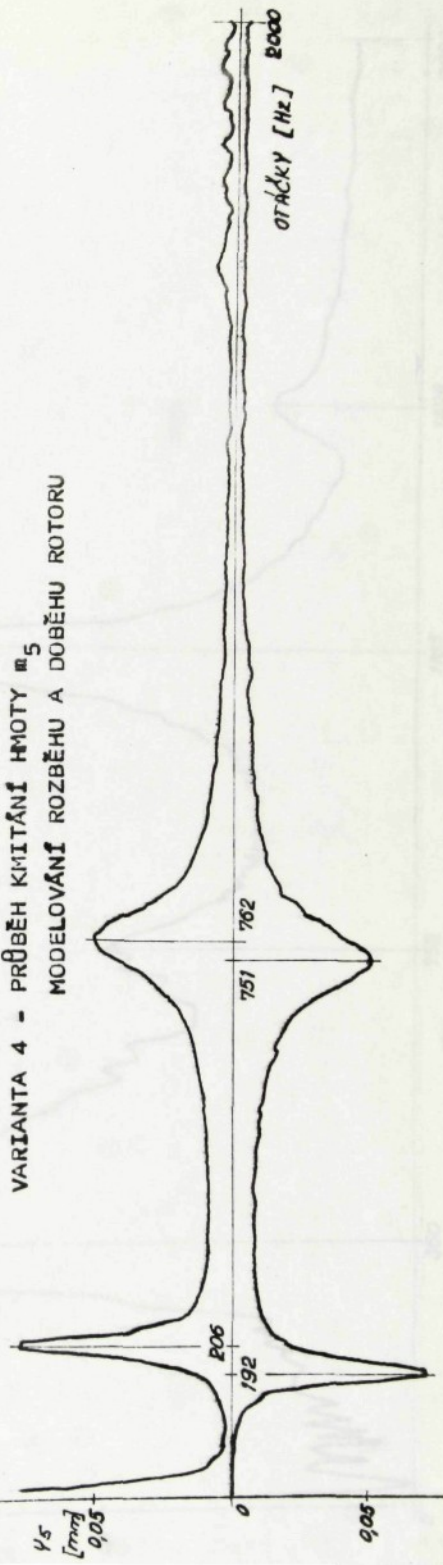
VARIANTA 3 - PRŮBĚH KMITÁNÍ HMOTY m_5
MODELOVANÝ ROZBĚHU A DOBEŽHU ROTORU



VARIANTA 4 - PRŮBĚH KMITÁNÍ HMOTY m_4
MODELOVÁNÍ ROZBĚHU A DOBĚHU ROTORU

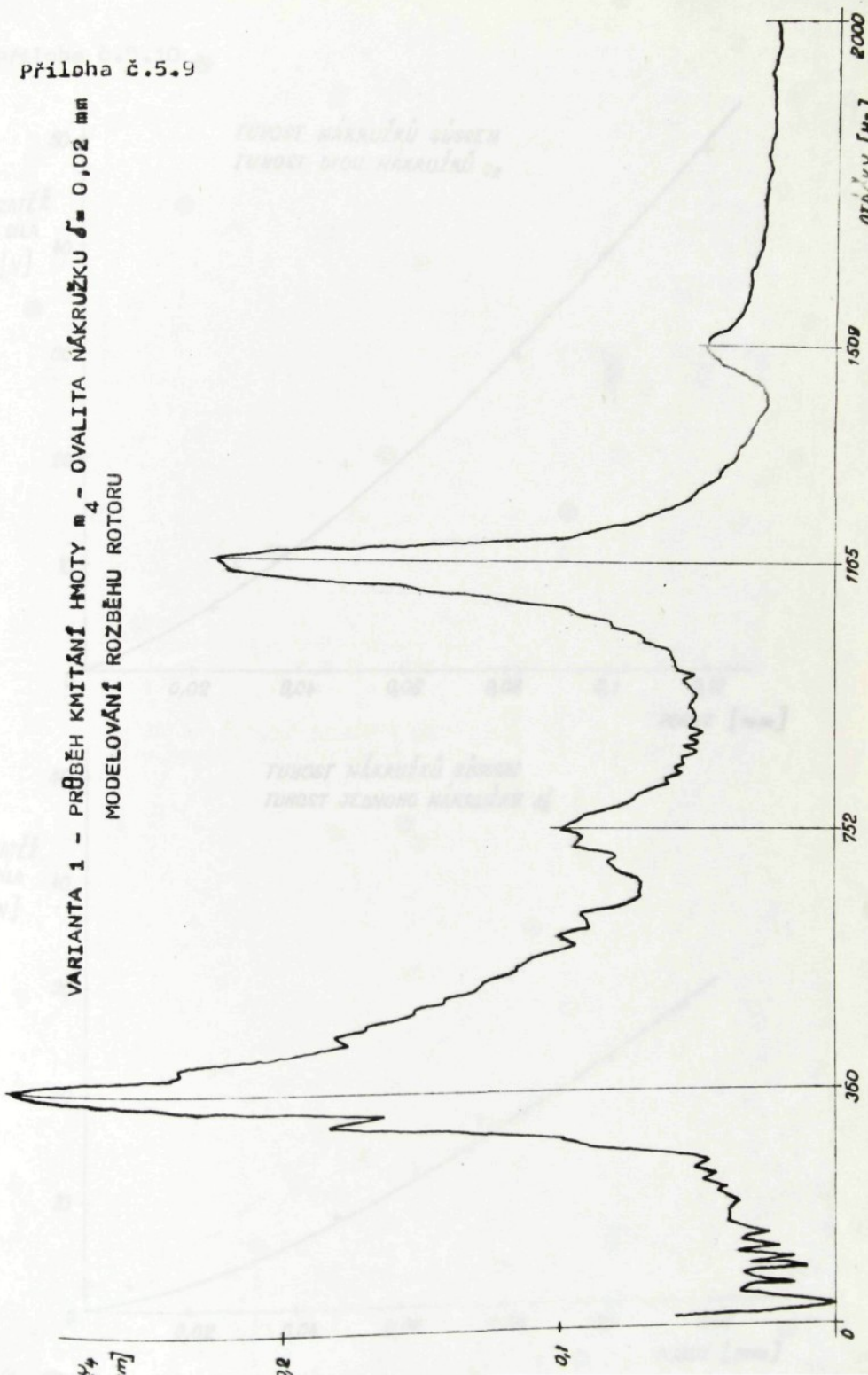


VARIANTA 4 - PRŮBĚH KMITÁNÍ HMOTY m_5
MODELOVÁNÍ ROZBĚHU A DOBĚHU ROTORU

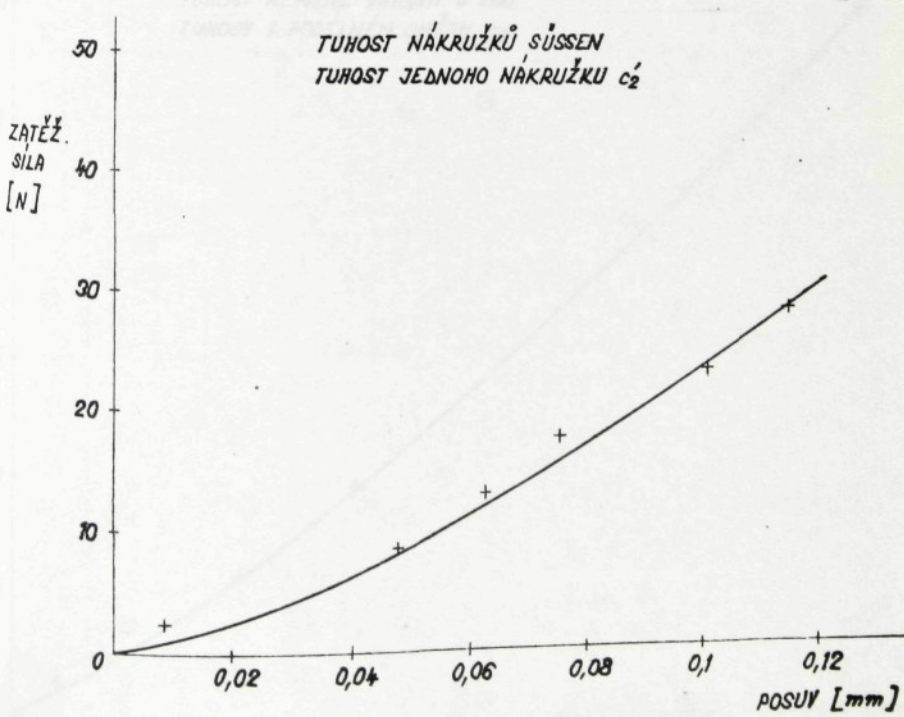
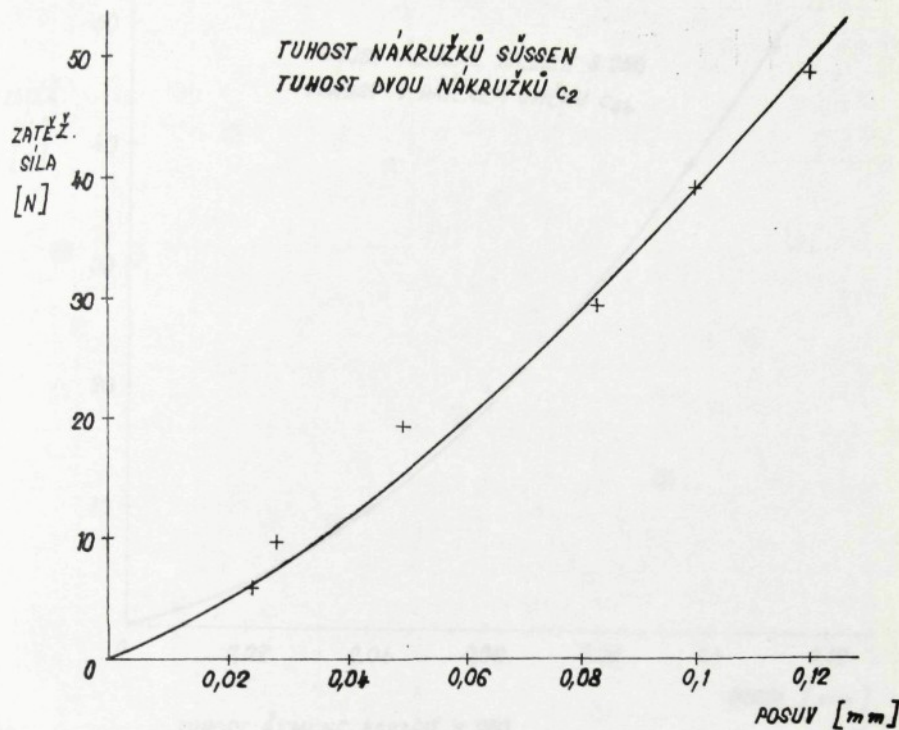


Příloha č. 5.9

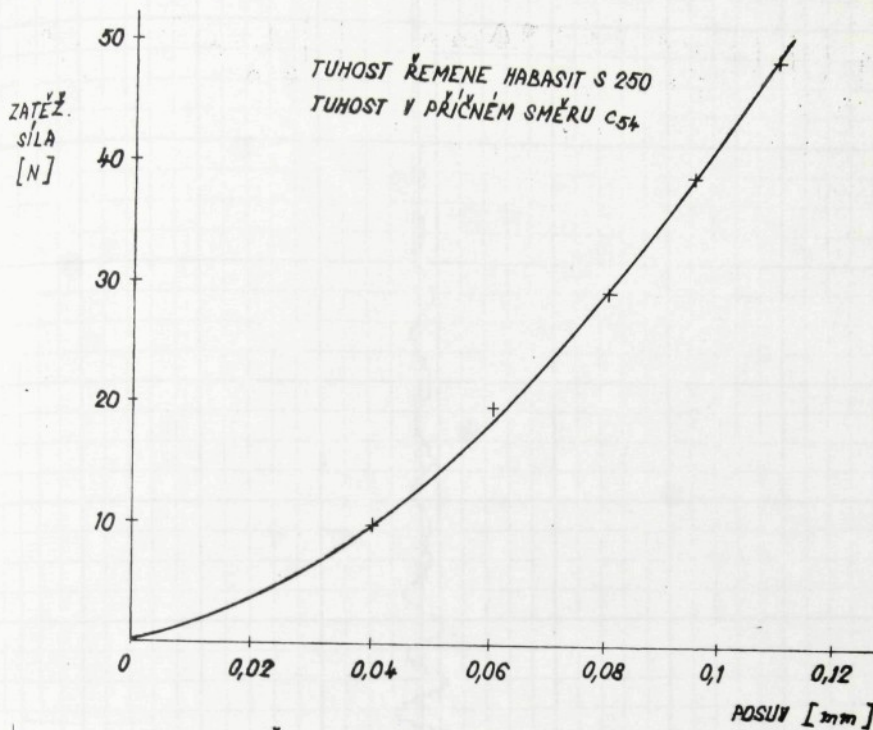
VARIANTA 1 - PRŮBĚH KMITÁNÍ HMOTY m_4 - OVALITA NÁKRUŽKU $\delta = 0,02$ mm
MODELOVÁNÍ ROZBĚHU ROTORU



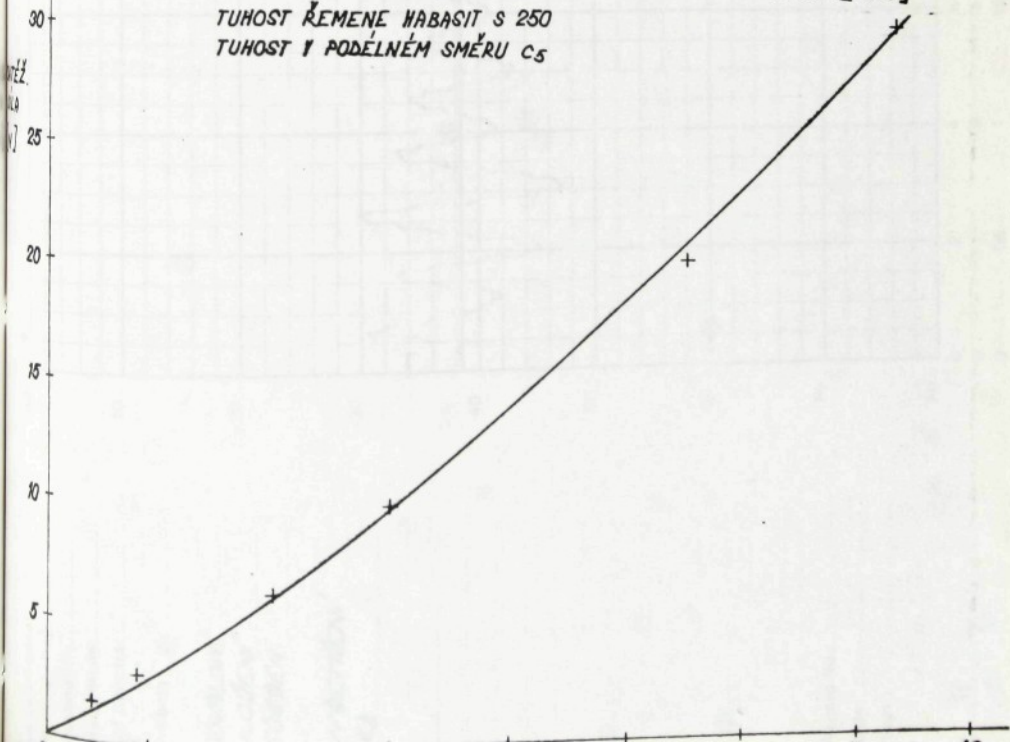
Příloha č. 5.10



Příloha č.5.11



TUHOST ŘEMENE HABASIT S 250
TUHOST V PODÉLNÉM SMĚRU C5



full Scale Level:

S. Frequency:

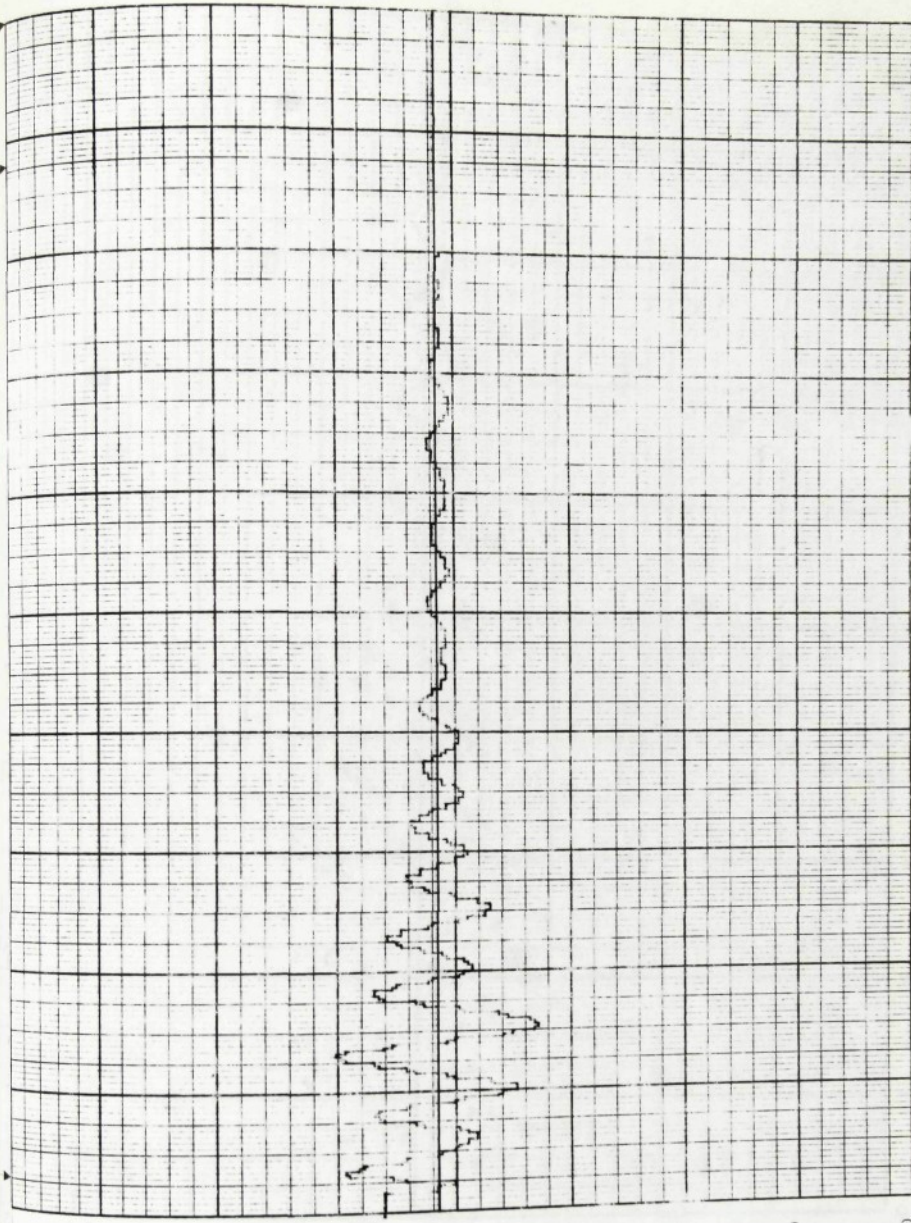
Lighting:

Brake Mode:

of Spectra:

Comments:

DIALONE
LOZEN'
DUGEN
NISTEN'



Record No.:

Date:

Sign:

20	40	80	0	2	4	6	8	10	12	14	16	18	20
0	0	0.5	0	1	2	3	4	5	6	7	8	9	10
0	0	0.5	1	1.5	2	2.5	3	3.5	4	4.5	5	5.5	6

Full Scale Level:

0.00

Frequency:

Weighting:

Average Mode:

No. of Spectra:

10

20

30

40

50

60

70

80

90

100

110

120

130

140

150

160

170

180

190

200

210

220

230

240

250

260

270

280

290

300

310

320

330

340

350

360

370

380

390

400

410

420

430

440

450

460

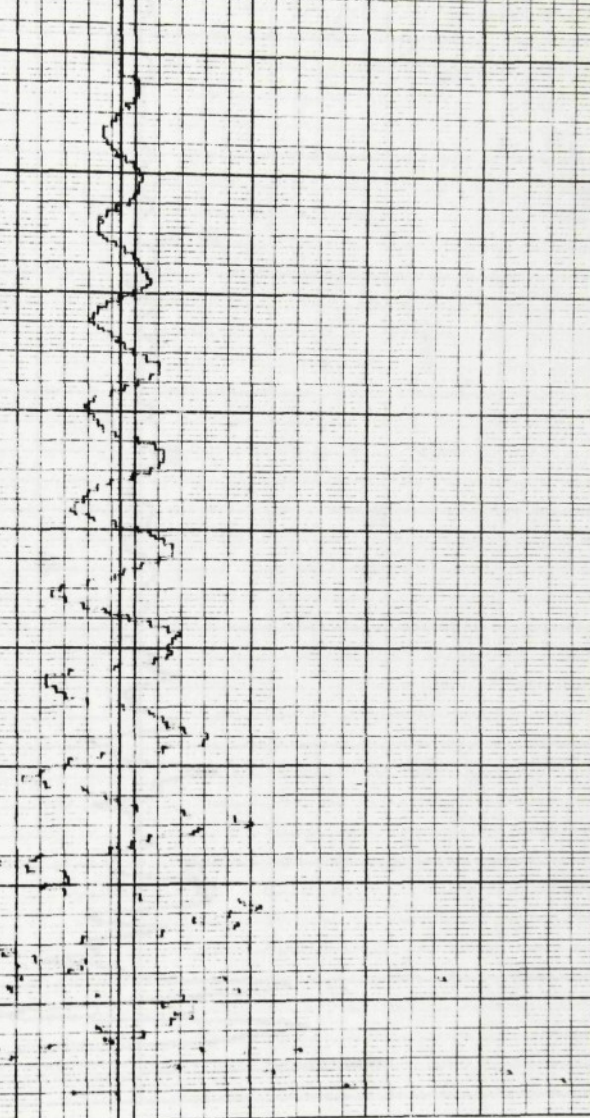
470

480

490

RECORD
S 250
THB93/T

WSETTEEN
65



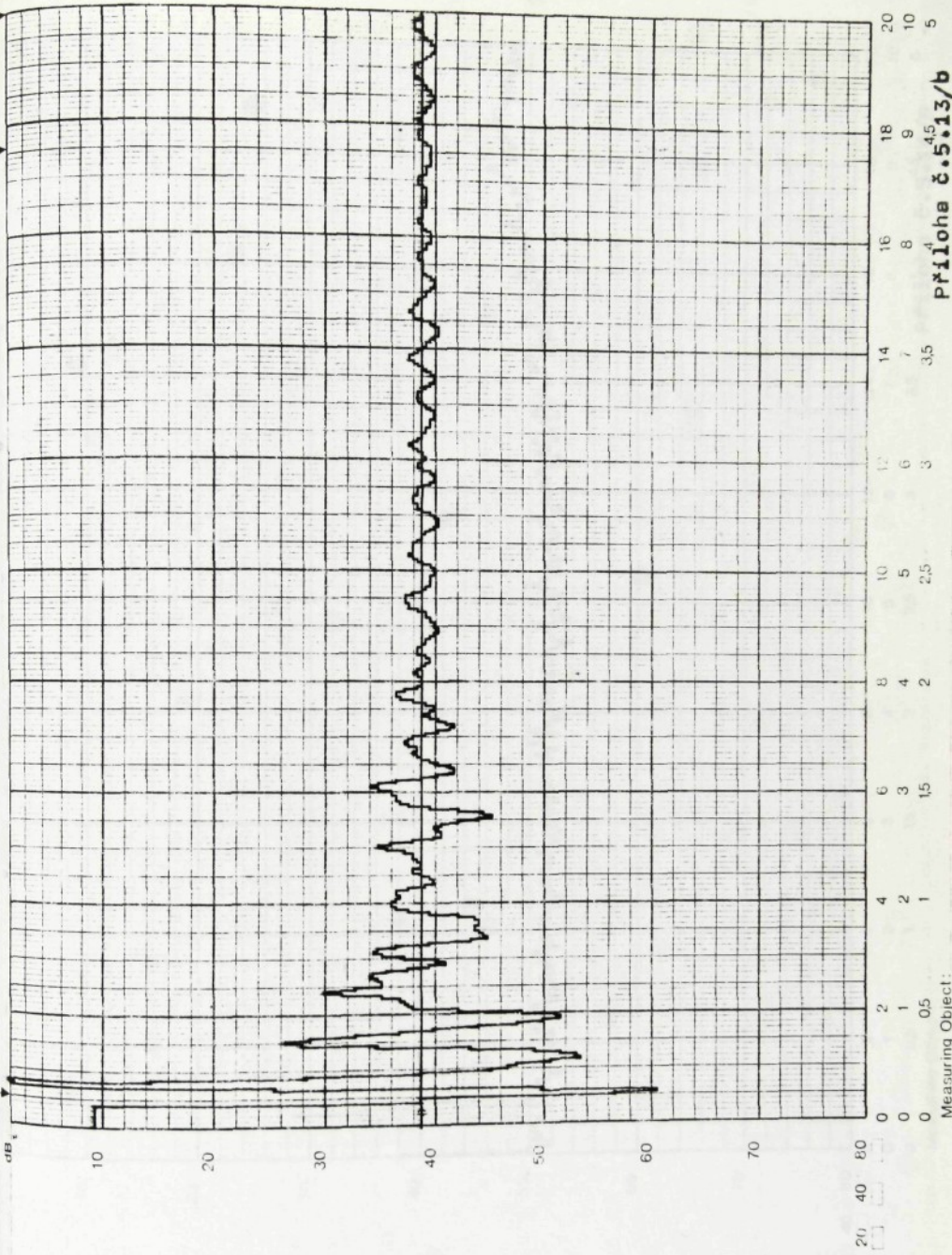
Record No.: _____
Date: _____
Sign.: _____

20 40 80 0 2 4 6 8 10 12 14 16 18 20
0 1 2 3 4 5 6 7 8 9 10
0 0.5 1 1.5 2 2.5 3 3.5
0 0.05 0.1 0.15 0.2 0.25 0.3 0.35
Measuring Object: Pfilohs C.5.13/8

Full Scale Level: 22.62
F. S. Frequency: 22.62
Weighting: 22.62

Average Mode:
No. of Spectra: 10

Comments:
*Acetan
S 250
MABASIT
K50*



Record No.:
Date:
Sign:

20 40 80 0

0	1	2	3	4	5	6	7	8	9	10	11	12	13	14	15	16	17	18	19	20
0	0.5	1	1.5	2	2.5	3	3.5	4	4.5	5	5.5	6	6.5	7	7.5	8	8.5	9	9.5	10

11. Scale Level:
S. Frequency:
lighting:

10

20

30

40

50

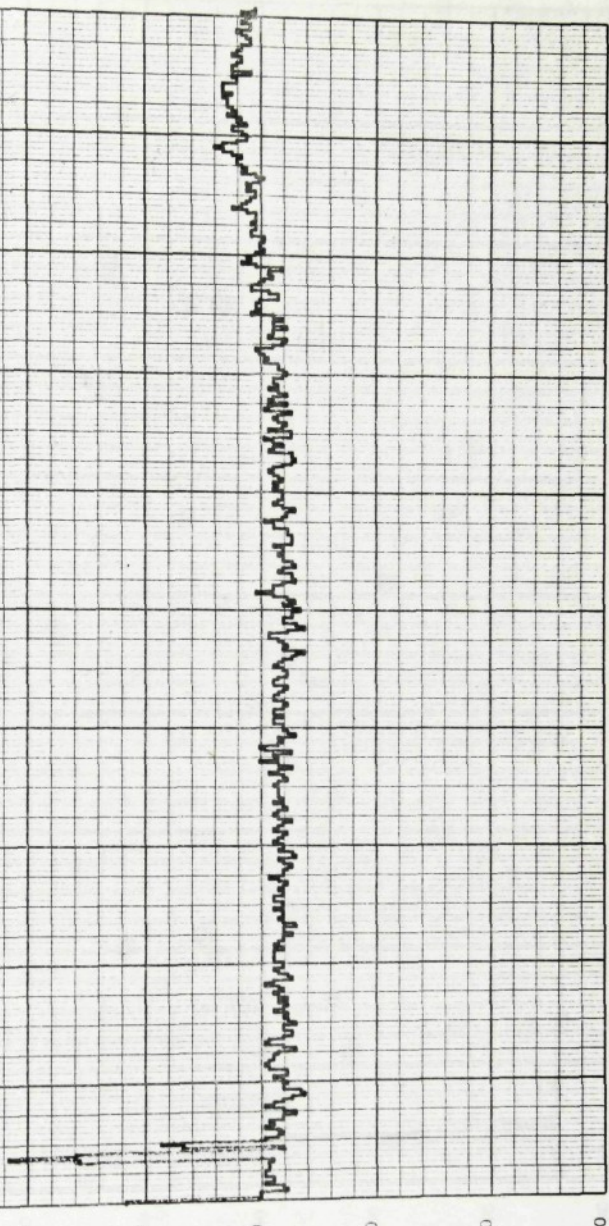
60

70

80

mens:
Asperru
Asperru

60dB ~ 1g



cord No.:
te:
in.: _____

20	40	80	0	2	4	6	8	10	12	14	16	18	20
0	0	0	0	1	2	3	4	5	6	7	8	9	10
0	0.5	1	1.5	2	2.5	3	3.5	4	5	5.5	6	6.5	7

Measuring Object:
10002

Priloha c. 5.14/a

Instrument: Laser

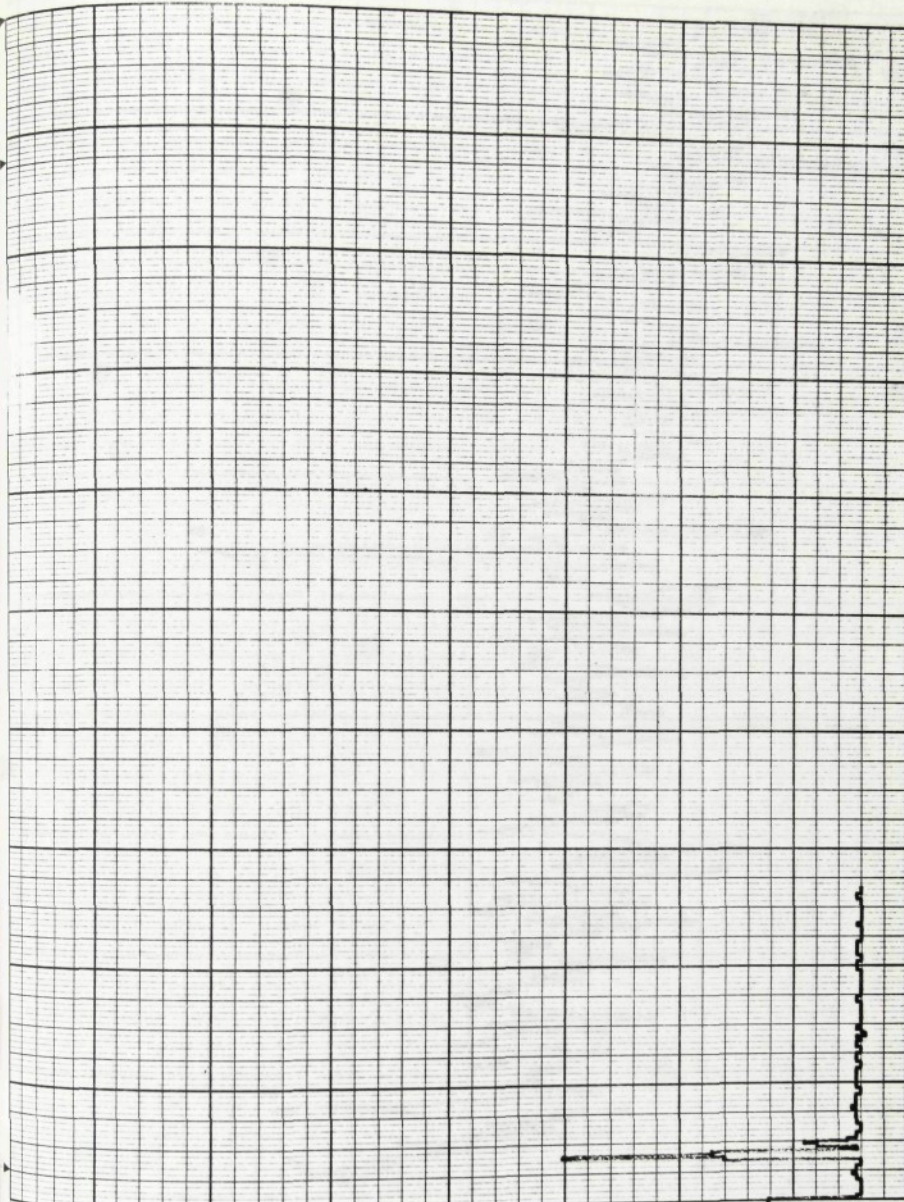
Weighting:

Average Mode:

No. of Spectra:

Comments:
Czechoslovakia's
LASERU

Wavelength ~ 79

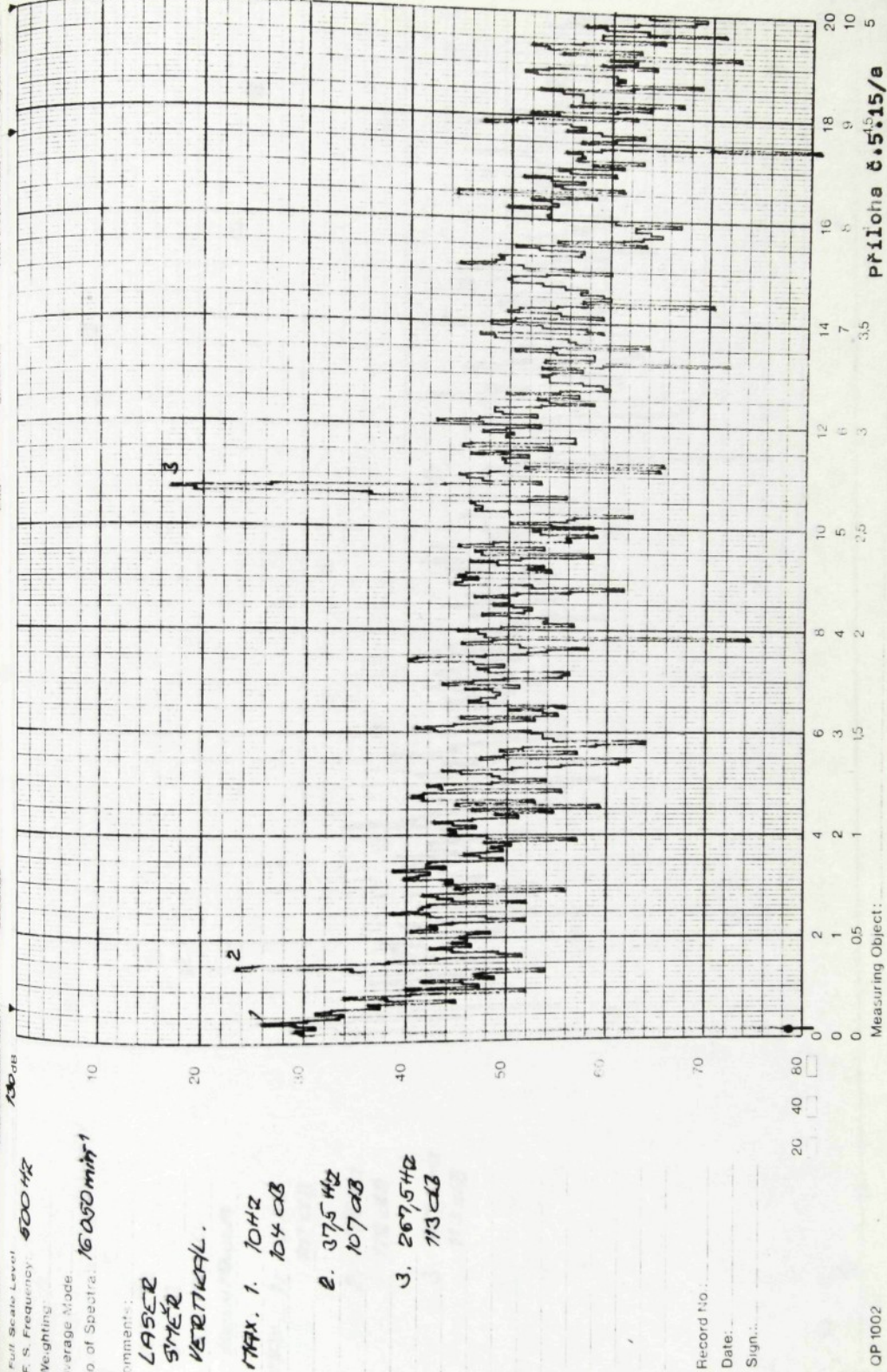


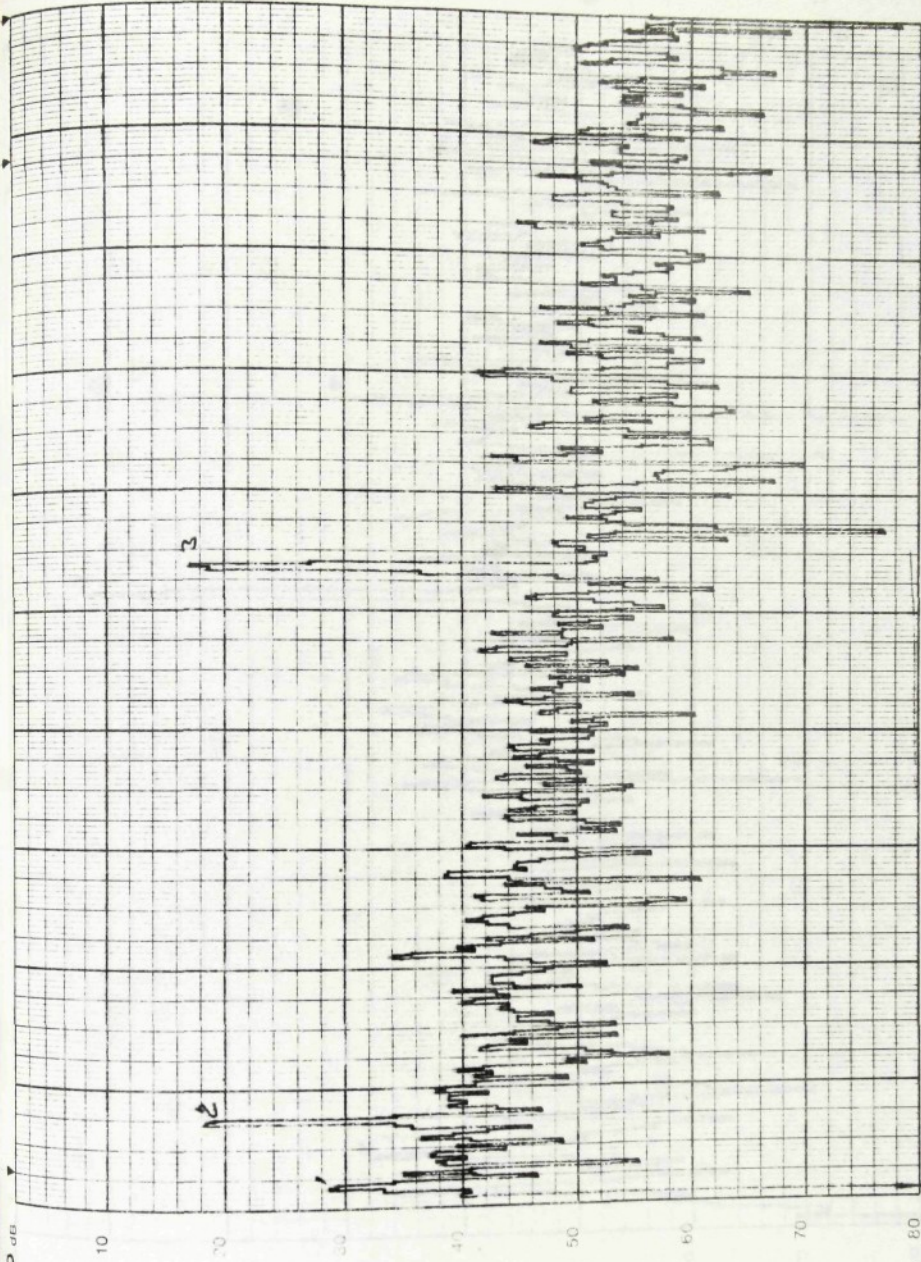
Record No.:

Date:

Sign.:

20	40	80	0	2	4	6	8	10	12	14	16	18	20
0	0	0	0	1	3	5	4	6	7	8	9	10	12
0	0	0	0	0.5	1	1.5	2	2.5	3	3.5	4	5	6
0	0	0	0	0	0	0	0	0	0	0	0	0	0





Geotek

Sound Pressure Level:

Weighting:

F. S. Frequency:

No. of Spectra: 16000

Laser
Site
Vertical
Control

Max. 1. 1042
101 dB

2. 37542
118 dB

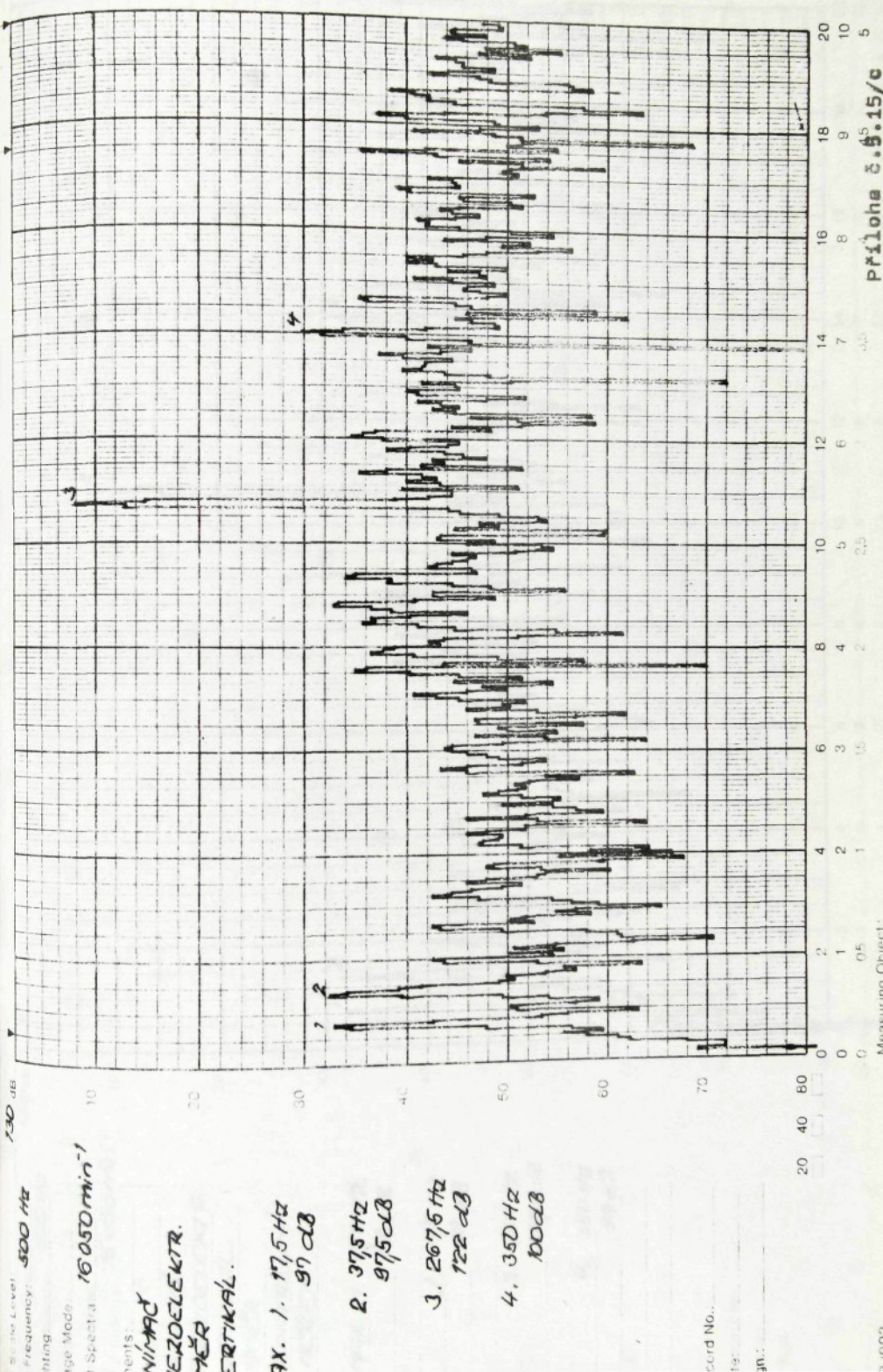
3. 2677542
713 dB

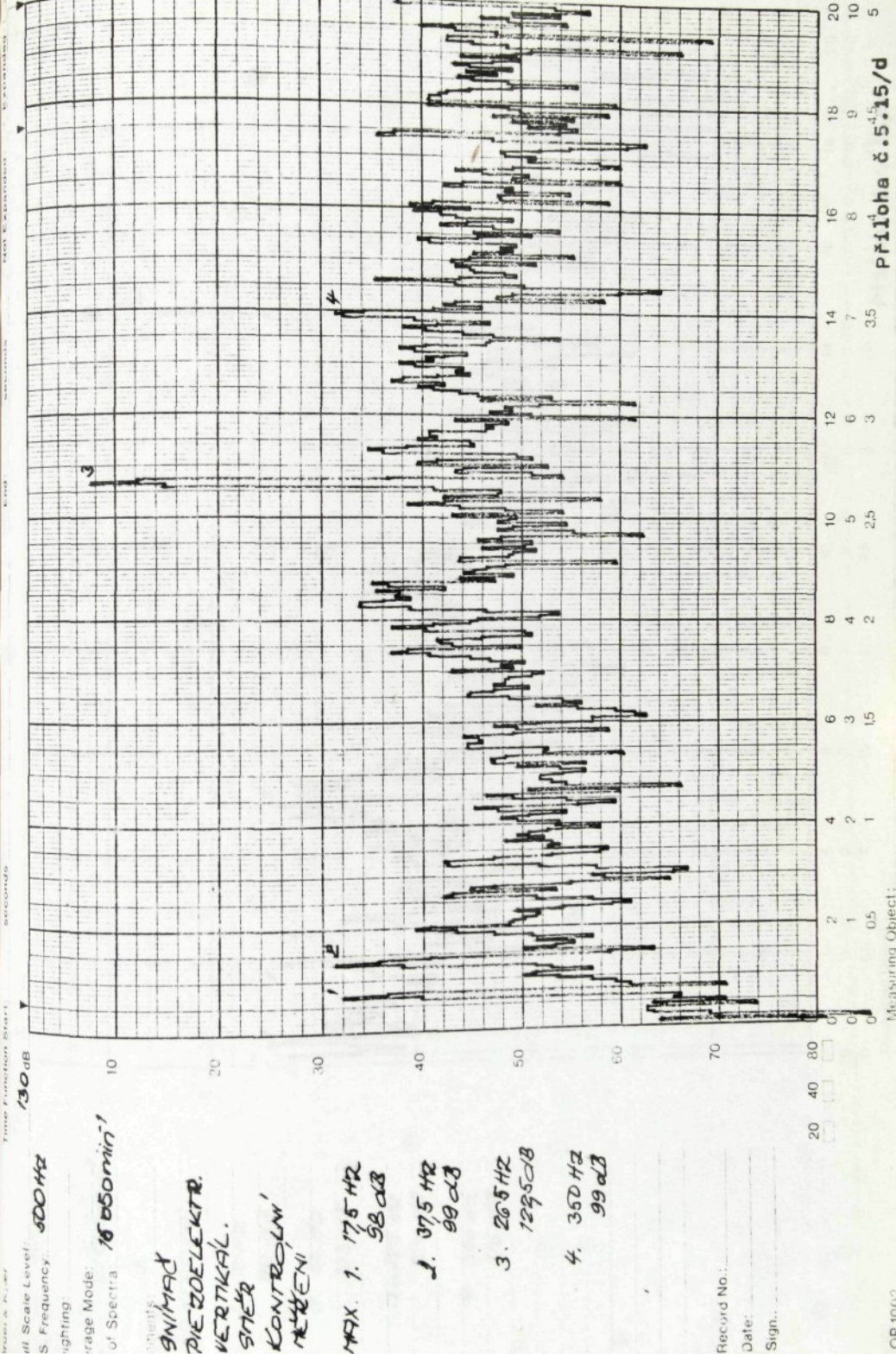
Received 140:
Date:
Sign:

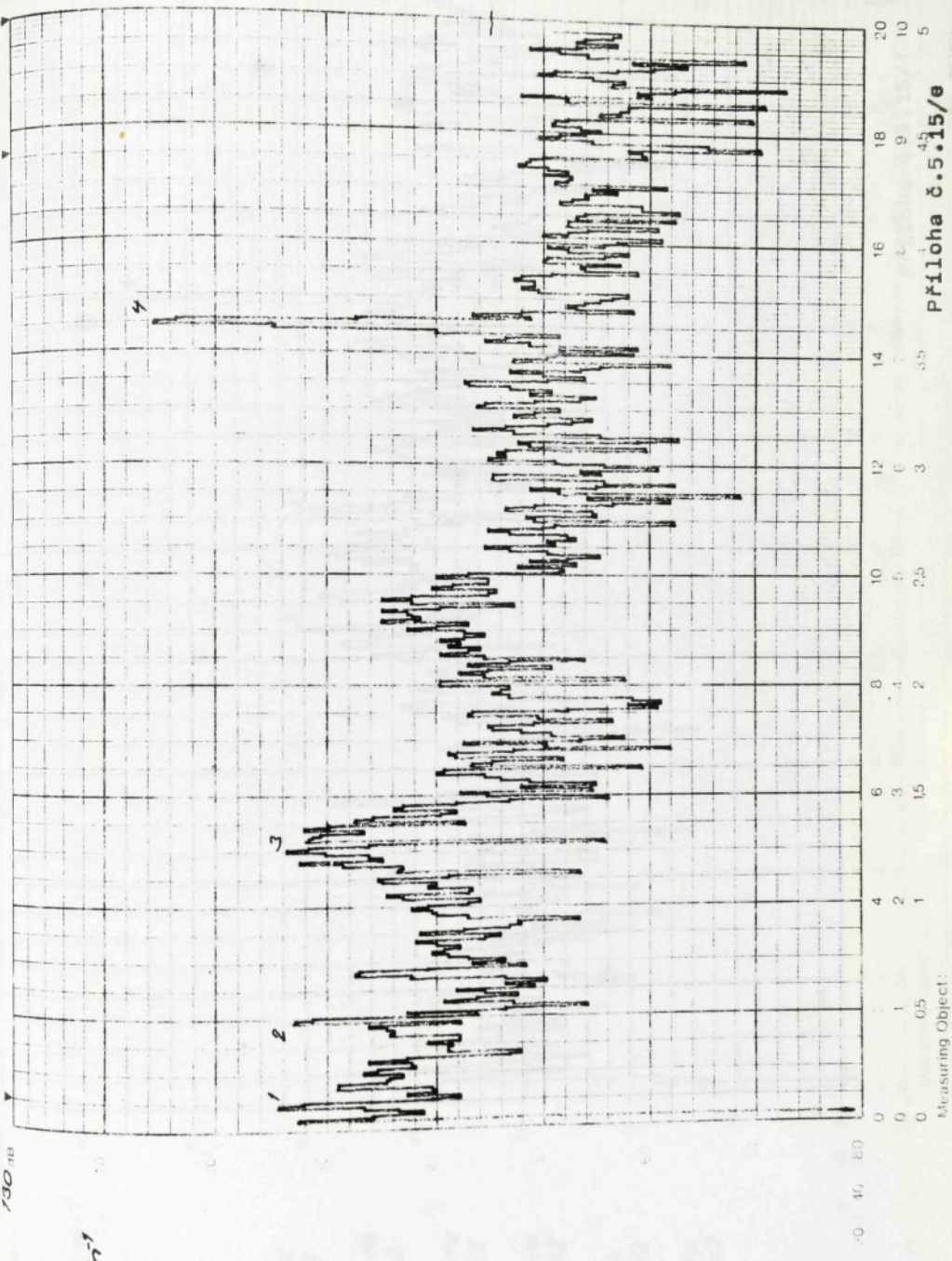
GP 1002
Measuring Object:

20	40	60	80	0	2	4	6	8	10	12	14	16	18	20
0	0	0	0	0	1	2	3	4	5	6	7	8	9	10
0	0	0	0	0	0.05	1	1.5	2	2.5	3	3.5	4.5	5	5

Prilohs č. 5.0.15/b







© 1990 by Kluwer Academic Publishers. Printed in Belgium.

500 Hz
frequency

21,600 min⁻¹

SCR

X. 1. 10 Hz

104 dB

2. 50 Hz

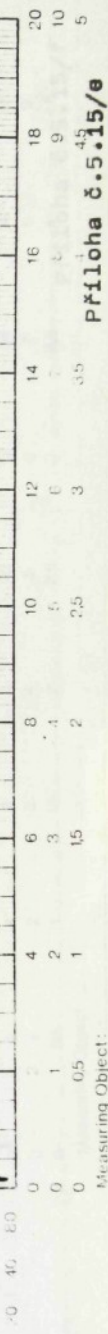
103 dB

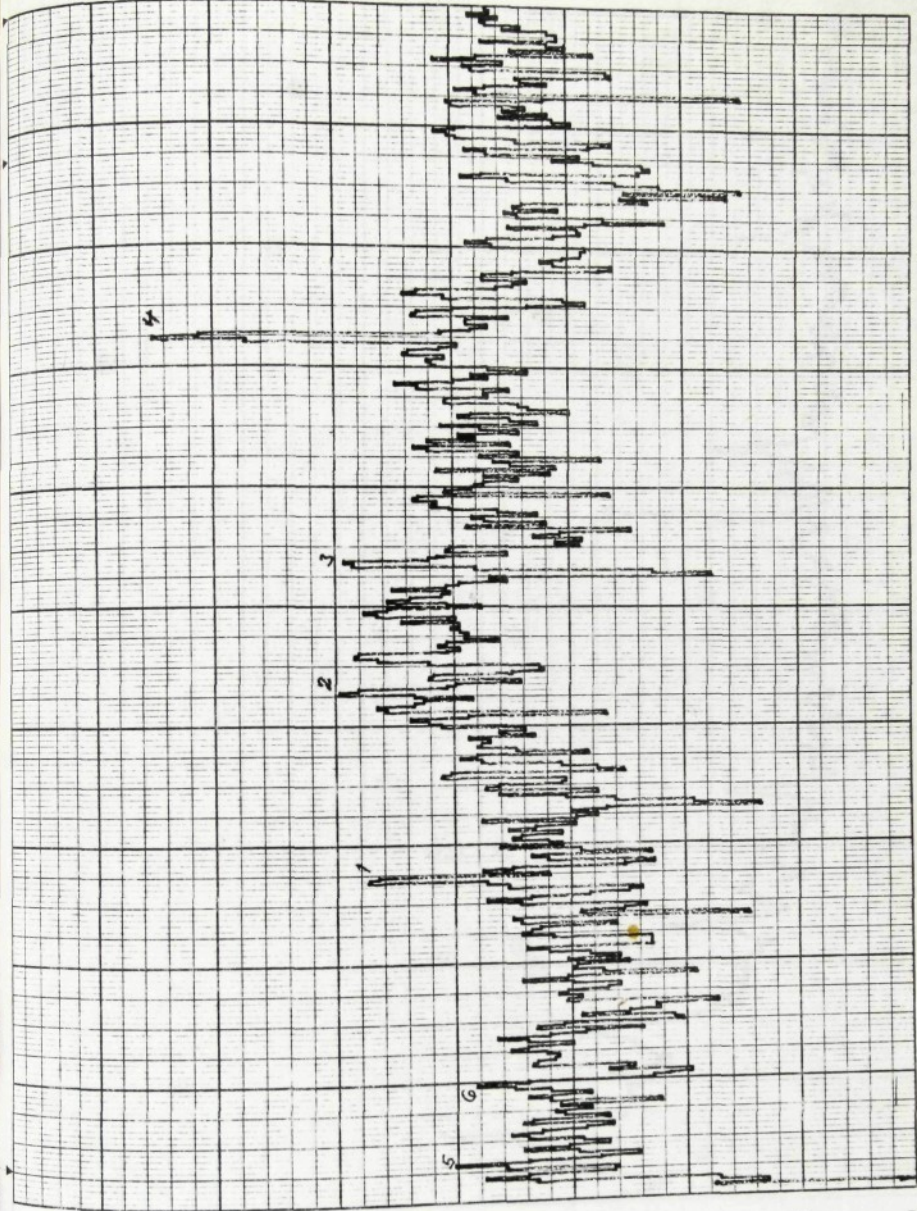
3. 125 Hz

104 dB

4. 360 Hz

116 dB





Range Mode: 21600 min⁻¹
of Spectra. 20 Hz

ments:
SNIJMAČ
PIEZOELEKTR.
SYNTH.
VERTICAL.

MAX. 1. 125 Hz
97 dB

2. 212,5 Hz
100 dB

3. 267,5 Hz
99 dB

4. 360 Hz
715 dB

5. 12 Hz
90 dB

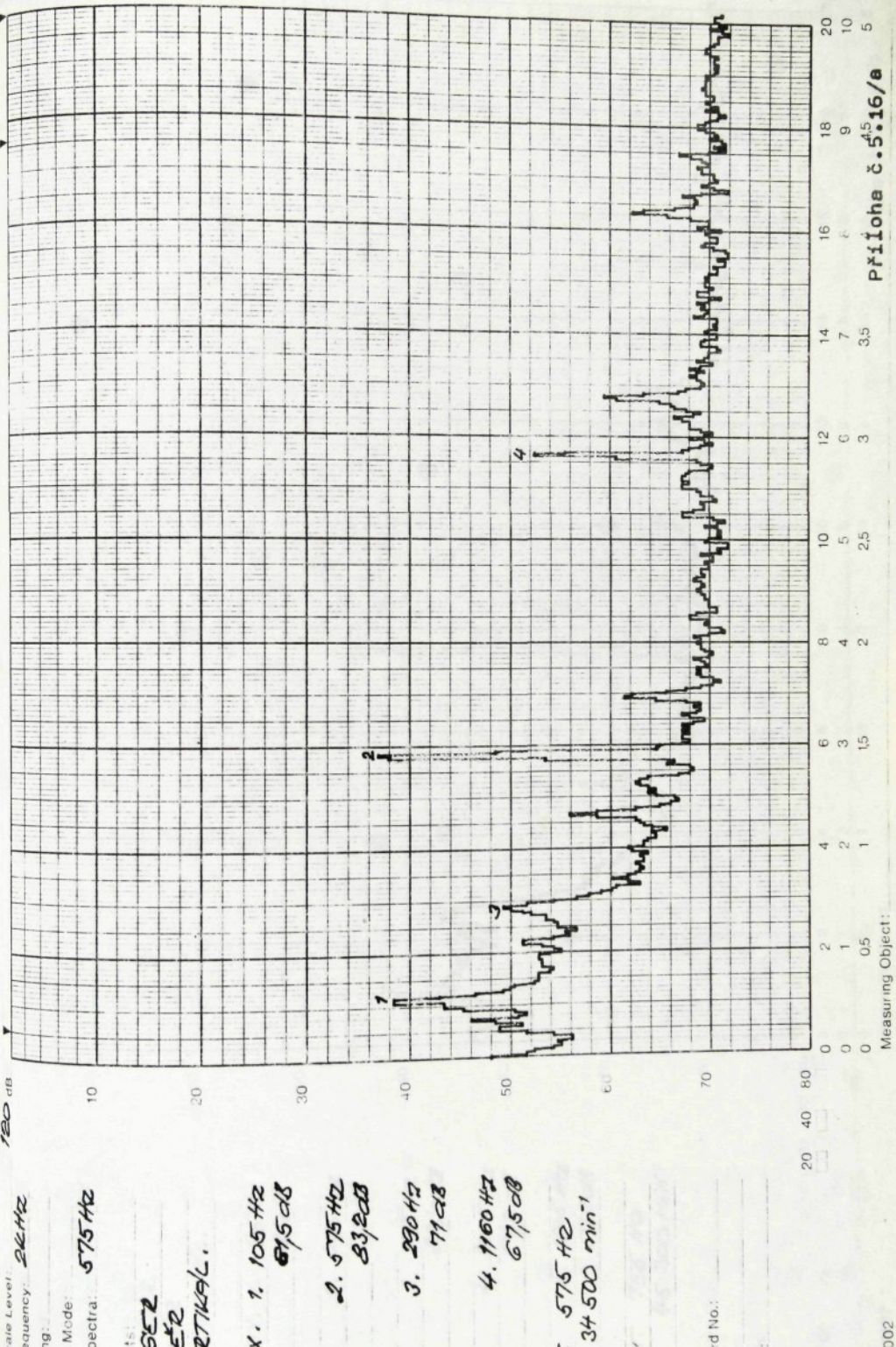
6. 50 Hz
89 dB

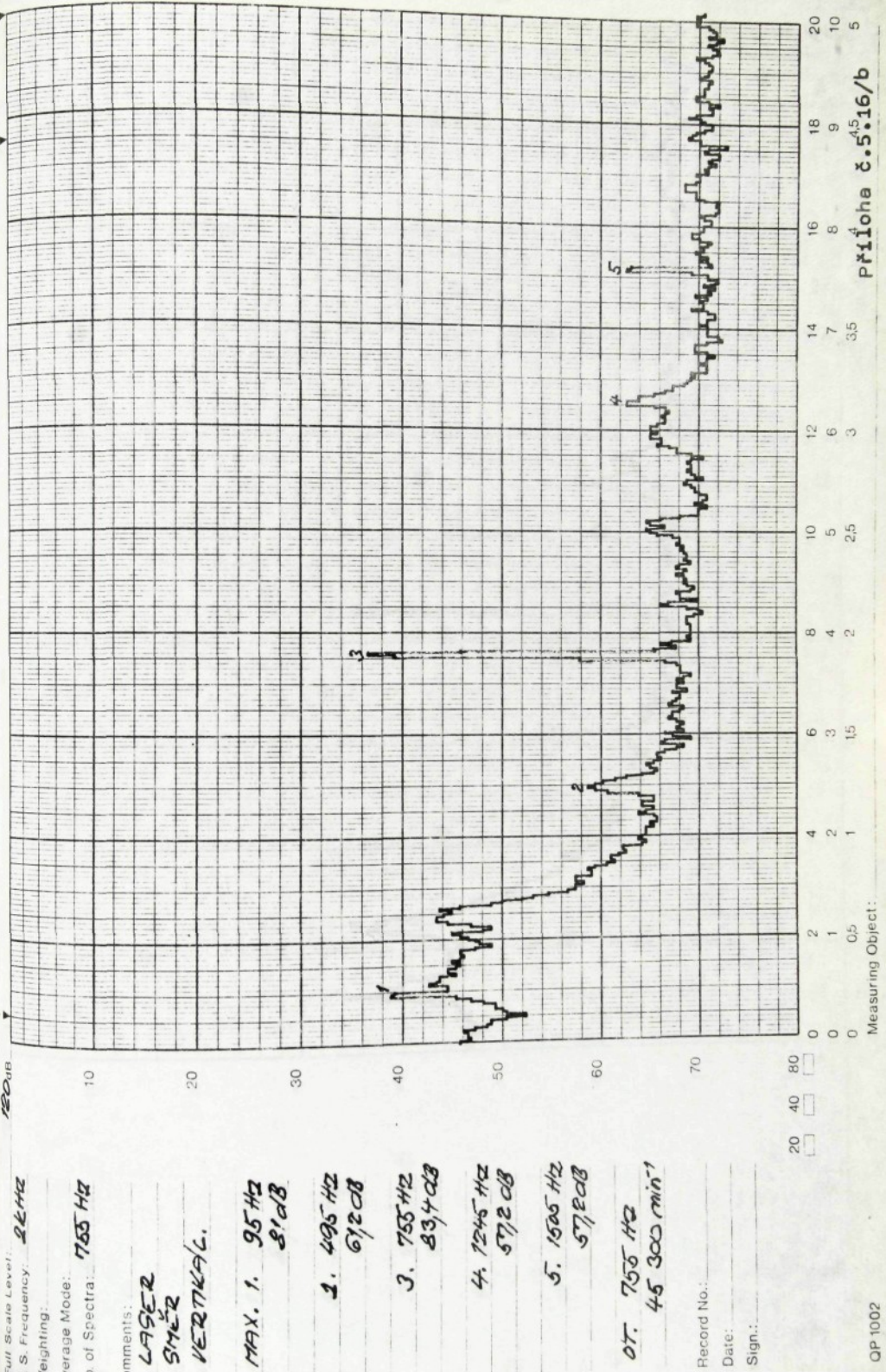
Record No.: _____

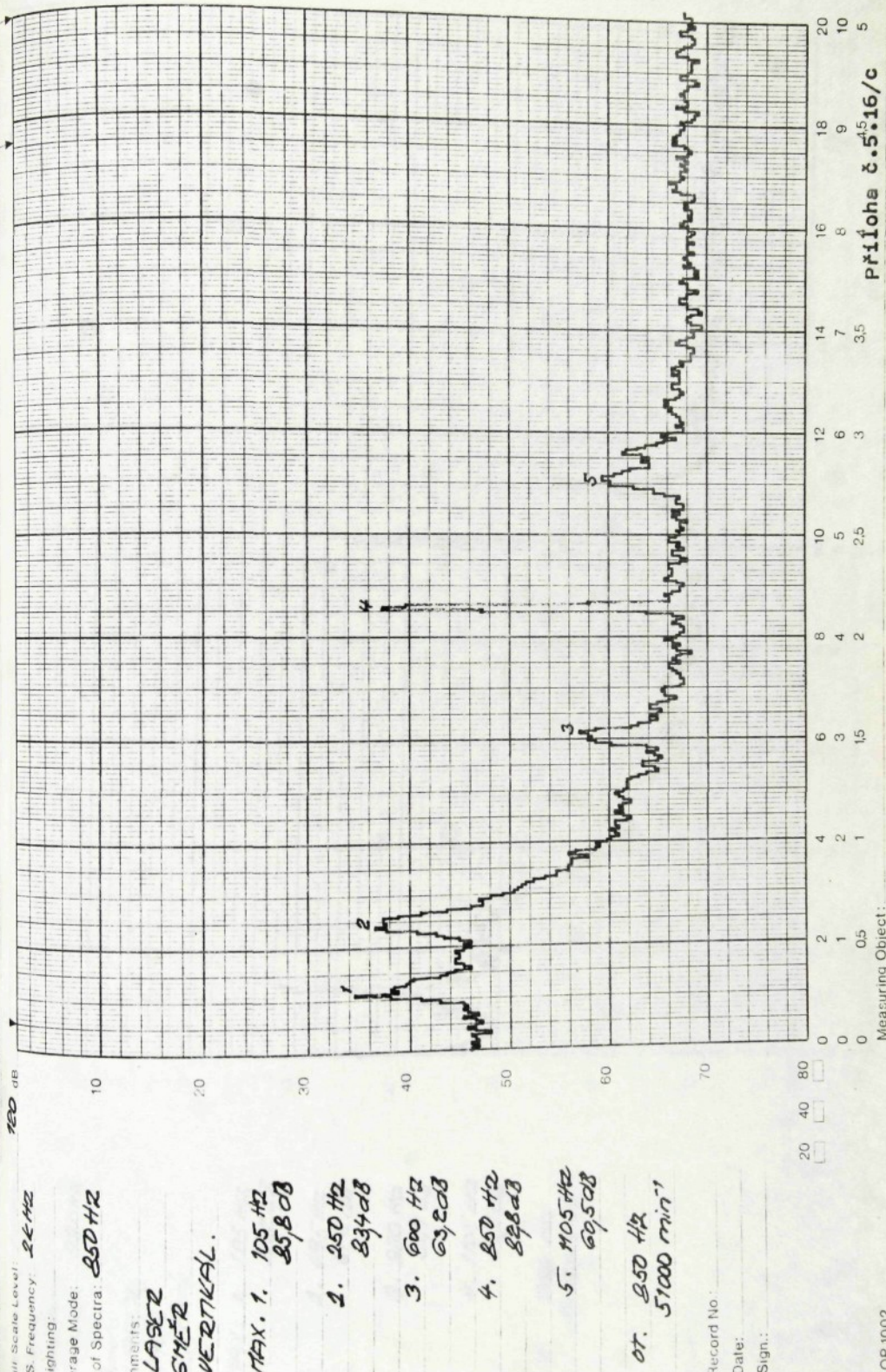
Date: _____

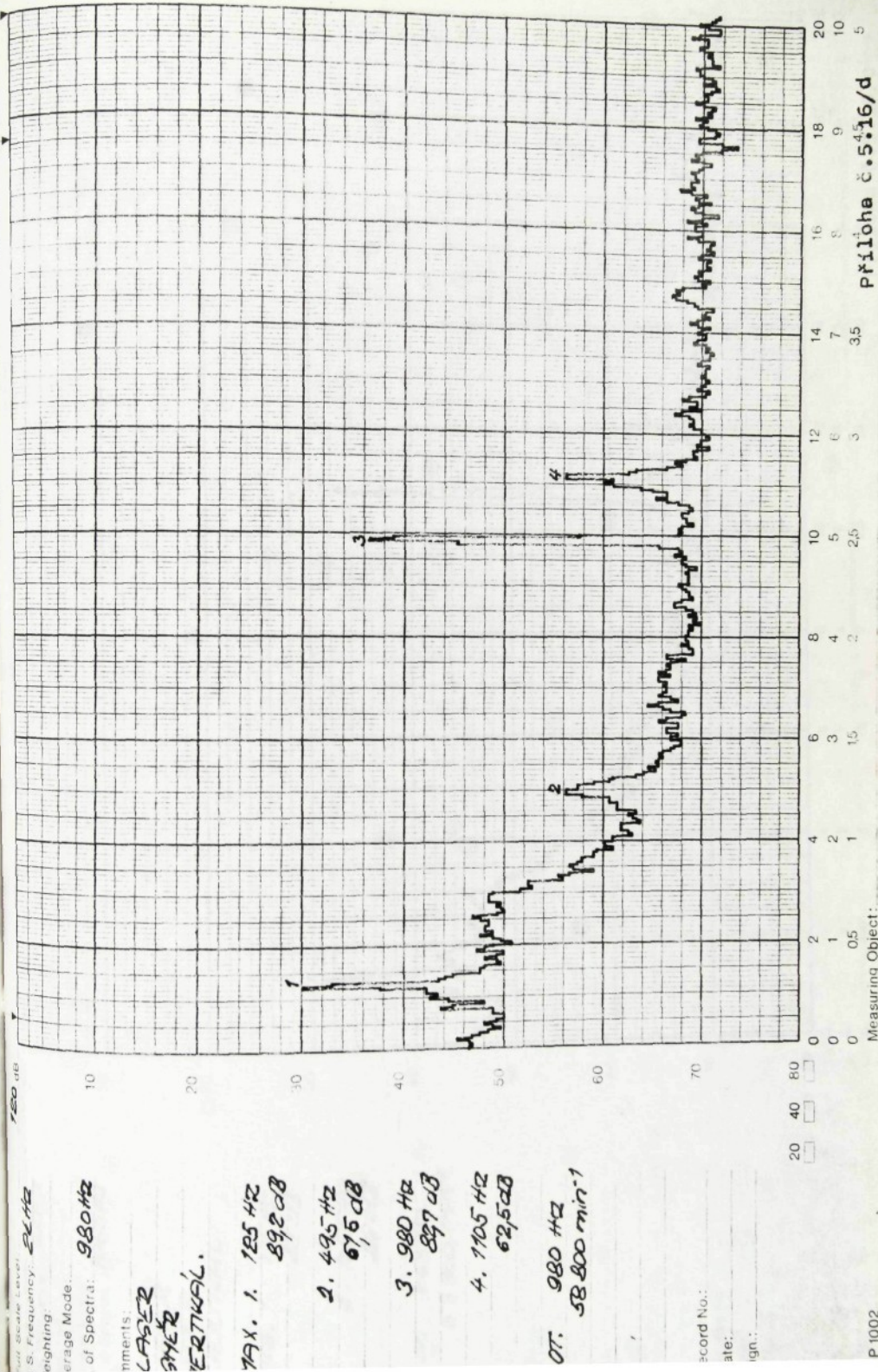
Sign: _____

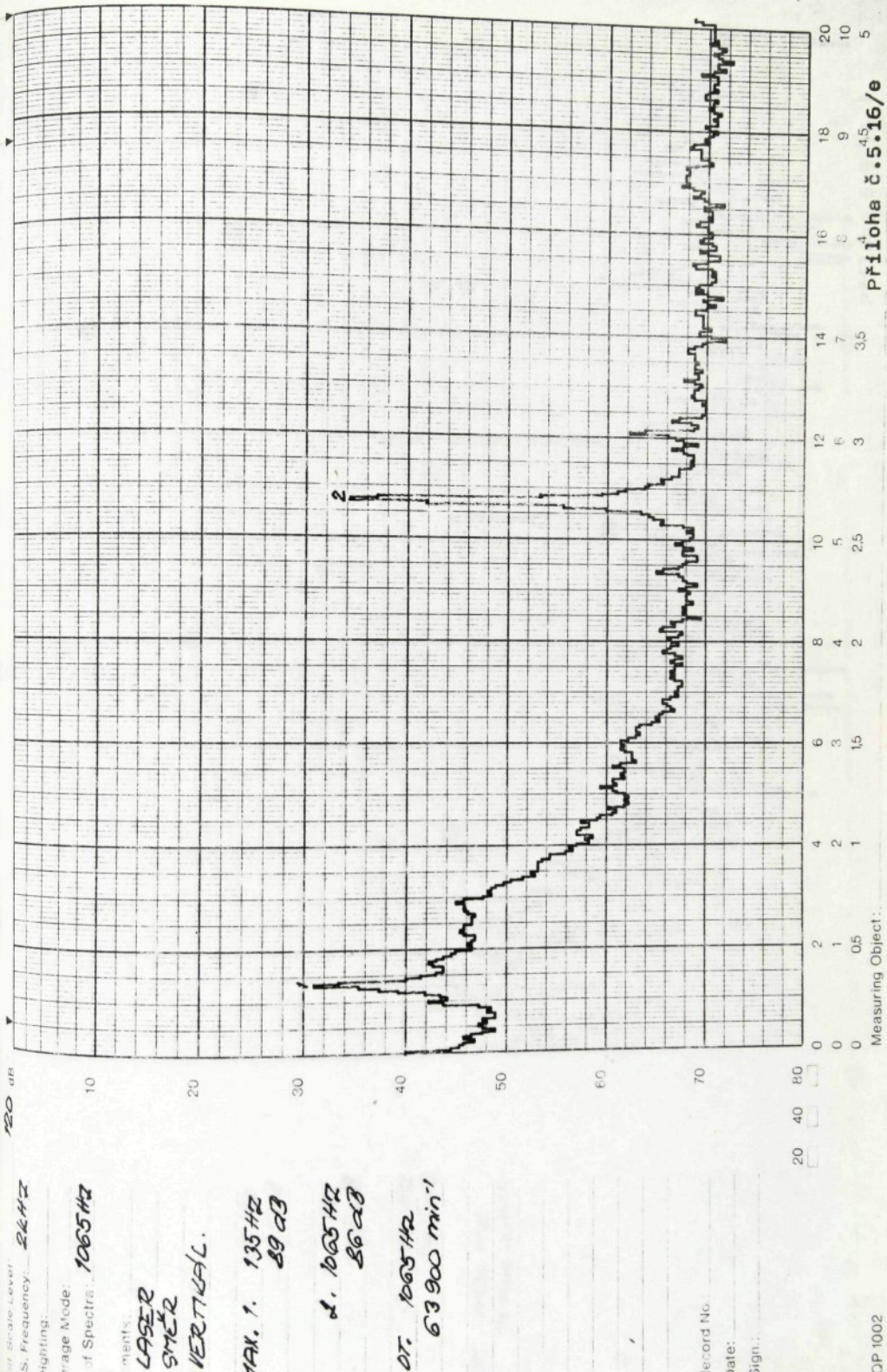
20	40	80	0	2	4	6	8	10	12	14	16	18	20
20	40	80	0	1	2	3	4	5	6	7	8	9	10
20	40	80	0	0	1	1	1	1	2	2	3	3	5
20	40	80	0	0	0	0	0	0	0	0	0	0	0

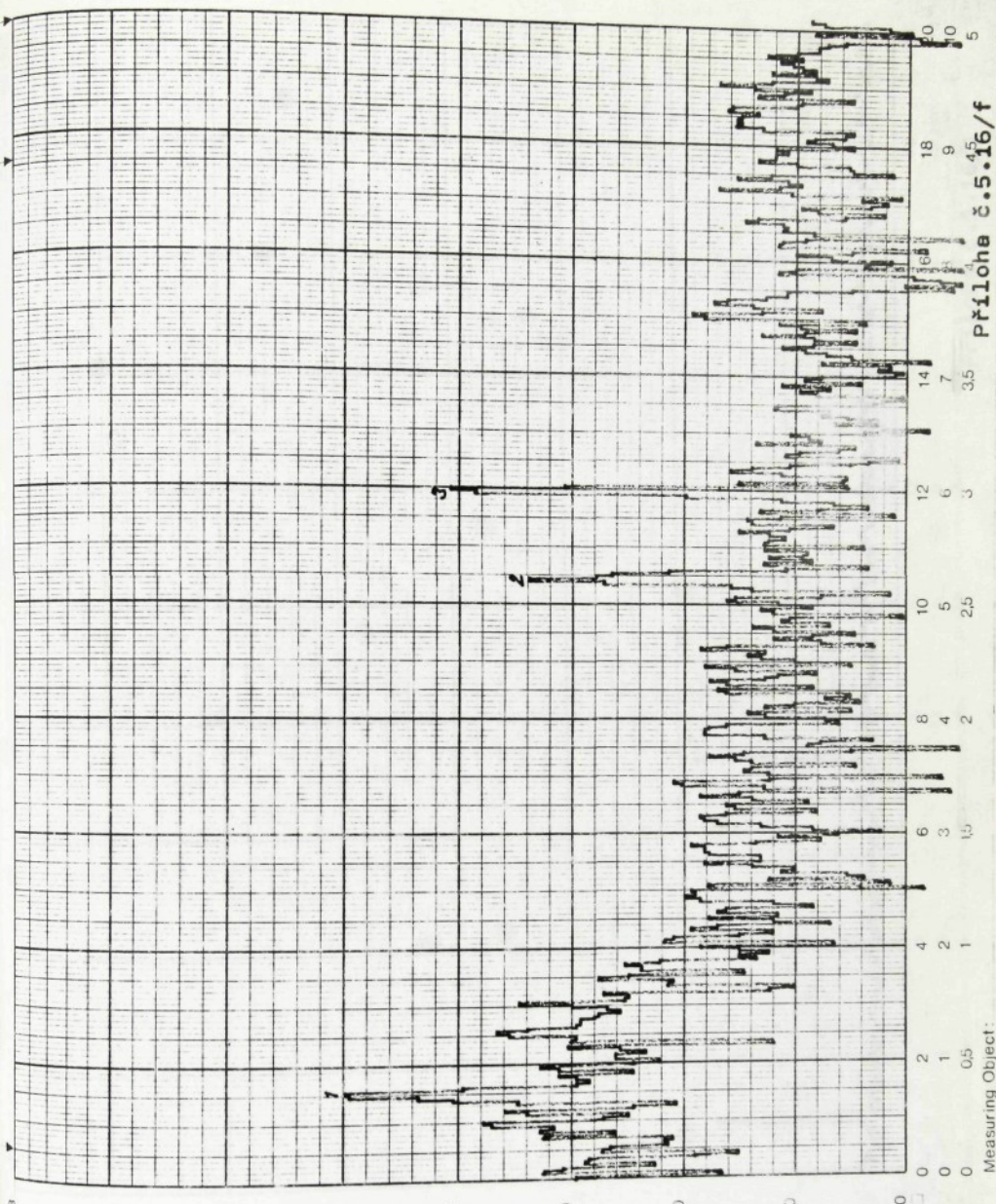












Max. Sound Level:
26 dB

Avg. Mode:
1190 Hz

Measur.
Spectra:
1150-1190 Hz
VERTICAL.

Max. 1. 1150 Hz
88.5 dB

2. 1155 Hz
79.6 dB

3. 1190 Hz
79.6 dB

Dr. 1190 Hz
71400 min.,

Record No.:
Date:

Sign:

Sound Level: 37.6 dB
Frequency: 200 Hz
Integrating
Avg. Modes

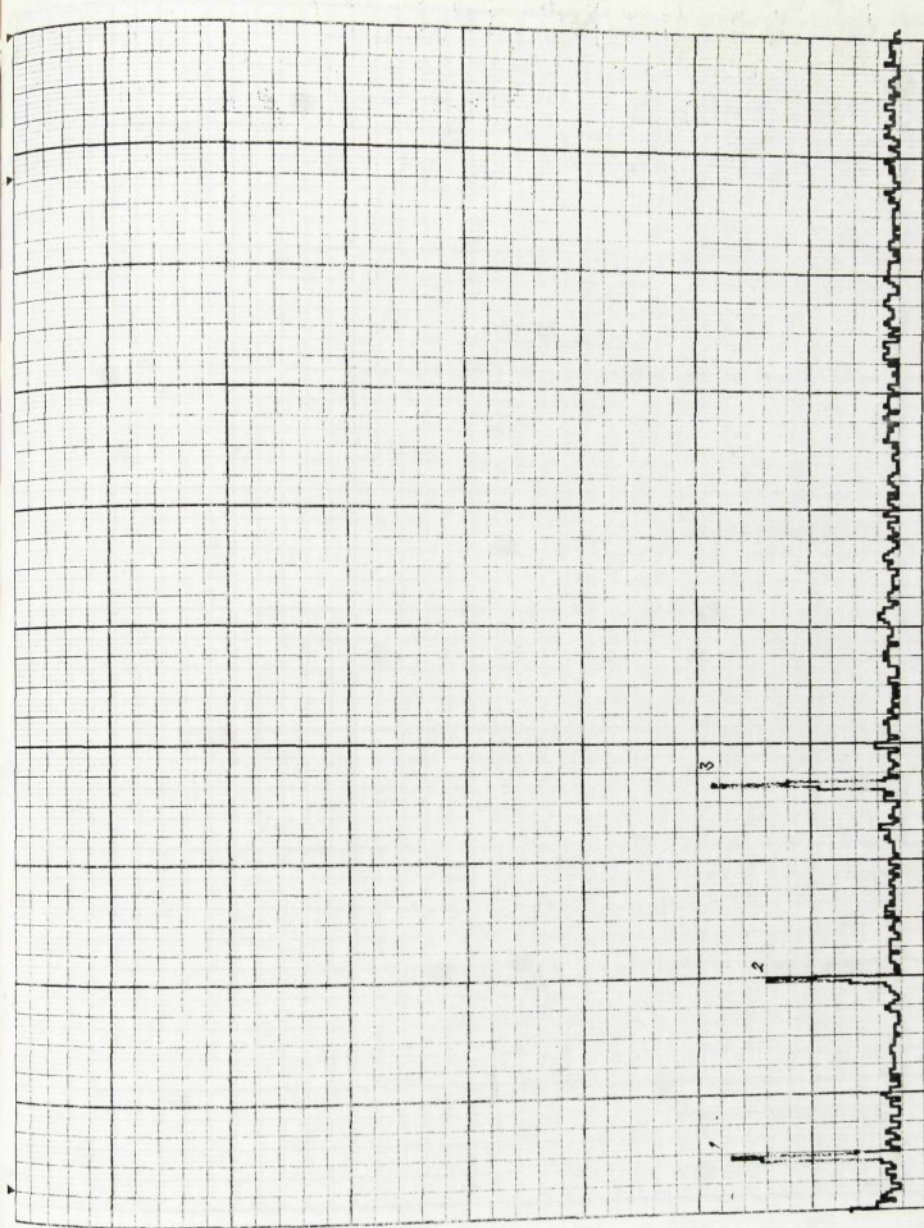
10

TEK 1015
 $\sqrt{S} = 15N$
WIND - METEOR
ASER

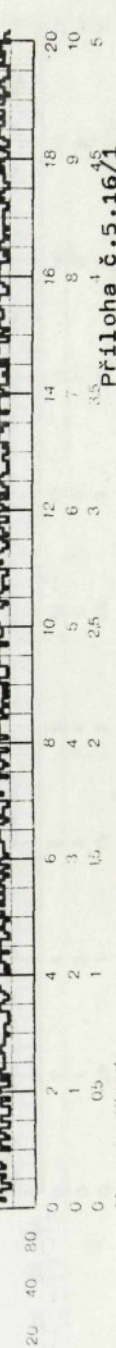
PK. 1. 25 Hz
7.3 mV

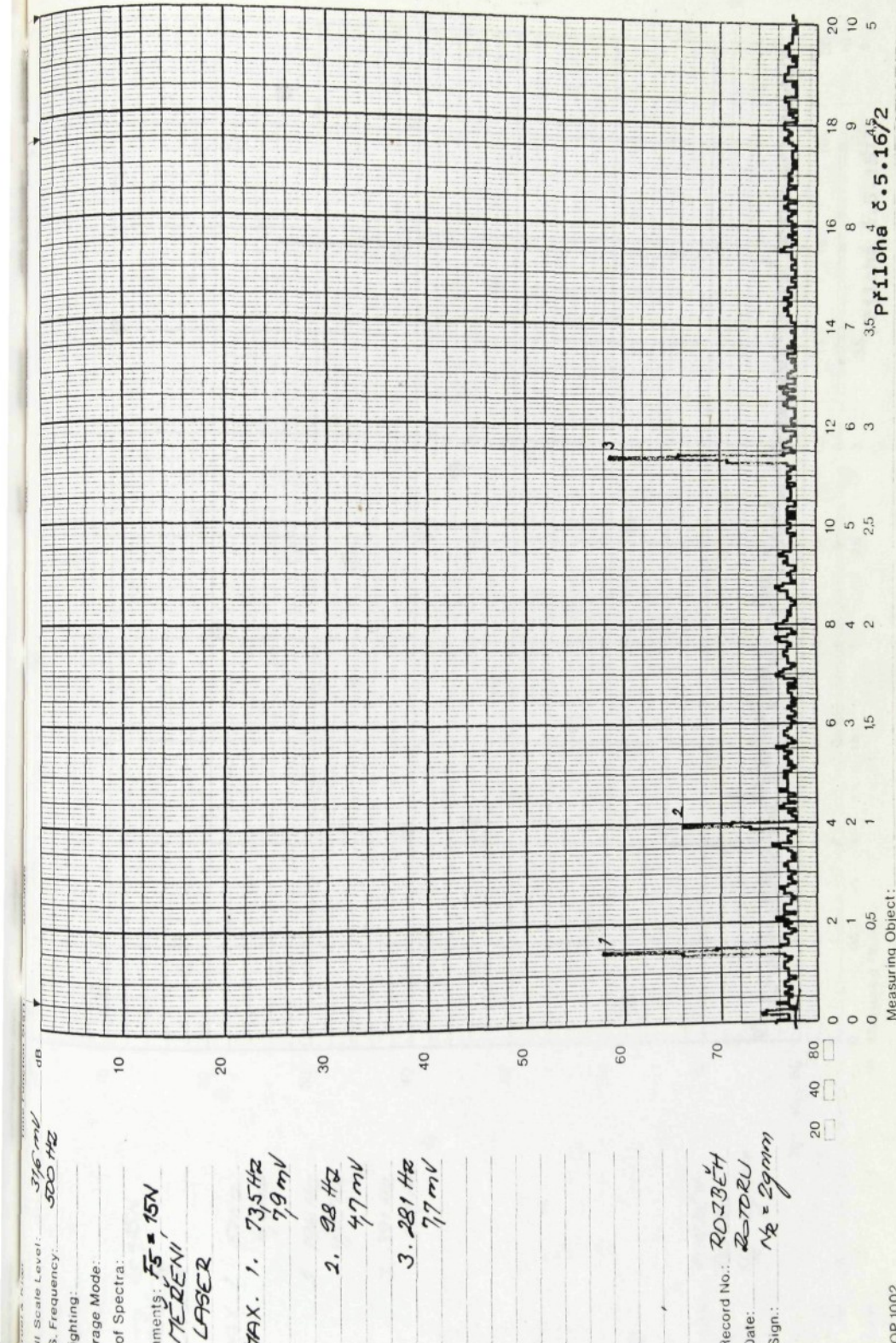
2. 100 Hz
4.5 mV

3. 181 Hz
6.6 mV



Record No.: R02844
Date: ROTORU
Sign: 1/2 = 2 mm





3. Square Wave
Lighting:

Range Mode:
of Spectra:

500 Hz
200 Hz

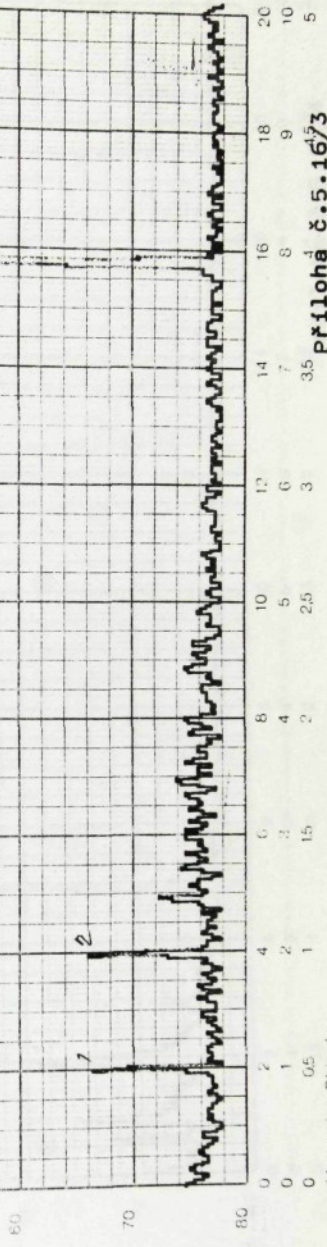
10

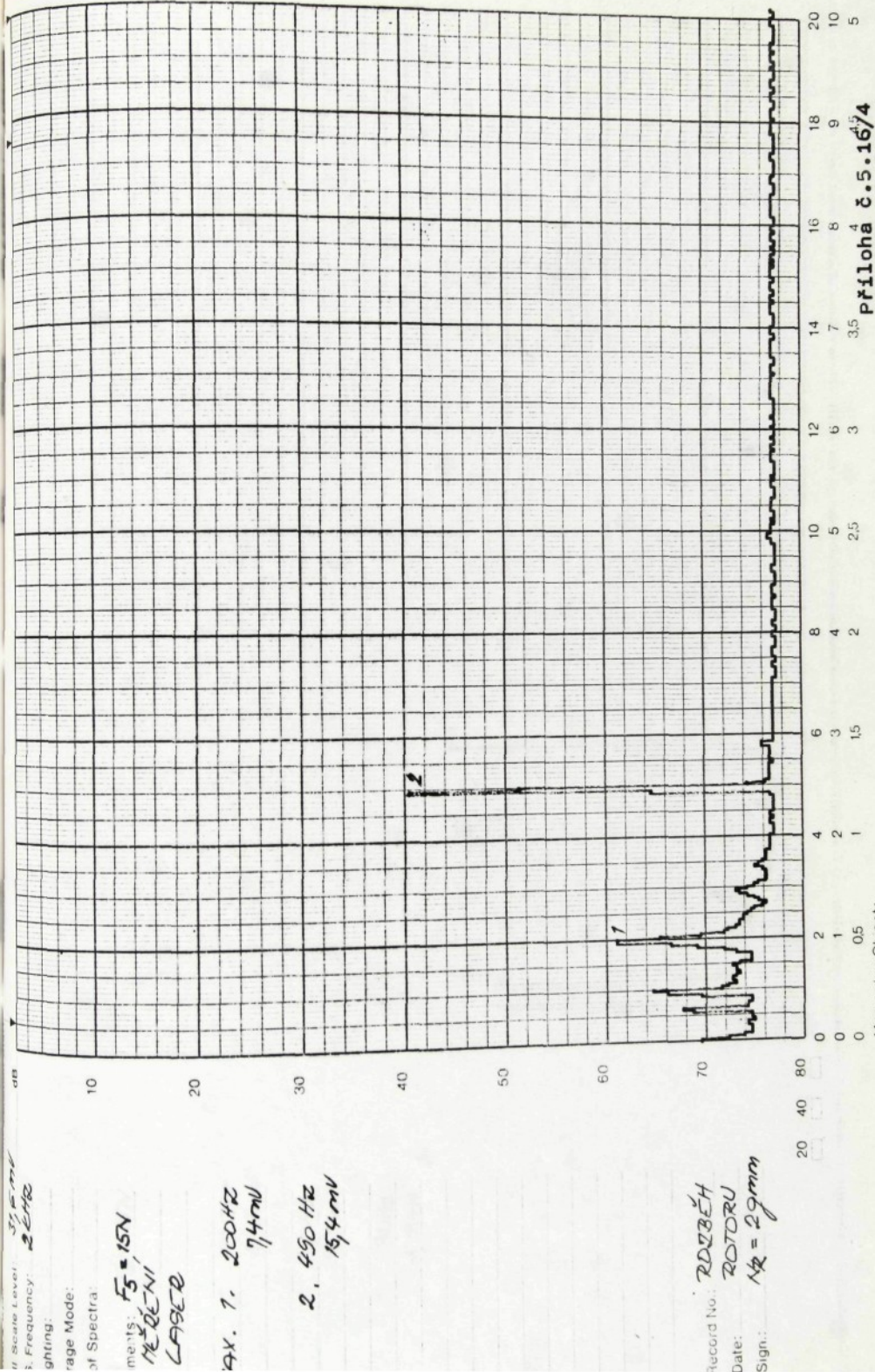
ments: $f_3 = 15\text{N}$
 $f_2 = 10\text{N}$
LASER

MAX. 1. 504 Hz
4.6 mV
1. 198.4 Hz
4.75 mV
3. 39.4 Hz
2.13 mV



Record No.: 200844
Date: ROTORU
Sign: $f_2 = 29\text{mm}$





1st Semester Exam
2nd Year

2024

Lighting:

Range Mode

of Spectra

10

Measurements:
 $F_3 = 15\text{V}$
 MEDENI LASER

20

MAX. J. 575Hz
 10.9mV

30

2. 110Hz
 9.1mV

1. 70Hz
 8.9mV

3

50

1

2

60

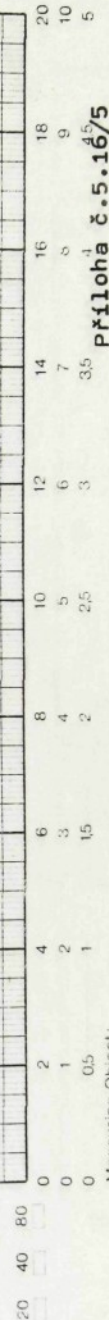
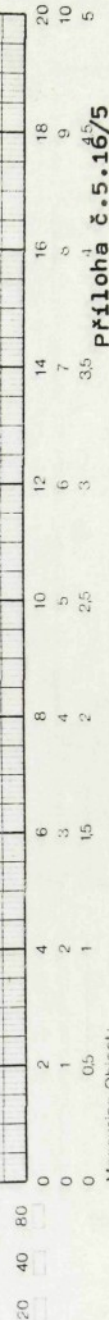
3

70

Record No.: 2024H
ROTORU
 $\lambda = 29\text{mm}$

Date:

Sign.:



Distance covered
Frequency
dhing

Distance covered
Frequency

dhing

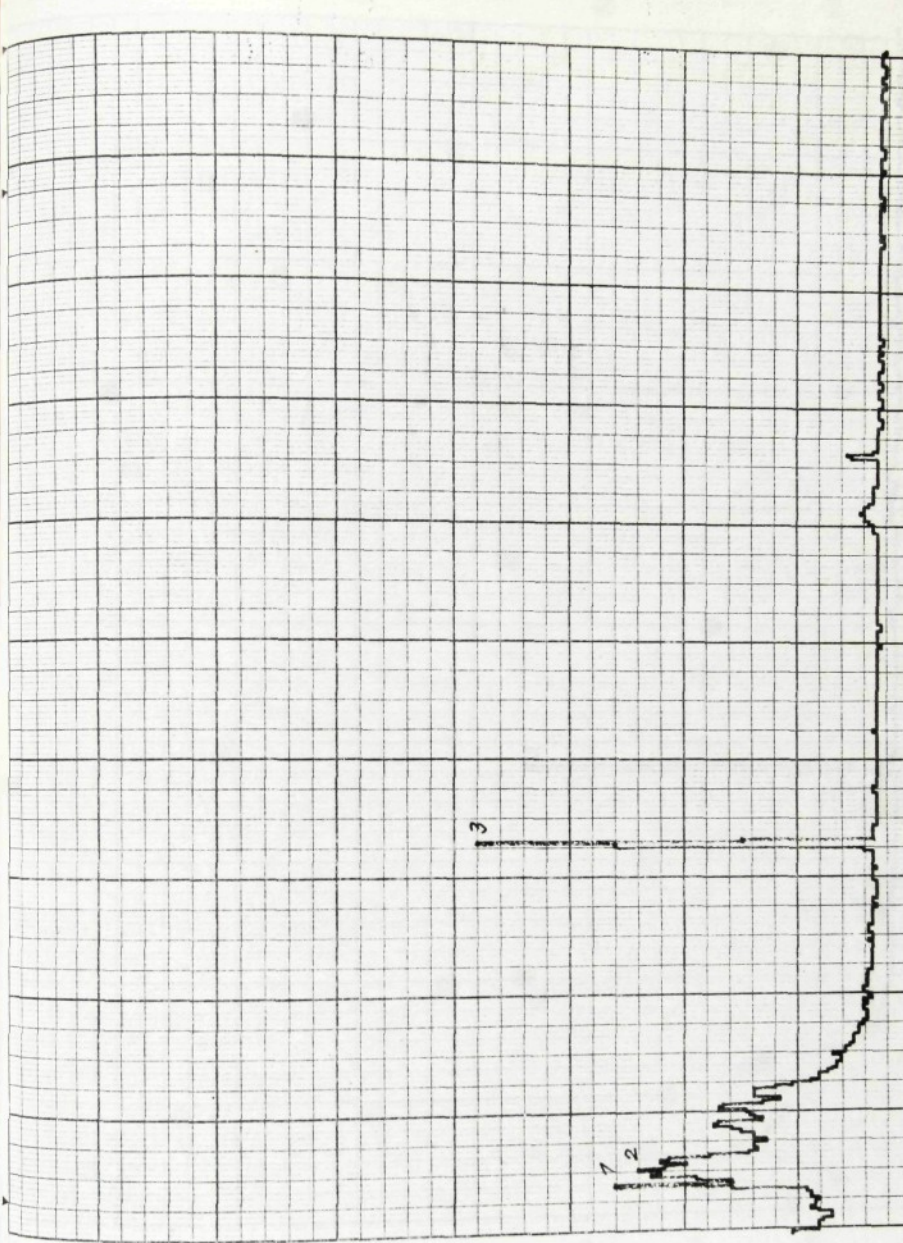
age Mode:
if Spectra

ments:
 $F_S = 15\text{Hz}$
 NE DEN
 ASED

AX. 1. 70.42
 9.9mV

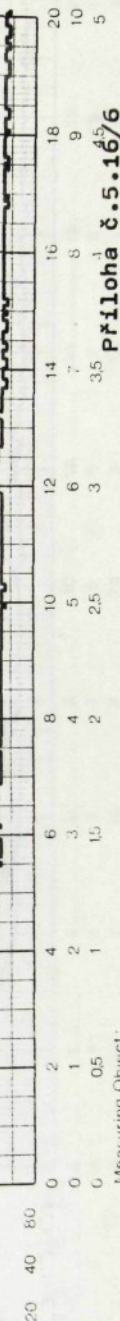
2. 110.42
 8.7mV

3. 660.42
 14.4mV



record No.: RDZB⁴
date: ROTORU
 $\lambda_2 = 2\text{mm}$

sign:



Measuring Object:
Ptiloha ♂ 5.16⁵

full Scale Level: 20
S. Frequency: 2 kHz

Lighting: average Mode:

of Spectra: 10

Requirements: $f_s = 15N$
NEZENI
Laser

MAX. 1. 95 Hz
10 ms

2. 155 Hz
13,5 ms



i. Scale Level: 31.5 mV
ii. Frequency: 264 Hz

Lighting: _____
Range Mode: _____

Measur. F₅: 157
RENI
LARGEZ

10

20

30

40

50

60

70

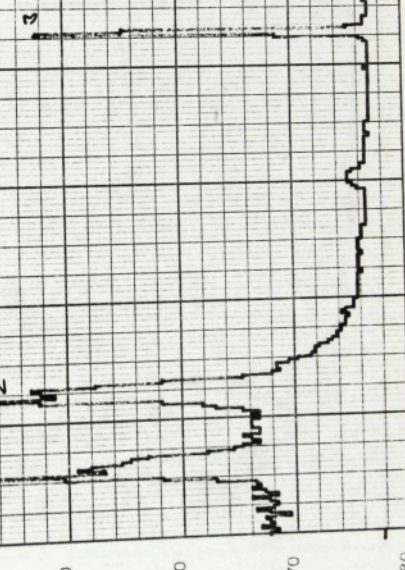
80

dB

MAX. 1. 105 Hz
164 mV

2. 240 Hz
138 mV

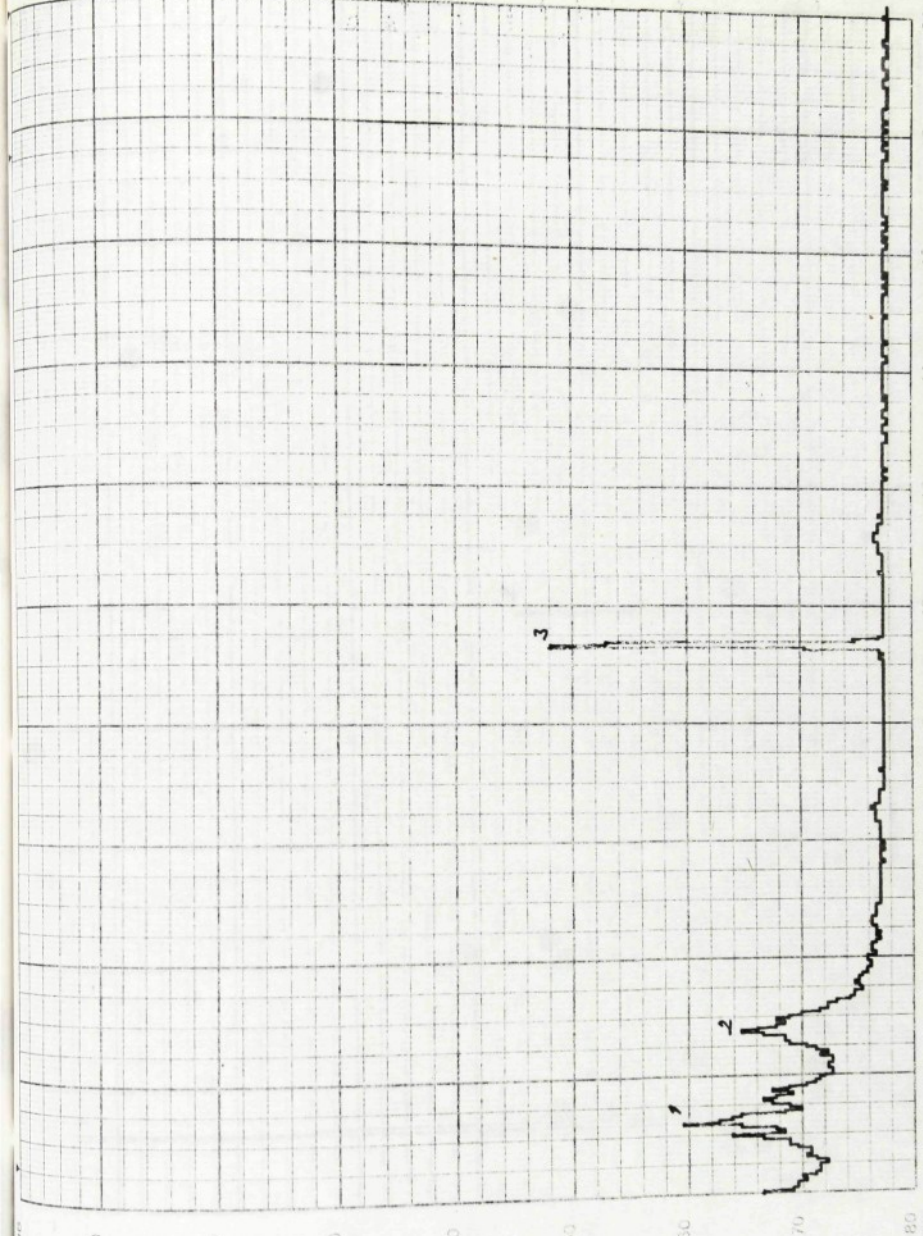
3. 250 Hz
131 mV



20 40 60 80 10 12 14 16 18 20
0 1 2 3 4 5 6 7 8 9 10
0 0.5 1 1.5 2 2.5 3 3.5
Příloha č. 5. 16/8

Record No.: ROZBĚH
ROTORU
Date: 16-29mm
Sign.:

Measuring Object:
QP 1002



10

20

30

40

50

60

70

80

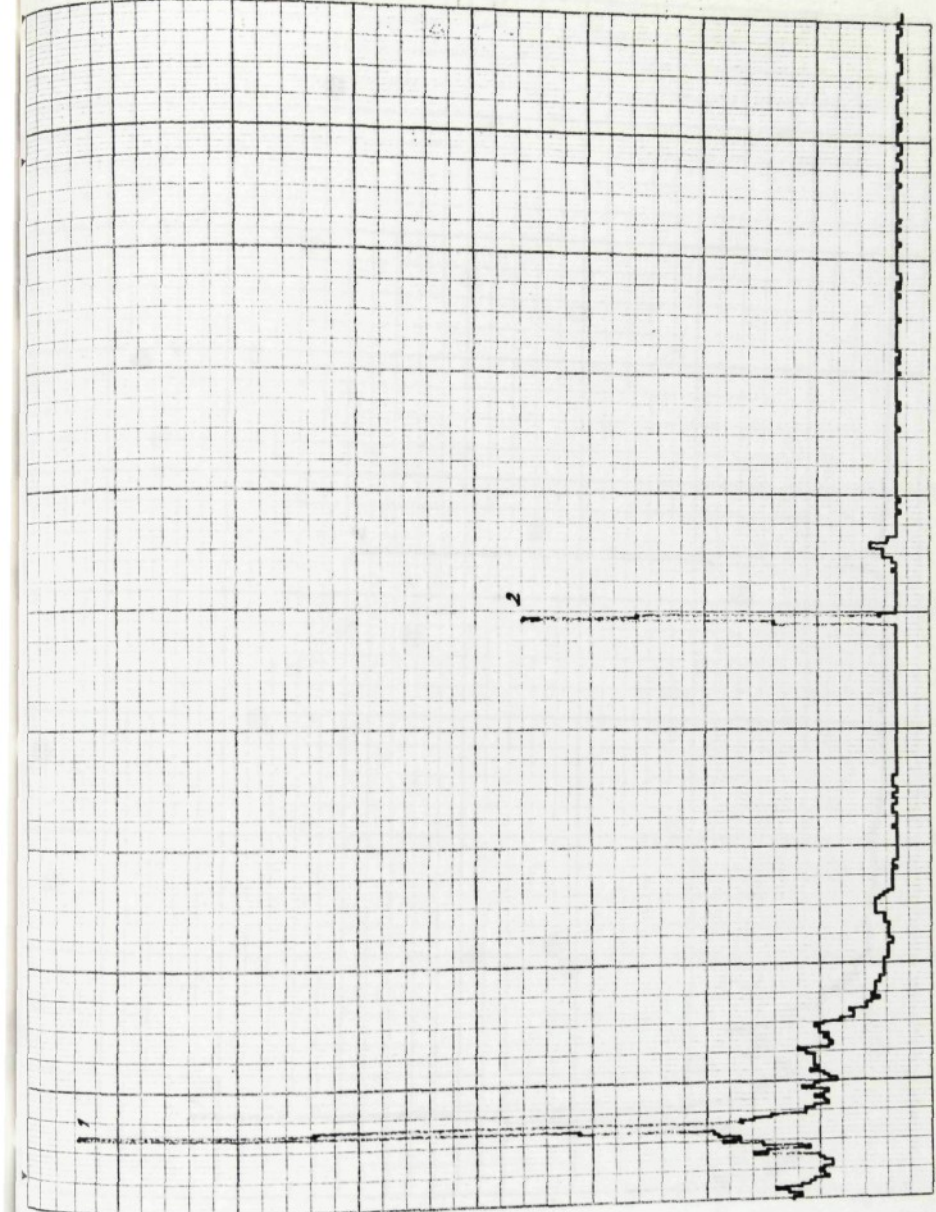
90

Frequency 2000
Voltage Mode:
Lighting
f Spectra
 $F_5 = 15N$
ESEN
ASER
Ax. 1. 120 Hz
7.6 mm
2. 275 Hz
5.5 mm
3. 925 Hz
12.1 mm

Record No.
ROTATION
ROTOR
 $N_R = 29mm$

Time 20 40 60 80 100 120 140 160 180 200
0 2 4 6 8 10 12 14 16 18 20
0 1 2 3 4 5 6 7 8 9 10
0 0.5 1 1.5 2 3 4 5 6 7 8
0 3.5 3 2 1 0.5 0 0.5 1 2 3 4 5 3.5
Priloha č. 5. 16/79

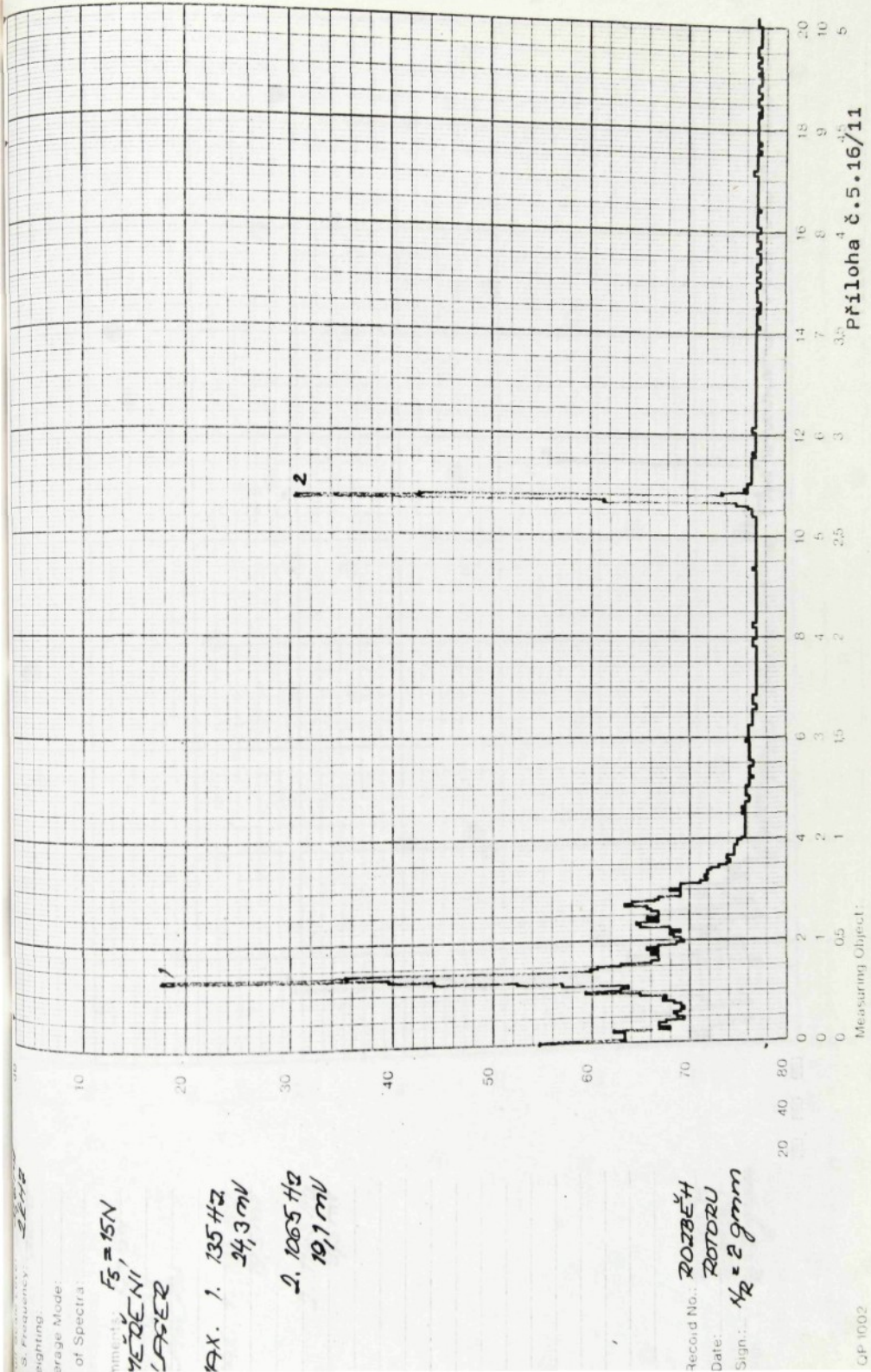
scale level:
Frequency:
Hertz
Hertz



1. $f_5 = 157$
~~125~~
Hz
980 Hz

2. $f_5 = 290$
Hz
1350 Hz

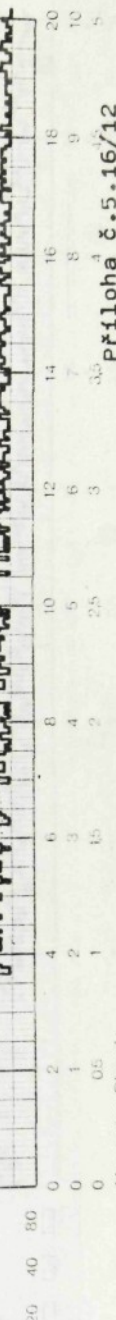
record No.: 2007-4
rate: 1000 Hz
sign.: $N_p = 29 \text{ mm}$



Measuring Object:

ROTOR
 $\frac{1}{2} = 29mm$

Revolutions per minute:
Date:
Sign:



10

20

30

40

50

60

70

80

Frequency:

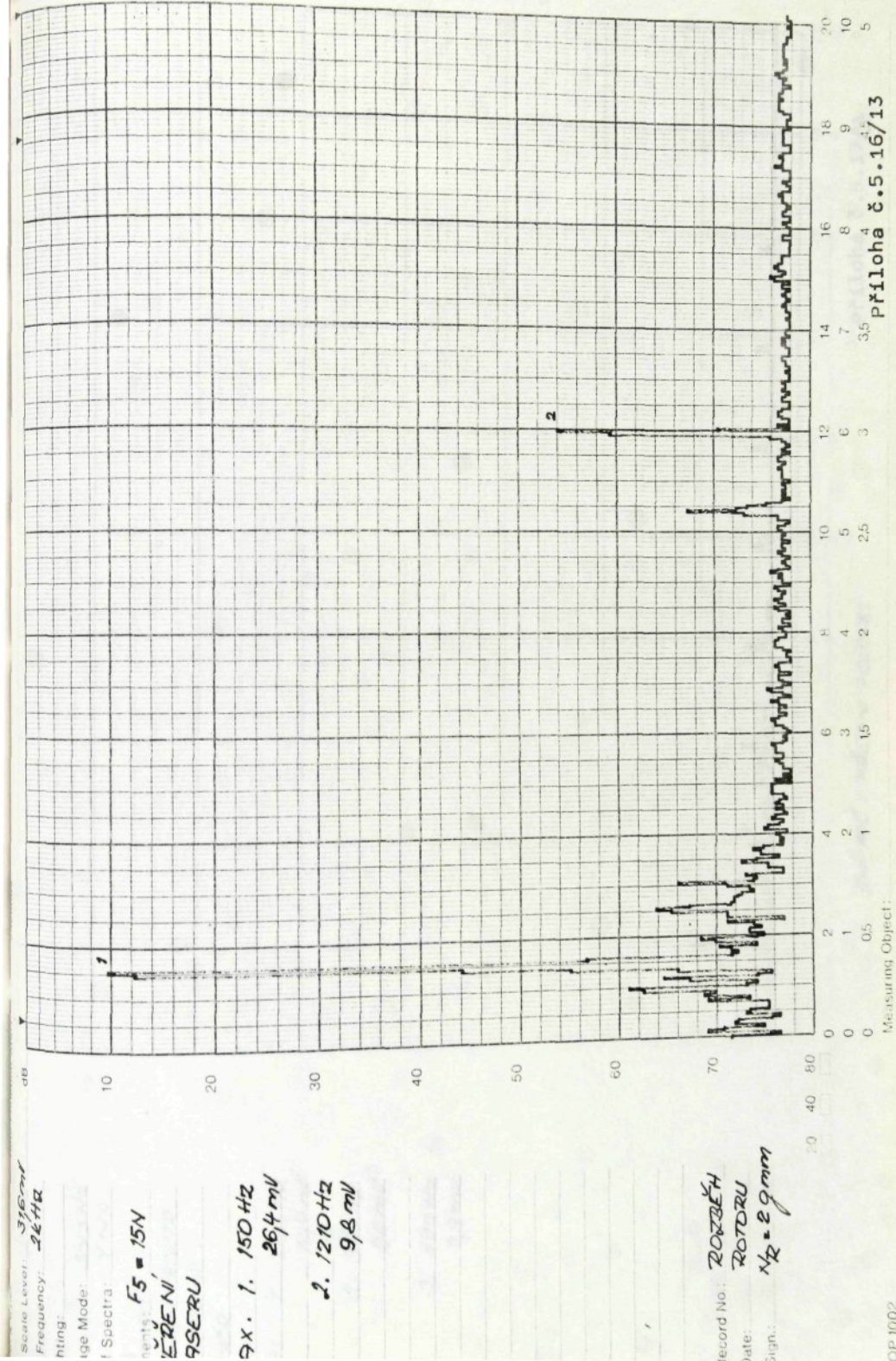
Average Mode:
of Spectra

$f_5 = 15N$

RECORDEN,
SCHERU

NR. 1. 135+2
19,5mV

2. 1145+2
9,3mV



Příloha č. 5.17/1

Snímků v přední poloze

časový interval

p 1/92

FOTO
Foto. 10
Nk ~ 0 mm
Nz ~ 29 mm



1. 100 Hz
19,4 mV
2. 390 Hz
28 mV
3. 590 Hz
3,9 mV

III/AC
ZDÉLEKTR.
ZTÍKAČ.
ZE2

100
10
100 Hz
y ~ 0

DEMO

DEMO

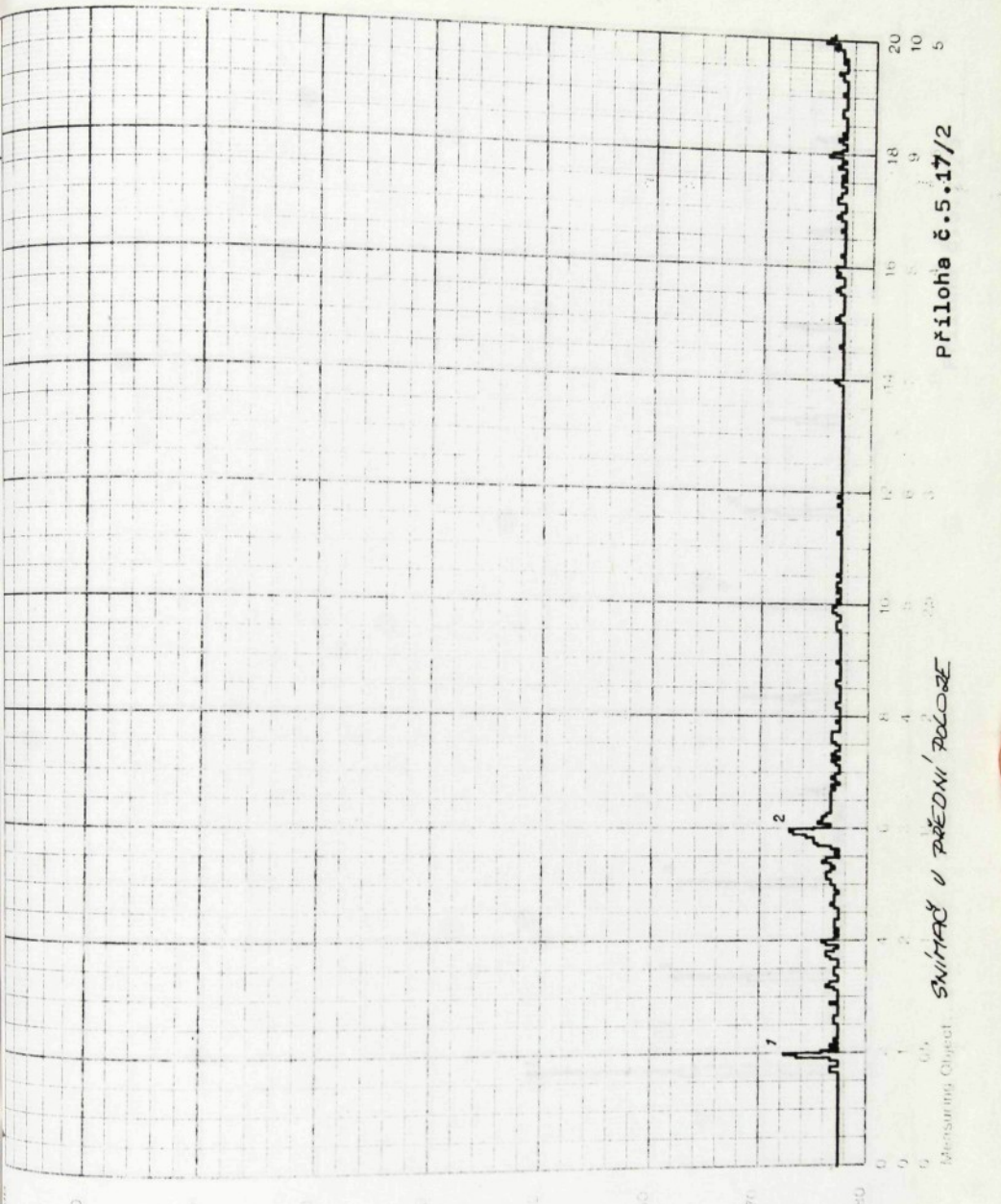


FOTO
PAN. 090. č. 12
NK ~ 70 mg
Np = 20mV

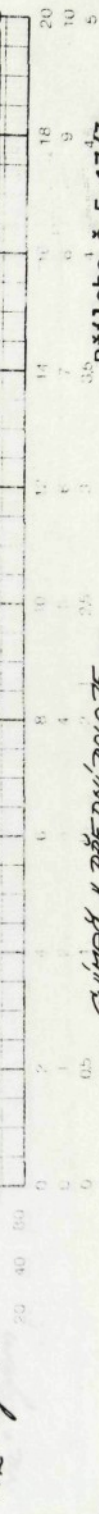
165 Hz
y ~ 5

NITRAC
EZODELEKTR
ERTIKÁL
MEA

MAX. 1. 165 Hz
374 mV
2. 330 Hz
213 mV
3. 495 Hz
204 mV

4. 990 Hz
138 mV
5. 1155 Hz
125 mV

FOTO
DOST. 800. 800
alte
ign
116 ~ 5 mg
N2 = 29 mm



Frequency
Hz

Amplitude
mV

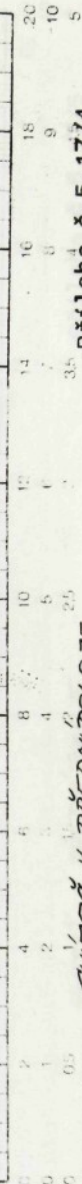
100
100
100
100

100

NÍMÁČ
EZOELEKTR.
ORIZONTÁL.
TEŘ

- AX. 1. 165 Hz
151 mV
2. 335 Hz
295 mV
3. 650 Hz
89 mV

Record No. FOTO
Date. 1997.05.02
Time: Nc ~ 5 mg
Nc = 29mm



IP 1002

SNIŽÁČ V PŘEDNÍ POLOZE

Measuring Object:

Příloha č. 5.17/4

Frequency
lighting

100 Hz
100 ms

meas.

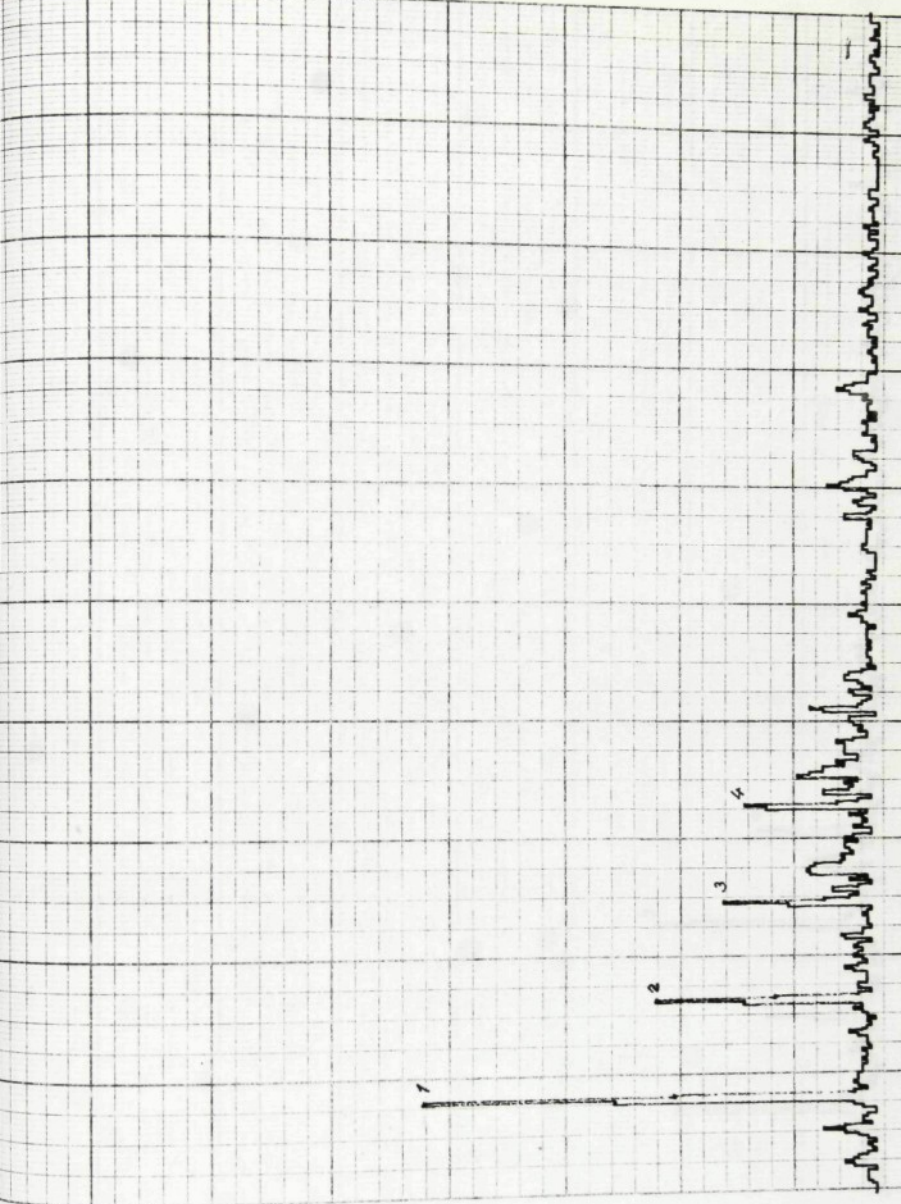
300 Hz
200 ms

700 Hz
500 ms

315 Hz
246 ms

475 Hz
172 ms

660 Hz
151 ms



Record No. 10
Foto
Date: 29.7.05. d. 30
Sign: NK ~ 8 mg
NR ~ 2.5 mm

10
20
30
40
50
60
70
80
90
100
110
120
130
140
150
160
170
180
190
200
210
220
230
240
250
260
270
280
290
300

5
10
15
20
25
30
35

Příloha č. 5.17/5

Snímat v záznamu poloze

Measuring Object:

DP 1002

Frequency
Shift

165 Hz
 $x \sim 7.5$

Vlnač
ELEKTR.
DORZONAL.
T-E2

No. 1 165 Hz
25.3 mV

2 350 Hz
12 mV

3. 460 Hz
29 mV

4. 640 Hz
123 mV

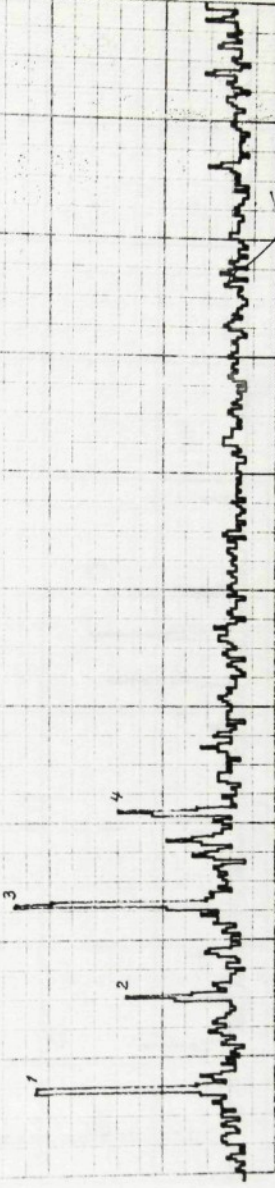
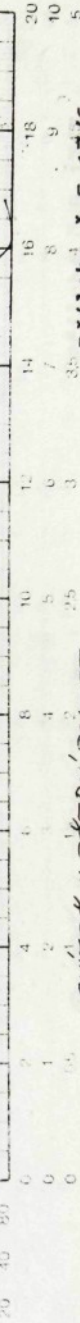


Foto
297.000 & 3C
 $Nc \sim 8$ mg
 $Nz = 2$ green



JP 1002

Measuring Obj. A

Priloha č. 5.17/6

Frequency:

Amplitude:

200 Hz
Y ~ 0

Nízkač
ELEKTR.
RITKAČ.
MĚR.

7X. 1. 200 Hz
168 mV

2. 387 Hz
412 mV

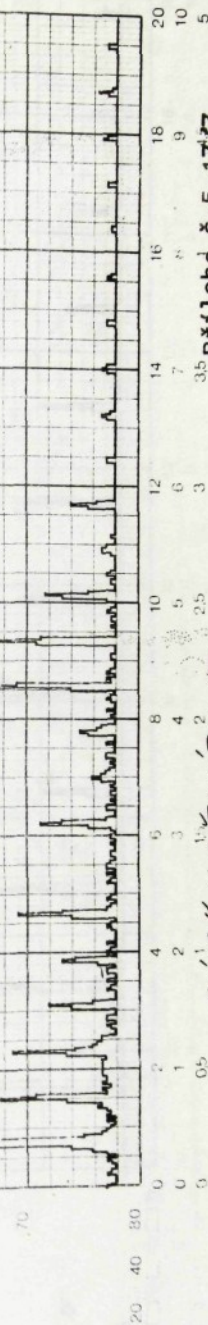
3. 587 Hz
366 mV

4. 1175 Hz
358 mV

5. 2350 Hz
516 mV

ODSKOKY ROTOŘU

Foto
1e: 250. d. 40
m: Né nýmpg



> 1002

Measuring Object:

SNÍMAČ V DĚLOVÉ POLOZE

Příloha č. 5.177

~~2642~~

Frequency
grating

165 Hz
 $\gamma \sim 0$

SNIÍMÁKY
PIEROELEKTRA.
VERTRÍKAL.
SMEŘ

MAX. 1. 165 Hz
321 mV

2. 330 Hz
218 mV

3. 495 Hz
191 mV

4. 660 Hz
93 mV

5. 825 Hz
141 mV

FOTO
date: 29. 5. 78
sign: NC v 0
Nz = 29 mm



20
18
16
14
12
10
8
6
4
2
0
-2
-4
-6
-8
-10
-12
-14
-16
-18
-20
-22
-24
-26
-28
-30
-32
-34
-36
-38
-40
-42
-44
-46
-48
-50
-52
-54
-56
-58
-60
-62
-64
-66
-68
-70
-72
-74
-76
-78
-80
-82
-84
-86
-88
-90
-92
-94
-96
-98
-100

Příloha č. 5.1778

SNIÍMÁKY V ZADNÍ POLOZE

OP 1002

3. Frequency: 2000

10

20

30

40

50

60

70

80

90

100

110

120

1. Frequency Mode: Range Mode:

of Spectra:

165 Hz

X NO

Amplifier:

PIPE ZELEKTR.

HORIZONTAL:

STERE

119 X. 1. 105 Hz

0.4 mV

2. 330 Hz

0.9 mV

3. 495 Hz

0.6 mV

4. 660 Hz

3.8 mV

1/2 * 29 mm

0.05

Measuring Object:

Savitac v zadni polozce

Priloha 4 č. 5.1779

119 X. 1. 105 Hz

0.4 mV

2. 330 Hz

0.9 mV

3. 495 Hz

0.6 mV

4. 660 Hz

3.8 mV

1/2 * 29 mm

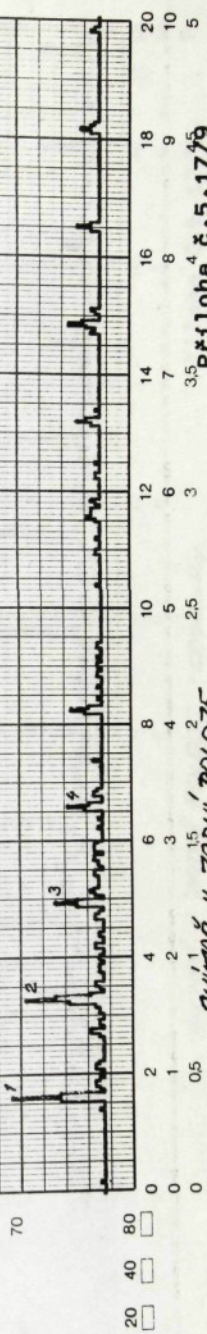
0.05

FOTO

PPH. 050. č.

X NO

Priloha 4 č. 5.1779



Record No.:

FOTO

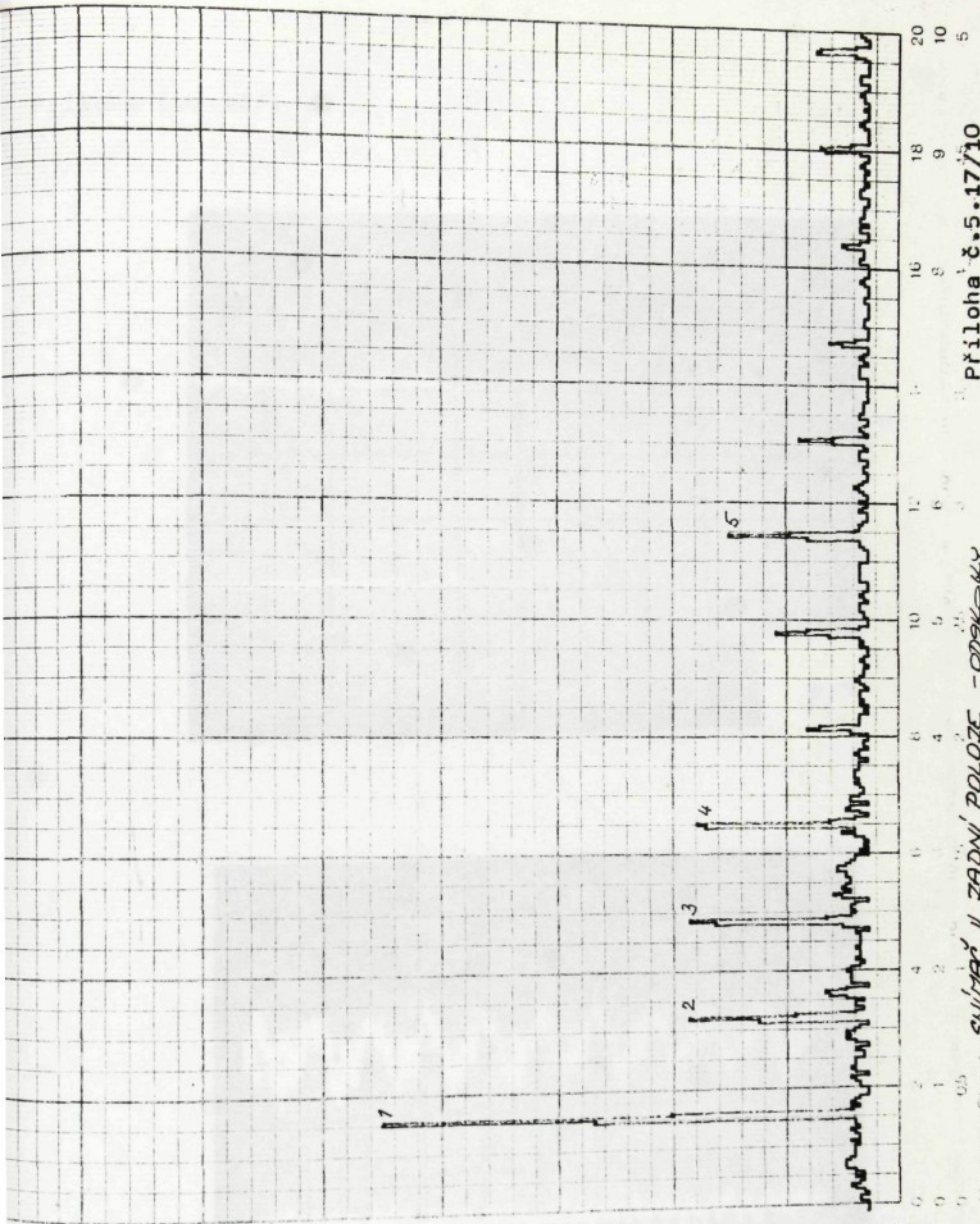
PPH. 050. č.

Date:

X NO

Sign.:

Priloha 4 č. 5.1779



Příloha č. 5.17/10

Measurement Object: snímač u zadní polohy - odsíky

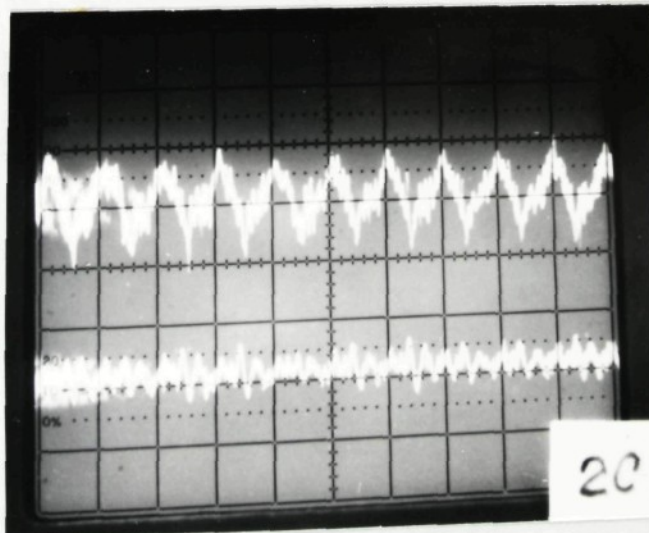
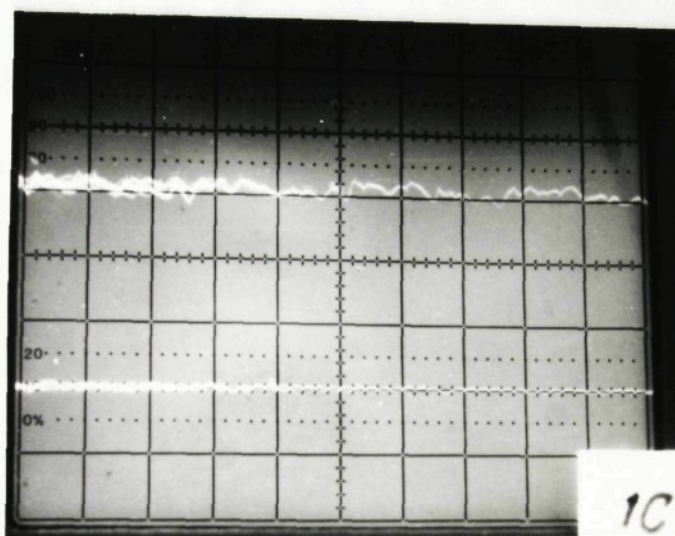
DP 102

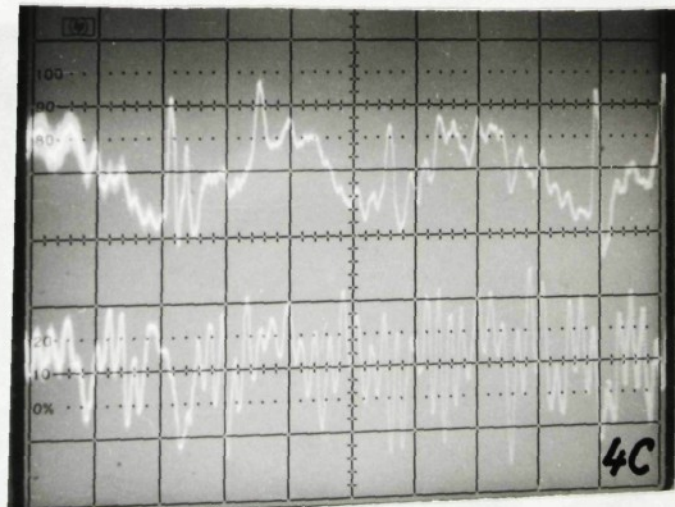
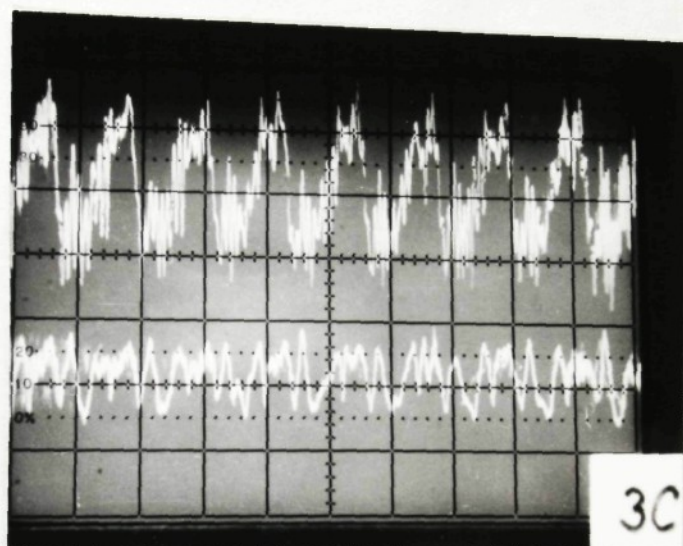
record no:

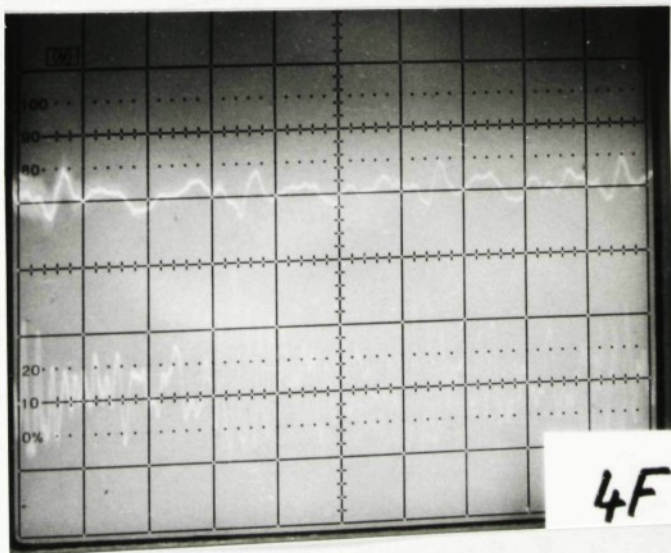
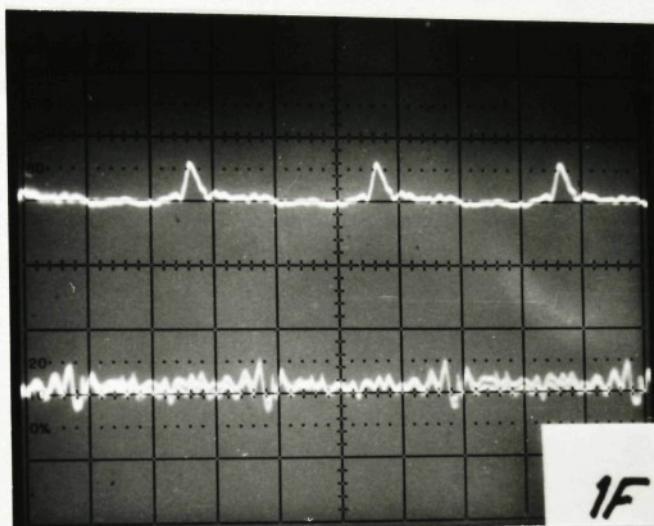
date:

sign:

NR = 2 g/cm







0.8

-0.4

0.0

Příloha č.5.19/1

MODELOVÁNÍ KMITÁNÍ SPŘÁDACÍHO ROTORU BĚHEM PŘECHODOVÉHO STAVU.

Vstupní hodnoty dle tabulky č.7 (varianta 1), hmota nevážku 5 mg.

-0.25



Příloha č.5.19/2

MODELOVÁNÍ KMITÁNÍ SPŘÁDACÍHO ROTORU BĚHEM PŘECHODOVÉHO STAVU.

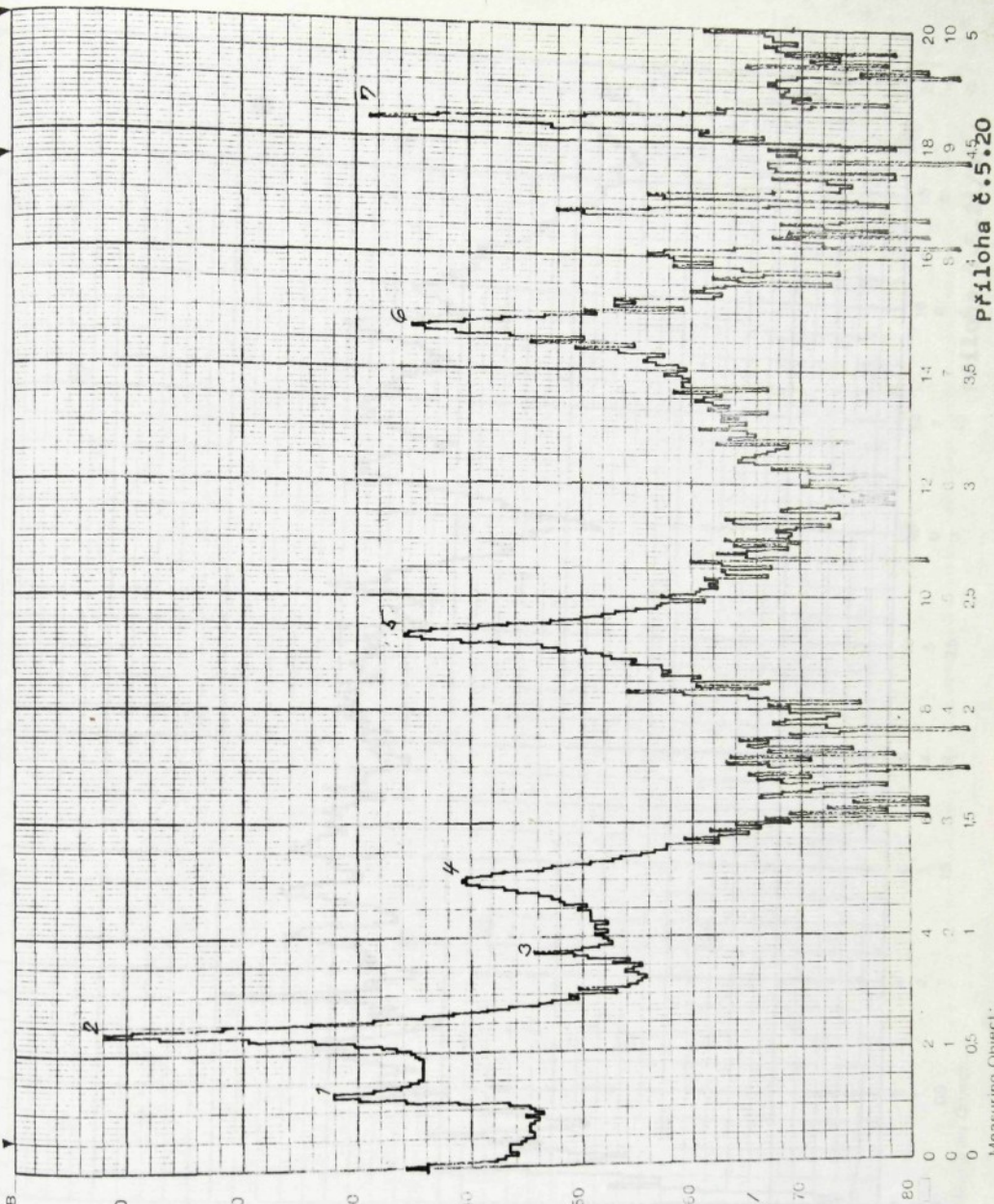
Vstupní hodnoty dle tabulky č.7 (varianta 2), hmota nevývažku 10 mg.

0.8

0.4

0.0





1. 1350 Hz
2. 2450 Hz
3. 3800 Hz
4. 6750 Hz
5. 9350 Hz
6. 14750 Hz
7. 18350 Hz

Comments:

MASTON / UNITA
 DETER ROTOR.
 BUZENO ✓
 SHIMANO ✓
 CROSTED
 PRODROMI
 Measuring Object:
 Ref. No.: 100110
 Date: 10/10/03
 Sign: ✓
 No. 21
 Prodromi

Frequency: 5642

unit: Hz

No. Mds.: 900 Hz

Spectra: 32 ACE,
DIAACH,
SLEY STEVAN

px.
300 Hz
68.800
2' ODPONDA'
SPUTNIK
MIR' 19923 mm

40

50

60

60C

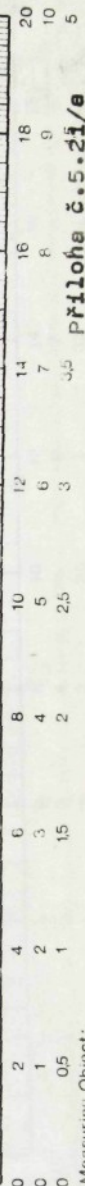
70

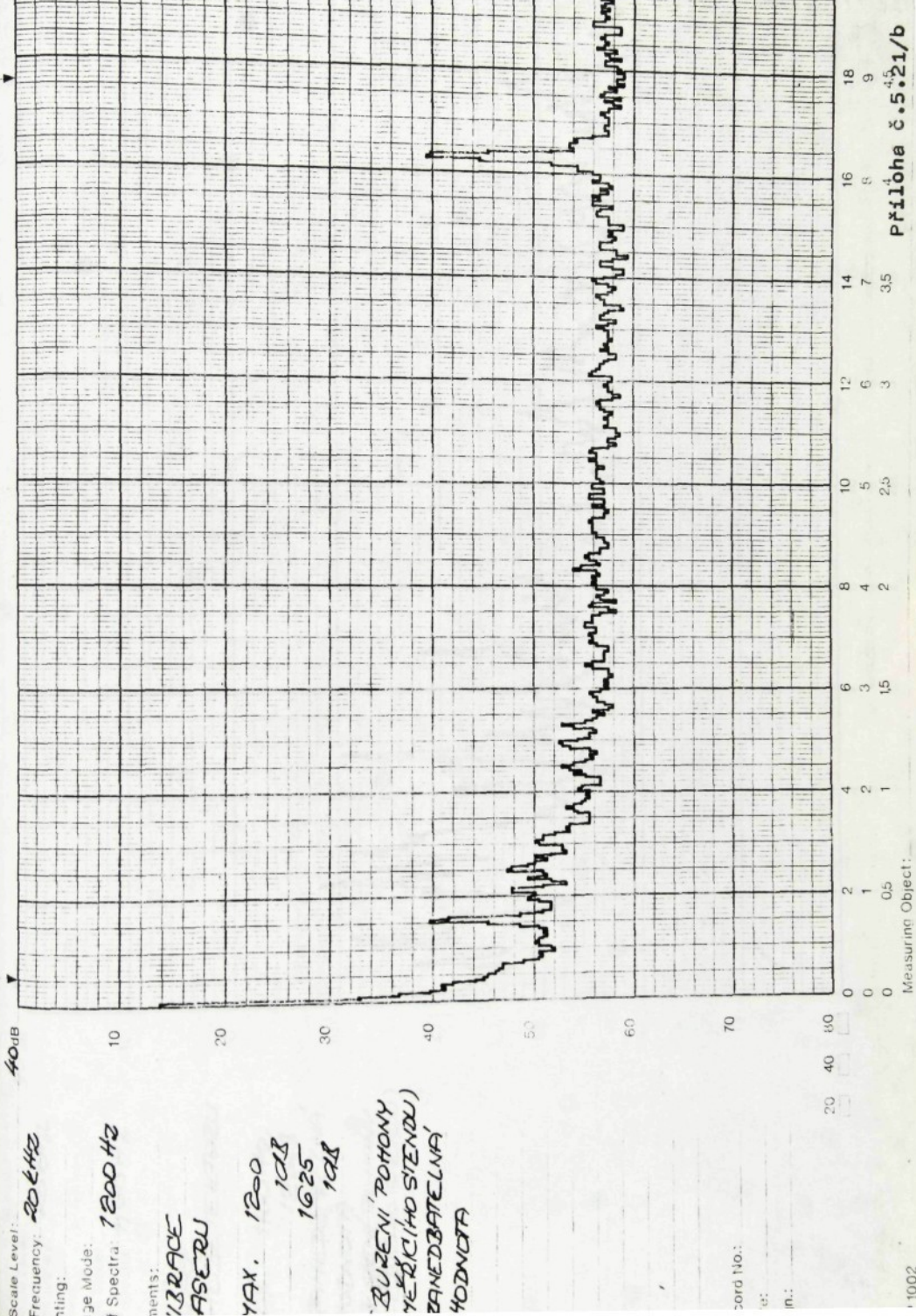
20

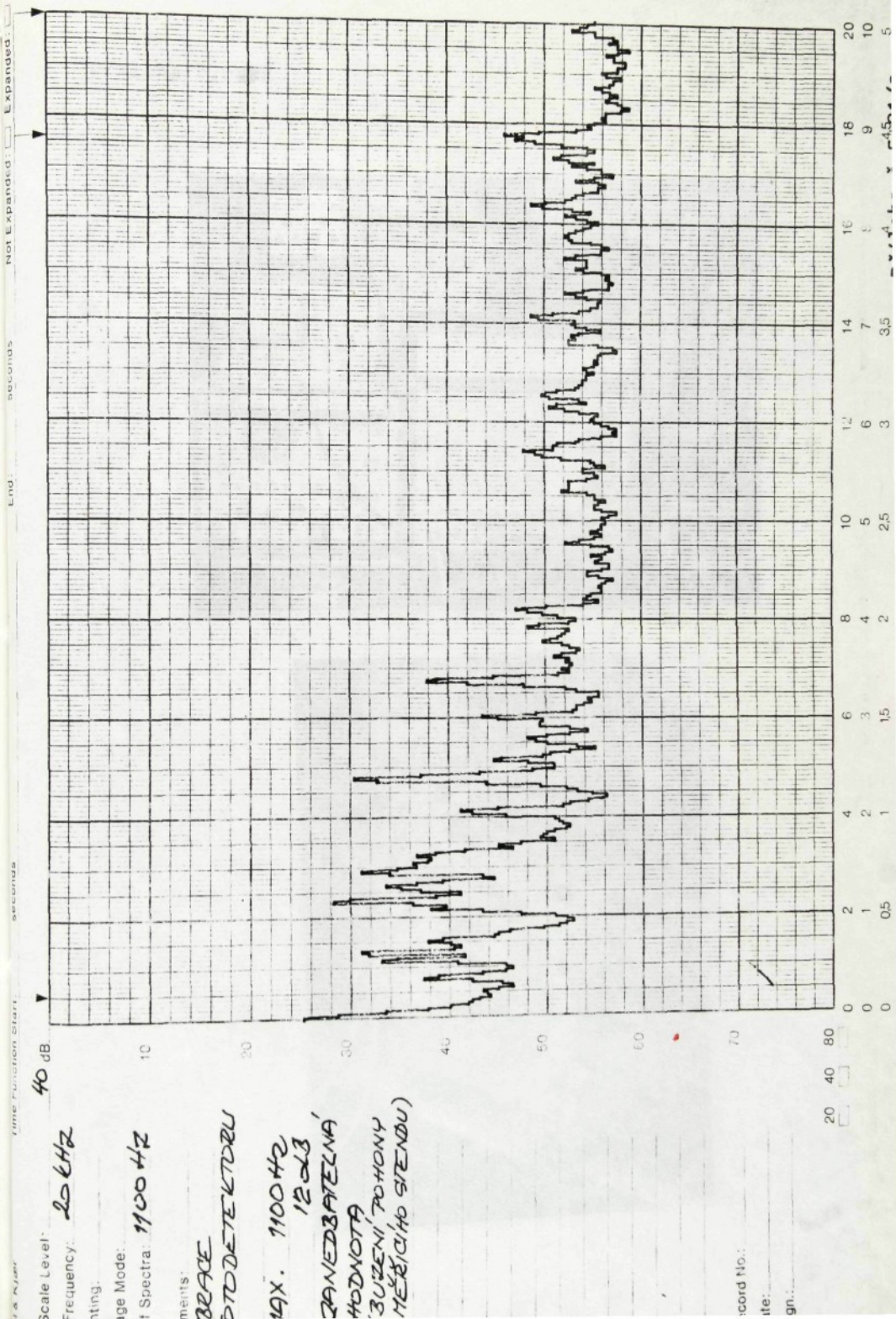
40

60

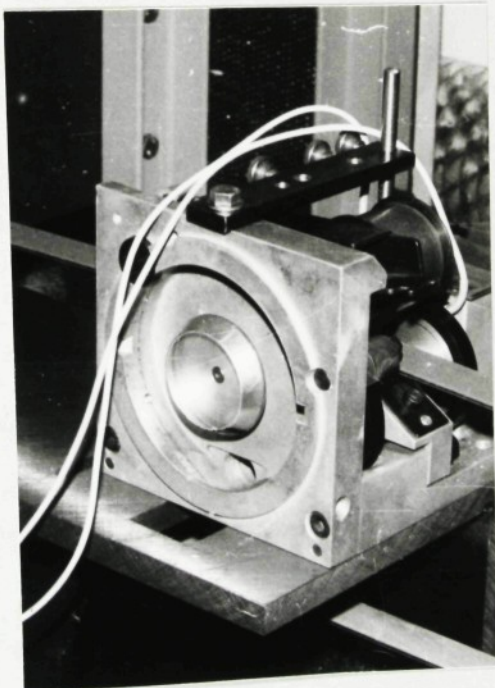
80







Příloha č.5.22



067066061

1. ZÁVITY M10 PRO POZICI 027 PROVEDENY PŘI MONTÁŽI

Počet kusů	Název - Rozměr	Položka Mater. konečný	Mater. výchozí	Výška od základu	Rozmíst.	Str. univerzit.	Cíle	
Poznámka		Celková čistá váha kg						
Měřítka	Kreslil <i>A. Černý</i>	Zde		č. snímku				
Přezkoušel								
Norm. ref.								
1:10	Výr. projedn.	Schválil <i>W. Anna</i>	č. transp.	E				
		Dne 8. 8. 1983		N				
Typ ZS-1 Skupina			Starý výkres	Nový výkres				
Název						ZS 01 001		
ELITE X		ZHUEŘERNÍ STENO						